

第 49 回 講 演 会

講 演 予 稿 集

昭和46年6月1日～6月4日

於 建 設 大 學 校

日本 地球電氣磁氣 學會

日本地球電気磁気学会

第49回総会並びに講演会プログラム

期日 昭和46年6月1日(火)・2日(水)・3日(木)・4日(金)

会場 建設大学校(305, 201号室)(東京都小平市喜平町1, 013)

電話(0423) 21-1541

時 日	9 9:30	10	11	12 12:30	13 13:30	14	15 15:30	16	17 17:30	18	19
6月1日 (火)	第1 会場			磁 気 圈 I			磁 気 圈 II(極域現象)		運営委員会		
	第2 会場			大 氣 波 電 氣 播			觀 測 方 法				
6月2日 (水)	第1 会場		磁 気 圈 プ ラ ズ マ				磁 気 圈 プ ラ ズ マ・太 陽 風		評議委員会		
	第2 会場		岩 石 磁 気				地 磁 気・地 球 内 部				
6月3日 (木)	第1 会場		磁 気 圈 プ ラ ズ マ				特 別 講 演 ・ 総 会		懇 親 会		
	第2 会場		中 間 圈 ・ 電 離 圈			13:15					
6月4日 (金)	第1 会場		中 間 圈 ・ 電 離 圈				中 間 圈 ・ 電 離 圈 ・ 他				
	第2 会場		宇 宙 線				宇 宙 線				

第 1 日 6月1日(火)

磁 気 圈 プ ラ ズ マ(極域現象) 於 第1会場(10:00-12:00)

開会の辞

- | | | |
|-----|---|-------|
| 1-1 | 加藤愛雄(東海大、航空宇宙) 地磁気脈動の周波数解析(続き) | (12分) |
| 1-2 | 桜井 亨(東北大理) Continuous sub-ELF emissions の特性 | (15分) |
| 1-3 | 宮崎光旗(東大理) 太陽活動最盛期のPcについて、低緯度dataより | (15分) |
| 1-4 | 桑島正幸(地磁気観) Pc5型地磁気脈動における降下荷電粒子の役割 | (12分) |
| 1-5 | 福島直・佐々木克巳・福西浩・平沢威男(東大理) Pi脈動と極磁気嵐 | (15分) |

- 1-6 福西 浩（東大理）昭和基地における極光・地磁気・電波観測—第11次南極観測 (15分)
 1-7 林幹治・国分征（東大理）極域現象 VLF emission substorm; Auroral chorus. II (10分)
 1-8 卷田和男・林 幹治・国分 征（東大理）極光帯における VLF・LF ヒスの特性 (15分)
 1-9 永山幹敏・西崎良・犬木久夫・相京和弘・恩藤忠典（電波研）磁気圏 VLF 放射の観測 I (15分)
 1-10 早川正士・大津仁助（名大空電研）On generation of equatorial VLF hiss and its propagation (12分)

大気電気・電波伝播 於 第2会場 (10:00—12:30)

- 2-1 佐尾和夫・棚橋秀伍・太田幸一（名大空電研）シェーマン共振現象の共振周波数 (15分)
 2-2 鎌田哲夫（名大空電研）南極昭和基地における空電到来方位と頻度 (15分)
 2-3 満保正喜・長野 勇（金沢大工）磁界方向に電子密度が変化する電離層中を伝搬する電波 (10分)
 2-4 若井 登・大内長七・藤井 周（電波研平磯）LF 帯電波 (Loran-C, 100kHz) の伝播特性 (1) (15分)
 2-5 筒井 稔・小川 徹（京大工）放送波を利用した電離層ドップラー観測 (15分)
 2-6 木村磐根・平石謙治・舩弘仁志・富本哲雄（京大工）VLF ドップラー法による NWC 信号ホイスラモードの入射角の観測 (15分)
 2-7 荒木 喬・森 洋介（東北大理）Whistler mode propagation in the collision dominant lower ionosphere (15分)
 2-8 早川正士・大津仁助（名大空電研）Whistler mode reflection coefficient from the model ionospheres (10分)
 2-9 鶴田浩一郎（東大宇宙研）VLF 波の電離層通過 (15分)
 2-10 早川正士・大津仁助・岩井 章（名大空電研）Solar cycle variation of dispersion and occurrence rate of low-latitude whistlers (12分)

磁気圏プラズマ 於 第1会場 (13:30—17:30)

- 1-11 金田栄祐・等松隆夫・永田 武（東大理）ディジタル出力型極光全天写真光電解析器 (ASCAPA-D) (10分)
 1-12 金田栄祐・鶴田治雄（東大理）極光輝度の長周期変動 (15分)
 1-13 鶴田治雄（東大理）静穏時オーロラスペクトルの特性 (II) (15分)
 1-14 金田栄祐（東大理）昼測極光の特性 (15分)
 1-15 斎藤尚生（東北大理）振動型 Magnetic Substorm (Ps 6) の特性とその機構について (15分)
 1-16 平沢威男・飯島 健・永田 武（東大理）極光からみた極磁気嵐 (IV) (15分)
 1-17 平沢威男・永田 武（東大理）極磁気嵐と関連現象 (10分)
 1-18 飯島 健・平沢威男・永田 武（東大理）Auroral Substorm and Tail Magnetics (15分)
 1-19 飯島 健・平沢威男・上出洋介（東大理）Substorm precursor and growth phase (15分)

- 1-20 上出洋介（東大理）DR-field Asymmetry and Satellite Information (10分)
- 1-21 上出洋介・福島直（東大理）Field-aligned current による vortex mode (S_q^P , SP, DPC, DP-2, Sq) current-system の生成 (12分)
- 1-22 福島 直（東大理）偏角変動に注目した極域地磁気変動解釈 (15分)

観測方法 於第2会場 (13:30-17:30)

- 2-11 江尻全機・渡辺卯三（東大宇宙研）The determination of electron density by the capacitance probe (15分)
- 2-12 土手敏彦（理研）無衝突プラズマ中プローブ測定におけるプラズマ密度の決定法（III） (10分)
- 2-13 麻生武彦（京大工）プローブインビーダンスのシース共鳴について (12分)
- 2-14 麻生武彦・横堀進義・大家寛（京大工）プラズマカッピングプローブの実験 (15分)
- 2-15 河島信樹・矢守 章（東大宇宙研）電離層測定用直読式プラズマ密度・温度計の開発 (10分)
- 2-16 平尾邦雄・田中高史（東大宇宙研）流れのある弱電離プラズマ中のプローブ特性 (15分)
- 2-17 麻生武彦（京大工）プラズマプローブによる電子音波の輻射 (15分)
- 2-18 山田弘善・佐川永一・伊藤富造*・畠野信義** (*東大宇宙研・**電波研) ミニQ型質量分析計-II (15分)
- 2-19 畠野信義・水津 武（電波研）電離層観測衛星用イオン質量測定器 (15分)
- 2-20 平尾邦雄・小山孝一郎・三留重夫（東大宇宙研）Mass spectrometry of contamination substance of probe surface (15分)
- 2-21 向井利典・松村正三・平尾邦雄（東大宇宙研）搭載用低エネルギー電子スペクトロメータ (15分)
- 2-22 加藤愛雄・青山 威・遠山文雄・高橋隆男（東海大工）MS-T1衛星の姿勢測定結果 (15分)
- 2-23 北村泰一・大道寅男（九大理）SQUID 磁力計の基礎実験（III） (15分)
- 2-24 松本治弥（神戸大工）放射線帯下部の電子エネルギースペクトル (15分)

第2日 6月2日(火)
磁気圏プラズマ 於第1会場 (9:00-12:30)

- 1-23 並川富一・高島正樹（阪市大理）高温プラズマと地磁気脈動 (15分)
- 1-24 玉尾 孜（東大理）Runaway Electrons in the Topside Ionosphere (15分)
- 1-25 大家 寛（京大工）Sequence of Diffuse Plasma Resonance Observed by Alouette II (10分)
- 1-26 大家 寛（京大工）Conversion of Electrostatic Plasma Waves into Electromagnetic Waves (15分)
- 1-27 石原丈実（東大理）磁場の不均一による不安定性 (12分)
- 1-28 南部充宏（東大理）磁気圏における Loss—Cone 不安定性について (12分)
- 1-29 南部充宏（東大理）Ordinary Mode の Loss—Cone 分布による励起について (15分)

- 1-30 大家 寛 (京大工) Experimental Verification of the Theory on the Weak Turbulence in the Magnetoactive Plasma (15分)
- 1-31 大家 寛 (京大工) Plasma Wave Turbulence at Plasma Trough (15分)
- 1-32 佐藤哲也*・小川忠彦** (*京大理・**京大工) 多重オーロラ・アークの生成 (III) (15分)
- 1-33 小川忠彦*・佐藤哲也** (*京大工・**京大理) 多重オーロラ・アークの生成 (IV) (15分)
- 1-34 前沢 利 (東大宇宙研) 粒子軌道からみた磁気中性点近傍の電気伝導度 (15分)

岩石磁気 於第2会場 (9:30-12:30)

- 2-25 上野宏共 (東北大理) 和賀仙人鉱床の赤鉄鉱々石および鉱床周辺の火成岩類の磁性 (10分)
- 2-26 西田潤一・笛嶋貞雄 (京大理) アルカリ玄武岩の磁性について (15分)
- 2-27 堂面春雄 (山口大・教育) 山口県秋吉台火山灰およびテラロッサの磁性 (5分)
- 2-28 前中一晃 (花園大) 大阪層群火山灰層中の強磁性鉱物について (15分)
- 2-29 小林和男 (東大洋洋研) グワム島とその周辺海域の岩石と堆積物の磁性 (10分)
- 2-30 小嶋稔*・小嶋美都子** (*東大理・**東大物性研) チタノマグヘマイト酸化エネルギー (10分)
- 2-31 上野直子*・兼岡一郎・小嶋 稔・座主繁男**・佐藤任弘*** (*東洋大・**東大理・***水路部) 日本海火山岩の K-Ar 年代, Sr 同位体比, K/Rb 比 (15分)
- 2-32 永田 武 (東大理) 岩石の衝撃残留磁気及び衝撃消磁 (序報) (15分)
- 2-33 永田 武・河野 長 (東大理) アポロ月岩石の熱磁気曲線 (強磁性, 常磁性双びに超常磁性成分について) (15分)
- 2-34 青木 豊 (東大理) 八丈島玄武岩の古地磁気 (15分)
- 2-35 川井直人 (阪大基礎工) 古地磁気法による地殻変動の予知研究 (I) (15分)

磁気圏プラズマ・太陽風 於第1会場 (13:30-18:00)

- 1-35 渋谷仙吉 (山形大理) 磁気中性面における Radio-Wave 電場の効果 (10分)
- 1-36 鶴飼正行・深尾昌一郎・津田孝夫 (京大工) 磁気中性点近傍の三次元磁場構造とその安定性 (15分)
- 1-37 深尾昌一郎・上田 稔・津田孝夫 (京大工) 磁力線のリコネクション II (定常の場合) (15分)
- 1-38 津田孝夫・深尾昌一郎・吉門 信 (京大工) 磁力線のリコネクション III (非定常の場合) (15分)
- 1-39 広瀬敏治・塙見 正・津田孝夫 (京大工) Current Sheet の構造 I (15分)
- 1-40 十市 勉 (東大理) Two Dimensional Equilibrium Solution of the Plasma Sheet and the Mechanism of the Magnetic Substorm, I, (15分)
- 1-41 十市 勉 (東大理) Two Dimensional Equilibrium Solution of the Plasma Sheet and the Mechanism of the Magnetic Substorm, II (15分)
- 1-42 武井恵雄 (東北大理) 磁気圏の構造と Polar Substorm (15分)
- 1-43 西田篤弘・前沢 利 (東大宇宙研) Multiple satellite observations of DP 2 distur-

- bance (15分)
- 1-44 西田篤弘（東大宇宙研）Magnetospheric response to interplanetary electromagnetic field (15分)
- 1-45 国分 征（東大理）惑星間磁場擾乱と磁気嵐 (15分)
- 1-46 山下喜弘（地磁気観）磁気圏境界領域の乱れた磁場構造 (10分)
- 1-47 鶴見治一*・川村孝式** (*名大空電研・**名大プラ研) 亂れた磁場による惑星間空間プラズマの加熱 (15分)
- 1-48 渡辺 哲・小島正宜・鶴見治一・柿沼隆清（名大空電研）電波星シンチレーションによる太陽風の観測（II）(分)

地磁気・地球内部 於第2会場 (13:30-17:00)

- 2-37 加藤愛雄・瀬戸正弘・早坂 孝（東北工大）東海地方の CA 観測（2）(10分)
- 2-36 安原通博（京教大）住友則彦（京大教養）鈴木 亮（京大理）宮腰潤一郎（鳥取大）鳥取砂丘における地電流観測について（II）(15分)
- 2-38 東大震研・国土地理院・東北大理学部地磁気グループ（東大震研・国土地理院・東北大理）東北地方水沢周辺における地磁気短周期変化の観測 (15分)
- 2-39 久保木忠夫・大和田真一・立川 徹（地磁気観）父島における磁気測量結果について (7分)
- 2-40 久保木忠夫・大和田真一（地磁気観）父島における短周期変化ベクトルについて (7分)
- 2-41 宮腰潤一郎（鳥取大教養）Easter Island における地磁気日変化について (15分)
- 2-42 小林和男・友田好文・北沢一宏・瀬川爾朗（東大海洋研）磁気異常が小さい海山 (15分)
- 2-43 伊勢崎修弘（東大理）上田誠也（東大地震研）日本海の地磁気異常 (15分)
- 2-44 水野浩雄（国土地理院）地球磁場の impulsive な変化について (15分)
- 2-45 行武 毅（東大震研）地磁気双極子能率の時間変化に伴なう地球自転速度の変動 (15分)
- 2-46 並川富一（阪市大理）ダイナモ理論 (15分)
- 2-47 田中 穂（国土地理院）Core-Mantle 境界の異常拡散による熱発生とその経年変化について (10分)

第3日 6月3日（木）

磁気圏プラズマ 於第1会場 (9:00-12:30)

- 1-49 早川正士・大津仁助（名大空電研）Duct formation for low-latitude whistler Propagation (12分)
- 1-50 奥沢隆志・山中 韶（電通大）Angerami & Thomas モデル及び CIRA'65 大気モデルに基づいたホイッスラー分散の計算 (15分)
- 1-51 内藤悠史*・荒木 徹**・加藤 進* (*京大工・**京大理) ホイッスラーモード VLF 標準電波検出 (15分)
- 1-52 相京和弘・恩藤忠典（電波研）Plasmapause 近傍での ELF emission の伝搬特性 (10分)

- 1-53 橋本弘蔵・松本 紘・木村磐根（京大工）VLF Triggered Emission の発生機構
 (Single Particle Approach) —そのⅡ— (15分)
- 1-54 松本 紘・木村磐根（京大工）VLF エミッションの Half Gyrofrequency メカニズムについての考察 (10分)
- 1-55 大津仁助（名大空電研）チエレンコフ不安定による VLF ヒスの発生 (15分)
- 1-56 林 幹治（東大理）SSC 時の VLF emission spectrum の変動についての解釈 (15分)
- 1-57 宮武貞夫・松本 紘・木村磐根（京大工）K-9M-35 号ロケットによる非線形波動相互作用実験 (10分)
- 1-58 倉橋克典・徳田進・鎌田哲夫（名大空電研）スペースチャレンバーによるプラズマ波のパラメトリック励起の実験 (15分)
- 1-59 荒木 徹（京大理）不均一プラズマ中での non-reciprocal な波動伝播（II） (15分)
- 1-60 西田篤弘・長山直弘（東大宇宙研）不均一媒質中の MHD wave の伝播 (15分)

中間圈・電離圏 於第2会場 (9:30-12:30)

- 2-48 牧野忠男・萩原雄介（立教大理）バルーン高度における OH 分子のスペクトル (10分)
- 2-49 鈴木勝久（東大理）中緯度における上層大気中の OH 分子の回転温度 (15分)
- 2-50 高橋忠利（東北大理）OI 5577Å 大気光日変化の季節的特徴 (10分)
- 2-51 早川幸男・伊藤浩式・松本敏雄・西村徹郎・小野忠良（名大理）赤外夜光の観測（II） (15分)
- 2-52 奥田光直（弘前大）三沢清敏（山形市）酸素赤線薄明光 (15分)
- 2-53 小川利紘・渡辺 隆（東大理）中間紫外アルベードの観測 (15分)
- 2-54 小川利紘・等松隆夫（東大理）He 584Å, He⁺304Å グロー——L-3H-5 号機による観測 (15分)
- 2-55 増田悦久・皆越尚紀・五十嵐隆（電波研）ルビーレーザー・レーダによる上層大気の観測 (15分)
- 2-56 内野 修・松尾 稔・広野求和（九大理）上層大気成分観測に用いる Dye Laser の特性（2） (15分)
- 2-57 米沢利之（電波研）電離層における半年変化 II (10分)
- 2-58 大林辰蔵（東大宇宙研）World wide changes of ionospheric storms (15分)

総会および特別講演 於第1会場 (13:30—17:30)

松野太郎氏(東大理)・川井直人氏(阪大基礎工)

第4日 6月4日(金)

中間図・電離圏 於第1会場 (9:00—12:30)

- 1-61 小川俊雄・田中良和(京大理) 気球による電離層電場の測定 (15分)
1-62 大林辰蔵・江尻全機(東大宇宙研) Rocket Experiments on the Equatorial Ionosphere Part I (15分)
1-63 平尾邦雄・小山孝一郎(東大宇宙研) Rocket Experiments on the Equatorial Ionosphere Part II (15分)
1-64 中村純二・松岡 猛(東大教養) K-8-16号機による発光雲実験の解析 (15分)
1-65 加藤愛雄・青山 嶽・遠山文雄(東海大工) K-9M-34号機による磁場の測定 (15分)
1-66 豊崎 労・塙田紀昭・小川 徹(京大工) K-9M-32号機による磁場観測 (15分)
1-67 上山 弘・森 洋介・荒木 喬(東北大理) Tweek の伝播特性から推定した夜間下部電離層電子密度分布 (15分)
1-68 広野求和・牧野行雄(九大理) 上層大気中における流星金属元素の密度分布 (15分)
1-69 上山 弘(東北大理) D層の有効再結合係数とイオン組成 (15分)
1-70 大塙光夫(電波研) 太陽X線フレアの一特質 (15分)
1-71 小倉紘一(日大習志野) K. J. Frost(NASA) 小玉正弘(理研) Comparison of the solar X-ray event of February 11, 1970 observed in balloon and satellite altitudes (15分)

宇宙線 於第2会場 (9:30—12:30)

- 2-59 長島・上野・藤本・近藤・安野*・藤井** (*名大理・**理研) 乗鞍における small air shower の観測 (15分)
2-60 一之瀬匡興(信大教養) 森 覚・安江新一・斎坂修二(信大理) 地下 50m, we. における宇宙線の強度変化 (15分)
2-61 須田友重(気象研) 高緯度の宇宙線日変化 (10分)
2-62 安江新一・森 覚(信大理) 一之瀬匡興(信大教養) 宇宙線強度の日変化の解析 (15分)
2-63 石田喜雄・菅野常吉(福島大教育) 斎藤俊子(福島医大教養) 宇宙線 1/3 日変化について (15分)

- 2-64 森 覚・安江新一(信大理) 一之瀬匡興(信大教養) 宇宙線強度の1/3日変化 (15分)
 2-65 楠瀬昌彦(高知大文理) 小玉正弘(理研) Multiple neutron analysis of the energetic solar cosmic ray event of January 24-25, 1971 (10分)
 2-66 藤井善次郎・小玉正弘(理研) Experimental investigation of multiple neutron production (15分)

中間図・電離図・他 於第1会場(13:15-17:00)

- 1-72 藤原玄夫・広野求和(九大理) Es Windshear 理論における金属イオンの役割(II) (15分)
 1-73 三浦輝夫(阪市大理) 下層大気中での内部重力波 (15分)
 1-74 北村泰一(九大理) 電離層内の長周期波動(II) HM Rossby waves? 観測 (15分)
 1-75 加藤 進(京大工) 電離図の力学的問題点 (15分)
 1-76 半田 駿・前田 坦(京大理) 地磁気長周期成分の解析 (15分)
 1-77 柳原一夫(地磁気観) 地磁気日変化等価電流系中心附近の電流収支 (15分)
 1-78 鈴木 亮・前田 坦(京大理) 赤道ジェット電流はどこを流れるか? (15分)
 1-79 富田 宏・福島 直・飯島 健(東大理) 地磁気 sfe 時の電離層電流系 (10分)
 1-80 白木正規(地磁気観) 地磁気日変化と太陽活動 (10分)
 1-81 松浦延夫・西崎 良・中村義勝(電波研) Topside sounding による上部電離層の構造 (15分)
 1-82 丸橋克英(電波研) 電離図・磁気図のイオン分布に関するモデル(II) (15分)
 1-83 岩坂泰信・広瀬 徹(名大理) 鶴田治雄(東大理) 地球電磁気学の現在的位置 (15分)

宇宙線 於第2会場(13:30-15:00)

- 2-67 長島・藤本・上野・近藤(名大理) 藤井(理研) Three-dimensional cosmic ray anisotropy in interplanetary space (15分)
 2-68 長島一男(名大理) Extensive analysis of three dimensional anisotropy in interplanetary space (15分)
 2-69 和田雅美・奥谷晶子(理研) Solar active region と宇宙線異方性について (15分)
 2-70 北村正敏(気象研) 惑星間空間における二方向宇宙線非等方性の存在 (10分)

閉会の辞

第 1 会 場

地磁気脈動の周波数解析(つき)

加藤愛雄 青山 延 高橋隆男

東海大学 航空宇宙学科

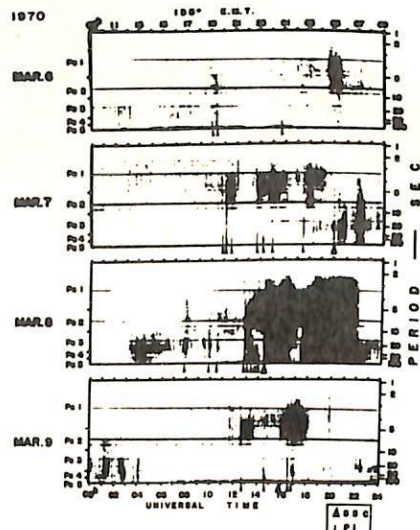
さきに地磁気脈動の記録を、フィルターを通じて再生して周波数解析を行なつたが
その結果は度々報告した。今回同様の方法で さきに東北大学の森岡 昭氏が昭和基
地で観測した地磁気脈動の記録(当時著者の一人加藤は指導協力者であった)を借用し
て周波数解析を行なつた。

特に $\Delta\delta$ 現象に着目して、さきにアスカと女川で同時観測した記録の周波数解析と
比較して $\Delta\delta$ の発生機構等について論じた。

Continuous sub-ELF emissions の 特性

桜井 寛
東北大 理学部

Continuous sub-ELF emissions (以下 C.E. と略記する) を他現象との関連と言う立場で見ると、 P_i に依って exciteされる C.E. が顕著である。第 1 図は rayapan-hissogram であるが、この dynamic spectrum 中 P_i と同時に起り、3 ~ 7 秒近くの周囲帯で黒いパターンで出でいる部分が P_i に依って exciteされる C.E. である。いずれの C.E. も March, 7, 8. の SSC に伴つて出現している脈動に比較すると極めて狭い周期中である事が明らかである。これら P_i に依って exciteされる C.E. の Polarization を調べると rotational sense, principal axis の方向等、いずれもはっきり定まる様な性質を示さないが、一連の C.E. の中、それには右向き回転を示す部分が存在する。この様な polarization の性質は rising structure を示す $Pc1$ 型脈動 (周波数 2 ~ 1 Hz) の polarization における同様な傾向を示している事が見られる。この事は、rising structure のはつきりした $Pc1$ 型脈動 (Pearl pulsations) の Polarization の右と左回転を示す事に对比させて極めて興味のある事である。 P_i に依って exciteされる C.E. の発生機構に関して、Heacock (1966) は P_i burst に伴う noise の exosphere での resonance で考へるとしている。今回は、 P_i に依って exciteされる C.E. の Polarization 及び他の諸性質を調べ、 $Pc1$ 型脈動の諸性質との比較を行い、C.E. の発生機構に関する Heacock の推論の妥当性を検討する。



第 1 図

太陽活動最盛期のPc型について。低緯度 data より

宮崎光旗

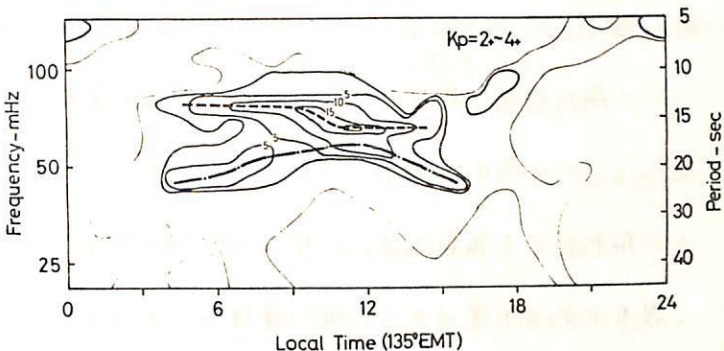
東大理。地球物理

Pc 3 周期領域(周期 10-45 秒)の脈動バンドが太陽活動最盛期にいかほるふるまいをするか、を解析する為、1969、70年の61日間の柿岡の induction magnetometer の data から周期 5-45 秒の周期数帯での Pc の occurrence frequency を作製した。その結果、Pc 3 周期領域に 2 つのバンドの存在が示された。

2 つのバンドの統計的解析による性質として

- 平均周期はそれぞれ 20 秒、15 秒(以下これらをバンド A, B とする)
 - 周期の日変化は A が朝夕長く正午付近で周期最短に比べ B はむしろ平坦
 - 出現時刻は A, B が 4h L.T. ~ 15h L.T. の間で、出現頻度は正午付近で最大
- 以上がされる(図)。A, B が統計操作による重ね合わせではなくうやうやしく二つある。この二つのバンドが同時に存在することから否定され、又磁気震度 26°-35° のスペクトラムの振幅の総合依存性の違いも、2 つのバンドの独立性を示すヒ清えられる。

これらのうち A は、周期の日変化や、solar activity を差しに含めてみるとならば、同現象の shift した 35mHz 脈動(T. HIRASAWA & T. NAGATA 1966)に対応する脈動と考えられる。一方 B に向かっては、その平均周期の短いこと、その他のガラス界面下部 = 電離層域で特徴づけられる脈動と若大ると都合がよいことなどが指道出来る。



Pc5型地磁気脈動における降下荷電粒子の役割

桑島正幸
地磁気観測所

地磁気変動と降下荷電粒子との関連を調べることは、それ自体はもとより、磁気圏の物理的状態をさぐる上においても、きわめて興味深い。

前々回及び前回の学会では、主として Sc, Si型地磁気変動と降下荷電粒子との関係について解析結果を報告した。今回は 地磁気変動の中でも Pc5に着目して、降下荷電粒子はPc5の発生に際してどれ程の役割をしているかに焦点をしぼって解析をした。その解析結果を報告する。Pc5と降下荷電粒子との関連現象は極光帯において、特に顕著であると思われる。解析資料としては、南極昭和基地に於いて 1968年に観測された ULF, ordinary magnetogram および CVA の data を使用した。

その結果次のことが明らかになった。

(1) Pc5と荷電粒子の降下との間には、correlation coefficient が 0.8 以上にも達するきわめてよい相関がある場合がある。

(2) このことは 6h~9h magnetic local time で特に顕著である。

(3) しかし荷電粒子の降下のない時でも 大きな振巾でかつ sinusoidal な波形とともに Pc5 が生じている。

以上の観測事実から次の結論えた。

(i) Pc5と降下荷電粒子との間には 密接な関係が存在する。

(ii) しかし降下荷電粒子は Pc5の発生に際して 本質的な役割はしていない。

又 Pc5と降下荷電粒子との対応がある時、その時間帯の前後で Pi(c), Pi(d) の発生する例がある。これは両者の関連を究明していく上で興味ある事実と思われる。今回はこのことについても言及する。

Pi 脈動と極磁気嵐

福島 直 佐々木克己 福西 浩 幸田威男
東大現

前回は、極磁気嵐の Onset 時、即ち Break-up type の極光 (ref. 本学会講演、幸田・飯島・永田 及び 幸田・永田) に伴う不規則脈動 (pi 2) のスペクトラムに考察を加え、その結果として極光帶 pi 2 型脈動は、周期 160 秒 - 8 秒の範囲で f^{-2} で表わされる雑音型スペクトルを有することを確めた。

今回は、前回とは異なり、post Break-up phase に発生する極光帶、短周期不規則脈動 (pi 1 型、周期範囲 40 秒 ~ 2 秒) を調べ、その結果について報告する。

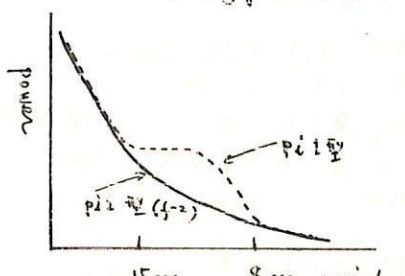
(1) 解析方法。

- (1) Induction magnetogram (アナログ data) を、2 秒間からでデジタル化し、パワー・スペクトラムを作製した。(約 200 Events)
- (2) デジタル $f-t$ ダイヤグラムを作製した。(10 Events)

これ等のパワー・スペクトラム (地磁気及び極光脈動)、と $f-t$ ダイヤグラムに考察を加え、その結果を述べる。

(1) 極光帶 pi 1 型脈動は、pi 2 型脈動と f^{-2} 型 (雑音型) を示すが、周期 15 秒 ~ 8 秒の範囲で pi 2 型にくらべ、パワー \rightarrow Intensity が認められる。(図 1 参照)

同様、基本的には 雜音型スペクトル

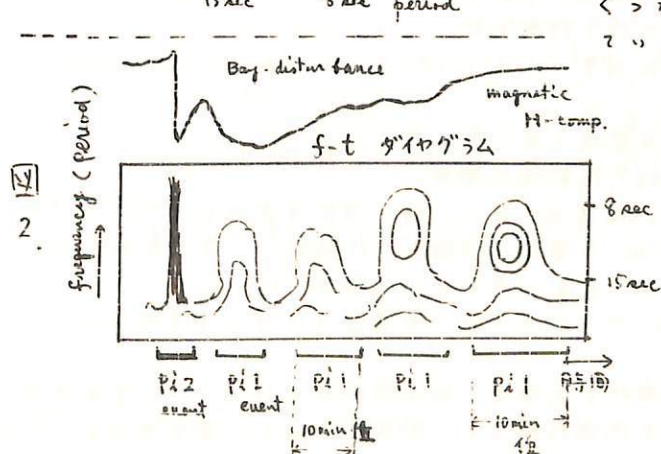


(2) この pi 1 型脈動の周期 15-8 秒範囲でのパワーの増加は、Sub-storm (Bay disturbance) の終相に至る程顕著に認められる。(図 2 参照)

(3) pi 1 型脈動の継続時間は、5 min ~ 10 min 程度。Sub-storm (Bay disturbance) の間には、10 から (3~10) events がくりかえし起つ。(図 2 参照)

(4) 極光脈動との相關性は周期 5 秒より短周期成分については非常に悪くなる。

以上の結果等からこの種の pi 1 型脈動が成起機構に考察を加える。



昭和基地における極光地磁気電波観測 - II 次南極観測

福西 浩
東大 理

II 次の極光研究観測では、プロトンオーロラの観測に主眼をあて、ティルティングフィルタ方式の水素ベータ線掃天光電受光器を導入し、プロトンによって励起される H_{β} 線の空間的時間的変動を観測し、多くの新しい情報が得られた。電子励起オーロラに関するところは、入射電子のエネルギースペクトルの空間時間変動をとらえ、プロトンオーロラとの関係を明らかにするために、多色式掃天光電受光器による観測を行った。またこれらの観測と同時に、地磁気、地磁気脈動、VLF 帯自然電波、電離層吸収の観測を行い、磁気圈のダイナミックスを解明するまでの有益な情報を得ることができた。また今回、将来昭和基地と内陸での各種の超高層現象の多色観測を行った上での第一段階として、昭和基地から地磁気子午線に沿、約 300 キロの地表にみずほ前進基地をもうけ、地磁気脈動の同時観測を行った。詳しい結果は、これから解析を待たねばならぬが、以下装置と観測結果の概要を述べる。

1. 水素ベータ線掃天観測

本器は、中心波長 4866.4 Å 、透過域中 5.3 Å の多層膜干涉フィルタを使用、ティルティングの最大角度は 15° 、周期は 4 秒で、短波長側へ 80 Å のスイーフを行っている。 180° 掃天周期は 45 秒である。

- H_{β} 線は、夜間ほぼ定常に存在し、その最も強度の空間位置は、最も北側に位置する Quiet Arc よりも更に北側に位置し、Breakup 前の Arc の低緯度側移動と共に低緯度側へ移動する。
- Breakup 時には、この強度最大のピークは依然として残るが、新たに全天にわたって H_{β} 強度が急激に上昇する（強度は $10 \sim 20 R$ ）。この全天に広がる H_{β} は、その後徐々に減少し、それと共にピークの位置は高緯度側へ移動する。Breakup が起らなければ、明ら�클オーロラが出現して H_{β} の H_{β} 強度は上昇しない。
- 午後側で Positive Bay が出現するとときは、必ず H_{β} 強度が上昇し、この際地磁気脈動 P_{c1} が出現することが多い。またリオメーターには、高エネルギープロトンによる起つたりともと思われる大きな吸収が観測された。

2. 多色掃天観測

観測した輝線は、 $\lambda 4278 \text{ } \text{Na}^+$ 、 $\lambda 6300 \text{ OI}$ 、 $\lambda 5577 \text{ OI}$ の 3 つである。 180° 掃天周期は、5 秒および 2.5 秒で、主として 5 秒を使用した。

- 空間時間分布は、各輝線とも類似したパターンを示すが、 $\lambda 6300 \text{ OI}$ の空間分布は一般に他の輝線よりブロードである。
- 各輝線間の強度比は、サブストームの発達と共に変化する。

3. 昭和基地 - みずほ前進基地地磁気脈動同時観測

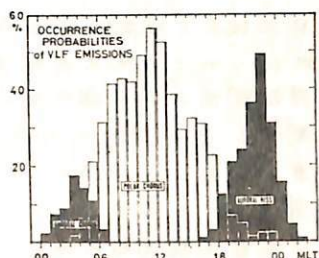
装置は、インダクション方式である。検出コイルは、みずほ前進基地 ($70^\circ 42.1' S, 140^\circ 17.5' E$, 高度 2167 m) の東側 100 m の雪中に埋設し、記録部は、雪上車 KD 605 内にセットした。1970 年 7 月 20 日から 29 日まで 9 日間連続観測を行った。

- Breakup の際に発生する P_i burst は、サブストームの発達と共に発生領域が広がりゆく。
- P_{c3} は、両地表でほぼ同時に、同波形で出現し、発生領域がかなり広いことを示す。
- P_{c1} もほぼ同時に出現するが、波形や振幅は両地表で時間的に大きく変化する。

VLF emission substorm Aurora Chorus, II

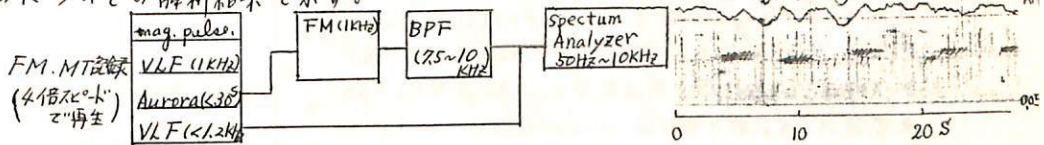
林 幹治, 国分 徹
東大・理

前回学会に引続で post breakup に昭和基地付近で観測される auroral chorus について述べる。右図は昭和基地において最も顕著に観測される Polar chorus, Aurora Hiss, Aurora Chorus の 3 種類の emission 現象について、特に Aurora Hiss が日照の影響とと思われる季節変化することを考え、太陽高度の低い 5 月～6 月、7 月の 3ヶ月をもとに発生確率を調べてみたのである。Auroral chorus は 3~6 MLT に発生頻度のピークを持ち、出現する時間帯は 00h ~ 24h MLT となることになる。地磁気脈動の Pi-1, pulsating aurora, bay の recovery phase がよく観測される時間帯である。



1969年5月～7月の昭和基地におけるオーロラコラス、ボーラーコラス、オーロラヒスの発生確率

Pulsating aurora と Pi-1 magnetic pulsations がよく correlate していき、時には 1 対 1 の対応があることはよく知られた事実であるが、どうのような場合に対応がありどうのような場合に対応がないのかという点については必ずしも明確になっており。現象論的フィルターなどによく使われらるが、どうのようには使つかひうるか重要な問題となると思われる。Pulsating aurora とよく合った VLF emission が観測されることは既に 1930 年代から言わされており、人を納得させるには足らず観測結果は報告されている。筆者等も昭和基地における観測でその確信を強めた。今回は 1969 年のデータより、Aurora, magnetic pulsation, VLF (0~1.2 kHz), VLF の 1 kHz 検波出力を FM 磁気テープに記録したものについての解説結果を示す。



結果について； 素直に言って目で見ながら音を聞いた感じ、あるいは音を聞きながら aurora 記録を記録紙上に描かせたときの感じよりは対応関係ははっきりしないかった。もちろん対応が良い（多くの場合 3~3.5 秒ずつある事により）部分もあったが、一般的に言えば一対一の対応を取れるとは非常に困難であった。

これらは、波として electron cyclotron 不安定性により発生した Whistler mode 波を假定すると粒子の precipitate してゆく方向と波の進む方向は逆方向となるため実際に対応の良いのは conjugate point の各々のデータを比べなければないのではないか。あるいは、magnetic pulsation と VLF を比較するとすれば、isotropic mode wave がよく見えるであろう赤道地方のものと比べればもう少し対応関係は良くなるのではないかと思われる。

なお解析が並めば sub storm との関連についても述べる予定である。

極光帯に於ける VLF, LF hiss の特性

巻田和男、林幹治、国分征
東京大学理学部

極域地方で観測される数kHz～数百kHzの自然電波を我々は auroral hiss と呼んでいたが、これについての発生過程は今だ良くわかっていない。ごく定性的には Substorm と密接な関係があり、磁場圈外から侵入する auroral particle (10keV程度の electron) による輻射に関係し、10kHz 前後に peak intensity をもち、主に午後側に分布し、midnight 前に最大の発生頻度を示すことや弱い arc 状の aurora の運動に伴なって観測される事実、及びその発生機構の一つとして cerenkov radiation が考えられるといふことが知られている。
ここでは南極昭和基地でのデータをもとにして hiss と地磁気変動との関連を調べたのでその結果を報告する。

問題点と結果。

hiss の spectrum を見て気がつくことは数十kHzまで時間的にゆりと broad に発生しているものと、百kHz附近まで impulsive に発生するものとがある。この spectrum 型の違いが地磁気変動などのどのような関係にあるのかを調べてみた。

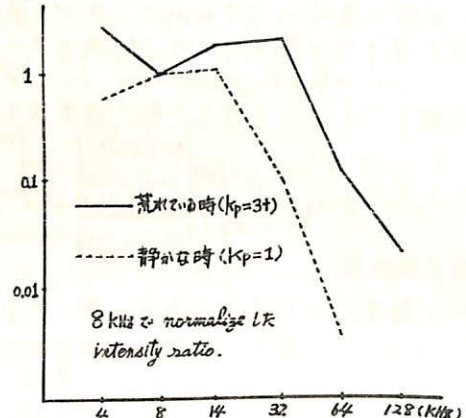
その方法として syowa base を北半球の conjugate point に

移して参え、北欧ヒソ連の地磁気のデータをみながらその変動が小さい、もしくはほとんど静かな時に発生している hiss と break up 直前に発生したと思われる hiss の spectrum を 30例ばかり統計した結果、右図に示したように静かな時の hiss は 10kHz 附近にピークがあり、60kHz 以上の周波数帯での intensity は急に落ちる。他方、流れ出す直前の hiss は 20kHz 附近にピークがあり、120kHz の周波数帯まで広がってゆくことがわかった。

まとめ。

ここで特に注目したのは hiss の観測地表の周辺で地磁気の変動が小さいのに発生する hiss はいかなる原因によるのかということであった。Akasof 等は auroral hiss の原因を Substorm (breakup) に全て帰着させようとする考え方であるが、ここで調べた範囲では、2つの spectrum 型のうち impulsive なものは auroral breakup に直接関係があるとして、もう1つの hiss は必ずしも大きな negative bay を起こすような breakup に原因していないと言える。

Harang & Morozumi の研究によると auroral hiss の減衰は 1000km 離れると $1/100$ ぐらいになると認められており、hiss の発生領域は観測地表に近いと思われる。今回参考にした Reykjavik, Tromsø, Murmansk の地磁気が小さい変動しか示していないのに hiss が観測されているといふ事実は breakup が hiss の直接的な原因であるとは考えにくいだろう。最近の Jorgensen の論文によると観測地表が auroral oval に近く、hiss が観測されると言っている。arc 状の aurora の動きと hiss との対応が良く、arc 状の aurora がほぼ oval に沿って存在しているといふ観測からみても、auroral hiss が breakup にいたらぬ小さな変動によって発生していると考えておかしくないようと思われる。



磁気圏 VLF 放射の観測 I

永山幹敏、西崎良、大木久夫^{*} 相原和弘、星藤忠典
郵政省 電波研究所 太平磁気圏支所

昭和46年7月以降、電波研究所鹿島支所でアロマエットーJSIS 従星によるVLF放射の観測を開始した。今月は昭和47年7月～12月に高さ 1500 km 以上の L = 1.0 ～ 1.4 の間で、主として 13 ～ 10 LT 間に AL 2 号で観測され下表に示すとおり、その概況を報告する。

(1) $K_p \approx 2$ 時には、 $L = 1.0 \sim 1.4$ の全区間にわたって、3 ～ 4 kHz 以下に位相波数ヒスがまとめて観測される。又このヒスクの上限周波数は非常に明瞭である。 $L \leq 2$ ではヒスクの上限周波数は 3 ～ 4 kHz になる場合が多い。

(2) Lower Hybrid 共鳴のため反射されて、地上では観測されない高周波数ヒスは、 $L = 3.7 \sim 2.2$ の間で観測され、ヒスクの下限周波数は減少するとともに増加する。この出現域及び下限周波数が特に依存するかどうかは今後の多量のデータによって検討する要であるが、高周波数ヒスは、プラスマボーズより内側で走り、 $K_p \approx 3$ 以上で出現域が 1.3 ～ 2.0 に移る。

(3) $K_p \approx 3$ 時には、 $1.5 \leq L \leq 5.8$ の間で、3 kHz 以下に位相波数ヒスと共に多重コラスが同時に発生している。又 $K_p \approx 3$ の時には、 $3.7 \leq L \leq 5.5$ の間で、4 kHz 以上のヒスクもしばしばコラスが発生する。

(4) $L \geq 5.6$ の所では、 $K_p \approx 3$ の時でもコラスは発生せず、下限周波数が空洞の従星の移動に伴って、不規則に変化する高周波数ヒスが 3 ～ 4 kHz 以上に走っている。

(5) 幅 < diffuse しないトレースをもつヒスクは、ホイストラーア形ならば、 $L \leq 3.0$ ($\Delta \leq 55^\circ$) で観測される。

On generation of equatorial VLF hiss and its propagation

早川正士 大津仁助
(名古屋大学 磁気研究所)

In the satellite observations of Injun, Gurnett found a new type of VLF emissions, and named equatorial VLF hiss. The most interesting characteristic of equatorial VLF hiss is that the occurrence is located at equatorial latitude and at low altitude. In association with this emission, recently Heikkila made the measurement of 1-10 kev electron beam flux, and found that on some occasions there appear intense fluxes of such soft electron beams at equatorial latitudes. So we propose a possible explanation of equatorial VLF hiss. This mechanism is the Cerenkov instability caused by such soft electron beams. And also the propagation characteristics of generated electromagnetic waves are considered by means of ray tracing techniques.

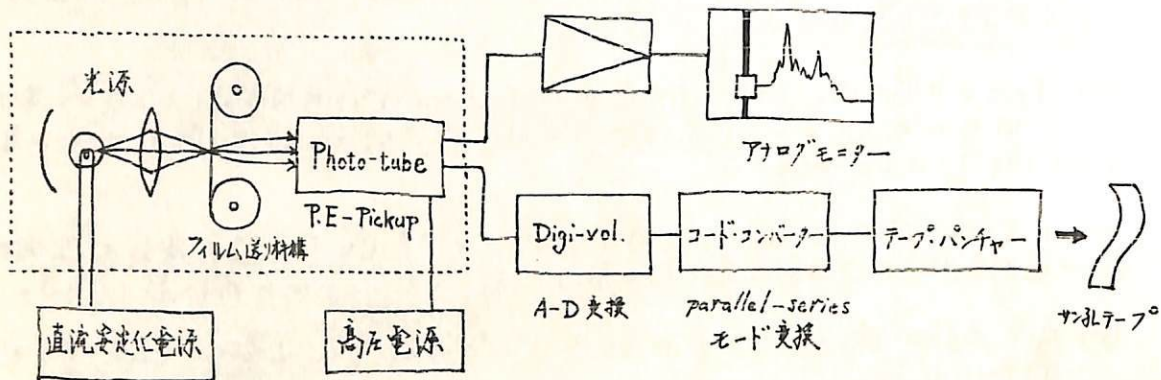
デジタル出力型極光全天空真光電解析器 (ASCAPA-D)

金田葉瓶、寺松修次、永田武

東大理学部地球物理研究施設

全天カメラに依る極光観測資料の解析手段として精度の定量的処理を目的としたアナログ出力型の極光全天空真光電解析器(ASCAPA)を数年前に作成し、それを用いて解析して来た。この処理方法で更に精度を上げ、処理速度を増すために、デジタル出力型極光全天空真光電解析器(ASCAPA-D)を作成し、テスト期間中の処理データに基づくもの解析は一部既に学会等に於いて発表した通りである。

今回 ASCAPA-D がアナログモニターを加へて、一応 off-line のフィルム処理装置として完成したので報告する。測定精度を上げる為に光源用テムア電源に直流安定化電源を使用した事、測定の信頼性向上の為にフィルム送りの再現性精度を高めた事の二点に依って、quality の良いフィルムの解析が可能となる現象の大半の精度で確認出来た。その詳細な點の詳説は譲り置かず、ここでは ASCAPA-D の構成と諸元に就いて述べる。全体の構成を下にブロック・ダイアグラムで示す。



- 処理可能データ フィルム: 16 mm, 35 mm
- フィルム送り 再現性精度: $\pm 3/100 \text{ mm}$ 以下
- 処理速度: 100 frames/min.
- 出力データ: 8 単位 OKI-Code.

ASCAPA-D の process limiting speed はテープ・パンチャーのサン孔速度である為、この点を解決すれば処理の高速化は可能で最終的にはメカニカルなフィルム送り構造の limit ~ 20 frames/sec 程度迄もって行けた。現在この点に就いて検討中である。

極光輝度の長周期変動

金剛葉祐・鶴田治雄

東天理学部

デジタル出力型極光全天半真光電解析器(ASCAPA-D)に依る解析から極光等に於ける(昭和基地 緯度 $\sim -79^{\circ}$) 極輝度での極光の長周期変動が確認された。

この変動の特性を尋ねると、

1. この変動は 15 ~ 20 分程度の周期性を有し、場合によつては数時間の測定測定である。
2. この様な輝度変動に於いて全天カメラの視野中には discrete type のオーロラと見出される事は一般的に由来未だ。

この様な事実から、この様な輝度変動は極光性のものではなく何らかの原因(例へば、気象現象、人工光流入、フィルムノイズ等)に依る見かけ上の輝度変動ではあるかとの是問も持たれた。

- a). 光電受光器に依る天頂での極光輝度が極端な周期的変動を同時に示す。
- b). 同時観測したマイネル型パトロールスペクトログラフの 1 時間露光($00^{\text{m}} \sim 19^{\text{m}}$)の分光写真には、この長周期変動の出現した時間から固有の型を有する極光のスペクトル(即ち極端な [OI] 6300Å の輻射が顕著)が記録され、それ以前の極めて静穏な時のものと異る。
- c). 見かけ上の輝度変動を年へと房へとされたものに関して吟味を行は、太陽系の極端な原因に依るものではない事。

等の理由から、この周期的な変動は極光性のものと考へられた。

現象的にはさうしてこの周期的変動(以下、併り B_p -1 と呼ぶ)は昭和基地での Breakup に先行して出現する事が多々、 B_p -1 の始んど一晩中続くだけの事もある。この點に B_p -1 はまだ完全にその本質が明るかになって居ない点が多い。

- i. B_p -1 と Aurora/substorm との関係。
- ii. B_p -1 と precursory phenomena との関係。

等に関する報告をする。

静穏時極光のスペクトル特性（Ⅱ）

鶴田治雄
(東大理)

地磁気の比較的静かな日や bay の前の静かな時の極光のスペクトル特性は、極光から \pm に substorm mechanism の解明に非常に重要な示唆を与えるものである。

いかにも Akasofu-model は、substorm onset 以後 ($T \geq 0$) の状態については、あれだけ詳細に精力的に調べられてはいるにせよかわらず、 $T \leq 0$ の状態についてはほとんどの comment である。しかししながら、極光観測によれば、極光が突然出現して enhance されるわけではなく、ほとんどの場合極光が出現していくと考えられる。極光の time-history という観察でみると、極光の enhancement の前と後との主要な相異点は

- ① spatial movement
- ② spectral pattern

である。movement は、auroral oval \times plasmashell の inner-boundary \sim compression layer の間の関連性が多くの人々によって問題にされており、spectral pattern は precipitating particles と密接な関係がある。

今回は、特に spectral pattern の空間的・時間的変動に注眼を置いて、昭和基地での観測結果を示す。color は、6300A (OI), 5577A (OI), 5199A (NI), 4861A (H β), 4709A (N_2^+) で、photometer は揚天式と固定式の両方である。

(1) 静穏時に於いて極光の veil type に特徴的なことは、6300A が卓越してはいることである。6300A の emission は、electron, proton, or heating = δ excitation と説明されるが、excitation energy は約 2eV と低いので励起されやすく、また emission mechanism は δ でよりわかっていない。

enhancement の後では、4709A (N_2^+) が相対的に強くなる。

(2) 静穏時に於いても、昭和基地をはじめ poleward での弱い変動は equatorward に対応した変動を示している。

これらのことより、静穏時の極光のスペクトル特性を示し、substorm mechanism に対する考察をする。

東側極光の特性

全角葉祐

東大理学部地球物理研究施設

東側磁気中性点附近での極光の様相と ASCAPA-D による South Pole ($\phi_m = -78.5^\circ$) の全天写真の処理を通して解析して来た結果と、前述報告にてまたか、これはまとめて個々の event 例に亘って夜側での substorm 発生に先行する極光の display 特性の解析であった。その後の個々の event 例の解析、統計解析に依って東側での極光の諸特性について以下の点が明りかとなったので報告する。

1. South Pole の極光資料の解析から、地磁気時正午を中心として、夕方とも約 6 時間中の時間帯は mid-day と見らる事がある。
2. auroral oval は refer して言へば、この mid-day zone の南側では極光の display の様相は明るかで dawn-dusk の非対称性を示し、夕方側では極光の活動が朝方に比して低緯度に寄つて居り、極光の様相は朝方では夕方よりも turbulent である。
3. 朝方へ起る極光の display は時としては mid-day zone に途絶する事はある。この zone の顕著な display である substorm は先行する極光は独立に生起し、その位置は常に morning aurora の高緯度側である。こうして以降 morning aurora の活動度が減少し、低緯度へ移行して行く。
4. こうした morning aurora は (はしばかへ 20 分程度の周期的) 緯度変動を示すが、これは惑星間空間風場南北成分の変動と可成り良く合。 morning aurora は可成り turbulent であるが、別に詳述で報告した極光帶での 1 分～20 分程度の周期性を有する低緯度極光の緯度変動 ($B_p - 1 \mu$)、東北大衛藤助教授の指摘された $P_s - 6$ (周期 20～40 分) と現象的にはどの様な関係があるのか今後更に検討を重ねる必要がある。

振動型 Magnetic Substorm (Ps 6)

の特性とその機構について

齋藤尚生

(東北大・理・地球物理)

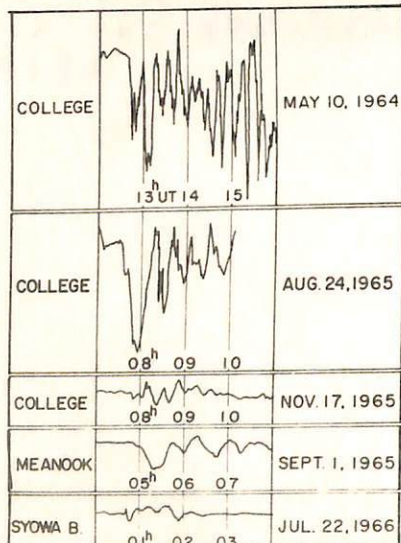
従来 substorm 中の変動磁場は、不規則変動として殆んど解析されたかったが、此処では、substorm の onset と共に発生して 20 分～40 分位の周期を有する様な磁場変動が存在する事に着目して、それを簡単の為に仮に Ps 6 と名付け、その特性及び発生機構を検討する。

第 1 図は Ps 6 の例であるが、Ps 6 は主に次の様な特性を有する。

- (1) 極光帶で振巾の最大を示す。
- (2) 振動型変動は declination に起り易い。
- (3) interplanetary magnetic field の fluctuation と一緒に一の対応が多い。
- (4) polar 及び equatorial region における磁場変動と対応が多い。
- (5) その発生时刻は殆んど substorm の onset と一緒にする。
- (6) individual Pi と一緒に一の対応が無い。
- (7) declination phase は各波方向に見かけ上 1 ～ 2 km/s の速度で伝播する。
- (8) 伝播方向は夕方側では西向き、朝方側では東向きである。
- (9) auroral arc の振動と一緒に一致する。

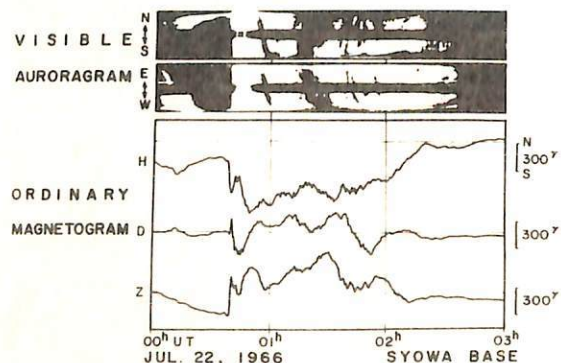
第 2 図上半分に、昭和基地における all sky camera の movie film (金田氏一博士より提供された) と auroragraph で NS, EW 方向の動きに分解した aurogram を示し、下半分に ordinary magnetogram を同じ時間尺度で示してある。00 h 40 m UT の auroral break up と共に Ps 6 が発生し、それと同時に auroral electrojet が振動的で変動をしている事が解る。尚、此処では表示していないが、昭和基地の near-conjugate station である Reykjavik では、更に明瞭な Ps 6 型振動が此の時刻に発生している。

Ps 6 が、従来から知られている現象の一つとして説明し得るか否かを検討する為に、Dp 2, 偶然 periodic な individual substorm の集積, PC 5, gravity wave, 等としての可能性を夫々 check する。之等既知の現象との直接的関連は如何なる定まるので、別種の機構が考慮される。



第 1 図 Ps 6 の例

第 2 図 auroragram と magnetogram の同時記録



極光からみた極磁気嵐 (IV)

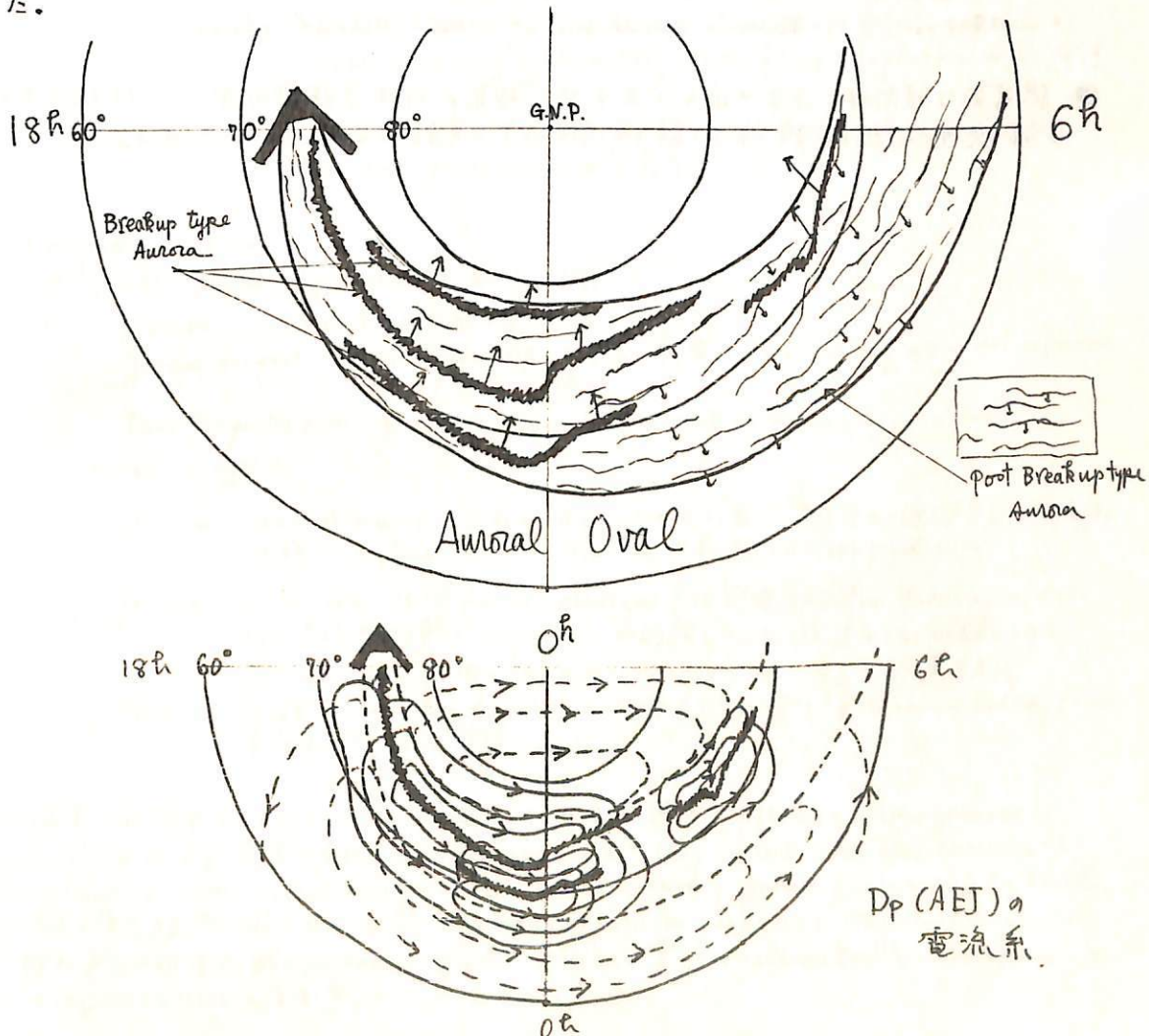
平沢威男 飯島 健 永田 武
東大理

前回までは、昭和基地で得られた“極光・時間・空間変化図”を中心とし、地磁気変動、地磁気脈動、極光脈動、リオメーター及び VLF 等、data を利用して極磁気嵐の特性を調べてきました。そして、極嵐は Pre-Breakup phase, Breakup phase, 及び Post-Breakup phase によつて構成されることを指摘した。

今回は、この 3 つの phase の特性を更に詳しく調べることとに、昭和基地以外の Auroral zone 及び polar cap stations の各種 data を集め、昭和基地に於いて観測された極嵐が汎極域現象としての立場からみた場合、いかなる意味を有するかを検討した。そして、更に、Auroral Oval の形成、極磁気嵐の発生及び盛衰過程について言及する。

Auroral Oval と

本講演の一、結論と二、 $D_p(AEJ)$ 電流系の模式図を下記に示めしめた。



極磁気嵐と関連現象

半沢威男 永田 武

極磁気嵐は Pre-Breakup, Breakup point Breakup の 3 つの phase で構成される。
立場から、極磁気嵐時に発生する関連諸現象を整理してみる。

(1) Pre-Breakup phase

地磁気と CNA の変動が幾分起らねば、顕著な隨伴現象はない。

(2) Breakup phase

数 + ~ 数 keV の Aurora Hiss, 地磁気及び CNA の Sharp の変動, 地磁気 pi 1 型
振動, 極光振動

(3) Post Breakup phase

地磁気及び CNA のゆるやかな変動, 周期 5~15 秒程度, 極光及び地磁気
振動 (pi 1 型), 数 keV の auroral Hiss, 及び Aurora chorus.

總、總括的傾向は、以上の通りであるが、"極光の時間・空間変化図" に対する色々
の諸現象の出現特性を詳しく調べ、その結果について報告する。

Auroral Substorm and Tail Magnetics

飯島健・平沢威男・永田武

東大 理学部

Auroral Substorm is magnetotail via plasma sheet dynamics に直結して 3 時間が取れる。Hones - 赤祖父 etc. (1970) によると、最初には Substorm expansion phase, early stage で plasmashell の contraction をおこす。その後 plasma sheet の expansion をおこす。特に Syowa Station の Auroral Observation (Scanning photometer record おもに all sky film) と太陽極周辺の Explorer 33 の Magnetotail via Magnetics を比較した結果、Auroral Substorm は 2 つある two-phase structure であることがわかった。

(1) Precursory Growth phase

Aurora : Weak arcs がまばたき equatorward に drift する

Ground Magnetics : 地球上には Convective-DP (MHD SP) が出現し発達する。Low lat. 領域では最初 (午後十分), H 带合は 高いレベルで存在し quiet level が enhance される。午後四時頃 evening と early morning では H 带合が最も高い。field depression が発達する。

Tail Magnetics : plasma sheet の領域 (field depressed region) で IPW は field magnitude の 増加とともに field strain が生じる。

(2) Expansion phase :

(a) Philosophical trigger phase ~ early stage

Aurora : arcs が急に明滅するが active な状態。

Ground Magnetics : Convective-DP が最も強く発達し、low Lat. region の H-depression が最大となる。

Tail Magnetics : field strains collapse がおこる。

(b) main stage

Aurora : auroral bulges or poleward に expand し、Surges が西ward に、patch が eastward に expand する。

Ground : expansive-DP (Auroral electrojet) が発達する。low. lat. region では positive な depression が最も強く、quiet level が增强される。

Tail : field magnitude depression が最も大きい。field strains collapse が最も強く、IPW が発達する。

磁場構造 : S_P型 dawn to dusk 方向が主導して expand する過程で plasma の inhomogeneous population の増加による Cusp to tail region の ring current と tail current の enhancement が互いに over-loading がおこる。この precursory growth phase の過程で、この力が電流密度を増加する大気に対する process の Substorm expansion phase である。ring-tail current の一部が電流密度によって short-circuiting され、plasma の急速な release が ionosphere と magnetotail の expansion とおこる。

Substorm precursor and growth phase

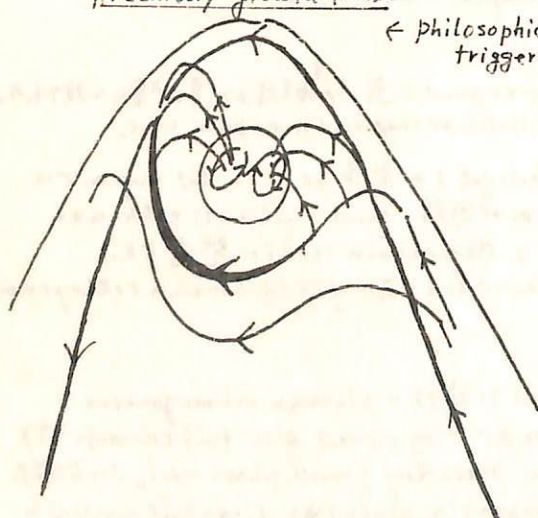
飯島 健・平沢誠男・上井洋介

東京大学理学部

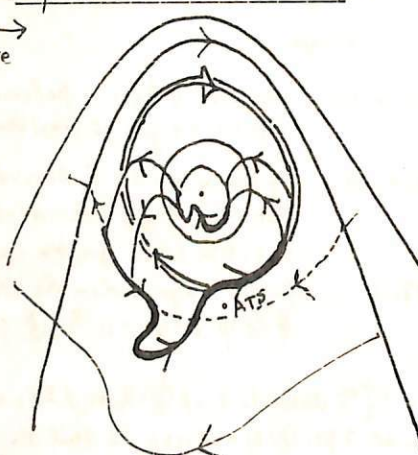
Substorm は、日下22時～23時頃の auroral oval の拡大とそれに伴う plasma sheet の発達である。auroral electrojet expansion (auroral oval の拡大) と plasma sheet の発達 (drop または expansion) が同時に起こる。auroral arcs は poleward expansion が最も早く以前の状態と expansion との間に差がある。前兆には Iijima 等の precursor phase がある。Mc Pherron の growth phase があり、後には Akasofu の expansion phase がある。この 2 項目は precursor growth phase と expansive main phase である。低緯度地域 ($\overline{\theta_m} = 20^\circ \sim 40^\circ$) では 1 時間～2 時間の分布で 8 ～ 9 回の observatories で観測される。一方で、5.0 min. の spatial Fourier analysis で 3 ～ 4 回のゾーナル波 (Dzonal Dst) と first harmonics (D'') で電子 field の asymmetric deformation が見られる。polar substorm が発生する。この precursor growth phase の expansion は 1 ~ 2 hour の範囲で、この間に auroral zone と polar cap の間の convective Dp (SPZ の変動) が発達する。低緯度地域では朝日側で plasma sheet が quiet level で enhancement され、夕方～夜～朝は plasma sheet が quiet level で enhancement され、field depression が最大となる。夕方～夜～朝は plasma sheet が expand され、field depression が最大となる。朝日側で plasma sheet が expand され、field depression が最大となる。この後、auroral arcs が poleward に expand する。これは auroral oval の拡大と plasma sheet の drop による。plasma sheet の expand が終ると、low lat. region の convective Dp が発達する。この後、Substorm の expansive main phase が発生する。この間に、low lat. region の plasma sheet が expanded され、field depression が最大となる。この後、plasma sheet が ring および tail current を形成する。

Precursory Growth phase

\leftarrow philosophical trigger phase \rightarrow



Expansive Main phase



上出 洋介（東大理）

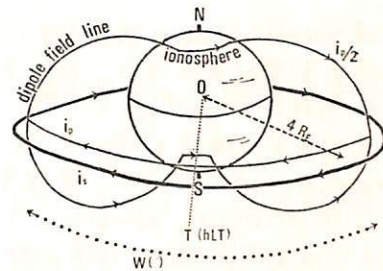
昨年、ring current field の asymmetry を含む DR-indices を提出し、実際のデータについて DR-indices の 4 つのパラメータの特徴と Dst、AE との関係について議論した。

$DRS =$ the magnetic perturbation (unit: gammas) at the equator on the earth's surface produced by a circular ring current of intensity i_s .

$DRP = DRS \times i_p i_s$ (unit: gammas), where i_p is the intensity of the westward partial ring current with longitudinal width W .

$T =$ the local time of the centre of the partial ring current system.

$W =$ the longitudinal width angle of the partial ring current loop.



本論文では近年の人工衛星観測（粒子および磁場）の availableな magnetic storm について DR-indices を計算し、モデルの妥当性を検討する。

(1) Magnetic storm of 8-9 Sep., 1966

Frank (1970) は OGO-3 により、 $3.5 \leq L \leq 5.0$ の local evening の proton intensity が local noon における値より数倍大きいことを観測した。Frank (1967)によれば、local evening の L -dependence がもし symmetric に分布していたとすれば、そのときの $Dst (\sim DRS^*) = -35\gamma$ 即ち $\varepsilon_T^* = 1.3 \times 10^{22} \text{ erg}$ が期待されるという。この storm について DR-indices を計算してみると、人工衛星が evening から noon side に飛んだ時間内での平均パラメータは

$$DRS = -18\gamma, DRP = 24\gamma, T = 18 \text{ hLT}, W = 170^\circ$$

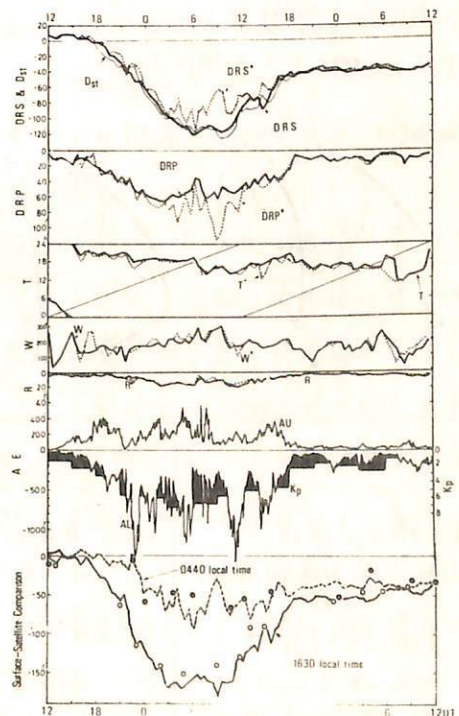
となる。ところが

$$\frac{DRP}{DRS^*} = \frac{\varepsilon_T^P}{\varepsilon_T^*}, \quad \varepsilon_T^P = \varepsilon_T^* \frac{W}{2\pi}$$

を仮定して DRP を求めると、 $DRP(\text{expected}) = 17\gamma$ となる。この値は、DRP の storm 前の値 7γ を考慮に入れた DRP の enhancement $24-7=17\gamma$ とよく一致する。

(2) Magnetic storm of 13-15 March, 1966

この storm については OGO-2 が地上約 1000 km の磁場を観測している (Langel & Cain, 1968; Cain & Langel, 1971)。右図に示すように、T は main phase は afternoon sector を westward に動く。図の最下部の○印は OGO-2 の equatorial crossings 時の磁場変化 (obs. - GSFC 12/66 theor. value) をそれぞれ 0440, 1630 local times についてプロットしたものである。また、DR-indices から、これらの local times における磁場変動値を予想計算したもの (--- および —) と比較すると、全 storm time を通してかなりよい一致を示している。地上と 1000 km 上空の磁場変動の方向と絶対値がほとんど等しいというこの結果は、asymmetric field disturbances の source 電流は大部分磁気圏にあり、電離層電流によるものではない、という初めの仮定を支持しているものと思われる。



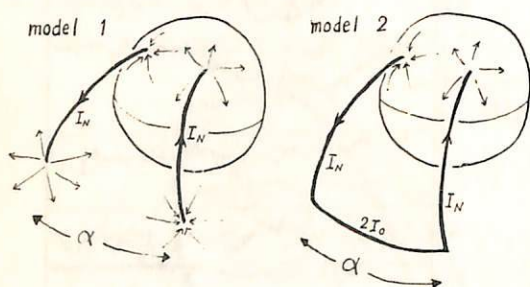
13-15 March, 1966

FIELD-ALIGNED CURRENT による VORTEX-MODE (Sq^P , SP, DPC,
DP-2, Sq) CURRENT-SYSTEM の生成

上出 洋介・福島 直 (東大理)

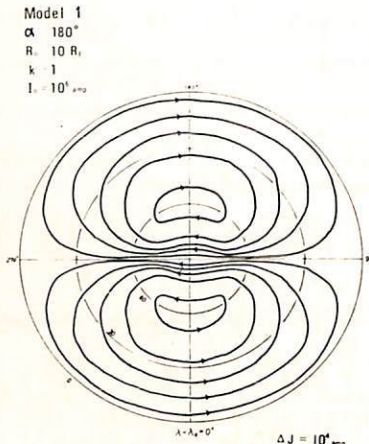
最近 auroral electrojet の説明に field-aligned current の影響が再び注目され、field-aligned current の存在は satellite によっても detect されているが、これまで用いられている field-aligned current のモデルは、電離層の高さにおいては electrojet、auroral arc と結ばれている。一方、Fukushima (1969) および Vasiliunas (1970) は、無限遠方から鉛直に電離層に出、入り、電離層で一様に拡がる電流と結ぶモデル電流系による地上磁場は 0 であることを証明した。

ここでは、電離層の conductivity の局所的上昇がないとき、すなわち curved field-aligned current が電離層で uniform に拡がるとき、その二次元等価電流系はいわゆる vortex mode (極地方と中低緯度で逆向きで極光帯の集中電流がない) になることを数値計算で示す。計算は次のようなモデルについて行ない、簡単のため field-aligned current は line current として扱った。



parameters	in the present paper
a. 磁力線の方程式	dipole $R = R_0 \sin^2 \theta (R_E)$
b. R_0 (equatorial crossing value)	4 ~ 14 (R_E)
c. $k = I_N / I_S = \sigma_H / \sigma_S$ ($I_N + I_S = 2 I_0$)	0.2 ~ 1 ~ 11
d. α (separation angle)	$90^\circ \sim 225^\circ$
e. partial ring current 伴うか?	No & Yes (上図)
f. σ の spatial non-uniformity	なし

計算結果の例を下図に示す。



パラメータ変化の結果への影響は次のようにまとめられ、適当なパラメータの値を選びことにより、解析で得られていく vortex mode の電流系のあらわし pattern を (equatorial electrojet をつけ加えることにより) field-aligned current system で説明できる可能性がある。

- (1) I_0 は 10^6 amp 程度で、観測される磁場変動と同程度の磁場を地上に及ぼす。
- (2) 北極と赤道 (system の中心緯度, 入入 $\lambda_0 = 0^\circ$) の磁場変動の比 $\Delta H_{\text{pole}} / \Delta H_{\text{eq}}$ は、 $k=1$ (equinox) で 2.5、 k が大きくなるにつれて (summer) 大きくなる。たとえば $k=5$ で 5 (model 1, $R_0 = 6$)。
- (3) vortex centre の緯度は、 k が大きくなると低緯度へ、また $k \geq 1$ に対しては α が大きくなるにつれて高緯度へ、 $k \leq 1$ については α が大きくなるにつれて低緯度へ shift する。したがって、夏と冬で R_0 が変わらないものと仮定すれば、 Sq^P の昼側の vortex centre は、夏の方が低緯度側へ移動することが期待される。

物理的見地からの妥当性は今後の課題である。

偏角変動に注目した極域地磁気変動解釈

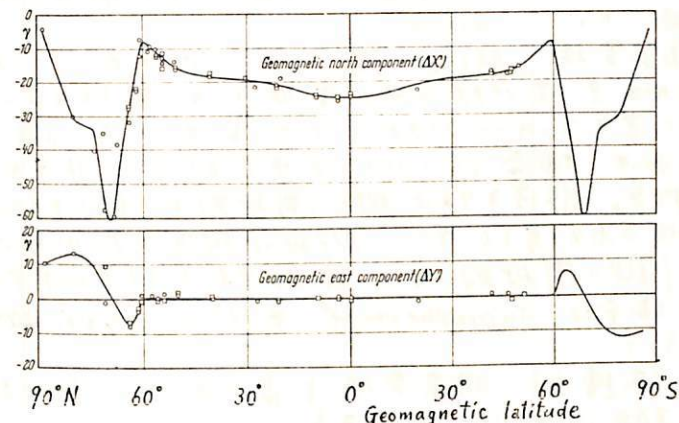
福 島 直
東京大学理学部地球物理研究施設

極光帯地域における地磁気変動は水平分力の変動が偏角の変動に比べてずっと大きいのが通例であり、偏角変動はあまり注目されていない。しかし極光帯地域での地磁気変動においても、偏角の変動は解釈の面においては重要な意味をもつ。古くから知られてきた統

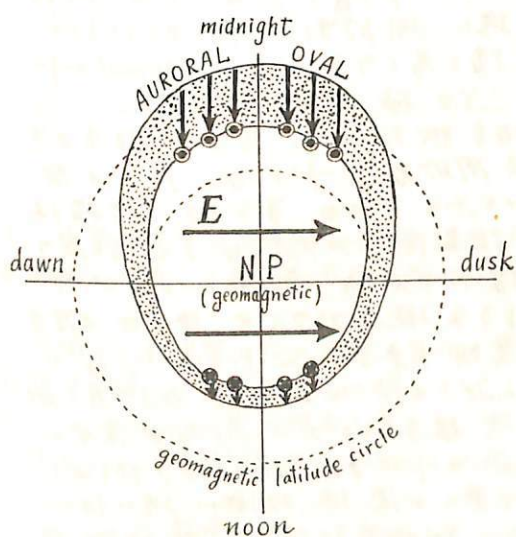
計的事実として、地磁気擾乱時偏角変動の Dst 成分をみると、左図に示すごとく、赤道から緯度 60 度までは殆んど 0 であり、北半球 60-70 度では西偏し、70 度よりも極に近いところでは東偏している。このような偏角の Dst 成分に対する等価電流系は一見考えにくいつづであるが、auroral oval 及び、磁気圏内電場による field-aligned current

を考えることにより、偏角の Dst 成分に対する一解釈が可能であることを示す。

磁気圏には dawn → dusk 方向の電場が常にかかるているものと考え、地磁気擾乱時には auroral oval に沿って電気伝導度が周囲よりも増大されている。この条件で auroral oval 内に生ずる強い Hall current は、auroral oval の内境界で field-aligned current として夜側では流れ去り、昼側では流れこむと考える。このように考えれば地上に及ぼされた磁場変動として偏角の Dst 成分が生じると解釈される。



偏角の Dst 成分を示す図 (Vestine et al., 1947)



高温 フラズマと地磁気脈動

並川富一 高島正樹
阪市大理

エネルギー分布を有する無衡突フラズマ内の波の传播を調べるには Vlasov 方程式と Maxwell 方程式とを連立させて解くのが最も簡単的に非常に困難であり、限られた方向問題しか解けない。故にエネルギー分布を有するフラズマを低エネルギーのフラズマ（全フラズマより近似）と高エネルギーのフラズマの混合液体として（1 keV 以下のエネルギーのフラズマなら二つも似つかはれぬ）イオナティロン周波数附近以下で周波数の波の传播を前回に引続き調べた。

冷いフラズマ中のモードの磁気音波 Alfvén 波（他にオシモードである suprathermal モード（本質的には高速フラズマ中の音波）が存在する。 Alfvén 波は $T_s > T_A$ (T_s : 高エネルギーのフラズマ中の音速, T_A : 磁場のフラズマ中の Alfvén 速度) の場合冷いフラズマ中により更に非等方的に磁力線に沿って传播する。非等方性は磁場周波数がイオナティロン周波数 (ω_c) に近づくにつれて著しくなり。 Alfvén 波は冷いフラズマ内をちがって磁場と成角度 (θ の周波数 ω は依然 ω_c) 以上では全く传播しない。 $T_s < T_A$ の場合は suprathermal モードが Alfvén 波と同様の非等方性を传播する。

冷いフラズマ中では等方的の传播する磁気音波も高エネルギーのフラズマ中の混入する非等方的な磁力線に沿って传播する。

$1 + \frac{w}{\omega_c} = (T_s/T_A)^2$ の下で磁気音波と suprathermal モードの交換が起こり $1 + \frac{w}{\omega_c} < (T_s/T_A)^2$ の周波数での磁気音波が suprathermal 磁力線に沿って传播するが、 $(1 + \frac{w}{\omega_c}) > (T_s/T_A)^2$ の周波数での suprathermal モードが非等方的の磁力線に沿って传播するようになる。 $(T_s/T_A)^2 > 2$ のではすべて周波数によらず磁気音波が非等方的の传播し周波数が付加されたり周波数が近づくと T_s/T_A の磁力線波に沿って传播し易くなる。 Suprathermal モードは $T_s/T_A \geq 1$ を超えて右回り、左回りと二つの極性が変化する。

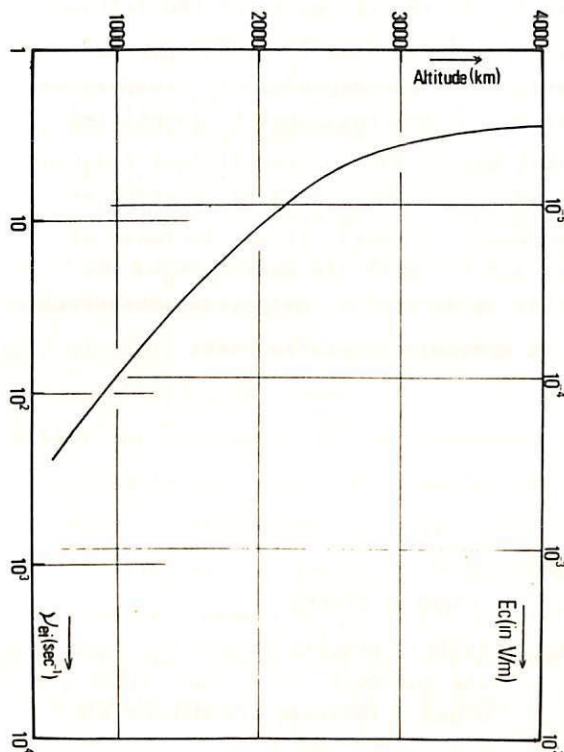
以上の結果は主として地磁気脈動 P_{c1} , P_{c5} の性質を説明し得る所である。 P_{c1} は右回り、下降周波数 モードの波、 P_{c5} は左回りの波は右回りの磁気音波が全フラズマ中では等方的な传播性から今まで説明出来なかつたが、地球磁気圈のフラズマ中 1×10^3 eV 程度の冷いフラズマ中に $10^2 \sim 10^3$ eV 程度の高エネルギーのフラズマを含むとすると左回り、右回り共 suprathermal モードによつて考慮される。其他 SI, magnetic storm の構造も高エネルギーのフラズマを考慮に入れて再検討せねばならず。新しい suprathermal モードの部分もあり得る。以上は所渭一液体理論であるが、今回は更に流体力論で全波ニエクトロン流体の熱の传播、エクトロンのみ、和の兩者が混在する場合に適用され、传播の様子の差異をも調べた。 $w > \omega_c$ では重い大型変化はなく塑性エクトロンのみの場合他の場合と比べて可成り差がある。

Runaway Electrons in the Topside Ionosphere

王 尾 政

東大 理 地球物理研究施設

磁気圏上の電離層粒子の供給, field aligned current, 電離層と上方の磁気圏との相互作用を考へる上に、粒子間衝突による非熱的粒子がどの程度役割を果し得るかということが重要な問題である。特に磁力線に沿う方向の巨視的電場が存在する場合の非熱的電子分布を求めるには上記の諸問題について先づ考慮しなくてはならぬ。



も、古典的従来では無視してきた Collective mode の電場 \rightarrow runaway electrons の出現の結果励起され新しく衝突の役割を果すと考えられる。

今回は、磁力線に沿う一向下向き電場 $E_{\parallel}(t)$ が作用する場合の非熱的電子の振舞いを初期値問題として考へ、その微分スペクトルを求めるべく試みた。荷電粒子間の衝突項として Landau 型の微分を仮定し、領域を次の 3 領域に分け、flux を逐次近似法で求めた。領域(I) $z < 500 \text{ km}$, Collision-dominated region: この領域では E_{\parallel} に比例する上向き flux と supply が等しい。

領域(II) $500 \leq z \leq 2000 \text{ km}$; weak collision region: 領域(II) が supply と領域(III) が存在する間に加速度帯である。

領域(III) $z \geq 2000 \text{ km}$; free streaming region:

左図は適当な上部電離層モデルに対する thermal electron-ion collision frequency, $V_{ei} \propto v^2 (e/m_e) E_0 = m_e V_{ei}^2 U_{th}^{-2} \approx 3 \times 10^3$ と Driver field E_c の高度分布を示す。図に示すように E_c は E_c は高度 $500 \text{ km} \approx 1 \mu\text{V/m}$ から 1000 km 以上では $10 \mu\text{V/m}$ 以下である。一方電場の下での ambipolar diffusion に伴う電場 $E_d = m_i g_0/2 \approx 0.1 \mu\text{V/m}$ 程度である。従って電離層上層部以上の領域では $1 \mu\text{V/m}$ 以上の電場では非熱的電子は著しく影響を受ける。磁力線に沿う runaway current の流れるものである。例を以て、 10^5 V/m の一様電場の上向き flux 在する場合、高度 $300 \text{ km} \approx 10^6 \text{ electrons/cm}^2 \text{ sec sr eV}^{-1}$ のとき、衝突なしの赤道附近まで加速されると 3 eV 。赤道附近では flux は $1 \text{ keV} \approx 10^8 \text{ electrons/cm}^2 \text{ sec sr keV}$ 程度で達成される。併し、直流電場の下で加速され左電子は著しく monoenergetic であるから、このスペクトル幅を持ったためには、Collective mode は diffusion の性質とならない。此の意味から diffusion の性質とならない。此の意味から

SEQUENCE OF DIFFUSE PLASMA RESONANCES OBSERVED ON

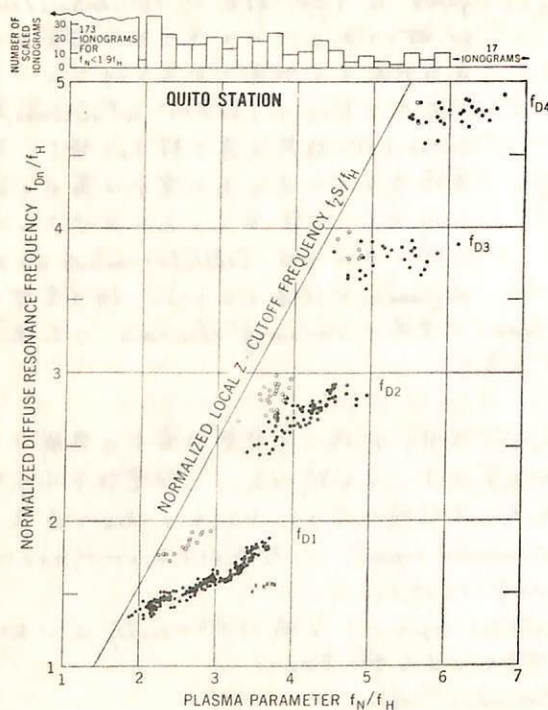
ALOUETTE 2 IONOGRAMS

大家 寛*

(京都大学工学部)

An investigation of more than 1400 Alouette 2 ionograms indicates that a sequence of diffuse plasma resonances exists and that these resonances are grouped according to the following plasma conditions: (1) f_{D1} is observed between 1.3 and $2f_H$ when $2.2 < f_N/f_H < 3.6$, (2) f_{D2} is observed between 2.4 and $3f_H$ when $3.8 < f_N/f_H < 4.8$, (3) f_{D3} is observed between 3.5 and $4f_H$ when $4.5 < f_N/f_H < 5.8$, (4) f_{D4} is observed between 4.5 and $5f_H$ when $5.5 < f_N/f_H < 6.8$, where f_{Dn} is the frequency of the diffuse plasma resonance, f_H is the electron cyclotron frequency, and f_N is the plasma frequency. When these conditions are satisfied, the corresponding f_{Dn} resonances are observed nearly 100% of the time. Diffuse resonances could not be identified when $f_N > 1.8f_H$ or when $f_N > 6.8f_H$; the upper limit may be due to insufficient frequency resolution. The diffuse resonance f_D , reported earlier by others as occurring at or near $1.5f_H$, corresponds to f_{D1} of this sequence. A nearly linear increase of f_{Dn} with increasing f_N/f_H is observed for $n=1$ and $n=2$ with dip near $f_N/f_H = 3$ for $n=1$; the correlation for higher n than 3 is not as apparent. The present observations cannot be explained in terms of pure Bernstein mode electrostatic waves.

DIFFUSE PLASMA RESONANCES



EXAMPLE FIGURE

Scaling results of the f_{Dn} resonances for the Quito data. Open circles and crosses indicate resonances subsidiary to the main resonance (solid points). The histogram at the top of the figure indicates the number of ionograms scaled versus f_N/f_H . The normalized local z cutoff frequency f_zS/f_H is also indicated.

CONVERSION OF ELECTROSTATIC PLASMA WAVE
INTO ELECTROMAGNETIC WAVE

大 家 寶*
(京都大学工学部)

The dispersion curves have been computed for a wide range of the wavelength from the electromagnetic waves to the electrostatic waves in the case of the magnetoactive warm plasma with a Maxwellian velocity distribution function. The computation was carried out mainly for the perpendicular propagation mode. The upper hybrid resonance is the connection point of the electrostatic waves and the electromagnetic waves. The electrostatic waves not associated with the upper hybrid resonance are subjected to electron cyclotron damping when the wavelength becomes long.

Oblique propagation is allowed for the electrostatic waves in a frequency range from the plasma frequency to the upperhybrid resonance frequency in the long wavelength region where Landau damping can be neglected and where the electrostatic mode smoothly connects to the electromagnetic X-mode. In a slightly inhomogeneous plasma the Bernstein mode electrostatic wave can escape by being converted into the o-mode electromagnetic wave; two reflections take place during thisescape process. The frequency range of the escape coincides with the Cerenkov radiation of the electromagnetic waves, but these two mechanisms indicate clear contrast in its origin. The electromagnet c Cerenkov radiation is produced interacting with the high energetic plasma beam with velocity range $100 v_{th} < v < 1000 v_{th}$ (for the nonrelativistic plasma), where v_{th} is the electron thermal velocity, while the origin of the electrostatic waves is in the interaction with the low energetic plasma beam.

* NAS-NRC Resident Research Associate and NASA Goddard Space Flight Center.

磁場の不均一による不安定

石原丈実
東京大学理学部

宇宙空間の境界などでは、密度・温度の不均一とともに、磁場の不均一があり、磁場勾配の大きさは、密度・温度勾配と同程度か大きいこともありうる。ここでは、この磁場勾配によって、低周波数 ($\omega \ll \Omega_i$) の波がどのように分散式の変化をうけ、不安定の条件がどのように変わるかを調べる。

磁場勾配 χ_B ($= \frac{d \ln B_0}{dx}$) の影響は、個々の粒子の軌道を通してはいくつくる。粒子の軌道を χ_B について一次までの近似で求めると、

$$x - x_0 = -\frac{v_i}{\Omega} [\sin(\alpha - \Omega t) - \sin \alpha] - \frac{v_B}{2\Omega} [\cos 2(\alpha - \Omega t) - \cos 2\alpha],$$

$$y - y_0 = \frac{v_i}{\Omega} [\cos(\alpha - \Omega t) - \cos \alpha] - \frac{v_B}{2\Omega} [\sin 2(\alpha - \Omega t) - \sin 2\alpha] + v_B t$$

$$z - z_0 = v_i t,$$

$v_B = \frac{\chi_B v_i}{2\Omega}$ は磁場勾配ドリフト速度。

これを用いて誘電率テンソル $E_{\alpha\beta}$ を求め、分散式を出す。

ここでは、磁場勾配の影響をわかりやすくするために、次のような簡単な場合について考察する。

1. 粒子は Maxwell 分布とし、密度勾配、温度勾配、磁場勾配 (それぞれ $\chi_N = \frac{d \ln N}{dx}$, $\chi_T = \frac{d \ln T}{dx}$, χ_B)

はすべて x 方向にあるとする。

2. 磁場は y 軸方向に向っており、磁力線の曲率は考えない。

3. 低周波数の波を考える。 $|\omega - k_x v_i - k_y v_B| \ll 1/2$

4. 垂直方向の波長は、磁場勾配の特徴的長さより短い。 $\chi_B \ll k_z$

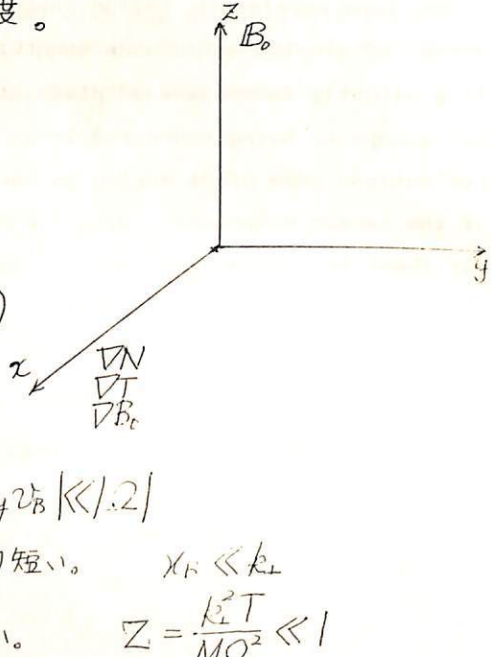
5. ラーモア半径にくらべ 垂直方向の波長は長い。 $\Sigma = \frac{k_z^2 T}{M \Omega^2} \ll 1$

磁場勾配があると、共鳴条件が $\omega - k_x v_i - k_y v_B = 0$ となる。

この結果は、磁場に完全に垂直に伝播するときは、Krall and Rosenbluth の結果に一致し、磁場勾配を無視すると、Mikhailovskii 等の結果に一致する。完全に垂直に伝播するときは、イオンのドリフト共鳴によって、正常波が条件

$$\chi_N \cdot \chi_T < 0$$

とき不安定になるが、これが斜め伝播になると、電子の共鳴によって、条件 $(\chi_N + \chi_T) \cdot \chi_T > 0$ にかわる。



磁気圏の Loss-Cone 不安定性について

斎藤 元宏

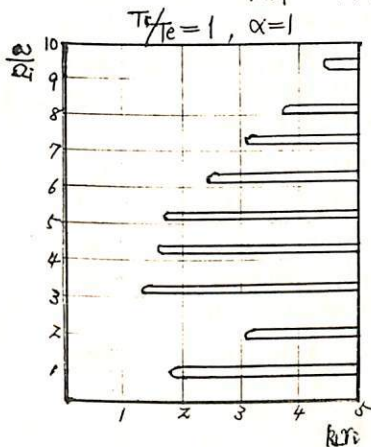
東大・理学部

磁気圏内に於て実験室に於けるビーム不稳定性の役割を演ずる有力な候補の一つとして Loss-Cone 不安定性があげられる。我々は以前に Tail Plasma Sheet の Compression Flow を伴った運動に伴う素過程を解明しに際して一つの可能性として Tail Plasma Sheet が内側に侵入するにつれて異方性の強化が起こり、これが Harris 型の意味で他に Loss-Cone 不安定性を導く事を指摘した。(1)

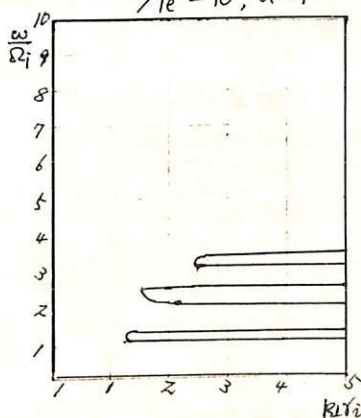
更に precipitation のメカニズムとして electron は Landau resonance, proton は electro-static wave による pitch angle diffusion を提唱した。これは whistler wave に着目した Kennel 等が我々より高エネルギー一粒子を考えている事を注意すると、互に矛盾はない。(2)

本講義では 最近 electro static wave の観測が本始めている時であるので proton loss-Cone による 静電的サイクロトロン波の発達の様子を種々のパラメーターにつき計算した結果を報告していく。結果は T_e/T_p , ロスコーンの強さ α , 波の伝播角度 $k_{\parallel R}$ に非常に鋭く依存している。

結果の一例



$T_e/T_p = 10, \alpha = 1$



(1) 斎藤, 玉尾 地球電磁気学会講演 ('69春)

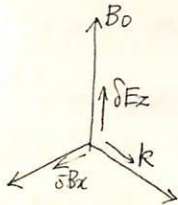
(2) Kennel-Petschek J.G.R. 71 1(66)

Ordinary Mode \rightarrow Loss-Cone 分布による
励起による
角部充電
東大・理学部

最近、磁気圏・太陽風中での波動の種類がますます多様になってきているが(1)これらは励起メカニズムを調べる事は重要な問題である。Space のように非一様、ミラー壁場中での励起現象については実験室メカニズムの分野で比較的よく解析されているようだ。beam タイプよりはむしろ Loss-Cone, Drift 波等が有望であると考えられる。

さて最近 emission disk と呼ばれていたように赤道面付近での励起、並びに伝播が注目されているが、本講演では、まず始めに 磁場に垂直に伝播する Ordinary Mode の hit 效果を入れた場合の性質、並びに Loss-Cone 分布の効果が調べられ Extraordinary Mode は計算中である。Ordinary Mode の hit 效果による分散特性は 最近調べられた(2)、励起メカニズムとしては、例えば Harris 型 ($T_{ie} > T_{ie}$) によるものが有名だが(3)これは $high \beta$ ごとに励起されなく、磁力線方向の beam によるもの(4)は $low \beta$ でも励起される。又 Extraordinary Mode の分散特性は最近 Bernstein Mode との関連に於てくわしくさせられた。(5, 6)

λ Model, Formulation



Linearized Vlasov Equation を Upperturbed Orbit で解き。
諸量を求めて分散率に代入する事により

分散函数として ion, electron 共 background part ($\pi + \pi$ の Harris 型)
Loss-Cone part ($\pi + \pi$ の Loss-Cone)

の二式より構成されている。
結局分散率は次の如くとなる。

$$\omega^2 \left[1 + \sum_j \frac{T_{iejB}}{T_{ejB}} \sum_{n \neq 0} \frac{\omega_{pj,B}^2}{n^2 \omega_j^2 - \omega^2} I_m(\lambda_{j,B}) \right] \\ = - \left[\sum_j \omega_{pj,B}^2 \left(\frac{T_{iejB}}{T_{ejB}} - 1 \right) - c^2 k_L^2 - \sum_j \omega_{pj,B}^2 \frac{T_{iejB}}{T_{ejB}} I_0(\lambda_{j,B}) \right] \\ - \sum_j \sum_{n=-\infty}^{\infty} \omega_{pj,L}^2 \frac{n^2 \omega_j^2}{\omega^2 - n^2 \omega_j^2} \int_{-\infty}^{\infty} 2\pi v_{||}^2 dv \int_{-\infty}^{\infty} 2\pi J_n \left(\frac{R_{jL}}{\omega_j} \right) \frac{dv}{v} f_{pj,L}$$

j は ion 及 electron, B は background, L は Loss-Cone 部分
 $I_m = \exp(-\lambda_j) I_m(\lambda_j)$ $\lambda_j = \frac{k_L^2 \sqrt{\omega_j^2}}{2 \omega_j^2}$

a) 上記の Limiting Case として Background part だけの分散率を解析し、 $n = \pm 1$ のときの特性を調べると $\omega_{pe} \gtrsim 2e$ の達には止まらざる事がわかる。
又 plasma pause の外側に Trapping zone が存在する。(7)

b) 温度異方性を全て取り除いた場合 通常の Loss-Cone 分布は波を安定化させる方向に働き、absolute inertia はおこらない。

- (1) 林 磁気圏シンポジウム ('71) 東大宇宙研
- (2) Stéfanik J.G.R. 25 2182 ('70)
- (3) Davidson, Wh Phys. of Fluids 13 1407 ('70)
- (4) Tsoar, Yang Phys. Rev. A 3 2007 ('70)
- (5) Fredricks J Plasma Physics 3 365 ('68)
- (6) Oya, preprint ('71)
- (7) Chapman, Herring, Sharp J.G.R. 25 3848 ('70)

EXPERIMENTAL VERIFICATION OF THE THEORY ON WEAK
TURBULENCE IN THE MAGNETOACTIVE PLASMA

尤家竟*
(首都大学工学部)

An interpretation of the sequence of diffuse plasma resonances observed by space probes (Alouette 2 and ISIS A satellites) is developed in terms of wave-particle nonlinear interaction in a weakly turbulent plasma including the electrostatic electron cyclotron harmonic wave instability. Observations and theory indicate that the center frequency f_{Dn} of the diffuse plasma resonance ($nf_H < f_{Dn}$) (n is an integer), and the center frequency of the electrostatic wave resonance ($nf_H < f_{Qn} < (n+1)f_H$ and $f_T < f_{Qn}$) satisfy the condition of the wave particle nonlinear interaction with the $2f_H$ resonance according to the condition $2\pi \{2f_H - (f_{Qn+2} - f_{Dn})\} = \{\vec{k}(f_{Qn+2}) - \vec{k}(f_{Dn})\} \cdot \vec{v}$ where nf_H , f_T and \vec{v} are the cyclotron harmonic frequency, the upper hybrid frequency and the thermal velocity of the plasma, respectively; and $\vec{k}(f)$ is a wave vector as a function of a frequency f . The weaker diffuse plasma resonance branch observed at f_{Dnl} (where $f_{Dnl} < f_{Dn}$) satisfies the condition $2\pi \{f_H - (f_{Qn+1} - f_{Dnl})\} = \{\vec{k}(f_{Qn+1}) - \vec{k}(f_{Dnl})\} \cdot \vec{v}$. The longest time durations of the f_{Dn} resonance coincides with the most favorable condition for the electrostatic electron cyclotron harmonic wave instability which is obtained by solving the dispersion equation obtained for a linear approximation of the kinetic wave equation for the warm magnetooactive plasma. The electrostatic field due to the transmission of the intense RF pulse produces plasma turbulence involving nonlinear wave-wave interaction and temperature anisotropy which leads to the instability; this instability supplies energy to the turbulence. The f_H and $2f_H$ wave produced in the nonlinear wave-wave interactions in the turbulence heat the plasma to maintain the temperature anisotropy which lengthens the time over which the cyclotron harmonic wave instability conditions prevail; this process can be thought of as a feed-back system. The results also indicate that the f_H , $2f_H$ and f_{Qn} waves are dependent on the f_{Dn} resonance generation.

* NAS-NRC Resident Research Associate and NASA Goddard Space Flight Center

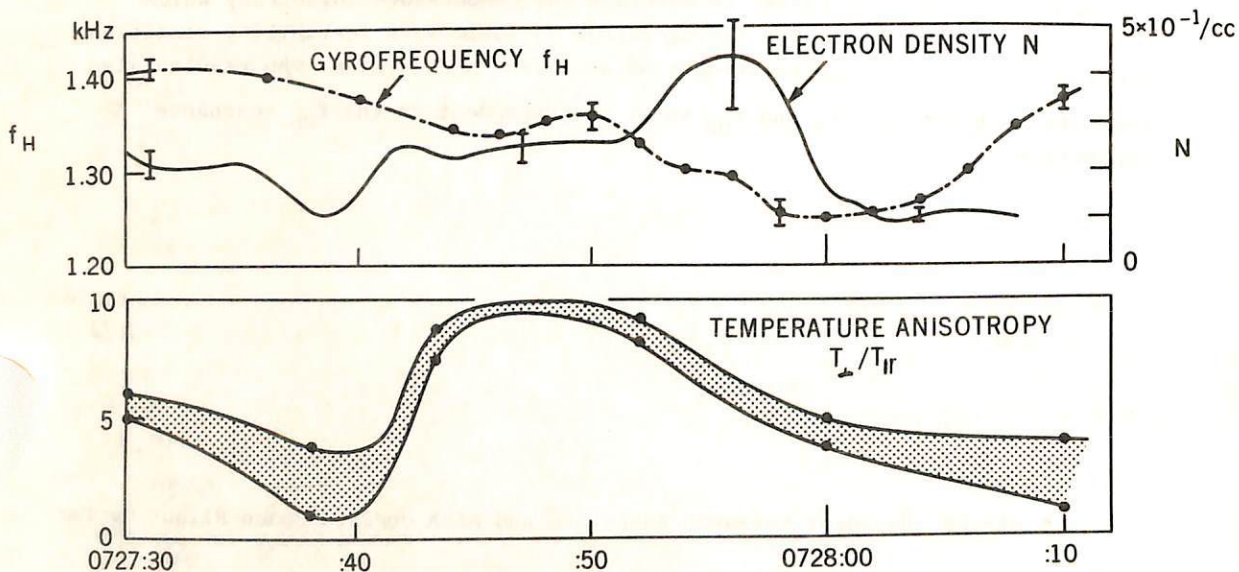
PLASMA WAVE TURBULENCE AT PLASMA TROUGH

大 宇 章
(東京大学工学部)

A established mechanism of electrostatic electron cyclotron harmonic wave turbulence which is verified relating to the interpretation of the sequence diffuse plasma resonance, can be applied for investigation of VLF emissions at plasma trough observed by OGO-5 electrostatic plasma wave probe that is developed by Scarf and his colleague. The VLF emission has been observed near $3/2f_H$, $5/2f_H$ and $7/2f_H$, where f_H is the electron cyclotron frequency. These band range of the emission coincide with the most favourable point for long duration diffuse plasma resonances which are enhanced being associated with electrostatic electron cyclotron harmonic wave instability in the turbulence.

The phenomena in this plasma trough is assumed to be caused by the same mechanism of the plasma wave turbulence that is produced by Alouette 2 and ISIS A. Only difference between the OGO-5 observation and Alouette-2 type observations is that the wave in the plasma trough detected by OGO-5 is due to natural origines while the ionospheric topside sounder makes the plasma wave turbulence artificially by submitting strong stimulation pulses.

Applying this mechanism a range of electron temperature anisotropy and electron desity profile in the plasma trough has been obtained; the value reveals a good coincidence with the observed values detected by high sensitive mass spectrometer developed by Sharp and Harris, giving values of $1 \times 10^{-1} \sim 5 \times 10^{-1} \text{ cm}^{-3}$.



The result obtained at $L=7.5$ $\lambda_m=1.8^\circ$ and Local Time = 00:53 and near around; time scale is UT.

多重オーロラ・アークの生成 - III

佐藤哲也・小川忠彦
京大理 京大工

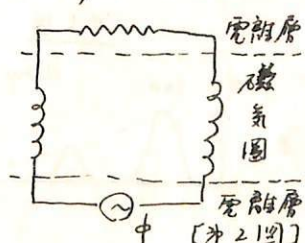
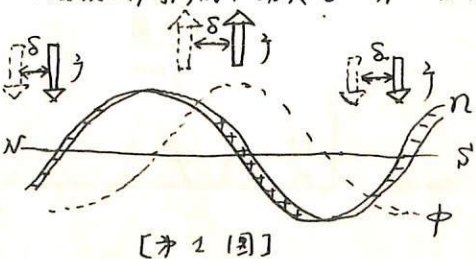
§ 席 このまでの二回の講演でオーロラ・アーク生成機構に対する一つの考え方。オーロラ生成に電離層が主役を演じるという考え方を提案したが、今回はこの考え方を定式化させ、更に定量的議論にまで発展させ、その結果我々の提案する機構によつて観測と矛盾しない「多重」オーロラ・アークが形成される得ることを確かめた。この機構の説明及びその結果を本講演(part III)及び次の講演(part IV)で詳述する。

赤祖父氏等の報告によると、美しく整列した多重オーロラ・アークはオーロラ活動の比較的静かな時期に出現し、substormとともにその一つのアークが突然明るく輝き激しい運動をして、こうしたbulgesに分解する。更にsubstorm or recovery phaseにおいて再び「き山」のアーフに整列して「ぐ」という形で現れる。このことから、アーフの存続はもろく比較的静かな時期に固有の性質のものであると考えらるる。であるとするとならば、静かなアーフに現する限り、電離層側にアーフ生成の原因があると考えるにはあらざり否定され得ないであらう。

§ モデル 我々の提唱するアーフ生成機構は大きく次の二段階に分けられることである：

(1) 電離層 irregularities の発生 完全に静かな時期では行くsubstormの始まる1~2時間前から、少なくとも幾らかのオーロラ粒子が電離層にふりそそぐことである。しかも電離層には一般に南北向の電場が存在して⁽²⁾いる。従つて電離層に飛った粒子はその電場によって極山東の方に向かって吹き寄せられる。その結果、東西に電離密度が勾配が生じる。ところがこのようなら分布は安定ではない。ある巨視的なプロセスで不安定性を受けて電離密度の irregularities が生じる(cross-field instability)。計算によると(part IV参照)、成長率最大となる振幅は、その波長で10倍近くまで、その波長(南北)は30km程度である。この形状は観測されたアーフの形状と非常によく一致してゐることに気がつく(アーフの振幅と除く)。

(2) オーロラ・アークの発生 プロセスの波動数が3限り 現実のアーフのように振幅が数10倍にも達する現象を説明することはできない。そこでこの数10倍の振幅を説明をするには、(1)述べた irregularities の振幅を増大させること別の機構が必要となる。第1回に示す如く irregularities の分極電場(potential)によって field-aligned currents が magnetosphere を通じて流れることがわかる。irregularities の南北運動によると、電圧源は交流を供給することになり、第2回の如き回路構成が予想される。流れの電流がまた周波数を越えるとイオン音波が magnetosphere で発生し、その非線形相互作用によつて高速粒子が作られる⁽⁴⁾電離層をE-Eにくことになる。その結果 irregularities の密度が局所的に増大しオーロラ・アークとなる。



(1) Akasofu et al., JATP
(1965~1966)

(2) Haerendel, MPI report
(1970)

(3) Swift, TGR (1965)

(4) Burchman, PR (1959)

多重オーロラ・アーチの生成 - IV

小川忠彦・佐藤哲也
京大工 京大理

「多重オーロラ・アーチの生成 III」(part III) では、アーチの生成メカニズムについての基本的な考え方を示した。ここでは式を示して具体的に述べる。座標系は図の如し。

(a) Background density distribution 最近の測定に従って $10 \sim 50 \text{ mV/m}$ の電場 E_{x0} を仮定する。今 auroral zone に一様な弱い precipitation があるとすると、粒子は y 方向に大きくなり γ フトを受けす。拡散項を無視すと、運動・連続の式から次式を得る。

$$(1) \frac{\partial n}{\partial t} + v_{y0} \frac{\partial n}{\partial y} = g - dn^2 \quad g: \text{production rate}, \quad v_{y0} \sim \mu_H^- E_{x0} \sim 200 \text{ m/sec}$$

(1) の定常解 $n_0(y) = N_1 \{ (A \exp(2\gamma y) - 1) / (A \exp(2\gamma y) + 1) \} \sim N_1 \tanh(\gamma y)$ から、 v_{y0} を使うと y 方向に $\gamma^{-1} \sim 200 \text{ km}$ の scale length で \rightarrow density distribution を得る。

(b) Irregularity Formation (1st stage) 上記の分布は cross-field insta. を生じる。 $x-y$ 面で growth-rate を計算すと

$$(2) \Gamma \cong \frac{\sqrt{k^2} [(\beta - \tan \theta) E_{x0} + (1 + \beta \tan \theta) E_{y0}]}{k^2 (1 + \tan^2 \theta) + (1 - \beta \tan \theta)^2} - \frac{k^2 k^2 D_{11}^{orb}}{\beta^2} - \frac{D_{11}^{orb}}{k^2} - 2dn_0, \quad \beta = (p_p^+ + p_p^-) / (\mu_H^- - \mu_H^+) \equiv M_p/M_H$$

$\beta = 0.5, E_{x0} = 0.01 \text{ V/m}$ を使うと最大の Γ_m は $\theta \sim -30^\circ, \lambda \sim 30 \text{ km}$ $\Gamma_m \sim 6 \times 10^{-4} \text{ /sec}$ となる。

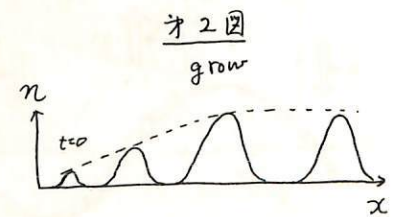
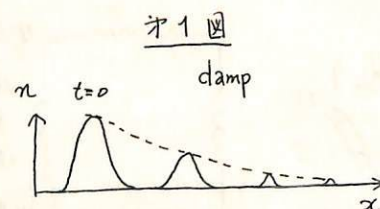
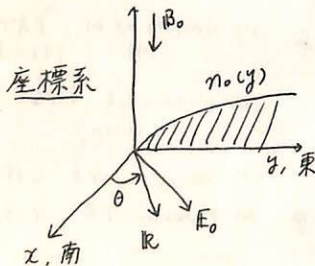
(c) Arc Formation (2nd stage) part III で述べた考証に従って irregularity のオテンシシャ ν と field-aligned current の位相遅れを考慮すと解くべき方程式は、運動方程式と

$$(3) \frac{\partial n}{\partial t} + \frac{\partial}{\partial x} (n v_x^-) = \begin{cases} S_e (\gamma + 1) \phi(x + \delta) - \alpha(n^2 - n_0^2) & \text{for } \phi \geq 0 \\ S_e \phi(x + \delta) - \alpha(n^2 - n_0^2) & \text{for } \phi \leq 0 \end{cases} \quad (4) \frac{\partial I_x}{\partial x} = -e S_e \phi(x + \delta)$$

但し $\delta = \tan^{-1} \omega L / R, d \sim \lambda / 2, S_e = n M_p / d^2$ (3) の右辺 1 項目が source term を表す。我々は上式を E_{x0} ($= 0.01, 0.05 \text{ V/m}$), S_e ($= 10^4, 10^5$), γ ($= 10^4, 10^5$), δ ($= 0, \frac{\pi}{5}, \frac{2}{5}\pi$), M_p^+ ($= 800, 5000$), ε (初期の irregularity の相対振幅 $5, 20\%$) をパラメータとして 15 例にわたって数値計算 (左)。結果の概略を記す：

- i) 小さな S_e, γ, δ に対して初期の irregularity は damp する。(オ 1 図)
- ii) $E_{x0}, S_e, \gamma, \delta, M_p^+$ が大きいほど初期の irregularity は大きくなり grow して一定値に達して数 10 m/sec の速度で Equator 方向に移動する。(オ 2 図)
- iii) ii) より ε は最終的に影響しない。

つまり、cross-field insta. によって生じた初期の irregularity は (1st stage), field-aligned current の t とて、grow 又は damp (2nd stage) することが示された。我々は grow した場合が quiet 時のアーチとを考える。この様に (2) で形成されたアーチは再び、cross-field insta. によって small scale の変形を受けすことが Eq. (2) を使って示せる。



粒子軌道による Diffusion Region の Conductivity

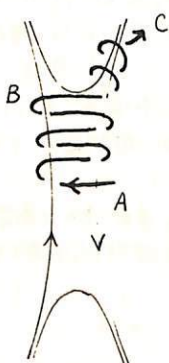
前次測

東京大学宇宙航空研究所

磁気圏内の諸現象、特に DP-1, DP-2 を形成するものか惑星間空間磁場の直接子影響下にあることは今や明らかである。これを説明する有力なメカニズムとして磁気圏の Reconnection Model があるわけであるが、まだ完全な信頼を得るに至っていない。その理由の一つは、この問題についての Petschek の議論が完全ではない所にある。彼は WAVE Region を考慮することにより Diffusion Region の長さ（厚みではなく）をせばめ、運動方程式と連続の方程式の連立からくる Reconnection Rate への制限を解放し。

Reconnection Rate が十分大きくならうることを示したが、一方電気伝導度 σ と Diffusion Region の厚み δ の積が与える Reconnection Rate の制限 $u^2 = c^2/4\pi\sigma\delta$ (ここに u は磁力線が運び出消滅する速度) についてはあまり議論していない。試みに単純なケーロン衝突による伝導度 σ_0 を σ としてると観測される電場を与えようためには、 δ は meter の order となり、これはイオニの Gyro 半径よりずっと小さく信られない値である。結局彼の議論にあっても Diffusion Region の電気伝導度が低くなければ Reconnection が有効に起りえないわけであり、これで彼の議論のもう一つ納得できない理由であろう。

さて Diffusion Region の厚み δ が粒子の Gyro 半径程度になると、圧力テンソルや電流の gradient が大きくなり、viscosity が生じ、オームの式は $J = \sigma_0 E$ というよりは簡単な形では書けなくなる。粒子は電場で十分加速される前に（衝突時間 t_c より短い間に）領域外に出てしまい、これらの効果は実効的な σ の値を下げる落すものと思われる。これを考慮することにより σ の値を下げる Reconnection Model の困難を救おうとする。このような場合に適用できる Ohm の式を取ることは困難であるから σ の estimate を試すために、具体的に Diffusion Region における粒子の軌道を求めておく。その際 Diffusion Region の厚み δ は電子の Gyro 半径と comparable と仮定して平面電場トライポットの速度を熱速度の 1/10 程度にとどめる。軌道の XY 面への投影は、おおよそ下図のようになる。粒子が A 案から Diffusion Region に入ったとすると、A 案から B 案までの粒子は直線的に電場で加速されるが、B 案に致ると磁場に捕獲され、七曲げや電場で加速されなくなる。従って A 案から B 案までの滞在時間 t_c とすれば $t_c \ll t_c$ ならば $\delta \ll \sigma_0$ となるわけである。電流は、A ～ B 間の各成分速度の積分をすればよいわけであるが、てに初期条件により無限大となる所があり、今回はこの議論を今までの estimate をしてみたい。



磁気中性面における Radio-Wave 電場の効果

渋谷 仙吉
山形大・理学部

プラズマ中にあって、電磁波の発生するメカニズムは大ざっぱに、二つに分けられる。一つは荷電粒子の random な運動による制動輻射など熱的メカニズム、もう一つは非熱的メカニズムである。この非熱的メカニズムとしては

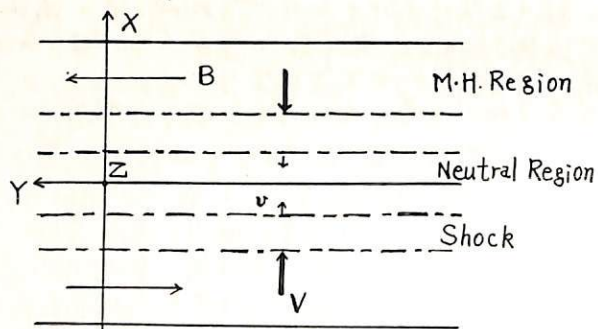
- Ⓐ Cerenkov メカニズム
- Ⓑ Cyclotron メカニズム
- Ⓒ Travelling wave tube メカニズム
- Ⓓ Shock wave メカニズム

などがあり、ⒶとⒷは個々の粒子の運動によるが、ⒸとⒹは集団的な運動に原因がある。太陽フレマーにおいてすでに実測されていますように、磁気圏尾部においても、ある瞬間に ⓐ のような transient な電子の集団運動によって低い周波数の電磁波が発生するであろうと考え、その理論的うらづけを研究する。

まず 磁気圏尾部の Shock のモデルとして右図のように考える。M-H Region は定常磁場が反平行に存在しており、電磁流体波が dominant な領域である。Neutral Region はすくなくとも デベイ半径の程度まで広がっており、定常な磁場はない。この Region には分散式から考えて λ_D 以下の波長をもつ

電磁波が存在するはずである。上と下からある条件を満す Compression があると、大振幅のプラズマ振動が生じ、同時に Shock が形成されるとする。振動する電場は糸状電場 E_L (クーロンポテンシャル) の部分と 摆電場 E_T (電磁波) の部分に分離されるが、非線形性及び非均一性により E_L と E_T が相互作用をする。非対称の糸状振動とともに、プラズマ振動数の 2 倍の電磁波が生ずる。Collisionfree damping は波に trap された粒子の存在することに密接に関係している。もし V が Mach 数 2 以上の強い衝撃波では電磁流体波がそれに trap していた粒子と電磁波に decay (Frozen-in fields が破れ) して 乱流状態になることは考えられることである。

今回はまず magnetopause の変動の速さ、磁気圏尾部のスケールの大きさ、またその媒質が low-density plasma であることなどから 磁気中性面に電磁波が発生する可能性を考える。



電磁流体中の、磁気中性点の3次元的磁場
の構造と、その安定性について。

朝嶋正行 深尾昌一郎 井田圭夫
京都大学工学部

1. まず磁気中性点近傍における磁場。3軸に亘りて、粗略的に分類する。考えてくる領域で磁場が連続であるとするとき、中性点近傍の磁場は、テイラー展開の一次近似により、次式で与えられる。ただし、 \mathbf{B} は中性点に対する位置ベクトルである。

$$\mathbf{B} = \underline{\underline{A}} \mathbf{L} \quad (1)$$

$\operatorname{div} \mathbf{B}(L) = 0$ より、 $\operatorname{curl} \mathbf{A} = 0$ であり、中性点における電流密度は、 $J = \frac{1}{\mu_0} \operatorname{curl} \mathbf{B}(L)|_{L=0}$ であり、これは、 $\underline{\underline{A}}$ の形状のみに依存する。次に (1) で与えられた \mathbf{B} の力線は $\mathbf{L} = \underline{\underline{A}} \mathbf{L}$ で与えられた位相空間の矢の軌道と一致することを示してみる。

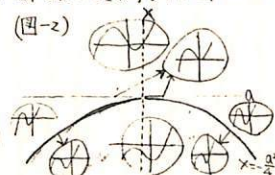
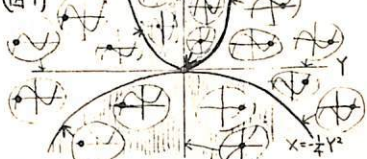
$$(1) \text{ つまり, } \underline{\underline{A}} = \begin{pmatrix} A_x \\ A_y \\ A_z \end{pmatrix} = \begin{pmatrix} a_{11} & a_{12} & 0 \\ a_{21} & a_{22} & 0 \\ a_{31} & a_{32} & a_{33} \end{pmatrix} \text{ 力線の方程式は, } \frac{dx}{B_x} = \frac{dy}{B_y} = \frac{dz}{B_z} \text{ この積分曲線は, } \underline{\underline{Y}} = \begin{pmatrix} x \\ y \\ z \end{pmatrix} = \begin{pmatrix} a_{11} & a_{12} & 0 \\ a_{21} & a_{22} & 0 \\ a_{31} & a_{32} & a_{33} \end{pmatrix} \underline{\underline{L}} = \underline{\underline{A}} \mathbf{L} \quad (2) \text{ で表わされる。}$$

さるる、3次元的位相空間における相軌道と一致する。以上より、(1) で与えられる磁力線の形状は、(2) におけるパラメータを用いた下記軌道を求めることに帰着し、ある点における軌道の延長が、磁場のしのぎを表わす。(2) の解は、線形常微分方程式論によつて確定されてゐるが、この固有値によつて分類することができる。 $\underline{\underline{A}}$ の固有値には、少くとも 1 つの実数値が存在してゐるから、その固有値に対応する固有ベクトル \mathbf{L} が直交座標の各軸上にあつようにすることは、常に可能である。そうすると $\underline{\underline{A}}$ は一般に次のようになることである。

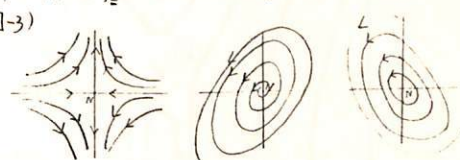
$$\underline{\underline{A}} = \begin{pmatrix} a_{11} & a_{12} & 0 \\ a_{21} & a_{22} & 0 \\ a_{31} & a_{32} & a_{33} \end{pmatrix} \quad a_{11} + a_{22} + a_{33} = 0 \quad (3)$$

(3) の形式で与えられた $\underline{\underline{A}}$ についての固有値に関する分類結果を図-1 に示す。ここに図中のグラフは $\underline{\underline{A}}$ に関する固有方程式を示し、黒点はその固有値に對応する固有ベクトルを、各軸上にとったことを示す。又 $X = a_{11}a_{33} - a_{13}a_{31}$, $Y = a_{33}$ とし、固有方程式は $g(x) = (X-Y)(x^2 + YX - X)$ である。次に、電磁力も同様にでき、 $\underline{\underline{A}}$ の形状にのみ依存する。 $\mathbf{E} = j_x \mathbf{B}_y + j_y \mathbf{B}_z + j_z \mathbf{B}_x$ となる。又 $E_x = j_x B_y + j_y B_z + j_z B_x$ となり、 $E_x = j_x, E_y = j_y, E_z = j_z$ にして線形である。 $j_x = j_y = 0$ とした場合の E を $E_z = \underline{\underline{E}} \mathbf{L}$ とし、上と同様に分類した結果を図-2 に示す。但し $a_{11} - a_{22} - a_{33} = 0$ であり、図中のグラフは、固有方程式 $f_z(x) = X(x^2 + YX - X)$ である。又磁場の 2 例を図-3 に示す。

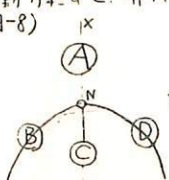
2. 次元的に
ます。



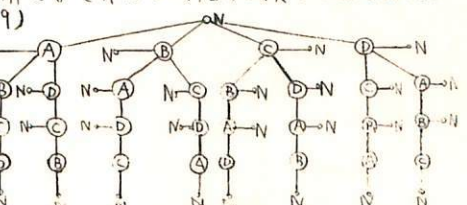
(图-3)



2. 次に、上述のような分類に依る \mathbf{A} の形状のある状態から、別の状態への移動する可能性について考えてみる。1つの例として、磁場のとりうる状態を、図-8 のように大きく分けてみる。そして、次のようなルールをもうける。
① 最初は N 点 (けいれん点, kink point) から出発する。
② 磁場は隣接した領域にしか移動しない。
③ N 点を除いて、度同じ領域にこなす。
④ N 点にきたら、ストップする。
この命題に従うと、可能性空間 \mathcal{U} を図-9 に示す。この図は、一つの「道」を物理空間に説明するものであるが、目的であるが、そのためには、各分校に対する \mathbf{A} の状態の移動を、調べなければならぬ。そのための大きさは、自らを得るために、完全導電性の理想的な電磁流体を考え、その速度が中性点 O として、一次近似をし、密度は、考えている複数で一様であるとして、又流体の圧力を無視して、運動方程式を、解析的に解く。これにより、各分校で存在する、ともらしい物理状況の下で、 \mathbf{A} の状態がどのように移動していく傾向にあるかがわかる。そして、各分校を組合せた一つの「道」を、物理的に説明するところが可能である。



(图-8)



磁力線のリコネクションⅡ（定常の場合）

深尾昌一郎・津田季夫・上田穂
京大工学部

- X型磁気中性点を持つ 非圧縮、有限導電・粘性流体の解析を行った。
- 2次元的に取り扱い、流線、磁力線の識別。各線に与えられたポテンシャルの値によつて行つた。
- 定常状態では 流線の出入りはなく、磁力線は一定の割合で供給され、また通り出されることは可らず。

$$\frac{\partial \bar{\Psi}}{\partial x} = 0$$

$$\frac{\partial A}{\partial x} = -E \quad (\equiv \text{const})$$

$$\frac{\partial \bar{\Psi}}{\partial y} \frac{\partial A}{\partial x} - \frac{\partial \bar{\Psi}}{\partial x} \frac{\partial A}{\partial y} = \frac{\partial A}{\partial x} + \frac{1}{R_m} \nabla^2 A$$

$$\left(\frac{\partial \bar{\Psi}}{\partial y} \frac{\partial}{\partial x} - \frac{\partial \bar{\Psi}}{\partial x} \frac{\partial}{\partial y} \right) \nabla^2 \bar{\Psi} - \left(\frac{\partial A}{\partial y} \frac{\partial}{\partial x} - \frac{\partial A}{\partial x} \frac{\partial}{\partial y} \right) \nabla^2 A = \frac{1}{R} \nabla^4 \bar{\Psi}$$

R : hydrodynamic リノルズ数

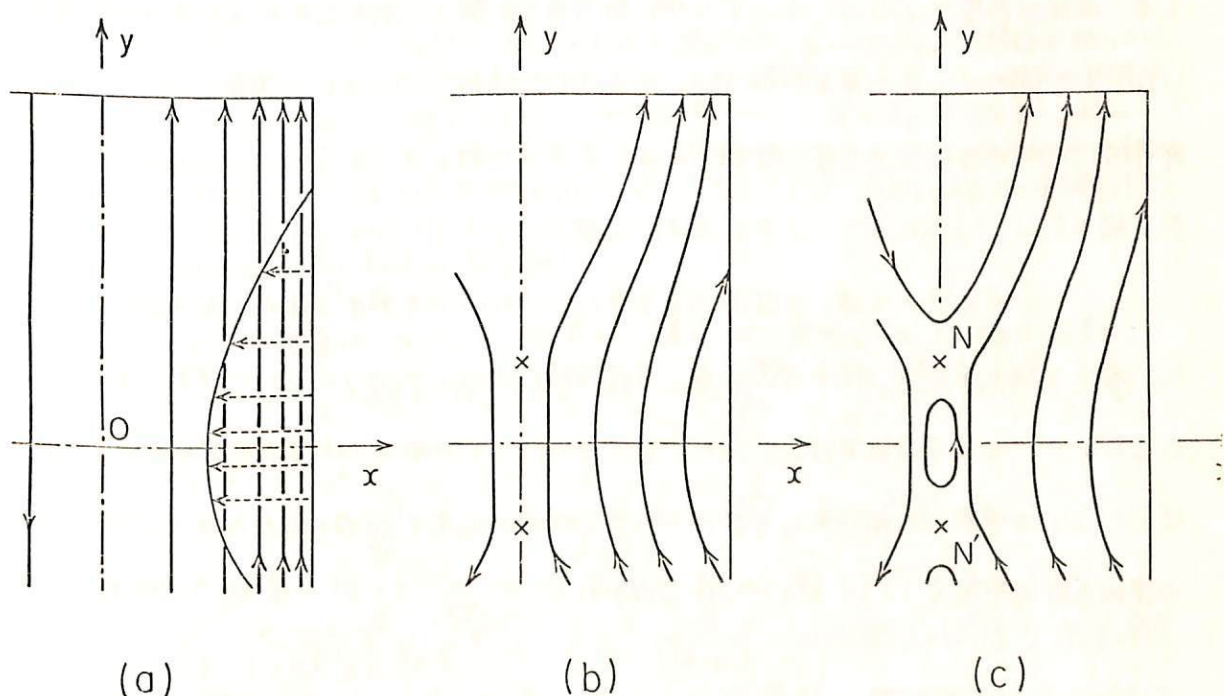
R_m: magnetic

- 計算の結果 磁力線のX型配位の存在が確認された。
磁場 → 動力エネルギー変換の効率に及ぼす外力・プラスマの性質 (R, R_m の大きさ) の影響について定量的に示し、Diffusion Region の大きさ、等についても解説した。

磁力線のリコネクション III (非定常の場合)

津田孝夫・深尾昌一郎・吉門信
京大工学部

A time-dependent solution to the reconnection of magnetic field lines is presented. Starting from an initially anti-parallel magnetic field, the reconnection proceeds, given a sub-Alfvenic disturbance. The growth is found accompanied by an O-type "core" magnetic field. The computer identified each moving field line by its label potential value. It is suggested that one may not need any anomalously high resistivity for the reconnection problem.



Current sheet の構造 I

広瀬敏治・塙見正・津田孝夫
京都大学 工学部

太陽フレイヤや地球磁気圏などにおける種々の現象を説明する仮説として、磁力線のリコネクションがある。これは 磁力線がその中性点を介してつなぎ換わることにより、磁場のエネルギーがプラズマのエネルギーに変換される機構で、これを取り扱うためには、磁気中性面におけるプラズマのふるまいを知る必要がある。

プラズマに電界をかけると、各粒子はそれによってドリフトを起し、電流が流れれる。すると、その電流により磁場が生じ、その磁場の影響で粒子の流れは自己収縮を起こし、カレント・シートが形成される。このカレント・シートの発達や、その構造については、磁場の影響（これは、その中に中性面を持ち、従って断熱近似を使えない。）あるいは、粒子間のクーロン相互作用などによる不安定波動の発生などの問題があり、これを解析的に取り扱うことは非常に困難である。そこで、我々は、上にあげた問題について、計算機シミュレーションにより、これを具体的に調べてみることにし、そのモデルを作った。

このモデルでは、計算時間等を考え、すべてのものを2次元で取り扱う。さらに、粒子を数千本のロッドで代表させ、有限領域内でのこれらのロッドの運動を追跡することにより、必要な情報を得る。この計算においては、外部からかける電界の他に、各ロッドが作る電界及び磁界も考慮に入れられる。すなわちマックスウェルの方程式とローレンツの運動方程式がセルフ・コンシステントに解かれる。

Two-Dimensional Equilibrium Solution of the Plasma Sheet and the Application to the Magnetospheric Substorm, I

十 市 効
(東大 理学部)

I. Introduction

地球内部にその電流源を持つ dipole field と tail を流れる plasma current によって self-consistent につくられる tail field を結びつけたものとして plasma sheet が存在する考え方もある。最近の人工衛星の観測結果 (Fairfield and Ness, 1970) によると plasma sheet の構造や tail field の configuration が quiet state と pre-substorm state で大きく変化していることが明らかにされている。また、磁場が静かな時は、dipole field に近い磁場配位をしているが、substorm直前には、大きく dipole field の後方に引き伸ばされた形になっている。そして substorm は、一層に磁場配位が dipole field に近い状態に近づく process と考える。

一方 Neutral sheet の磁場配位に対して、Harris (1963) によって一次の self-consistent 方解が求められている。(以下 Harris の解と呼ぶ) この解は、粒子の運動の定数で Vlasov 方程式を積分して得られたものである。同じ発想で Sestero et al (1969) によって, cuspe 磁場に対して二次の取り扱いの試みがなされた。

前述のように、dipole field と tail field を結びつけた plasma sheet の構造を明らかにするには、問題を少くとも 2 次元とし扱うことが本質的である。この研究の目的は、tail 後方では Harris の解に一致し、地磁近傍では有限の B_x 成分を持つ self-consistent な平衡解を exact に求め、それに基づいて magnetospheric substorm は a physical process を明らかにすることとするとしてある。以下その概要を述べる。

II. Two-Dimensional Equilibrium Solution

(A) Formulation of the problem

すべての物理量は x, z に依存し 磁場は $\mathbf{B} = (B_x, 0, B_z)$ とする。

$$u \frac{\partial F_{\pm}}{\partial x} + w \frac{\partial F_{\pm}}{\partial z} \pm \frac{e}{m} \left\{ \frac{1}{c} v B_z \frac{\partial F_{\pm}}{\partial u} + \frac{1}{c} (w B_x - u B_z) \frac{\partial F_{\pm}}{\partial v} - \frac{1}{c} v B_x \frac{\partial F_{\pm}}{\partial w} \right\} = 0 \quad \dots \dots \quad ①$$

$$\frac{\partial^2 A_y}{\partial x^2} + \frac{\partial^2 A_y}{\partial z^2} = -\frac{4\pi}{c} (j_{y+} + j_{y-}) \quad \dots \dots \quad ②$$

$$\text{where } j_{y\pm} = \pm e \iint_{-\infty}^{\infty} v F_{\pm} du dw, \quad B_x = -\frac{\partial A_y}{\partial z}, \quad B_z = \frac{\partial A_y}{\partial x}$$

運動の恒量を用ひ、 $x \rightarrow \infty$ で Harris の解に一致するといふ条件より

$$f_{\pm} = \left(\frac{m \pm}{2\pi k T_{\pm}} \right)^{1/2} \frac{\pm e V_{\pm} A_y}{k T_{\pm} c} \cdot \exp \left[-\frac{m \pm}{2k T_{\pm}} [u^2 + (v - V_{\pm})^2 + w^2] \right] \text{ が } ① \text{ を満す}$$

解として適当である。 $③$ を $②$ に代入して計算すると解べき式は $A_y = \pm \sqrt{1 +$

$$\boxed{\frac{\partial^2 A_y}{\partial x^2} + \frac{\partial^2 A_y}{\partial z^2} = \frac{4\pi N_0 e}{c} \left(1 + \frac{T_{\pm}}{T_{-}} \right) V_{\pm} \exp \left(-\frac{e V_{\pm}}{k T_{\pm}} A_y \right)} \quad \dots \dots \quad ④$$

$\frac{\partial}{\partial x} = 0$ とすれば、この式は Harris の解と一致する。

Two-Dimensional Equilibrium Solution of the Plasma Sheet and the Application to the Magnetospheric Substorm, II

(B) Boundary Conditions

方程式 ④ を 次のような 境界条件で解くと、我々の求める解が得られる。

$$\left\{ \begin{array}{l} A_y = \lambda B_0 \log \cosh \left(\frac{x}{\lambda} \right) \quad \text{at } x = +\infty \\ A_y = \lambda B_0 \log \left\{ \cosh \left(\frac{z}{\lambda} \right) - \alpha \right\} \quad \text{at } z = 0 \\ B_x = -\frac{\partial A_y}{\partial z} = \begin{cases} -B_0 & \text{at } z = \infty \\ +B_0 & \text{at } z = -\infty \end{cases} \end{array} \right. \dots \dots \quad ⑤$$

$\approx 2''$

$$B_0 = \sqrt{\delta \pi N_0 k (T_+ + T_-)}, \quad \lambda = \frac{c}{V_- - V_+} \sqrt{\frac{k (T_+ + T_-)}{z \pi N_0 e^z}} \dots \dots \quad ⑥$$

$10^{\circ}\gamma-\gamma$ の α は $0 \leq \alpha < 1$ で、0 から 1 に近づくにつれて、磁場配置が "dipolar state" により近くなっていることを示す。

(C) Numerical Solutions

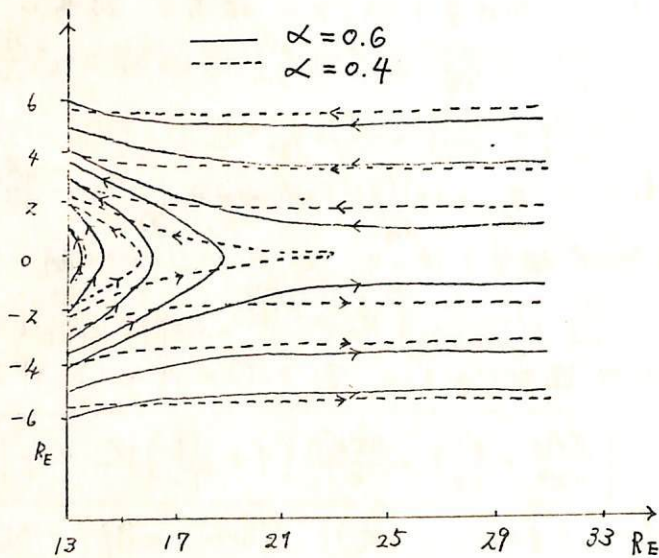
④, ⑤ を ⑥ で無次元化し、 α を $10^{\circ}\gamma-\gamma$ として、Nonlinear Relaxation Method で解く。 A_y のままで B_x, B_z, n 等が容易に得られる。

II. Applications to the plasma sheet structure and the magnetospheric substorm

(A) Structure of the plasma sheet

各 $\alpha = 0.6$ と $\alpha = 0.4$ で B_0 と λ を与えれば、解は完全に決まる。観測との比較のため、次のようになります。 $2\lambda = 8 R_E$ (アラスカ・シート厚の値), $T_p = 2 T_e = 1 \text{ keV}$, $N_0 = 0.2$, $\alpha = 0.6$ と $\alpha = 0.4$ で計算した。詳しい結果は省略して、一部左下に示す。

	Quiet State	Pre-Substorm State
	$\alpha = 0.6$	$\alpha = 0.4$
Tail Field B_0	$12.9 (\gamma)$	$21.9 (\gamma)$
Reference Number Dens. N_0	$0.2 (\text{cm}^{-3})$	$0.56 (\text{cm}^{-3})$
Plasma Sheet Thickness 2λ	$8 R_E$	$4.7 R_E$
Total Number N_T	3.0×10^{29} (particles)	4.4×10^{29} (particles)



(B) 以下紙面の都合で省略

磁気圏の構造と Polar Substorm

東北大学理学部 武井 恵雄

惑星間空間磁場と極域磁場擾乱の解析から、Polar Substorm の break upにとて、惑星間空間磁場が南向きになら——それに伴って DP 2 場が発達する。これが一つの要件であることが明らかになってきた。これは Polar Substorm の break up に先立つて磁気圏対流が強められる事に他ならない。磁気圏対流の動起は磁気圏の構造と密接な関係を有するから、磁気圏は、対流に因るする電場を伝達する機能をもつものでなければならない。この点を考慮してあるのが Dungey のモデルである。これに対して、Chapman-Ferraro のモデルで、惑星間空間磁場の変動と共変的な対流を許すためには、磁気圏界面の性質自身に、大きな修正を考えなければならぬのである。

Chapman-Ferraro 以来の立場を踏襲する伝統的な電磁場モデルについては、Spreiter らの研究者によって定量的な計算が行なわれ、人工衛星から提供されるデータとの比較から、その正確さが示されてきた。例えば、磁気圏界面の形状や、その大きさ等は良く一致すると考えられてきた。しかし詳しく言えばこの一致は、平均的・統計的なものと考えられる。例えば、界面の大きさを代表するものとしてその 1-2 ステップまでの地心距離 (R_N) を考えてみると、伝統的なモデルでは良く知られているように、 $R_N = (B_{\infty}^2 / 2\pi K p_{\infty} V_{\infty}^2)^{1/2}$ で与えられる。Solar Wind の Dynamical Pressure $p_{\infty} V_{\infty}^2$ に、通常観測される値を入れると $R_N \approx 8 \sim 12 R_E$ というもともとらしい値となる。しかし R_N の分散はかなり大きい。 $R_N \lesssim 6$ 、 $R_N \gtrsim 15$ という事もある。この程度の値を与えるためには、例えば $N \approx 1000 \text{ cm}^{-3}$ 、 $N \lesssim 1 \text{ cm}^{-3}$ とか、 $V \approx 2000 \text{ km/s}$ 、 $V \lesssim 40 \text{ km/sec}$ といった極端な値を要すればならぬ。さらに最近では、Solar Wind の Dynamical Pressure が全く変化しないのに $\Delta R_N \approx -2$ という観測事実も出されている。興味深いことは、このとき惑星間空間磁場の方向が北から南に変ったことである。

この例は、Chapman-Ferraro 以来の伝統的なモデルでは、地磁場は惑星間空間磁場と本質的にはつながらないと考えているが、そこに根本的な問題があることを示唆しているつもり。と思われる。つまり、界面の大きさを規定するものは Solar Wind の Dynamical Pressure であることは当然であるが、それを与えただけでは、例えば R_N は unique にはきまらない。地磁場と惑星間空間磁場とのつながり具合によって、磁気圏内——特に前面に含まれる磁束の量が規定され、そのためで Solar Wind の Dynamical Pressure と圧力平衡をなす。と考えるべきである。

Solar Wind の flow velocity, number density, 磁場等が変化するとき、磁気圏全体がどのように変形されるかという力学過程はまだ十分にあきらかにすることは出来ないが、Dungey のモデルか、Chapman-Ferraro のモデルか、といった単純な二者択一ではなく、Polar Substorm の発達過程から要請される現実の磁気圏の機能について論及する。

Multiple satellite observation of DP 2

西田 篤弘 前沢 利

東京大学宇宙航空研究所

地磁気 DP 2 型変動は惑星間空間磁場の南北成分と peak-to-peak の相関を示す。この際太陽風動圧 ($1/m^2$) の変化は小さく、DP 2 の原因は磁気圏の圧縮又は膨張ではなく、惑星間空間電場の磁気圏への侵入であると想われる (Nishida and Maezawa, J. Geophys. Res., 76, 2254, 1971)。しかし DP 2 磁場に伴う対流運動によって磁気圏内の磁場分布には変化が生じているかも知れない。

この点を明らかにするため、1967年1~3月に観測されたいくつかの DP 2 型変動について下記の衛星データを観測位置の好適な順に入手し比較した。

1. Explorer 33 (AIMP-D).

磁場 (Sonett-WDC A)

アラウ (Binsack)

2. ATS 1

磁場 (McPherron)

3. Explorer 28 (IMP-C)

磁場 (Ness-WDC A).

このうち Explorer 33 は惑星間空間において太陽風と惑星間空間磁場をモニタし、ATS 1 は 6.6 Re の地心距離における内部磁気圏磁場を観測。Explorer 28 は磁気圏尾部をモニタする。比較の結果、次の結論が得られた。

- A) すでに他の例について報告した通り、DP 2 は惑星間空間磁場南北成分と相関を持つが、太陽風動圧とは、無関係である。
- B) 内部磁気圏磁場は DP 2 と相関を示さない。即ち磁気圏は圧縮、収縮していないだけでなく、対流は殆んど force-free であって内部磁気圏の磁場構造には殆んど影響を及ぼさないものと思われる。
- C) 磁気圏尾部でも DP 2 の生じる際、明瞭な磁場変化がないことが多い。但し、衛星が磁気圏境界面に近いところには例外があり検討を要する。DP 2 の生じる際、磁気圏境界面の位置が動いてしまうに思われる例もある。

西田 道弘 (東京大学宇宙航空研究所)

惑星間空間電磁場が磁気圏に与える影響のうち、最も直接的で明確なものは南北成分と DP 2 の peak-to-peak 相関である。これに加えて極磁気嵐 (DP 1) の活動も惑星間空間電磁場と密接な関連を持つことが多くの研究者によって示された。

しかし DP 1 の場合には相位の詳細はより複雑であり、最も重要な惑星間空間電磁場パラメータとして何を取るか、又惑星間空間での変動と地上での観測との変動との間に何の差があるかなどを除くか、等の諸実験によってまだ一致していないところが多い。

この点について更に検討を行つために、Explorer 28 の 1 年以上にわたる惑星間空間電磁場データから、特に卓抜な形の磁場変化を選んで、それと極光帯の電流強度 (= 与えの影響度) を比較する (電流強度の資料と 1 年、2.5 分毎の AE インデックスを用いた)。選んだ惑星間空間磁場信号は次のように複数ある。

- 1) 南に向って北に向かって連続的に後、南向きに変化して三時間以上維持する step-function 型変化。
- 2) 上と同様の南向から北向への変化。
- 3) 南向から北へ移る (最初の 5 分以内) 場合。
- 4) 北向から南向成分の大さが、時間以内に 5 分以上減少する場合。

結果は次の通り。

- 1) 磁場が南向に反応し AE インデックスが増加する場合。約 1 時間半後から増加が著しくなり約 2 時間後で最大となる。ただし $\Delta(AE)/\Delta(B_z)$ の関係は非線型で $\Delta(B_z)$ が約 6 分下がると $\Delta(AE)$ は小さく約 100 以下にまでなる。
- 2) 磁場が北向に反応する場合、約 2 時間後 AE は低い。
- 3) 磁場が南向とする、変動がない場合には極磁気嵐は生じない。
- 4) 磁場が北向とする、大さが減少すると同時に極磁気嵐が生じ、減少の約 2 時間後 AE が最大となる。ただし $\Delta(AE)/\Delta(B_z)$ 比は 1 の場合にくらべて大きくなる。

以上から DP 1 の原因となるのは B_z の減少 (北向から南向にかかる) である。初期は $|B_z|$ の減少が大きいほど大きい $\Delta(AE)/\Delta(B_z)$ の比率が考慮されるが、更に 3), 4) の場合は多くの例で検討する必要がある。

惑星間磁場擾乱と磁気嵐

國分 徹

東京大学理学部地球物理研究施設

IMP-3 の資料を用いて 磁気嵐と惑星間磁場変動との関係を調べた。
南向の磁場成分 (B_{ZS} 又は B) と地磁気活動度とは良い相関を示すことは 113 回
な人達によっていつれてきたが、これは AE (AD, AL) index 及び極冠域の
地磁気活動度を表す index (PC) を定期的に解釈して行った。

① Substorm との相関

1 時間毎の相関をとつてみると、AE は B_{ZS} に対して 1 時間のあくまで良相関を示す。
相関係数が小さい場合は 1 時間のあくまで 1 時間の相関最大となり、この 1 時間という
あくまで重要な意味をもつてしかなかった。5.46 分毎を用いて更に時間的に詳しく
調べてみると、PC はいつか DP2 と同じように B_{ZS} に対して 20~30 分のあくまで
相関係数最大となる。AD や AL と PC と同じように 25~35 分位の間に相関最大
となるが、この場合 1 時間程度のあくめに対しても相関係数の減少が著しくない、
これが特徴的である。極光帯の地磁気変動は B_{ZS} に対して 20~30 分のあくめ
をもつ成分ともう一つの成分が重なっていふと解釈できる。

② Storm との相関

次に 1965 年 7 月から 1967 年 1 月までに観測された 26 個の shock events について
調べてみた。Shock 後の B_Z の分布を調べてみると (2 日内)、統計的にはこのような
selection を行つない場合と違うのが、個々の event では 南向の成分が卓越して
13 場合やその逆の場合がある。そこで次のような規準をもつけて 2 つに分類した。
Shock 後 1.5 日のうち B_{ZS} が 50% 以上観測され B_{ZS} の平均値 $\bar{B}_{ZS} > 0$ で
あるものを S 型とい、この逆の場合を N 型とした。このように分けてみると
S 型では N 型にくらべて Dst の発達が著しいことがわかった。Dst の大きさと
は Shock 後 1.5 日程度の間の $\sum B_{ZS}$ と良い相関を示す。又、Hundhausen
輝が始めた shock の energy flux と Dst の関係を調べてみたが、Dst が大き
い場合でも必ずしも energy flux が大きくなる。energy flux と Dst とは $\sum B_{ZS}$
と Dst の関係より相関がよくなかった。更に最近発表された
“STAC B” にある storm を検討した結果以上の結果が正確めうけている。
即ち 太陽風の kinetic energy flux が同じような振舞を示す場合にはも、南向
の成分の変動が大きい方が AE は Dst の発達が著しい。STAC B から得
られた結果で興味のあることは energy flux が増大しているときに B_Z が急に南向き
に転じる際には Dst の発達がみられることがある。

以上のことを考慮するに、惑星間磁場の南向きの変動は太陽風から磁気圏へのエネルギー
の流入を大きく支配する因子であつてそれが結果である。

磁気圏境界領域に沿ける乱れた磁場構造

山下善弘

地磁気観測所

IMP-C の磁場測定 (1965.6 ~ 1967.4) のうち、人工衛星が昼夜 磁気圏境界領域 (Magnetosheath) を通過時の磁場の資料 (F. O. C. S.) を使って、磁場の巨視的な乱れを調べた。

この磁場の資料は、5.46 min. 間に 6 回の測定を行ない、その平均値 \bar{F} とこの値の標準偏差 δ を出している。そして、この δ の大きさは、惑星間磁場の乱れの程度と対応している。即ち、磁気嵐時以外 … (惑星空間 $\delta = 0.1 \sim 2$ nT, 磁気圏境界領域 $\delta = 2 \sim 10$ nT, 地球磁気圏内 $\delta = 0.1 \sim 2$ nT). 磁気嵐時 … $\delta = 5 \sim 15$ nT.

次に、磁気圏境界領域 (Magnetosheath) の磁場の乱れの空間特性を調べるために、

(i) 軌道 1 ~ 50 の Magnetosheath における各軌道の δ の平均値 $\bar{\delta}$ とその時の K_p の平均値 $\bar{K_p}$ との関係を調べると、磁気嵐時以外は $\bar{K_p}$ と $\bar{\delta}$ の対応はない。しかし $\bar{\delta}$ (乱れのレベル) と各軌道との対応はある。dusk - noon - dawn で $\bar{\delta}$ の値に特徴がある。Subsolar point から dawn 側には dusk に較べて、 $\bar{\delta}$ の値が高くなる。

この事実は、この領域に磁場の乱れの dawn - dusk 対称性が存在することを示す。

(ii) 磁場の方位角 ϕ の 1 時間で Running Average として得られた方向 ϕ_{AV} の空間分布を調べると、Magnetopause に対する方向 K. 地心力線が整列している。即ち、dawn 側の磁場の方向 ϕ_{AV} は dusk 側に較べて、不規則である。この事は、dawn 側の磁場の変動が大きく表示されている。

(iii). $\bar{K_p} \leq 2.5$ のとき、Magnetosheath 内を定常状態として、Bow shock front - Magnetopause 由の相対位置に対する隣接する 5 軌道の平均値 δ_{AV} を 地心距離の逆数として、 δ_{AV} の領域の場所依存性を調べると、磁場の強さは地心距離の増大に伴つて、場所に余り関係せず、減少する。即ち δ_{AV} は領域内の場所に依らず、特徴的なもしかれ分布を示す。

(iv). この領域内の磁場の乱れの level $\bar{\delta} = \pm \delta$ の比、即ち $\eta = \frac{\delta}{\delta_{AV}}$ の 30 分平均値 $\langle \eta \rangle$ の等分布線を描くと、Subsolar point 付近では dusk 側の $\langle \eta \rangle$ の magnetopause 邊境を中心としたところが $\langle \eta \rangle$ の大きさ。この事は、Subsolar 邊境の magnetopause は太陽風圧力変動により、自身の運動によつて乱れが発生している。

次に、磁場の乱れの領域 (境界) 内の乱れの分布が、乱れの発生源、を検討してみる。

乱れた磁場による惑星間空間プラズマの加熱

鷹見治一 川村孝次

名大空電研 名大プラ研

惑星間空間プラズマ中の乱れた磁場によるプラズマの加熱を考える。このために、まず荷電粒子の乱れた磁場による stochastic な加速を考える。これとしては、フェルミ加速がよく知られているが、ここでは乱れのパワースペクトラムより直接加熱の割合を導くことを試みる。

荷電粒子(質量 m , 電荷 e , 磁気モーメント μ) の案内中心 $R(t)$ の運動の式は、よく知られているように $\ddot{R}(t) = (e/m) \{ E(R,t) + (\dot{R}(t)/c) \times B(R,t) \} - (\mu/m) \nabla B(R,t)$ であるが、基礎方程式として、まず一次元かつ上式の最後の項が主に働く場合を考えて。
 $\ddot{z}(t) = -(\mu/m) \partial B(z,t) / \partial z$ を採る。

磁場の乱れは統計的な意味で一樣かつ定常とすると、パワースペクトラ $S(k,\omega)$ は $S(k,\omega) = (2\pi)^{-2} \iint dz dz' \langle B(z,t) B(z+\xi,t+\tau) \rangle \exp[i(k\xi - \omega\tau)]$

$\langle \dots \rangle$ は十分長い時間、空間 t の平均を表す。

$z(t)$ を $z(t) = z_0 + v_0 t + z_1(t) + z_2(t) + \dots$ と展開し、初期条件として、 $z_1(0) = \dot{z}_2(0) = \dots = 0$, $\dot{z}_1(0) = \ddot{z}_2(0) = \dots = 0$ を与えると、基礎方程式より $\ddot{z}_1(\Delta t) = \Delta V = -(\mu/m) \int_0^{\Delta t} dt \partial B(z_0 + v_0 t, t) / \partial z$ を得る。これより

$$\begin{aligned} \langle (\Delta V)^2 / \Delta t \rangle &\simeq (\mu/m)^2 \int dz \langle \partial B(z_0 + v_0 t, t) / \partial z \cdot \partial B(z_0 + v_0(t+\tau), t+\tau) / \partial z \rangle \\ &= (\mu/m)^2 \int dz \iint dk d\omega k^2 S(k,\omega) \exp[i(kv_0 - \omega)\tau] \\ &= 2\pi (\mu/m)^2 \int dk k^2 S(k, kv_0) \end{aligned}$$

故に拡散係数 D は

$$D = (1/2) \langle (\Delta V)^2 / \Delta t \rangle = \pi (\mu/m)^2 \int dk k^2 S(k, kv_0)$$

加熱の割合 dT/dt は (T は温度)

$$dT/dt = m D$$

であるから、パワースペクトラ S を与えれば直接加熱の割合が得られる。

発表の際は定量的な評論も行つた。

電波星シンチレーションによる太陽風の観測(2)

渡辺 勇、鶴見治一、小島正宣
柿沼隆清 (名大空電研)

Scintillation の power spectrum から
Scintillation に寄与していける power を求めた、
(図1, 図4) これによると数日間にわたる
scintillating power の上昇が見られるが
これを Pioneer 6, 8, Vela 4, 5 等による太陽風

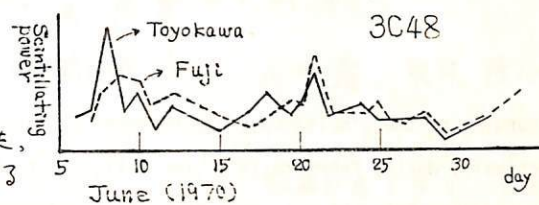


図1

の速度のデータと比較すると太陽の active region が発
した高速の stream 太陽風源への視線方向と横切って
行なったと考えられる場合が多いが、た。例えば図1
の6月20日頃の上昇は図2に示すような stream があるた
ために生じたと思われる。この上昇が数日間にわたる
事から、stream が黄道面に垂直方向に有限の弦がありと
持つてこの事が推定され、stream の断面図を大さくながらも
画く事が可能となる。6月20日通過した stream の
断面図を図3に示す。図中黒丸は stream を固定した場合
の地球の位置で、斜線が視線を表わす。scintillating power の
peak が後半にずれて現われる事から scintillation に寄与
していける部分は (JNe の大きいところ) stream の外側に
ある事が予想され、その部分を図で示してある。図3

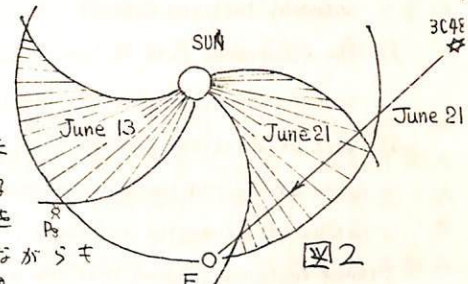


図2

同様の事を 3C298 (1970年) に対して行って
見た。(図4) 図中斜線部は space crafts
との対応がある部分である。11月25日、
12月4日の peak は space crafts との対応
が無く、太陽風の speed も上昇しない
。Flare による transient が上昇せず、
これがこれに対する flare も無く、地球
上においても地磁気の異常現象等は観測
されていない。この事は図6に示される
ように stream の中心が黄道面上に
かなり外れ E と E' にあり黄道面上に
ある地球や space crafts からはこの
stream が観測されず、黄道面から
約 20° の方向を見ていけるシンチレーション
観測ではこの stream が見えた事と
suggest している。(これは peak 時
太陽風の speed もまた上昇しない)

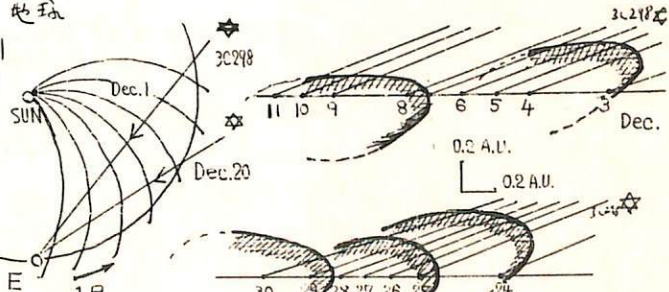
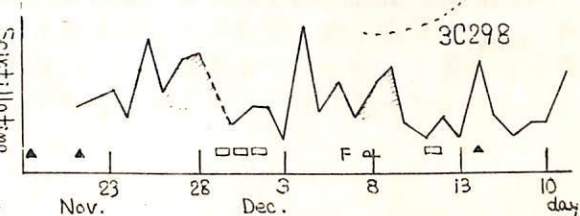


図5

現在豊川のアンテナがマルチビーム化され 1日に 3 つに分かれ、各々の受信源が観測されるよ
うになり、そのためこのような太陽風の立体構造がより詳しく調べられる事が
期待される。更に自下建設中である菅原高原の新 3 アンテナが完成すれば stream 中の速度
分布や流れの大きさ、形状に 112 倍のデータが得られることを想定する。

Duct formation for low-latitude whistler mode propagation

早川 正士，大津仁也
 (名古屋大学 空間研究所)

According to the simultaneous observations at Moshiri and Sakushima Stations (34° N and 24° N, respectively) during February, 1970, the following facts are found,

- 1) occurrence rate shows a sharp peak at around sunset, and a broad one at night. (this was already noted by Iwai and Otsu.)
- 2) the occurrence rate is higher at Sakushima than at Moshiri during high whistler activity around sunset, but at night the tendency seems to be vice versa.
- 3) most of whistlers around sunset show multi-flash type, and the whistlers observed at Moshiri are considered to have propagated from lower latitudes such as Sakushima, according to the study of dispersion and their comparison between data at both stations.

These features suggest that the exit of low-latitude whistler propagation is sure to be located at lower latitudes than Sakushima, and also the propagation is attributed to field-aligned ducts. This fact is valid for the whistlers around sunset. However, the conclusive results are not reached for nighttime whistlers. These observational results are explained in terms of ray tracing methods. The model magnetospheres are latitudinally independent, and also latitudinally dependent, i.e., with taken into account the effect of equatorial anomaly. Such ray tracings support the existence of ducts.

Angerami & Thomas モデル及び CIRA '65 大気モデルに
基づいたホイッスラー分散値の計算

電気通信大学 山中馨，奥沢 隆志

観測の面から中低緯度ホイッスラーの「分散」について、とりわけ目に付いた特長が二つある。一つは大きめ磁気嵐時、分散値と foF2との相関が悪くなり、分散には磁気圏の寄与分が増して来る傾向があること。オニに、此次追報告を此たレポートを見ると、典型的な磁気嵐に際して、Gulmarg (geomag. lat., 24.2°N)¹⁾、菅平 (26.0°N)²⁾では、分散値のレベルが平均値に比べて、増加する傾向にあるのに対し、母子里 (34.0°N)、椎内 (34.9°N) のそれは、おおむね減少のセンスにある点である³⁾。

磁気嵐のような過渡的現象に付随した事象は、「動的モデル」による説明こそ相応しいと思われるが、上部電離層・下部磁気圏での拡散の速さを考えると、拡散平衡モデルでも、凡そその説明が出来るかも知れない。そこで、双極子磁場沿いの粒子密度-拡散平衡モデルとして既に名の高い Angerami & Thomas モデルを 500 km 以高に採用し、単一層と仮定した 上部電離層部分は通常の拡散平衡 (exponential) 分布、下部電離層部分は二次曲線分布として、典型的な日を選び、分散値を数値積分で求めた。尚、Scale height 及び O^+ , H^+ , He^+ の構成比を決めるに際して、磁気圏基部の温度を指定する必要があるが、例とし、今日の太陽電波 (10.7 cm 波長) の平均フラックスを調べて、太陽活動度レベルを決め(勿論、厳密には磁気活動度とは異なるが、オーダー近似としてやむを得ない)、CIRA '65 中のモデルを参照して決めた。電離層の諸元は 電波研の ionospheric data に拠った。この結果分散に対して、太陽活動度の高い日ほど 磁気圏の寄与分が電離層のそれを凌駕すること。静穏時のもので規格化された分散値の磁気圏寄与分は 太陽活動度のレベル数の函数として、低緯度で増加し、中緯度でくに従って減少する場合のある計算結果を得た。これも前記の観測事実を支持するところが判明した。

- 1) Somayajulu, V.V. and B.A.P. Tantry, J. Geomag. Geoelect., 20, 21-31, (1968)
- 2) Okuzawa, T., K. Yamanaka, and T. Yoshino, Rept. Ionos. Space Res. Japan, 25, (1971) (in press)
- 3) Hayakawa, M., J. Ohtsu, and A. Iwai, Rept. Ionos. Space Res. Japan, 23, 9-20 (1969)

ホイッスラー モード VLF 標準電波検出

内藤悠史 荒木徹 加藤進
京大工 京大理 京大工

外気圏プラズマ中の電子密度、磁場の強さ等についての情報を得る為の定常観測として、我々はVLF標準電波(NWC, 22.3 kHz, 1000 kW Australia)のホイッスラーモード受信を取り組んでいる。現在は、将来の本格的な観測の準備段階として、ホイッスラーモード受信の可能性や、今後採用すべき受信方法の調査研究を行っている。今回は、これまで行って来た、次の三つの観測について、その結果を報告する。

- (1) 宇治に於て行った、位相追尾受信機による観測。
- (2) 今冬、菅平に於て行つた、標準電波の停波時ににおける、ホイッスラーモード波の time delay の観測。
- (3) 宇治に於て行つてゐる、導波管モード波と、ホイッスラーモード波とのビートを検出した観測。

(1)の実験については、既に昨年6月の学会で述べたので、ここでは、(2),(3)について述べる。

ホイッスラーモード波は、外気圏のプラズマ中を通りて来る為、その伝播時間は、導波管モードのそれに比べてかなり長く、0.1 sec の order になると考えられた。この time delay を利用した観測は、今までにモ. Helliswell や Crombie などによつて報告されてゐる。これらの観測は、特別に送信された Pulse の echo の検出によつてなされたが、NWC の電波では、その様な pulse を利用出来ないので、我々は、2 時間毎の停波時に、受信機の低周波出力を録音し、停波の瞬間の前後をリナグラフで現わし、停波の前、停波の直後、離音時の各々の amplitude section を比較する事等によつて、ホイッスラーモード波が、停波直後に受信されて居ないかを調べた。なお、この時、受信機のループアンテナは、導波管モード信号が、最も弱くなる方向に向ひて置かれている。観測は3月13日より4日間行い、ホイッスラーモード波が没信されてゐると思われる結果を得た。

これまでの観測は、ループアンテナは、上述の様にセットされて居る(この時、アンテナは、幸い、NWC の magnetic conjugate point 方向に強い指向性を持つ)が、アンテナの性能上、導波管モード波を完全に抑圧出来ず、ホイッスラーモード波(導波管モードより 30~50 dB 強い)と考えられる)は、マスクされ勝ちである。この影響を除く為、現在次の様な実験を行つてゐる。二台のループアンテナと、同様の構成を持つ二台の受信機を用ひ、一組は導波管モード最強の方向に、他の一組はそれと直角方向にセットし、共通の局部発振信号で周波数変換を行つ、二つの IF 出力を lock-in amp に加え、両者の導波管モード信号が 90° の位相差を持つ様に調整してやる。この方法により、ループアンテナによつて抑圧出来なかつた導波管モード成分の影響を除くと共に導波管モード波と周波数のずれたホイッスラーモード信号をビートとして検出しようとしたのである。この実験は現在継続中である。

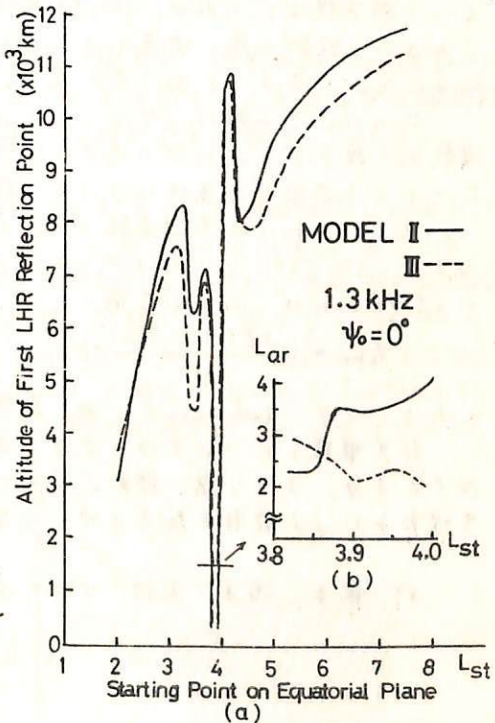
今後の計画としては、中心周波数が等間隔で、狭い帯域幅を持つ出力を多く持つた、 Spectrograph receiver による観測を行う予定である。この方法では、導波管モード波の影響も少くない他、更に、大周波数偏移を持つ複数個のホイッスラーモード波を検出する事が可能となる。

最後に、菅平の観測に於て、電気通信大学の皆様に便宜を与えて頂いた事に、深く感謝の意を表明致します。

Plasmapause 近傍での ELF emission の伝搬特性

相京知弘, 恩藤忠典
(電波研究所)

最近, plasmapause の肉連現象として, plasmapause 近傍の高度 1500 km 以下にて ELF ユーラスと思われる ELF emission の反倍磁界強度が極大となる現象が McPherson and Koons¹⁾により報告されている。Thorne and Kennel²⁾より磁気赤道をへた ray tracing の解析では沿んだる波は伝搬ベクトルが低高度に到達する以前に外部磁場に直角に近くとなり, LHR 反射を起して上述の観測高度まで到達しない。後で LHR 反射高度が観測点まで下っても, 波のエネルギーは電場に偏り, 磁場センサーでは検出できないであろう。そこで plasmapause の電波の guiding に重要な役割を果していることが容易に推察される。plasmapause のような單一匀配による trapping は Helliwell³⁾によれば gradient trapping と呼ばれるが, 磁気圏モデル中でその効果を調べた例はないようである。そこで前回の調査で用いたスムースな磁気圏モデルで ELF 帯電波が plasmapause 近傍などどのように伝搬するか ray tracing 法で調べた。用いた周波数は McPherson and Koons¹⁾の結果に合わせて 1.3 kHz を選んだ。第 1 図 (a) は赤道面から初期伝搬ベクトル角 $\psi_0 = 0^\circ$ にて走った ray の出発点 L_{st} , L_{st} と最初の LHR 反射高度との関係を示す。反射高度は L_{st} の増加と共に一般的には増加する傾向があるが, $L_{st} = 3.8 \sim 4.0$ では非常に低い値を示す。 (b) 図にはその出発点の L_{st} と高度 1500 km までの到達点における L_{st} , L_{ar} の関係を示す。夜間のモデル (Model III) では L_{st} に対して全体的に低い L_{st} で到達するが, このことは plasmapause の trapping に有効に働くないと意味する。それに反し, 昼間のモデル (Model II) では夜間に比べ, 一般的に高い山地に達する。とくに, $3.8 \leq L_{st} \leq 4.0$ では $3.5 \leq L_{ar} \leq 4.0$ となり trapping の結果が顕著に現れる。この機会は McPherson and Koons¹⁾の観測した磁場の増大現象が 0900-1300 LT で起る事実と矛盾しない。Trapped (T) mode の L_{st} の両側での機会は Untrapped (UT) mode の T-mode への遷移に伴う反射率及び伝搬ベクトルと外部磁場の角の符号の変化に起因する。次に, plasmapause 以外の UT-mode と近傍の T-mode で伝搬する ray の伝搬ベクトル角 ψ_0 の变化を $L_{st} = 3.0, 3.5, 3.9$ の場合について調査した。UT-mode における中の変化は Thorne and Kennel²⁾の解析結果とはほぼ一致する。すなはち, 初期角 ψ_0 の非常に狭い領域の ψ_0 のみ比較的低高度に到達しうるが, 他の場合は急速に $\pm 90^\circ$ に近づき, ray は高高度で反射される。しかし, T-mode における中の振舞はそれうちの場合とは全く異なり, 広い範囲の中には $120^\circ \sim 20^\circ$ で $\pm 90^\circ$ すなはち LHR 反射後, 低い L_{st} に達する。 $|\psi_0| \lesssim 20^\circ$ では中は磁力線の中心に振舞し, ray は trap される。種々の ψ_0 に対する ray の振舞等について以下述べる。



第 1 図

VLF Triggered Emission の発生機構

(Single Particle Approach) - タの II -

橋本弘藏, 松本紘, 木村鶴根

京都大学 工学部

磁気圏を, Whistler-mode で伝搬する電磁波によって triggerされる VLF Emission については, 種々の解析が行なわれているが, いわゆる triggering process の物理機構を明らかにするために, 単粒子モデルによる解析を行なってきた。

昨年の学会で述べたように^{*)} 電磁波中におけるプラスマ粒子の運動を記述する, 非線形の方程式(1)~(3)を出发点とする。

$$\dot{v}_\parallel = \gamma (v_\perp / v_{ph}) \sin \phi \quad (1)$$

$$\dot{v}_\perp = \gamma (1 - v_\parallel / v_{ph}) \sin \phi \quad (2)$$

$$\dot{\phi} = \omega_H - \omega (1 - v_\parallel / v_{ph}) + \gamma (1 - v_\parallel / v_{ph}) \cos \phi / v_\perp \quad (3)$$

$$\text{ただし, } \gamma = -eE/m \quad (4)$$

ここで, $(1 - v_\parallel / v_{ph})$ が時間的にほとんど変化しないと仮定すると, (これは, サイクロン共鳴の条件からはずれた状態における粒子に, 適用され得る。) Analytic に解け,

$$v_\parallel = K e^{j\omega t} - K e^{j\omega_0 t} + v_{\parallel 0} e^{j(\omega_H t + \phi_0)} \quad (5)$$

$$K = -\gamma (1 - v_\parallel / v_{ph}) / (\omega_H - \omega_0) \quad (6)$$

$$\omega_0 = \omega (1 - v_\parallel / v_{ph}) \quad (7)$$

という解を得る。これは, (2), (3)式のみから得られ, 線形解析の結果と一致しているが, これから, 放射に強く関係していると考えられている Phase Bundling の様子について, 明確に知ることができることが, 示される。

さらに, この解は, サイクロトロン周波数での回転と, 波のドップラーシフトした周波数 ω_0 (粒子からみた波の周波数) での回転の合成であることから, 多くの粒子によるコヒーレントな放射の条件について, 検討を加えた。

サイクロトロン共鳴を起こしている粒子については, 計算機による数値解析が主力となるが, (1), (2)については考えないが, (3)式のオービットにつれてのみ, v_\parallel の変化の結果を入れて計算すれば, v_\perp の最大値が,

$$v_{\perp \max} = \left\{ \frac{8\gamma(v_{ph} - v_{\parallel 0})^2}{\omega} \right\}^{1/3} \quad (8)$$

であることが, Analytic に示され, 数値解析の結果とも良く一致する。

非共鳴粒子については, さきに述べた様な放射の条件から, 放射周波数を求めることができるが, あまり強い放射は望めない。さらに何らかの工夫を施すなどを行なって, 共鳴粒子による放射を考えてやく必要がある。

*) 松本, 橋本, 木村 オ47回講演予稿集, p62, 1970

VLF エミッショングの Half Gyrofrequency についての考察

松本 紘・不秆磐根
京都大学 工学部

VLF エミッショングの発生構造の研究は 地球磁気圏の自発現象を解明するという動機の他に、それが理想プラズマ中の現象であるということから、プラズマ中の波動-粒子相互作用の理論の発展に寄与するという別の動機からも、1950 年代後半から現在にいたるまで数多くの理論的研究がなされてきた。

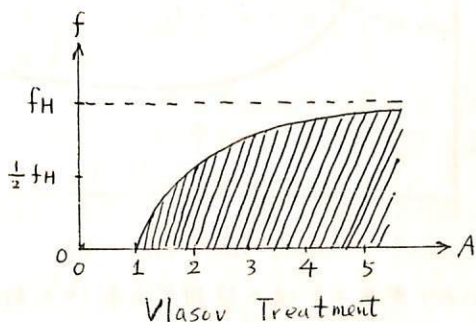
VLF エミッショングには いくつかの特有の性質が知られているが、今回ここで取り上げるのは、中でも従来から不明とされていけるマジック・ナンバー $\frac{1}{2}$ について、つまり VLF エミッショングか、赤道面内におけるサイクロトロン周波数の約 $\frac{1}{2}$ 程度の周波数で起る (Half Gyrofrequency) という二つについてである。

この事についての観測事実は WTE (Whistler Triggered Emissions) については Matsumoto (1967), Carpenter (1968) によると ASE (Artificially Stimulated Emissions) については Kimura (1967, 1968), Carpenter et al. (1969) によると Natural Discrete Emissions については Dowden (1971) によると Hiss については Dunkel et. al. (1969), Bullough et. al. (1969) によって指摘されている。

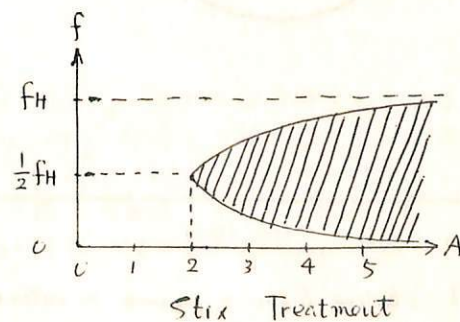
一方、これらに関する理説的説明はトライアルは極く少存在せず、むずかしく Smith (1961) によるダクト伝播理論による説明と Beam Cyclotron Insta. と高エネルギー粒子の観測結果を結合して説明している Matsumoto et. al. (1971) などがあるに留まっている。

ここでは Cyclotron Insta. の固有の特性として $\frac{1}{2}f_H$ が導かれないと、このことについて線形理論の範囲で Vlasov Treatment (e.g. Sudan, 1963) と Stix Treatment (e.g. Stix, 1958; Terashima, 1967) の比較検討を行ない、それとの場合の問題点を検討しながら $\frac{1}{2}f_H$ についての考察を加えたい。又あわせて Smith のダクトの考え方と Beam Cyclotron Insta. に関する従来の考え方についての検討も加えたい。

左の下は Vlasov Treatment と Stix Treatment の場合に得られる Instability の周波数範囲を温度異性因子 $A = T_e/T_{\perp e}$ の関数として掲げておく。これらについては当日説明を加える予定である。



$$A = T_e/T_{\perp e}$$



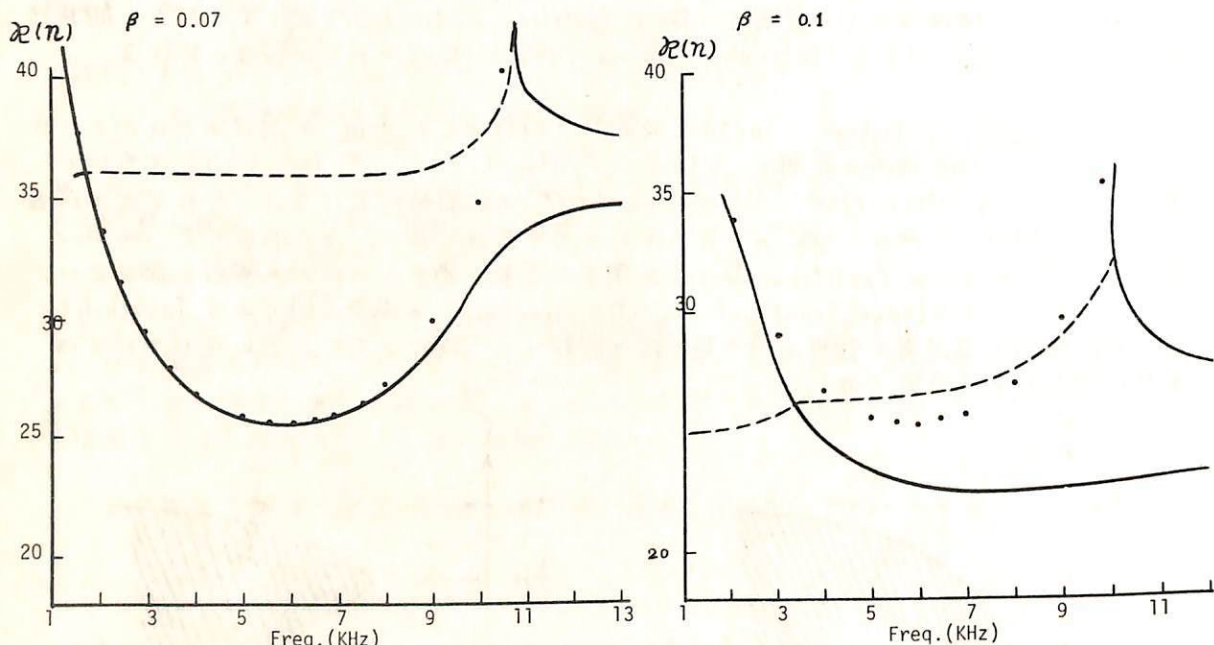
■ Insta. 領域

チエレンコフ不安定によるVLFビームの発生

大津仁助

名古屋大学空電研究所

1967年5月25日ウ太極気船にてUK-3で観測されたVLFビームは、
Inv. Lat. 40° ~ 55° の間で最大強度を示めており、発生に寄与する電子のエネルギー
の点で、Cyclotron inst. より Cerenkov inst. が有利であることを述べて来たが、理
論的な面から Cerenkov inst. については疑問が示されていた。今回も1961年發表
された京大木村さんの取扱いに従って、電子ビームの Cerenkov inst. によるVLF帶の
波の grow を調べたので、その結果から Cerenkov instability による VLF ビーム発生の可
能性が充分あり得ることを示す。従来、磁場内アラズマ中の電子ビームによって波の
成長が起るのは空間電荷波であつて、ホイスラー波は grow しないとされていた。下図は
破線が空間電荷波、実線がビームかならぬ場合、左からホイスラー、実線は波の grow がない、場合の、右から左の位相屈折率と周波数に対する變化を示すものであるが、(a)では
約 10 kHz 以下の部分を見ると、grow する波は空間電荷波のみであつて、ホイスラ
ー波の相手する部分での grow は見られない。しかし、(a)の 10.5 kHz 以上と(b)の 3
~10 kHz の部分では、破線と実線とがかなり接近してあり、空間電荷波と見えざれて
いるものがホイスラー波にかかることは、(b)の領域では grow はホイス
ラーの領域で停止している。更に重要なことは、従来電場成分のみによる成長と見えざれて
いた破線のものが、横方向の電場成分を持ち、ホイスラー(実線)に近いところでは、
その偏波もホイスラーに近いことも判明した。

Fig. 1 Electron beam \times plasma or interaction により発生する波の位相屈折率(実験部)

(a) beam velocity = 0.07

(b) beam = 0.1

実線: beam ないときのホイスラーの分散、破線: grow する領域
電子密度: 280 cm^{-3} (plasma), 0.31 cm^{-3} (beam), $f_H = 30 \text{ kHz}$, $\theta = 66.4^{\circ}$

SSC による VLF emission のスペクトル変化の解釈

林幹治

東大，理

昭和基地などの高緯度地方で観測される magnetospheric origin の自然電波のうち 06^h ~ 18^h MLT の間に大体 1 時間以上の間隔統し、 10^h ~ 12^h MLT に発生 する度最大になるものは polar chorus (あるいは ELF hiss + chorus) と呼ばれる。この現象は (1) 出現する 固有数帶は 1.5 kHz 以下、(2) frequency-time spectral pattern は、統計時間移動中の rizer と background の steady hiss によって特徴付けられる (両者の割合、rizer の df/dt などの local time 依存性が實際にはある)。

このタイプの emission は数 10 kev 程度の electron が関与した cyclotron 不安定性により赤道面付近で発生しているということが大半のついつまでは合うようであるが、波のスペクトルや強度まで考慮した consistent な議論はほとんど行われてこない。したがって現象の把握のされ方だけからいえば現時点では day time steady emission (in high latitude) と呼ぶ方が適当であろう。

自由エネルギー (ϵ) はビッチ角の大きさ (θ) が準定常的に供給され、定常的な波の spectrum が保たれておりと仮定するにしても、そこに介在する非線形過程が、準線形的なものなのか、それよりもより強い非線形的なもののかは一重に波のスペクトル、強度に依存するもので、観測により決められるべきものである。

SSC, such as magnetosphere (磁場, 磁場 plasma) の compression ratio
 (1) $\Omega_e \rightarrow \Omega_e(1+\varepsilon)$
 (2) $N_e \rightarrow N_e(1+\varepsilon)$
 (3) T_\perp / T_\parallel が大きくなる (?)

などを考える。これができる。Whistler mode wave & electron の共鳴条件より得られる

$$\left(\frac{1}{2}m_e V_{\parallel i}^2\right) \left(B^2 / 8\pi N_e \right) = (1 - f)^3 / f \quad , \quad f = \frac{\omega}{\Omega_e} \quad , \quad V_{\parallel i} : \text{electronの共鳴速度}$$

につれて(1), (2)を考慮すると, compressionによる共鳴周波数の変化について考えることができる。 (ϵ, τ) のグラフを $E = (\frac{1}{2} \pi^2 V_0^2 / B^2) / \delta^2 TNE$ をパラメータとしてえがき実際の現象を表がめる際の scale として使う。この scale メリクすれば(3)の温度異常性の変化あるいは準線型的条件の破壊を考えることができるかではいかないか。このような考え方につけて、3つの例について考えてみる。

結果 13

(1) 上述の linear な関係によつて low frequency (大きな温度異方性を必要とする) 部分と、強度のあまり大きくなれ high frequency 部分とは説明できそうである。

(2) high frequency 部分に単なる emission band の移動でり説明できなり レベル
上昇が見受けられ、温度異常が拡大したとも考えらる。

(3) 強度の強い band の中心近くで, SSC の後一種の saturation 現象が見受けられる。

K-9M-35号ロケットによる

非線形波動相互作用実験

宮武 貞夫 松本 紘 木村 盤根 (京大工)

電離層面における磁気圏で発生すると考えられるVLF帯あるいはELF帯の波動現象がサテライト等による観測で数多く報告されていて、これらの波動現象の発生機構と密接な関係を持つものの一つに波動の非線形相互作用が考えられる。

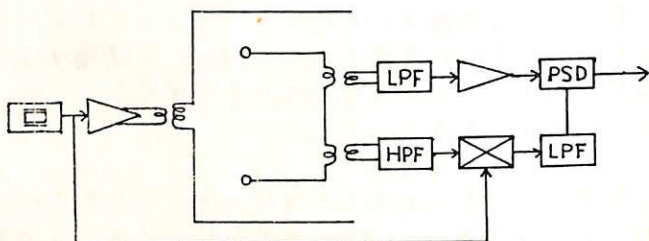
1971年1月23日、午後8時20分に打ち上げられてK-9M-35号機に電離層プローブで中のプローブで波によるイオン音波の起り起と試み、非線形波動相互作用を制御された状態で実験するための装置を搭載した。この装置はオ一回のブロックダイアグラムに示すように、電子プローブで周波数

より少し高い周波数の振動器の出力を2枚の回路間に加え、その間に2本のプローブを置く。球形プローブ回路の出力は低周波、及び高周波用の増幅器に加えられ、高周波の信号は振動器の出力と混合器に加えられロー・パス・フィルターを通して、低周波の信号と共に位相検波器に加えられる。いま低周波の信号を ω_L 、高周波の信号を ω_H とするとき、テレメータへの出力は

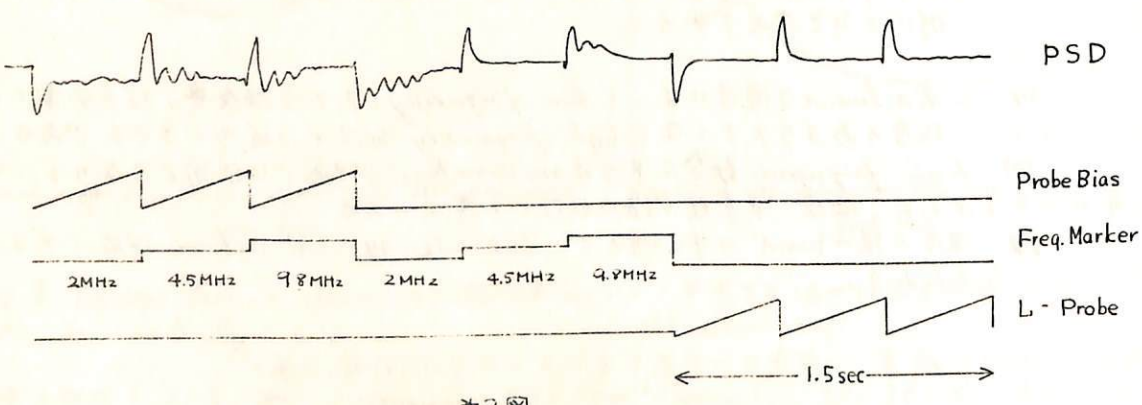
$\omega_L = \omega_0 - \omega_H$ の関係を満足するとその間に現われることになる。したがって、この装置を用いてよく知られた Three Wave Process が電離層プローブに高周波電界を印加することによって満たされるかどうかを知ることが出来る。

実際の装置では、球形ローブのニースの状態を変えることにより、信号に対するプローブの感度が最大にする点を求めるために、プローブにD.C.バイアス(ニギリ波)を加えた。また印加する高周波の周波数として2MHz, 4.5MHz, 9.8MHzの3周波数を順次切換えて用い、低周波の信号はそのスペクトルを解析するためにワイドバンドテレメータで地上に送られた。さらにプローブの温度及び密度を測定するためのランゲミニアプローブが同時に搭載された。

位相検波器の出力の一例をオノ図に示す。



オノ図



オノ図

スペースチャンバーによるプラズマ波のパラメトリック励起の実験

倉橋克典 鎌田哲夫 徳田進

名大空電研究所

プラズマ波のパラメトリック励起を調べる実験を東大宇宙航空研究所のスペースチャンバーを用いて行なった。この報告は、去る3月末に行なった2回目の実験結果に関するものである。

理論的に知られるように、パラメトリック励起により生じるプラズマ波の中で最も一般的なものは縦波である。そして、この波を励起させるプラズマ波も1種の縦波と考えられる。この場合、イオンの縦波と電子の縦波とが interact した場合には低周波-高周波、又は、高周波-低周波パラメトリック励起が起きると考えられる。初回の実験では、これらの中でイオンの低ハイブリッド共鳴により励起されたと思われるイオン静電波による電子静電波のパラメトリック励起の可能性を見出した。^{*}ここで述べる2回目の実験では、パラメトリック励起のより一般的な機構を研究する資料を得る目的から、次の4項目に関する実験を行なった。(i) 2つの電子静電波(周波数を f_1, f_2 とする)による周波数($n f_1 \pm m f_2$)の電子静電波の励起。(ii) 同様に、2つのイオン静電波、 f_1, f_2 による($n f_1 \pm m f_2$)のイオン静電波の励起。(iii) イオン静電波、 f_1 による($n f_1 + m f_2 \approx m f_2$)の電子静電波の励起。(iv) 2つの電子静電波、 $f_1, f_1 + f_2$ による f_2 のイオン静電波の励起。

実験の方法は、まず確実に縦波を励起し、かつ受信するセンサーを選定するため、チャンバー内に種々の棒、ループ、およびメッシュ状のアンテナを外部磁場と平行、又は垂直となるように配置し、おのおのを送受信アンテナに用いて外部磁場を印加して種々の測定を行なった。次に、この結果に基づいて選定した2つのセンサーに上記の f_1 、および f_2 の静電波を励起すると考えられる信号を印加し、別のセンサーからピックアップした($n f_1 \pm m f_2$)の励起電圧を、マイクロ受信機を用いて検出した。又、この励起がプラズマ特有の現象であることを確認するため、同一センサーを用いて真空中でも測定した。さうに、検出された($n f_1 \pm m f_2$)の励起信号が縦波であることを確認するため、縦波が検出されないと考えられるセンサーでも受信し、この励起が検出されるかどうかを調べた。

実験は pressure: $\approx 1 \times 10^{-4}$ (Torr), 電子密度: $10^3 \sim 10^5$ (cm^{-3}), 封入ガス: He, 外部磁場: 0 ~ 30 (gauss) の状態で行なった。実験の結果、次のことがわかった。(1) 縦波に起因すると考えられる現象が明確に検出されたが、この時のセンサーは外部磁場に垂直な棒、およびメッシュアンテナであった。(2) 外部磁場を加えない場合には、上記の4項目の全ての励起は検出されなかった。(3) 項目(i), (ii)の励起は、一般的に言って外部磁場が強くなるにつれて励起しやすくなる傾向がある。そして、数次の m の値までその励起が検出された。(4) 項目(iii), (iv)の励起は、特定の外部磁場の時(ハイブリッド共鳴が起きる点の可能性が強い)に限り可能である。

実験結果の実例は会場で示す。終りに、実験の機会を与えられました東大宇宙航空研、並びに種々の御助言を下さった、伊藤先生、江尻、中村助手に厚く御礼申し上げます。又実験に際し、いろいろとお世話を下さった、小島、川原、王田技官に深謝します。

* 倉橋、鎌田、徳田：スペースプラズマ研究会報告(1970)

不均一プラスマ中の non-reciprocal 波動伝播(II)

荒木 徹
京大理

静磁場 B_0 は直角方向に変化するプラスマ内で波動伝播を考える。静磁場を x 方向に媒質の変化の方向と正軸にとる。伝播方向が yz -平面内にあるとする。波は $A(z) e^{j(k_y z - \omega t)}$ のように変化すると考えよ。この時波は、モリ電場、磁場が $E = (E_x, 0, 0)$, $B = (0, b_y, b_z)$ となるモードと $E = (0, E_y, E_z)$, $B = (b_x, 0, 0)$ となるモードとに分離される。後のモードに対する波動方程式をとくと下のようにある。

$$\frac{d^2\phi(z)}{dz^2} + \frac{d}{dz} \left(\log \frac{A}{A^2+B^2} \right) \frac{d\phi(z)}{dz} + \left[jk_y \frac{A^2+B^2}{A} \left(\frac{d}{dz} \frac{B}{A^2+B^2} \right) - k_y^2 + \frac{j\omega}{c} \frac{A^2+B^2}{A} \right] = 0$$

$$A = 1 - \frac{j}{4\pi\omega} \alpha_L, \quad B = \frac{j}{4\pi\omega} \alpha_H$$

ここで $b_x = \phi(z) e^{j(k_y z - \omega t)}$ とおっており, α_L, α_H は Pedersen, Hall conductivity である。 α_H は磁場の符号を内蔵しているので [] の値は磁場の向き (x 方向が一方向) によって変化し $|k_y|$ によって上の波動方程式を解いて得られる b_x の値も磁場の向きによって変化する。二つのヒントは磁場の向きを固定して k_y の符号を変えてよく同じである。

前回は上の波動方程式の係数を電離層の各高さにおいて計算し、電離層プラスマ中の non-reciprocal 波動伝播が起り得ることを示したが、今回より上式を数値積分して結果を報告する。

不均一媒質中を伝搬する MHD wave

西田篤弘, 長山直弘
(東大宇宙研)

Geomagnetic tail に外部から加えられた disturbance がどのように内部に伝わっていくかを調べるために, tail を伝搬する波を MHD で扱えるとして計算してみた。

一般的に取り扱うことは大変難しきので磁力線方向への perturbation は磁力線に垂直方向へ進んでも変わらないとし, 且つ $\propto e^{i(kz - \omega t)}$ とする。この時問題は 1 次元化され, 伝播する mode は 2 つとなるが slow mode の方は evanescent 的であってその伝播には余り興味がない。従って主に fast mode について調べてみた。

fast mode について電磁場の Poynting Flux が, 不均質, high β の region に入, ていくにつれどのよう plasma の熱 energy に変換されるかを数値的におかけしてみた。

気球による電離層電場の測定

小川俊雄・田中良和
京大理

中緯度の電離層電場をつくつていいものは、大気電流系による約 $200 \sim 300 \text{ mV/m}$ の垂直電場と、電離層ダイナモ電流系による高々 10 mV/m と推定される水平電場である。これらの電場の3ベクトル成分を別々に測定することによって、異なった源からの電場が分離し、従来測定困難であった電離層電場を求めることが可能であると考えられた。この目的で、1970年9月24日、太平洋上約27kmの高度での電場の日変化を観測した。

図1に使用したアンテナ系の構造を示す。水平浮遊中のアンテナ傾斜は $\pm 15'$ 以内に牧うたので、水平アンテナに垂直成分が混入することはなかった。図2に水平電場の日変化を示す。(A)は直接測定、(B)は水平電流と垂直電場・電流の比から求めたものである。水平電場の値は、全期間を通じては $10 \sim 40 \text{ mV/m}$ の間にあり、変動量は日中大で、夜間小さい。当日は、本州東方海上に雲の帶があり、観測中にこの雲帶が本州を横切って西へ移動した。気象庁天気図から当日の降水分布を求め、その地図に、通常の雷と同じ電気をもつた雲を仮定して、気球の位置での電場の大ささを検討したが、観測値より十分小ささの得られなかつた。ついで、柿岡における地磁気日変化(図3)から、それらの変化を考慮する電離層ダイナモ領域で、Pederson電流、または、Hall電流として流れたり仮定し、それを他のテンソル電気伝導度 σ_1, σ_2 の日変化を図4に示す。直角三角形の直角をはさんで2辺によつて計算された電場の値と方向を示し、一方、観測された電場の値と方向を矢印で示した。

計算値が夜間大きいのは、地磁気日変化の平均値をゼロレベルにとつたためである。観測値と計算値の大さきの特性は似ていいように思われるが、ほんとうに電離層電場が何に向かうかは、更に今後の観測によつてたしかめたい。

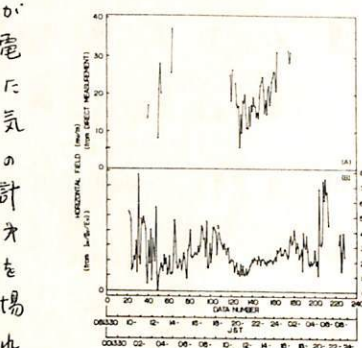


図2 水平電場の日変化

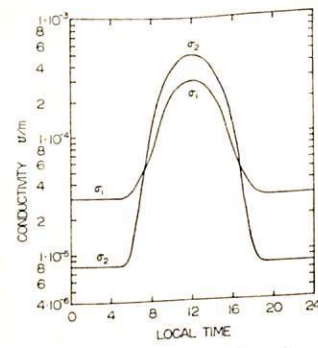


図4 電離層電気伝導度の日変化

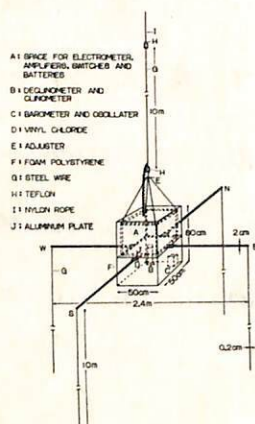


図1 電場3成分測定用アンテナ

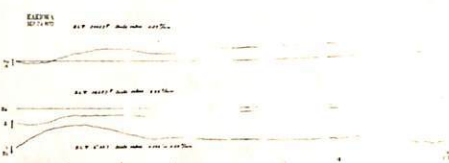


図3 柿岡における地磁気3成分の日変化

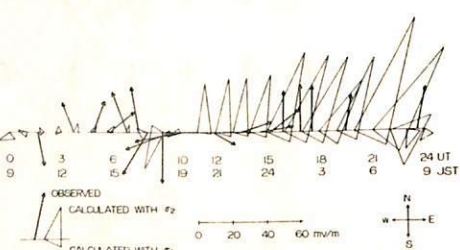


図5 水平電場の観測値と計算値の日変化

Rocket Experiments on the Equatorial Ionosphere Part II

平尾 邦雄 小山一孝一郎
東京大学 宇宙航空研究所

昭和46年4月25日 インド標準時11時30分および18時55分にツニバ
赤道地帯ロケット実験場で、2機のロケット実験を行った。

第1機目はインド側からはプロトン磁力計、日本側からはインピーダンスプローブ、キ
ヤペンセンスプローブおよび電子温度計を搭載しており、1-ズコーンはマイバーグ
ラスの固定1-ズコーンであった。第2機目はインド側からはナトリウム弾、日本側か
らはインピーダンスプローブ、キヤペンセンスプローブ、ラングミニアプローブ(周辺電
圧)、電子温度計および地磁気探査計であった。第2機目はロケットの飛行する自体が失
敗して計器部が破壊されものと考えられ、測定はおもに行えられなかつたが、地
磁気探査計は非常に大きな変動を記録し、これから事故の一原因とはさう推察することができた。

第1機目はインド側の要請により非開翼のプラスチック1-ズコーンであったので、電
子温度計用センサー実施としては1-ズコーンの先端よりやや下った傾斜部のところの周囲
に8等分した電極を取りつけ、それを交互に連続して、火山や水渕等各種およびリフアレ
ニス実施とした。温度計は複数回全周しそう町を中止し、測定を行うことができたが
はじめから予想された通り、ロケットのスピンドルおよびプレセッション運動によるモジュレ
ーションが大きく、データの算出としてはや、あるようであるが、それでも±100%以内の
精度で測定をきめることができると思われる。

この報告ではこの測定結果について報告する。

K-8-16号機による発光雲実験の解析

中村純二 松岡 猛
東大教養

1970年9月2日に打上げられたK-8-16号機によるNa及Ba発光雲の実験についての速報は前回発表したが、今回は計算機による詳しい解析結果を報告する。

解析方法は、同時撮影された一組の写真について、星をレフレンスに用いて2観測点を通る直線を含む平面でこれを切ることにより発光雲の相対応する部分の同定を行い各部分の高度、緯度、経度を算出したものである。

この場合、例えば内え浦一南郷の組と種子島一山川の組では全く独立に発光雲の位置が計算されるが、両者のズレ等から考えて発光雲位置の誤差は700m(低空)~数百m(高空)と考えられる。発光雲の直径は90~110kmで、200~800m, 110km以上では1~数kmとなっている。

ロケット上昇時に高度90~125kmで作られたNaX雲の位置を図1,2に、風向、風速を図3,4に示す。高度100km以下では、かなりの垂直方向の風も認められたが、図では水平成分のみを示した。

風速のシェアードは101kmと106kmにあると考えられるが、京大、加藤・麻生氏らのインピーダンスプローブによる電子密度の極大や山川観測所で観測されたドリフトから導かれたE_s層は101kmのシェアードに相当するものと考えられる。

図1,2 H:高度 φ:緯度
λ:経度 R:ロケット航跡
a: X+195sec b: X+225sec

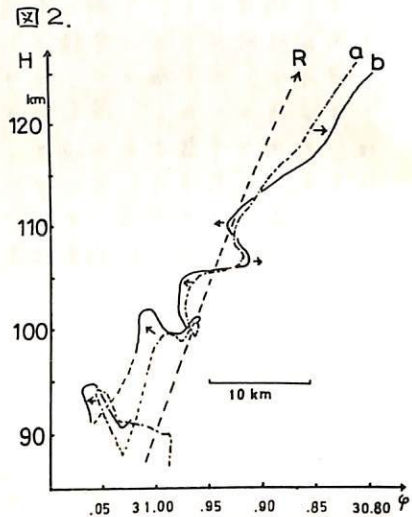
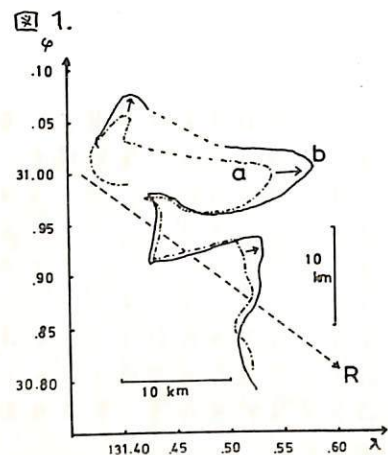


図3. 風速 |V|:水平成分 W→E:西風 N→S:北風

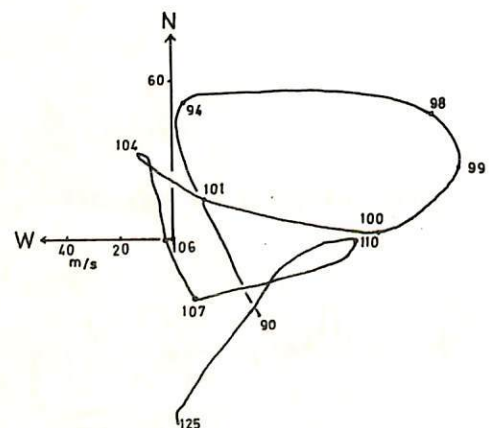
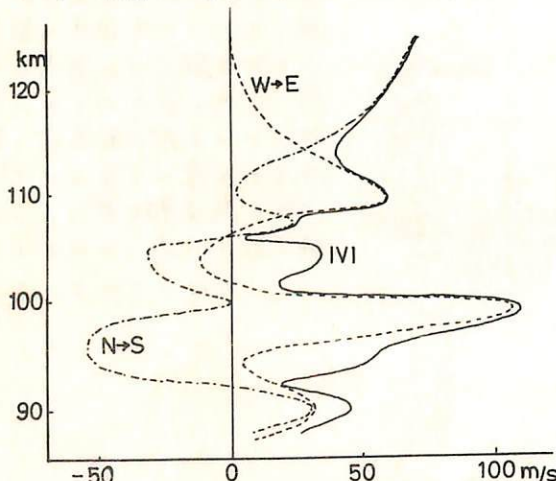


図4. 風向, 風速(水平成分) 小数字は高度
中心からのベクトルが風向, 風速をあらわす。

K-9M-34号機による磁場の測定

加藤英雄・青山巖・遠山文雄
東海大専 工学部

昭和46年1月24日午前11時、K-9M-34号機に新しく開発した磁場測定器を搭載して観測を行なった。

[1] 観測装置

この磁力計の特長は磁場の成分にわざて高感度で測定をせらる事にあら。K-9M-32号機搭載の感度は約±2どのものであつた。この磁力計は主として三つの部分から構成されてゐる。第1の部分は磁場成分を高い精度で測定するためのAD-DA変換技術をとり入れたデジタル方式による計測で出力信号は2進10bitであり、第2の部分はこのデジタル化における量化レベル(50g)以下をアノログ信号としてとり出すものである。第3は、このシステム全体を制御する部分で特にスピンドルに変化するロケット軸と直角な成分(H)を測定する機能をもなしてゐる。その他、太陽方向を検出するサンセンサが附加されてゐる。ここでは特にこのH成分における測定原理の概要を説明する。図はロケット軸方向から見たものである。磁場検出センサは、X-Y面に85°の角度をなして2個設定されている。このうち制御用センサはロケットのスピンドルとともに、磁力線と直角になるまでON、OFF信号を発生させて測定対象であるH_{max}を測定するセンサを制御する。すなはち測定センサはH_{max}中心として約10ms(スピンドル周波数2Hzの場合)だけ動作して、その値を保持する。その結果、スピンドルにともなり大きなダイナミックレンジをすべて追従して測定する必要がなくなる。出力はこの時の保持されたデジタル信号との差であるアノログ信号の2つが得られる。

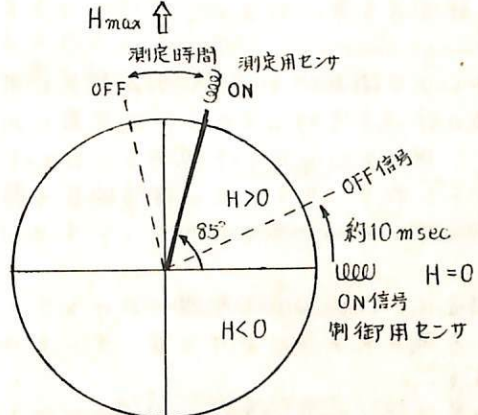


図. H成分平面におけるH成分測定方法

[2] 測定結果

ロケットによる測定は、開頭後、全飛行時間にわたって正常に行われ、初期の目的を達成した。高度約100kmからSq-電流系によるものと考えられる変化が観測され、その値は変動している。尚、詳細についてはロケットの姿勢の問題もあり、現在もまだ解析中の段階にある。

K-9M-32号機による磁場観測

数崎 翔、塙田紀昭、小川 徹

京都大学工学部

はじめに

地磁気静穏時の日変化については、現在まで、地上における地磁気日変化の観測から、モデル的構造に関する多くの研究がなされてきた。しかし地上観測に基づく研究では常に、電離層電流が水平に流れていること、電離層の厚さが地上半径に比べて充分薄く、更に大気の運動や電場が高度に空間関係であるといつて大きな仮定を強いるられてきた。しかし最近のロケット観測では、電離層における風向や大きさ更に電場の方向も高さにより変り、また電気伝導度も大きな高度依存性を持っている事が示されている。そこで、電流系のロケットによる直接観測が行なわれてきたが、その程んど equatorial electrojet や auroral electrojet のような比較的電流の大きな領域での観測であり、電流が比較的弱い中緯度での観測は、観測器の感度、精度が向上しに 1964 年以後であり、未だ多くの観測がなされておらず、精密な観測結果は非常に少い。

筆者等は、超高空における磁場、特に時間的空間的変化成分の観測を行ってきたために、ここで報告するのは、1970 年 9 月 27 日 15 時 42 分 (JST) に鹿児島内之浦から打ち上げた K-9M-32 号機による観測結果である。

地上(鹿屋)における地磁気変化は、ロケット飛翔時中極めて静かで (0.5 G 以下)、従って観測データにおける 0.5 G 以上の変化は程んど空間的変化成分であると考えられる。この様に磁場が静穏である為、高度 100 Km 附近、電離層 E 層における電流による磁場変化がかなり精密に観測する事ができた。

観測装置

観測装置の主体となる磁力計は、セシウム原子を用いた光ポンピング磁力計である。この光ポンピング磁力計は本質的にスカラー測定器であり、観測される微少変化は地球磁場方向成分である。現在までのロケット観測で、ロケット本体や他の測定器の残留磁気がかなり大きい事がわかつており、そこでこの残留磁気の影響を除くために、センサーの飛出し機構を設け、更にテレメータ出力をロケット 1 スピンドル平均と real time で行うた。

観測結果

本ロケット観測では、ロケット上昇時におけるデータはほぼ完全に得た事ができたが、下降時には装置の不調のために S/N が下り良くデータは得られなかつた。結果の概要を示すと次のようになる。

電流系の高度 $\approx 101 \text{ Km} \sim 109 \text{ Km}$ 、磁場変化 $\approx \pm 4.5 \text{ G}$ 、東向き電流密度 $\approx 2.5 \text{ A/Km}^2$ 高度 101 ~ 109 Km の磁場変化から求めた電流密度(東向き)は比較的平坦であつた。この事は、中緯度の代表的大気モデルで計算されている電気伝導度($\sigma_{xy}^{(2)}$)がこの高度では平坦である事から理解できるが、電子密度の直接測定が行はれないので、詳しい事は明るかでない。また 97 ~ 98 Km 附近で約 1 G の磁場変化が観測されている。

この様に電離層電流による磁場の北成分が直接求められたので、地上における磁場変化(H 成分)に base line を引く事ができる。他方東西成分(D 成分)は地上における日変化に適当な base line を引き求めること、電流密度の絶対値及び方向を求め事ができる。其の結果は、地上観測に基いて計算されたものとほぼ一致した。

1). 数崎、塙田、小川、東大宇宙研報告 第 1 号 (B), p. 103 (1971).

2). 上山、東大宇宙研報告 第 2 号 (B), p. 1173 (1966).

3). S. Matsushita, Physics of Geomagnetic Phenomena (Ed. Matsushita, Campbell, Academic Press, N.Y. 1967).

Tweek の伝播特性から推定した夜間下部
電離層の電子密度分布
上山 弘 森 洋介 荒木 喬
東北大理

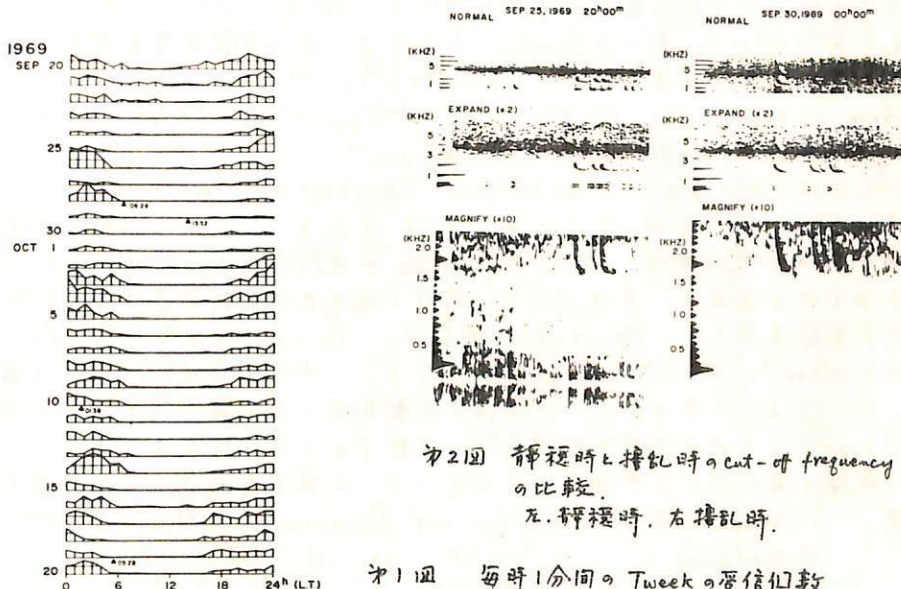
Tweek 13 地表-電離層間の wave guide mode を伝播し、其の伝播特性は電離層反射面の状態に支配されていくことから理論的に明らかにされていく。即ち観測された Tweek の吸収量の変化と cut-off frequency の変化とから、電離層反射面の電子密度分布を推定することができる。

今日は、遠刈田観測所（北緯38度06分、東経140度33分）で毎時1分間にわたり観測して3Tweek の data をうち、地磁気擾乱を含む1969年9月20日から10月20日までの1ヶ月間と、1971年2月11日から3月23日までの期間について解析した結果を報告する。この解析では観測された Tweek data から吸収量の変化を推測する方法として毎時1分間の受信回数の変化に着目した。

得られた特徴的な結果は

- 1). Tweek は、日没約1時間前から受信回数始め20時頃から受信回数が急増し3時頃まで続く。その後徐々に減少し日出約1時間前には、非常に少しだけとなる。(左)図)
- 2). 数日間にわたり受信回数が減少し、又 cut-off frequency が高くなる場合がある。その一例を左1回及び右図に示す。これが豊富な地磁気擾乱の Main phase に対応している。他の例は、左の弱い地磁気擾乱が終了後に対応するものである。

以上の観測結果を、電離層を二層モデルで近似して mode equation を解く組み合せることにより夜間下部電離層の電子密度分布の変化を推定することを試みたので、その結果についても考察する。



第2図 震源時と擾乱時の cut-off frequency の比較。
左. 震源時、右. 摆乱時。

第1図 每時1分間の Tweek の受信回数。

上層大気中における流星金属元素の密度分布

左野求和、牧野行雄

九大物理

超高層大気中に種々の金属元素の存在することは薄明時太陽散乱光や、ロケットに搭載された質量分析器によって確認されているが、スパラディックE層のお現と密接な関係をもつことが知られている。このような金属元素の起源については流星などのような宇宙の大気進入によるという説が有力であるが、生成消滅の機構については詳細な考察がなされていない。ここでは粒子が地球外から大気中に突入し昇温蒸発して、その後は主として酸化還元の過程により原子状の成層が出来上がるという考え方を進めてみる。地球大気への粒子の流入量としては半径 r について $n(r)dr = n_0 r^{-4.5} dr$ の分布をすると考える。大気圏外での平均速度は $v_\infty = 30 \text{ km/sec}$ とするとき $r > r_{\min} = 5 \times 10^4 \text{ cm}$ の粒子について取扱えば今の計算のためには充分であり、Nilsson et al.¹⁾ に従い $n_0 = 1.85 \times 10^{19} \text{ cm}^{-15} \text{ sec}^{-1}$ とする。または進入の際の入射角 χ は 45° としておく。Gadsden²⁾によればこのよう粒子が大気进入後昇温をつづけ蒸発を急始するのは大略 102 km の高さであるのでこの高さを基準面 ($z=0$) にとる。このようにして進入粒子蒸発によって生じた流星原素生成量を計算すると

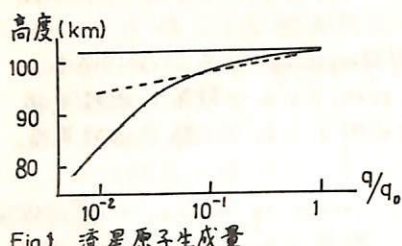


Fig.1 流星原子生成量

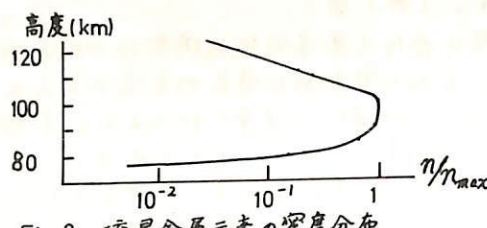


Fig.2 流星金属元素の密度分布

Fig.1 のようになる。ここで輻射による損失は無視してある。この曲線を
 $\delta(z) = \delta_0 \exp(-|z-z_0|/H_g)$,
 $-L \leq z \leq 0$
 $\delta(z) = 0$ (その他の高度)

で近似する。ここに $\delta_0 = 29.4 \text{ cm}^{-3} \text{ sec}^{-1}$, $H_g = 1.65 \text{ km}$ となる。このようにして生じた金属原素 M は次式のような酸化還元の過程をうける。 $M + D_3 \rightarrow MD + D_2$ (1), $MD + O \rightarrow M + O_2$ (2) ここに $k_1 = 10^{-11} \text{ cm}^3 \text{ sec}^{-1}$, $k_2 = 10^{-10} \text{ cm}^3 \text{ sec}^{-1}$ とする。 M の個数密度を n とすると定常状態 ($\partial/\partial t = 0$) において (i) $z \geq 0$ では $\partial^2 n / \partial z^2 + (1/H_a) \partial n / \partial z = 0$ H_a は大気の scale height で $H_a = 6.5 \text{ km}$ にとる。 (ii) $-L < z < 0$ では $\partial^2 n / \partial z^2 + (1/H_a) \partial n / \partial z + (\delta_0/K) \exp(z/H_g) = 0$ K は eddy diffusion coefficient で $10^7 \text{ cm}^2 \text{ sec}^{-1}$ にとる。また $L = 2.2 \times 10^6 \text{ cm}$ とする。 (iii) $z \leq -L$ では $\partial^2 n / \partial z^2 + (1/H_a) \partial n / \partial z - (\delta_0/K) n = 0$ $\delta = \delta_1 [D_3]$ は 80 km で $[D_3] = 10^8 \text{ cm}^{-3}$ となるが、 $\delta = 10^{-3} \text{ sec}^{-1}$ にとる。これらの方程式をとく境界条件 $n \rightarrow 0$ ($z = \pm \infty$), $z = 0$, $-L$ で n と $\partial n / \partial z$ の連続性を仮定すると Fig. 2 のような高さに対する分布がえられる。そのピークにおける各元素の個数密度はコンドライト隕石と同じ組成比を仮定すると $Mg: 4.26 \times 10^4 \text{ cm}^{-3}$, $Fe: 3.85 \times 10^4 \text{ cm}^{-3}$, $Ca: 2.63 \times 10^4 \text{ cm}^{-3}$, $Na: 2.22 \times 10^3 \text{ cm}^{-3}$, $K: 1.95 \times 10^2 \text{ cm}^{-3}$ となる。ナトリウムについては観測値とよく一致する。ピーグより下方の減少の仕方は大体観測値とよくあうが上方では $Scale\ height \approx 6.5 \text{ km}$ となり laser でえられた夜間の観測値³⁾ と比較すると厚さが大きすぎるようである。この計算では電離と再結合とは無視されているのでこの評価も加えることを希望したい。

文献 1) Nilsson et al. Phys. and Dynamics of Meteors. 280 (1968)

2) Gadsden, J.A.T.P. 30, 151 (1968)

3) Sandford et al. J.A.T.P. 32, 1423 (1970)

D層の有効再結合係数とイオン組成

上山弘
東北大理

電子密度の時間的変化

$$\frac{dM_e}{dt} = \sum g_x - m_e \sum (\alpha_{ei} n_i^+) - m_e \sum (\beta_x M_x) + \sum \sum (k_{xj} n_x n_j^-) + \sum (\mu_j n_j^-), \quad (1)$$

但し g_x : x 種中性成分の電離生成率,

α_{ei} : i 種正イオンと電子との再結合係数, (n_i^+ は第 i 種正イオンの密度)

β_x : x 種中性成分に対する電子の消滅係数, (M_x は第 x 種中性成分密度)

k_{xj} : x 種中性分子の衝突による第 j 種負イオンの電子離脱係数,

μ_j : 第 j 種負イオンの光離脱係数, (n_j^- は第 j 種負イオン密度)

で表わされる。一方各種負イオン密度の總和の変化は

$$\frac{d \sum n_j^-}{dt} = M_e \sum (\beta_x M_x) - \sum \sum (k_{xj} n_x n_j^-) - \sum (\mu_j n_j^-) - \sum \sum (\alpha_{ij} n_i^+ n_j^-), \quad (2)$$

で示される。従って $\lambda = \sum n_j^- / M_e$ とおけば $\sum n_j^- = M_e + \sum n_j^+ = (1+\lambda) M_e$ が成り立つ。

$$\begin{aligned} d(1+\lambda) M_e / dt &= \sum g_x - m_e \sum (\alpha_{ei} n_i^+) - \sum \sum (\alpha_{ij} n_i^+ n_j^-) \\ &= \sum g_x - \langle \alpha_e \rangle (1+\lambda) M_e^2 - \langle \alpha_{ion} \rangle \lambda (1+\lambda) M_e^2 \end{aligned} \quad (3)$$

となる。従って λ'

$$\langle \alpha_e \rangle = \sum (\alpha_{ei} n_i^+) / \sum n_i^+, \quad \langle \alpha_j \rangle = \sum (\alpha_{ij} n_i^+) / \sum n_i^+, \quad \langle \alpha_{ion} \rangle = \sum (\langle \alpha_j \rangle n_j^-) / \sum n_j^-$$

と定義する。一般に $d\lambda / dt \approx 0$ とすれば $\lambda \approx \lambda'$

$$dM_e / dt = \sum g_x / (1+\lambda) - (\langle \alpha_e \rangle + \lambda \langle \alpha_{ion} \rangle) M_e^2 \quad (4)$$

となる。従って λ 有効再結合係数より λ' 有効消滅率は次のよう

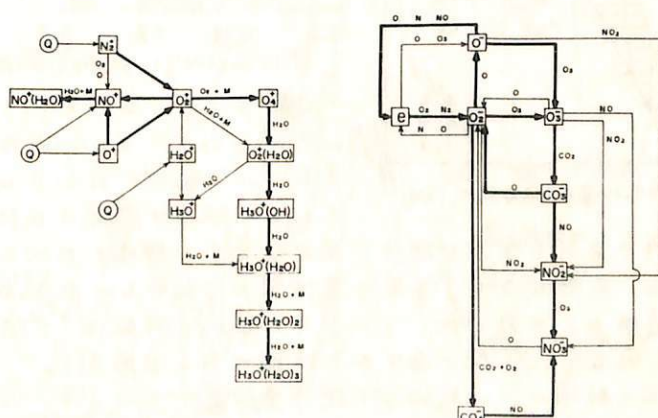
$$\lambda' = \langle \alpha_e \rangle + \lambda \langle \alpha_{ion} \rangle$$

$$\lambda' = \sum g_x / M_e^2 = (1+\lambda) \alpha'$$

となり、消滅率の形で表現されるが、上に定義したとおり、 $\langle \alpha_e \rangle$ は電子と正結合係数を各種の正イオン組成に従じて随時平均したものであり、 $\langle \alpha_{ion} \rangle$ は正負イオノン結合係数につれて、正イオン組成につれて随時平均して上に更に負イオン組成に従じて随時平均してから、また負イオノン組成につれて随時平均して上に更に正イオノン組成に従じて随時平均してから、この間に有効再結合係数は正負イオノンの組成に依存する。この二つの組成に関する確証が必要である。

4-2. 正負各種イオ

ンの生成反応の系列を右の図に示したが、各反応過程の反応速度係数および大気組成によると、各イオノン成分の如何に影響を受けたかを考察しながら、有効再結合係数を吟味していく。



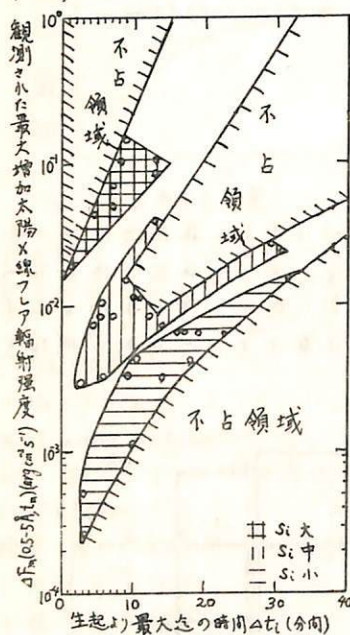
太陽X線フレアの一特質

大塙光夫
電波研究所

SID's の一種であるSPAの、太陽X線フレア生起時から最大時迄の増加反射高さ(ΔF_m)の時間的変化が調べられる場合、高さの低下の速さ分布は一様ではなく、二群に大別される。一は反射高さが平均約1分/秒で低下して行くものであり、他は平均約0.4分/秒のものである。但し最大時数分前からの速さの小さい部分では平均約0.1分/秒である。前者及び後者は夫々SPA反射高さ低下の急降下型及び緩降下型と名付けられる。前者の持続時間は概して短く10分間前後であり、後者のそれは概して長く約20~40分間である。

反射高さに於ける増加電子密度の時間的変化も一様ではなく、二群に大別され、急降下型は $\Delta N(t) \approx 1 \sim 1.5$ 百電子/amu³ の急上昇を有する型に属するのに對して、緩降下型は 0.25~0.5 百電子/amu³ の緩上昇を有する型に属する。

以上のSPAの性質は、地球大気電離源の増加輻射強度の時間的変化と密接な関聯があるであろう事は察せられる所である。上記のSPAの時間的変化が利用出来た 15 events 29 現象のみならず、太陽X線フレアの時間的変化が利用出来た 35 events に就いて調べられた。生起から最大迄の増加輻射強度及びその時間间隔が夫々 $\Delta F_m(0.5-5\text{Å}, t_m)$ 及び Δt_i で表わされ、更に輻射強度の増加の平均的速さを示す量 $s_i = \Delta F_m / \Delta t_i$ が導入されるならば、下図及び下表の如く



$\Delta F_m(\text{erg cm}^{-2}\text{s}^{-1}\text{\AA}, t_m)$	$\Delta t_i(\text{分})$	短時間	長時間
ΔF_m	急速	(◎)	
	中速	(◎)	(◎)
	緩慢		
ΔF_m	急速	○	
	中速	(◎)	○
	緩慢	(◎)	(◎)
ΔF_m	急速		
	中速		
	緩慢	(◎)	

注1. 緩慢 中速 急速

$$5 \times 10^{-5} \leq S_i < 5 \times 10^{-4} \quad S_i < 5 \times 10^{-3} \quad S_i < 5 \times 10^{-2} \text{ erg cm}^{-2} \text{s}^{-1}$$

2. (◎) 主, (○) 一部, (○) 例外的

に生ずる限界は $\approx 2 \times 10^{-2} \text{ erg cm}^{-2} \text{s}^{-1}$ であり、又 $\Delta t_i = 20$ 分間より長時間を要する、 $\Delta F_m(0.5-5\text{\AA}, t_m) > 10^{-3} \text{ erg cm}^{-2} \text{s}^{-1}$ の小フレアも、 $10^{-1} \text{ erg cm}^{-2} \text{s}^{-1}$ の大フレアも存在しない理由が提起され得る。

SPAの急降下型及び緩降下型がフレアの称相と対比された場合、前者はフレア上昇の急激型と、後者はフレア上昇の緩慢型との良好な一致を示す。 Δt_i が大で ΔF_m が小又は大となる事は皆無が又は殆ど無いといふ不占領域の特徴が、SPA反射高さの低下の速さ分布も一様ならぬめなく、二群に分けたと結論されるであろう。

以上の結論は、比較的少い統計量に基いてある事、及び $\Delta t_i, S_i$ 及び ΔF_m の大きさの分割がむきまで便宜的なものである事に基いてある事は留意されて然るべきである。以上の結論は太陽フレアに関する情報知識への一提起となるであろう。

示される。斯くて 2通りの Δt_i , 3通りの S_i , 及び 3通りの ΔF_m のいずれの場合とも占有しない領域、即ち不占領域が設定される。占有領域と不占領域との境界は、太陽面上活動領域に於ける太陽X線フレアの生起の存否・大小の物理学的條件の一部をテクノロジカル提示するものであるかもしれない。例えば $\Delta t_i = 1$ 分間とすれば短時間で $\Delta F_m(0.5-5\text{\AA}, t_m)$ を最大に生ずる限界は $\approx 2 \times 10^{-2} \text{ erg cm}^{-2} \text{s}^{-1}$ であり、又 $\Delta t_i = 20$ 分間より長時間を要する、 $\Delta F_m(0.5-5\text{\AA}, t_m) > 10^{-3} \text{ erg cm}^{-2} \text{s}^{-1}$ の小フレアも、 $10^{-1} \text{ erg cm}^{-2} \text{s}^{-1}$ の大フレアも存在しない理由が提起され得る。

Comparison of the Solar X-Ray Event of February 11, 1970

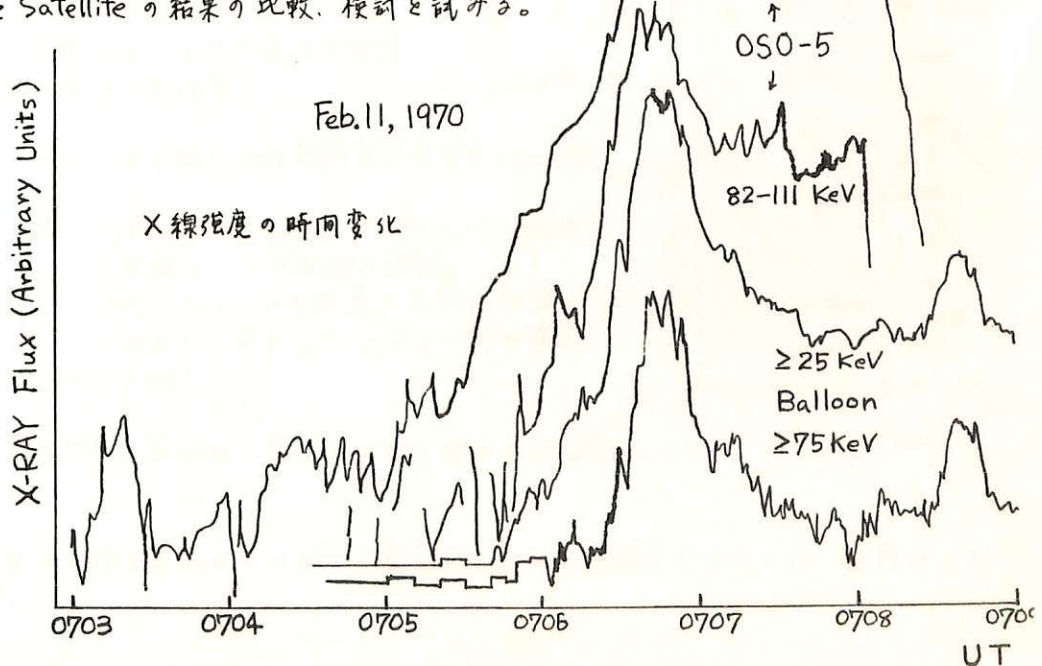
Observed in Balloon and Satellite Altitudes

小倉絢一 K. J. Frost, 小玉正弘
日大習志野 NASA 理研

1970年2月11日, 0704UTに起った class 2B の太陽フレア (N 18° W 04°) に伴って発生した太陽硬X線バーストを、南極、昭和基地に於て、気球高度(7mb)で観測した。X線バーストは NaI scintillation counter により、エネルギー、25KeV以上のもののバーストを、約7分間にわたり記録された。その flux 増加は最高で約28倍 background 強度に達し、過去の気球高度で観測された例に照してみても最大のものであった。この X線バーストは極めて simple な time profile を示しており、マイクロ波バーストと比較した場合、X線に対して電波の方に異常に大きな周波数ドリフトが見られることは概に報告した (45年6月論文)。

一方、この入線バーストは人工衛星 OSO-5 に積まれた CsI(Na) scintillation counter で 14KeV から 250KeV のエネルギー範囲にわたり観測された。Balloon と Satellite で観測された X線の time profile は図に示した様にそのピーカーの近辺で良く一致しており、ともに周期約 6 秒の pulsative な変化が含まれている。残念なことに、Balloon の data のカスのピーカーに相当する時間には Satellite が地域の陰に入った為、太陽 X線は観測されない。Balloon と Satellite の data で X線の増加しえじめた時間の違いは、地球大気での X線の吸収を考えれば説明がつく。今回の event の際に、Balloon と Satellite で、同じ様な X線検出器を用いて、しかも比較可能なエネルギー範囲で同時に観測された例は初めてである。従って、両者の観測結果の比較から、地球大気に入射した X線の吸収散乱のありさまを考えることは、今までに気球高度で観測された太陽硬X線のデータを参考する上で大きな役割を果すとともに galactic X-ray, auroral X-ray 等の大気中でのありさまを考えるのに必要である。

今回は太陽硬X線のエネルギースペクトル及び Balloon と Satellite の結果の比較、検討を試みる。



E_s Wind Shear 理論における金属イオンの 役割に対する考察 (II)

藤原玄夫・広野求和
九州大学理学部

再結合係数の異なる2種の正イオン——分子イオンと金属原子イオン——を考慮した。 E_s 層の生成に関する Wind Shear 理論を、非定常問題として取り扱う。前回は水平中性大気風(東西方向)の node におけるイオンの集積を議論したが、引き続いてイオニ密度高度分布の時間的变化を考察する。

Wind Shear としては定常風及び内部重力波のように直直方向に伝播するものを考えるが、後者の場合にも 130 ~ 100 km の高度では node に集積されたイオンは運動の位相と共に動く。(Chimonas, Axford 1968) 荷電粒子に働く力は中性大気分子との衝突及びローレンツカのみとして、イオンの軌道を求め、その軌道に沿って連続の式を積分した。イオンの生成消滅過程を photo ionization, recombination のみと仮定すれば peak における金属原子イオンの密度は十分に大きくなるが、 E_s 層をつくす程度に大きい全個数を得ることは困難であるので、金属原子イオンの生成過程としては charge transfer が重要である。

なお peak における密度が増大すると拡散が重要な効果を及ぼすようになるので、これについても付言したい。

電離層内の長周期波動

--- HM Rossby Waves? 観測 ---

北村泰一

九大理學部

下部中性大気層には大規模な波動が存在する。これは惑星波とも、或いは発見者に因んで Rossby(-Haurwitz) 波とも呼ばれている。では、電離層中にそのような大規模な波動が存在するか？ 若し存在するとすればその特性を、存在しないとすればその理由を明らかにせねばならない。筆者は先に(45年秋 京都学會) 電離層中の惑星波の存在に関する理論的予備考察を試みたが、しかし何よりも先ず現象の事実を明らかにしなければ座理に終るので、今回は観測資料に基く結果の報告をする。

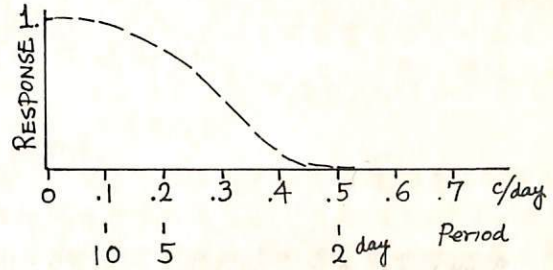
先ず そう！ 大規模な波動がどういう形で現象としてあらわれるかが問題であるが、試みとて f_0F_2 の資料を使ってみた。 $h'F$, f_0E_s 又は地磁気変化の資料等も試みる予定である。

[観測資料] 各緯度の代表臭を 20ヶ所選んだ。期間は 1958年1月～3月の3ヶ月間である。

[方法]

① f_0F_2 の hourly values から日変化を除去するために low pass filter (digital) をつくった。(右図) これによつて周期 2 日以下の変化はほとんど完全に除去される。

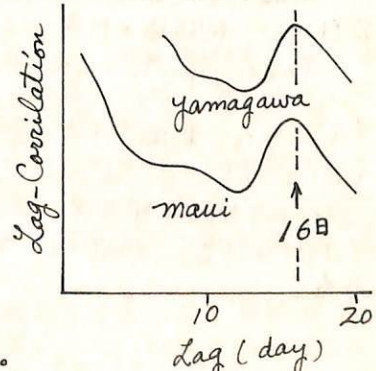
② フィルターにかけた値について 1 日毎のズラシ相関(Covariance 又は Lag-Correlation) をとると 8 日, 11 日, 16 日等場所によつて夫々異なる周期をもつ変動があらわれる。



③ 東西方向に、ほゞ同じ地磁気緯度にならがステーション間では

(a) マウイ島(ハワイ諸島) — 山川のペアト川では両ステーション共正確に 16 日周期が卓越。

(b) ワシントン-アダック(アリューシャン列島) につりてはワシントンでは 8 日、アダックでは 11 日が卓越する。(理由不明)



④ この数日周期の変動は夏期には余り明らかではない。

これらの数日周期の変動がほゞして惑星波か否かの結論を下す丘には現在はいたっていない。

熱圏における潮汐波

加藤 雄
京都大学 工学部 電離層研究施設

最近の観測技術と計算技術の進歩にもかかわらず、この方面に未解決の問題が多い。特にF領域は理論的に統計的に解析が難しい。種々の効果すなわち粘性力、熱伝導、電磁力、非線型がすべて有効になり、理論的取扱いが困難になる一方、衛星の軌道データーは潮汐波の種々の成分を分離するのに充分な量に達していない。

E層域については可成り事情は明るいが、やはり詳しい理論と観測事実の対応はついていない。このために流星風レーダー、ロケット観測の国際協力が有力な手段であろう。またレーザー・レーダー等の新しい観測技術の開発が望まれる。

地磁場長周期成分の解析

半田駿・前田恒
京都大学 理学部

地磁場変化の長周期成分（周期80時間～1000時間）のスペクトル構造を調べる目的で、地磁場のH成分のPower-Spectrumを計算した。

Power-Spectrumは、自己相関函数をフーリエ変換する方法で求めた。

データは、柿岡 1964年1月から、1965年12月までの2年間のHourly valueを用いた。

他に 1964年5月～1964年6月、1964年11月～1965年2月のデータについても、求められ、柿岡地5万所について、同じ方法でスペクトル解析してみた。

富田 宏柳 築地東方氣體測定部 島直, 飯島健



考案 — この電流 $[R] = \frac{2b}{div} + \frac{1}{div} (V \times B)$ は地表面を通じて電流の流入出があるか否か層内に電荷 ρ が起つことは空地電流が全世界を通りても $\rho \times 10^3$ amp 程度である。しかし電流密度 B は磁場変動には直に大き過ぎるから考案難い。なお超高層からの磁場が線形比例 V と運動速度 b とに比例する。

したがつて原因は被導出の方法にあると考えざるをえない。即ち観測卓と網の間にかかる不規則的の変化をRと進み、各成分は積分され下端気流速度の各部分と流入流出が反転するこよりRを難い。残る所はダイナモ電磁の局所的相異によつて変化電流がグニヤグニヤ変形しながら移動するか、または場所的な附加場（例えば内部重力波による）があるかである。この要點が國立の日本電通研究所の蓄積した比較的は照しながら検討中であるが後者の方が有望に思われる。例えば台風など、存在位置と可なり關係があつてうに思われる。

はり関係が成り立つに止めます。 $R_1 = R$, $R_2 = R_{2g}$ ($t \leq 0$)
 なお用意化の零点の方が値に影響するが流入入の較差には變ります。全体として
 流入側によるとか流出側によるとかだけでも、後のレベルを零とした。即ち夜間の流入入
 を零にして下に(1), (2)を満足する計算し正結果について述べたいと思ひます。

赤道近傍熱流層と江戸流脈の比較 上部電離層の構造

鈴木亮(京大理), 松前浦田延一・想・西嶺良・中村義勝
・宍波研

前回の電流 current がアフリカ沿岸再び赤道に集中する時期を調査する御用にて磁力線に沿う N(H) の分布の結果について報告した。夏季では冬季に求められた磁場線で解消する H(H) の位置がはるか電流線上の電場強度が弱く非球形帶の場合は逆流が御用の同様不正確な電場強度を示す。冬季は H(H) が遙引され大いに減少し電流の注入が想定される。冬季は海面が晴れ渡り穏やかである。また冬季は H(H) が増加する。

称作，磁双蝶形温场南北对称，分布上与之相矛盾的反常情况较少！

前項成の完了密度、プラスマ温度、中性大気構造等に南北非対称性がある場合には、磁
翻轉場の遷移速度分布の平衡状態が得られ、一般に南北両半球の同様の分布が現
在する。東密西稀の流向が形成される。1万ニ密度分布を解説的表現すこ
れでいた。

$$\frac{\dot{V}}{\dot{F}} = \frac{\sum B (\bar{E}_B - \bar{V} \times \bar{B})}{\sum B \bar{E}_B + (\bar{V} \times \bar{B}) \left(\frac{\sum B}{A_N} - \frac{\sum B}{B_N} \right)}$$

・赤道では磁力線の方向が水平であるのに対し、垂直方向のVは無視できよから南北両半球で磁力線の沿 λ 密度分布は次のように与えられる。

$$\text{故に } \left\{ \begin{array}{l} \text{3 様は } \Delta T_{\text{EON}} = \frac{\text{div}(T_{\text{EON}})}{\text{div}(T_{\text{E}})} = \frac{\int_0^1 \left(\frac{1}{1 - \frac{F_N}{F_{\text{E}}}} + A_N \right) B_N' \, dx}{\int_0^1 B_N' \, dx} \\ \text{div}(\Sigma E - \Sigma_B E_B) = \phi + A_N \end{array} \right. \quad (2)$$

$$\text{を解く} \Rightarrow 1 + \frac{(1 - \frac{F_s}{F_{as}}) + A_s \left\{ 1 + \left(\frac{F_s}{F_{as}} \right) B_s \right\}}{\sum_{B=1}^n F_B^{-1} A_s} = \frac{\sum E - \sum_B E_B}{\sum (E - E_B)}$$

この赤道部の Δ_{enh} は、主に地輪輻射と静電場の enhancement、暗黒視度基準レベル（高緯度の暗黒度）と西極平均時刻 T_{Geo} 、 T_{IO} 、 D_{e} 、 R_{e} は基準レベルでの電離度、イオニ温度、拡散係数、地磁場の二乗積 E_{suffix} が apex > より赤道での値を意味する。ことはまとめでいうと、赤道でのこの原因となるのは conductivity の異常が enhancement $\Delta_{\text{N}} = \frac{\partial T_{\text{IO}}}{\partial R_{\text{e}}} \left(\frac{\partial T_{\text{IO}}}{\partial N_{\text{FAN}}} \right) \left(\frac{\partial N_{\text{FAN}}}{\partial D_{\text{e}}} \right) + \frac{1}{A_{\text{e}}} \frac{\partial D_{\text{e}}}{\partial A_{\text{e}}}$ が赤道に寄与していくと考えられるということである。ここで $\frac{\partial T_{\text{IO}}}{\partial R_{\text{e}}}$ 式は

$$B_N = \left(\frac{Neos}{4\pi R^2} \right) \left(\frac{F_{AN}}{F_{AS}} \right) \left(\frac{D_{os}}{D_{ON}} \right) Z = \frac{1}{B_{SO}} E \} = 0 \quad (3)$$

実数 G 及び U は次の様に定められる。

と書けて、この $\left\{ \frac{1}{n} \right\}_{n=1}^{\infty}$ 中の成る項は必ず道以外では q_m で表され、 $\frac{1}{k_i}$ の電場正のボテン

$$\text{である。} \quad \left\{ \frac{1}{(1+\beta)} \int_{\frac{s_0}{s}}^{\infty} \frac{g(\lambda)}{\lambda} d\lambda = \frac{1}{(1+\beta)} \int_{\frac{s_0}{s}}^{\infty} \frac{S(\lambda)}{\lambda} d\lambda \right. , \quad (\text{積分は磁力線に沿って行う。})$$

ここで、 n_{ion} は等温 div の面積 A の β に対する値、 $\beta = T_0/T_i$ 、 M_0 ロイオニ（負電流）、 S は磁力線盤の断面積で、 I は垂直磁場界条件より得られる I_{crit} 。磁場観測より知られるようないポテンシャルの値を ϕ_{obs} とし、 $\phi_{\text{obs}} = \phi_{\text{crit}} + \phi_{\text{ext}}$ とおけば、 $\phi_{\text{ext}} = \phi_{\text{crit}} - \phi_{\text{obs}}$ が得られる。また磁力線に沿う電子密度分布と理論通りと对比較べる。一様な場合については、福島直・上出洋介「Equatorial Electrojet Return Current の拡がり」、第 48 回講演会講演予稿集を参照。

電離圏・磁気圏のイオン分布に関するモデル(II)

丸橋克英
電波研究所

プラズマポーズの外側で磁力線が閉じている領域のイオン分布の時間変化を考察することは、この領域のイオン分布の日変化、プラズマポーズの収縮後のイオン分布の変化等に関連して興味深い問題である。この問題を流体的に扱うならば、今まで開いていた磁力管が閉じた後、電離層からプラズマが供給されるに従って赤道面近くで発生した衝撃波面が電離層領域に向って近づいてくることになることは、筆者によつて求められた一群の定常解から容易に想像される。しかし、衝撃波面をつくるような有効な等価的衝突過程を考えられなければ、このような議論はあまり意味がないよう思う。従つてまず無衝突モデルによつて、磁力管内のイオン密度変化を扱うことと試みることにする。時間変化を考慮に入れた無衝突モデルは非常に複雑になるので、ここではその前段階として定常モデルを考察する。無衝突モデルによる定常的な密度分布はすでにいくつか計算されているが、ここで行なう計算の目的は、二種以上のイオンが存在する場合のモデルをつくること及びイオンの速度分布を求めることがある。

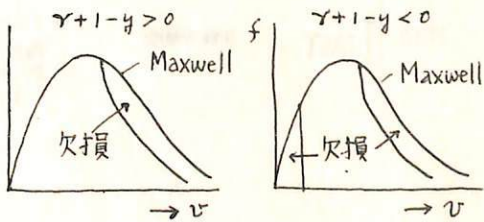
ÖpikとSingerによつて基礎づけされた外気圏理論はイオンの場合にも、ほぼそのまま適用できて、磁力線に沿つてイオン密度分布は次のように与えられる。

$$\frac{n_j(r)}{n_j(r_0)} = \begin{cases} e^{-E(\gamma+1-y)} \left\{ 1 - (1-\eta)^{1/2} e^{-E\eta(\gamma+1-y)/(1-\eta)} \right\} & (\gamma+1-y \geq 0 \text{ の場合}) \\ e^{-E(\gamma+1-y)} \left\{ 1 - \phi([E(y-1-\gamma)]^{1/2}) \right\} \\ - (1-\eta)^{1/2} e^{-E(\gamma+1-y)/(1-\eta)} \left\{ 1 - \phi([E(y-1-\gamma)/(1-\eta)]^{1/2}) \right\} & (\gamma+1-y < 0 \text{ の場合}) \end{cases}$$

ここで、 $y = r_0/r$, $\eta = B/B_0$, $E = (m_i g_0 r_0 / kT)^{1/2}$, $\gamma = E^{-1} \ln(n_e/n_{eo})$, ϕ : 確率積分である。ただし上式は右辺に $n_e(r) = \int n_j(r)$ を含むので、密度について完全に解かれた形式にはなっていない。

無衝突領域のイオンの速度分布は、低速領域では完全に等方的な Maxwell 分布になり、高速領域では速度ベクトルが磁力線のまわりのある円錐に含まれる方向では等方的になる。速度分布を模式的に図示すると右図のようになる。

図に欠損と示されている部分は、中性水素の場合の衛星成分に相当し、この場合には、電場または磁場によってトラップされていふ粒子になる。中性粒子の場合には、衛星成分と弾道成分は互いに独立に考え得るのでに対して、イオンの場合には、電場を通じて互いに影響を与えるため、トラップされていふ成分を考えることは、問題を更に複雑にする。



地球電磁気学のおかれている現在的位置（1）

岩坂泰信（名大理）、広瀬徹（名大理）、鶴田治雄（東大理）

1960年代の「高度経済成長政策」のもとで、科学の様相は一段と変貌をとげ、今や巨大科学といったような言葉もごく普段に使われるようになつた。また諸矛盾の激化とともに現在の科学のあり方や研究者の行動に対して鋭い問題提起が各方面からなされつつある。

よく言われることでありますか、地球物理関係の諸分野は他の分野と比べて、時の権力や社会体制とより深い関係をもつて現在に至つておりながら、地球電磁気学のおかれている社会的位置などを聞くことが本学会で問題にされにくく、現状は非常に残念であると言わねばならない。「資本の論理」によつて、研究者が研究を全面的に把握することが困難にされている現在において、地球電磁気学と称される分野の研究活動を通じて現実の社会と関わりを持つてこそ我々は、「地球電磁気学」が現在どのような位置にあるのかを充分に検討すべきであろう。

本講演においては、1950年代から「地球電磁気学関連分野」の歴史的事実を追う事により、二つの分野を決定的に規定してきたと思われる諸問題を指摘する。緒論的に言えれば、(1)巨大科学の最初のものとしての南極観測事業、(2)南極観測事業への防衛庁の参加は軍と科学の癡着現象の一つであり、何故地球電磁気学を始めとする分野が軍の協力を必要として看過しているのかが問われねばならぬ事、(3)宇宙開発産業の先駆者としてのSpace Science の役割、(4)日米科学協力事業への地球電磁気学分野の参加 等が挙げられる。

今後、政治・経済・文化・軍事等と地球電磁気学分野との関連を具体的な資料を基に追求し、「地球電磁気学」がかかる現在的位置をこの社会構造の中で持つてゐるかを明らかにしていきたいと考えてゐる。

	南極観測	宇宙開発	日米科学協力
1955			
1960	↑ IGY-IGC 朝鮮戦	56 第一次隊 ↓ 62. 基地開創 學術委員会開設 63. 「防衛庁參加」最終決定	55 パンシリロット
1965	↓ IQSY UMP IUCSTP 設置	65 はじ第7次隊 ↑ 70. 第一次隊ロケット打ち上げ 「極地センター」設立。 第2次隊開拓	61. 池田一ヶ年会 米軍「科学協力」開拓日米委員会 (以後毎年1回) 65. 第5回 地質分野を開拓上げ 66-67. 「一元化」キヤバン 68 「宇宙開発委員会」 69. 「宇宙開発事業団」 70. L-48 あおぞら 71. M-48 ひしめい。
1970	↓ IASTY 米軍開拓		68. オハヨウ テーマの指定と開拓 69. ジョンソン・メモ発表 72. 新「宇宙開発計画」

第 2 会 場

シーマン共振現象の共振周波数

佐尾和夫 棚橋秀伍 太田幸一
名古屋大学空電研究所

シェーマン共振現象の変動については、いくつかの矛盾がある。Polk⁽¹⁾のデータは三つの共振周波数の日変化は比例的でなく、ほとんど相関をもたない。もし電離層を導電率の高さの一層モデルとするなら共振角周波数 ω は

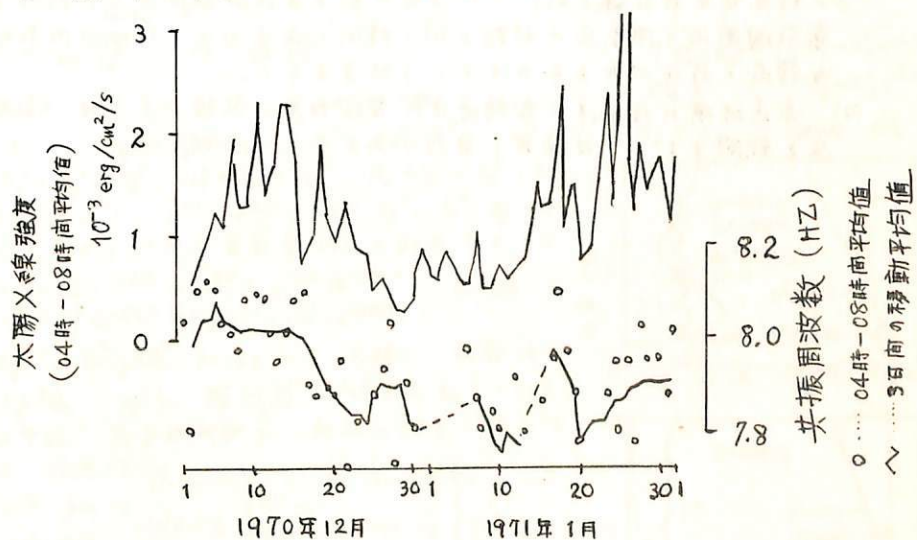
$$\omega^2 = \left(c/a \right)^2 n(n+1) \left(1 - \left(c/h \right) \left(\varepsilon/\alpha \right)^{1/2} \omega^{-1/2} i^{-1/2} \right) \dots \quad (1)$$

C : 光速, a : 地球半径, n : モード番号, ε : 真空中の誇電率, i : 単位虚数で表わされる。電離層の状態の日変化が共振周波数に幾分でも影響を及ぼすとするなら三つのモードに同様に影響しなければならない。しかしそうなっていない。

小川⁽²⁾のデータは各モードの日変化はよく比例しているが、NSとEWでは変化が異り、方向性のある事を示している。Nelson⁽³⁾の強度と周波数の日変化は我々のデータと矛盾している。一方Jones⁽⁴⁾は源と観測点との距離によって見かけの周波数が異なることを指摘している。そこでパラメータの数を減らすことを考える。零強度は距離、雷活動に依存するので不適切、共振周波数は距離と電離層に依存すると考え、一方向の零成分をとつて距離を固定する。つまり源を一箇にしばる。冬の雷源は南アフリカ、南米、大洋州であるが、南北磁界成分を測定するなら、南米は地球中心からみた角が 180° で強度は弱く、大洋州は方位 90° で感度弱く、南アフリカだけが最大強度最大感度で受信可能となる。こうして得られた周波数の変化は電離層の状態の変化だけを反映していると考える。

観測されたデータは下図に示す。図印は4時～8時までの一次モード共振周波数の平均値で1日毎に示している。折線は三日間の移動平均値である。図中上側の折線は太陽X線の同時刻の平均値を示している。高度70～100kmの電離層はH-LX、銀河宇宙線、太陽X線(1Å～20Å)とされているが、前二者はかなり安定しているものとして、太陽X線強度と周波数の変化とを比較した。後者が正の相関がみられる。

(測定器) フーマン共振周波数自動記録装置は Nelson によるものである。較正のため同時録音した波形をデジタル化しパワースペクトル分析を行つた。80%信頼度に対し信頼限界 $\pm 17\%$ 、周波数分解能 $\pm 0.25\text{Hz}$ であった。装置の記録は十分にこの内部にあつた。



- (1) 私信. Contributions of the Geophysical Institute, Kyoto University No.8 p.15 (1968)
 (2) 小川, 田中, 安原. Diurnal Variations of resonant frequencies in the earth-ionosphere cavity : Special Contrib.
 (3) Nelson Ionospheric perturbations and Schumann resonance data MIT Ph.D Thesis (1967)
 (4) Jones Jour. Geomagnetism and Geoelectricity Vol 21 No 9 pp679-684 (1969)

南極昭和基地における空電到来方位と頻度

鎌田 哲夫, 德田 進
名古屋大学空電研究所

南極昭和基地で行なわれているVLFエミッションの観測が、層や強烈な空電のため妨害をうけることが観測隊員により報告された。しかもこの空電の源は、暴風雨圏を通過する極地性低気圧の中にあまのではないかとの謡諑も出されているので、果して極地性低気圧が電気的な活動度をもつてゐるか否かを空電を利用して調査しようというのがこの研究の目的である。

現、空電を利用して暁局で或る特定の空電源を追跡するには、單方向受信と電波の周波数のちがいによる伝播距離の差を利用する方法によらねばならない。そこで自記式の單方向空電方位測定器を作成し、遠距離の空電源と近距離の空電源とを区別するために受信機の同調周波数を10kHzと53kHzの2種類を選定した。今回ここで報告するのは遠距離の空電源探知用として製作した自記式單方向性空電方位並びに頻度測定装置によって1969年3月から1970年2月迄、徳田によつて昭和基地で行った観測の結果である。

観測結果から判明したことと要約すると次の如くなる。

- (1) 昭和基地において年間を通じて卓越してゐる空電の到来方位は、北からのものである。これは一年を通じて活発な雷雨地域が中央アフリカ、南アフリカ、マダガスカルにあり、しかもこの雷雨地域の距離は、地球上の他の雷雨地域にくらべて最も近いことによるものと考えられる。
- (2) 昭和基地における空電受信頻度は、南半球の真に最も多く、晝間より夜間の方が多い。
- (3) ブリザードの時は空電受信頻度は著しく上昇する。又この時は或る特定方位からの到来空電が記録され、この空電の到来方位は時間と共に移動する。この移動方位は暴風雨圏内の低気圧の移動と同じ傾向を示すので、極地性低気圧内にも電気的に活潑な領域の存在が考えられるという結果を得た。
- (4) 赤道地域に存在する雷頻地帯の雷活動度を監視するには、南極で空電到来方位と頻度を観測することは極めて有効であることが判明した。

磁界方向に電子密度が変化する電離戸と伝搬する電波

溝保正喜、長野勇
(金沢大学工学部)

垂直磁界のかかった任意の電子密度分布(リは戸内を一定とする)の電離戸に垂直に電波を打上げた場合、Maxwellの式に境界条件を適用して、戸中の電離分布、戸よりの反射係数、透過係数が得られたので述べる。時間因数を $e^{j\omega t}$

$$m \frac{dV}{dt} + m \nu V = eE + eV \times B_0 \quad \dots \dots (1) \quad [K] = 1 + \frac{\frac{N(E)e^2}{\omega_m E_0} \left[V + j\omega - \omega_H \right]}{j\omega_m E_0 \left((V + j\omega)^2 + \omega_H^2 \right)} = \begin{bmatrix} K_1 & K_2 \\ K_3 & K_4 \end{bmatrix} \quad \dots \dots (2)$$

$$\text{左} \Rightarrow \omega_H = \frac{eB_0}{m}, \quad \nabla \times H = j\omega_m E_0 [K] E \quad \dots \dots (3)$$

$$\nabla \times E = -j\omega \mu H \quad \dots \dots (4), \quad (4) \text{の成分} \zeta \text{を (3) へ代入して } \nabla^2 E + k_0^2 [K] E = 0 \quad \dots \dots (5). \quad \text{左} \Rightarrow \frac{\partial^2 E_x}{\partial z^2} + k_0^2 K_1 E_x = -k_0^2 K_2 E_y$$

$$\frac{\partial^2 E_x}{\partial z^2} + k_0^2 K_1 E_x = k_0^2 K_2 E_y \quad \dots \dots (6). \quad E_x = \pm j E_y \text{ とおくと (6) の両式が成立する。従って (5) の左 } \Rightarrow \text{ は}$$

$$\frac{\partial^2 E_x}{\partial z^2} + k_0^2 (K_1 + j K_2) E_x = 0 \quad \dots \dots (7). \quad \text{今 } \frac{V}{\omega} = \tilde{V}, \quad \frac{\omega_H}{\omega} = \tilde{\omega}_H, \quad \frac{\omega_p^2}{\omega^2} = \frac{N(E)e^2}{\omega_m^2 E_0} = \tilde{\omega}_p^2 \text{ とおくと,}$$

$$k_0^2 K_1 + k_0^2 (K_1 + j K_2) = k_0^2 + k_0^2 \tilde{\omega}_p^2 (S) \quad \frac{i((1 \mp \tilde{\omega}_H)(-1 + D^2 + \tilde{\omega}_H^2) - 2D^2 - j((1 + D^2 + \tilde{\omega}_H^2) \mp 2\tilde{\omega}_H))}{(-1 + D^2 + \tilde{\omega}_H^2)^2 + 4D^2} \quad \dots \dots (8).$$

左: 正規波、右: 異常波で、夫々上側(-)、下側(+)の符号をとる。(7)は。

$$\frac{d^2 E_x^{0,x}}{dz^2} + k_0^2 E_x^{0,x} = 0 \quad \dots \dots (9). \quad (9) \text{を境界条件のもとに解いて境界条件を求める。今、電子密度を } z \text{ とす。} N = N_{\max} \frac{z(2z_d - z)}{z_d^2} \text{ をとり}$$

$$E_x^{0,x} = \frac{1}{2} \left\{ \left[\frac{\pi(z-2z_d)}{\frac{k_0^2 \alpha_X}{E} - k_0^2} \right]^{\frac{1}{2}} k_0^2 - \left[\frac{k_0^2 \alpha_X - k_0^2}{E(z-2z_d)} \right]^{\frac{1}{2}} z_d^2 \right\} e^{j\frac{\pi}{4}} - \frac{1}{2} \quad \dots \dots (10).$$

$$E_y^{0,x} = \sqrt{2} \left\{ \frac{k_0^2 \alpha_X - k_0^2}{E(z-2z_d)} \right\}^{\frac{1}{2}} e^{-j\frac{\pi}{4}} (z - z_d)$$

$$\text{のよろに変換を行ふと (9) は } \frac{d^2 E_x^{0,x}}{dz^2} + \left(\lambda^{0,x} + \frac{1}{2} - \frac{U^{0,x}}{4} \right) E_x^{0,x} = 0 \quad \dots \dots (11)$$

この $U^{0,x}$ は z の増加と共に Fig. 2 のよろに変化する。

(11) の一般解は $D_\lambda(u)$, $D_\lambda(-u)$, $D_{\lambda-1}(ju)$, $D_{\lambda-1}(-ju)$ の中 Fig. 2 を参照して $D_\lambda(u)$, $D_{\lambda-1}(-ju)$ を採用する。

$$\left. \begin{aligned} E_x^{0,x} &= A^{0,x} D_{\lambda^{0,x}}(U^{0,x}) + B^{0,x} D_{\lambda^{0,x}-1}(-ju^{0,x}) \\ E_y^{0,x} &= \mp j E_x^{0,x}, \quad H_x^{0,x} = \frac{-j}{\omega \mu} \frac{d E_x^{0,x}}{dz}, \quad H_y^{0,x} = \frac{j}{\omega \mu} \frac{d E_x^{0,x}}{dz} \end{aligned} \right\} \quad \dots \dots (12).$$

戸中、戸外の界を Fig. 3 のよろとす。 $z = 0$, $z = 2z_d = \tau$.

$$E_x^l + E_x^r = E_x^l + E_x^r, \quad E_y^l + E_y^r = E_y^l + E_y^r, \quad H_z^l + H_z^r = H_z^l + H_z^r, \quad H_y^l + H_y^r = H_y^l + H_y^r. \quad (z=0) \quad \dots \dots (3)_a$$

$$E_x^l + E_x^r = E_x^t, \quad E_y^l + E_y^r = E_y^t, \quad H_z^l + H_z^r = H_z^t, \quad H_y^l + H_y^r = H_y^t. \quad (3)_b$$

(3) の連立方程式より、 $A^{0,x}$, $B^{0,x}$, E_x^l , E_y^l , H_z^t , E_y^t を求めることが出来る。之より、戸内の界分布(12)を計算することとする。次に $E_x^t = E_x^t e^{-jk_0 z} = (E_x^{t,0} + E_x^{t,x}) e^{-jk_0 z}$ である。

$$E_y^t = E_y^t e^{-jk_0 z} = (-j E_x^{t,0} + j E_x^{t,x}) e^{-jk_0 z} \quad \dots \dots (4).$$

より $E_x^{t,0} = \frac{E_x^l + E_x^r}{2}$, $E_x^{t,x} = \frac{E_x^l - j E_x^r}{2}$ が得られる。同様に、反射波は $E_x^{r,0} = \frac{E_x^l + j E_x^r}{2}$, $E_x^{r,x} = \frac{E_x^l - E_x^r}{2}$ が得られる。反射波、透過波の正常波、異常波成分の入射波に対する比をとる。

夫々の反射係数、透過係数を Fig. 5 に示す。

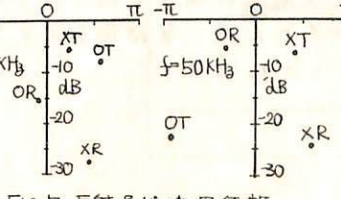


Fig. 5 反射率・透過率の分布

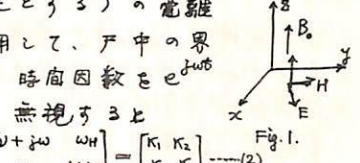


Fig. 1.

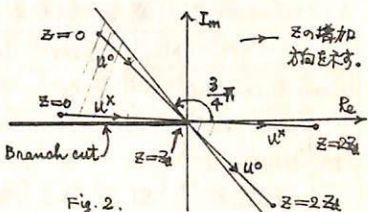


Fig. 2.

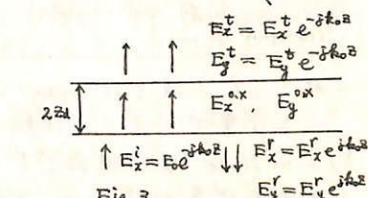


Fig. 3.

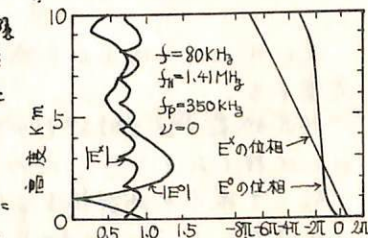


Fig. 4 Eの分布(基準E)

LF 帯電波 (Loran-C, 100 kHz) の伝搬特性 (I)

若井 登, 大内長七, 藤井周

電波研究折 平磯支所

日本近傍の Loran-C 送信局 (南西太平洋海域 SS-3 ケーン) の電波 (100 kHz, パルス) を用いての, LF 帯電波伝搬特性の研究を 1970 年 4 月より開始した [第 3 回 IAS Y シンポジウム, 1970]。

当初は, 硫黄島 (Master), 南鳥島 (W-slave), 北海道 (X-slave), 沖縄 (Y-slave) の 4 局のパルス振巾を同時に連続的に測定することから始め, 1970 年末より, 硫黄島 (M 局) の位相測定も付加して, 現在観測をつづけている。

1970 年春の当学会で行った連報に引きづり, 今回は主として次の 2 点について報告する。

1.

観測期間の前期における人工衛星による太陽 X 線の観測データ (Solar Geophys. Data) と, Loran-C 強度に現われた SID 効果 (SES & SDS) とを比較検討して, SID Detector としての感度, 電離機構等について報告する。

	1970 May	June	July	Aug.	Sept.
Loran-C amplitude	52	70	42	52	22
NWC-22.3 kHz	43	57	43	43	19
SPA	41	54	31	41	17
HAIKU-12.2 kHz	51	64	44	50	22
Combined	18	22*	18	21	11
Exp. 33 & 35 (2-12 Å) (peak/quiet > 4)					

左表に Loran-C (平磯) と VLF (犬吠) に観測された SID の数を示す。また Explorer 33 & 35 による outstanding X-ray flares (peak/quiet > 4) の数も示した。ただし U.T. 22 ~ 07^h の間で count してある。

これによると, Loran-C は, 従来最も sensitive とされていいる VLF SPA とほぼ同程度と考えられる。(1 波では Loran-C が優り, coverage では SPA が優る)

人工衛星データとの比較によると (Explorer 37 も加味して), Loran-C は peak/quiet が約 3 の flare まで検出できると思われる。X-ray flare との対応はほぼ 100% に近い。もし人工衛星の coverage を補うことができる。

2.

次に日出時に振巾が急減するいわゆる日出効果に着目して, D 領域電離の生成について考察する。

日出効果の起る時刻を 4 回線についてまとめとり, 通路中実に在る種々の高度の日出時刻と比較したところ, 次の事実が判った。① M 局と X 局はほぼ高さ 50 km における日出と一致して振巾急減が起る。② W 局は winter solstice, Y 局は summer solstice をはさんで, 約 10 分早く (70 ~ 80 km 日出に対応) 日出効果が起る。

このように特定の回線に早く起る現象は, 日出時の電離層の傾きにより説明できそうである。また全般的に LF 電波空間波に吸收を與えた D 領域電離の生成は, 太陽紫外線が, 地上 30 km の大気層の上をかすめた時, 有効輻射として參與し, 吸收層の生成が起ると考えられる (対象領域を 80 km とした時)。

放送波を利用した電離層ドップラー観測

筒井 毅・小川 徹
(京都大学 工学部)

筆者等は、今まで短波帯のドップラーフレーバー効果を利用して、電離層の研究を行なってきました。この方式では、短波の標準電波を利用するよりも、利用周波数の数が限られてしまい、又周波数及び距離の関係から、電離層のE及びF層の観測が主となり、F層下部における情報はあまり得られなかつた。又この方式では、受信側においても安定な標準発振器が必要であつた。一方放送波における振幅変調の遅れを利用して、電離層を観測する方式も開発されたが、その連続観測は、極めて困難であつた。そこで今回、安定な発振器も不要で、近くに放送局がある所ならば、どこでも観測ができる、利用周波数を適当に選ぶ事により、電離層の下部から上部までの任意の、しかも連続観測が可能なドップラーフレーバー観測装置を試作したので報告する。

オ1図は、観測の概要と装置のブロック図である。基本的には、地表波を基準にして、それに対する空間波のドップラーフレーバー変動を得ようとするものであるから、放送局の周波数安定度には関係なく観測が可能である。電源周波数の60Hzは、基準信号を-2Hzオフセットするため用いられる。このブロックでは、フリケンラーシンセサイザーを用いられるが、実用段階では、それが不要となるよう、別のブロックにつながる現在試作中である。

オ2図は、宇治におけるMFドップラーフレーバー観測の一例である。送信局は、宇治の南西約52kmにある朝日放送(JONR)、周波数1010kHz、出力20kW)であり、図はその放送開始(0422 JST)直後における日出効果の観測記録である。このデータから、日出時の反射点下降距離、及び最高下降速度は、見かけで⁽²⁾⁽³⁾天々約80km, 75m/secである。これらは他の方法で求めた値などとほぼ一致する。同図上半分には、空間波及び地表波のアンテナ誘起電力の相対的な強さを示してあるが、このようにアンテナの方向によつては、だらだら1対1の強さではなく改善できる。

今回試作した方式によると、送信局の選び方によれば、垂直入射に近い観測ができる場合がある。そういう場合は、現象の説明や解析に有利で極めて便利である。

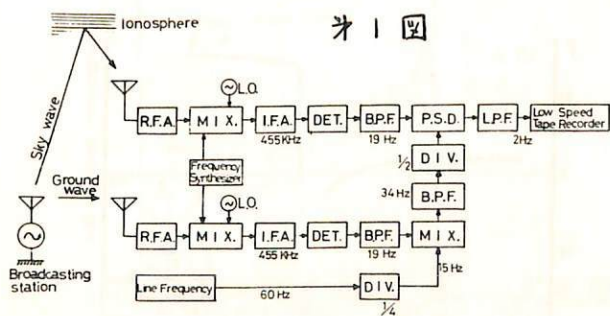
この装置で空間波をとらえるアンテナは、フェライトコアによるバーアンテナであるが、それはオ2図における時刻の十数時間前に設定した状態のままであった。この事から、この方式によるドップラーフレーバー連続観測は可能である事が明らかとなつた。

尚、当方式の試作に当たり助言を頂いた木村教授に感謝します。

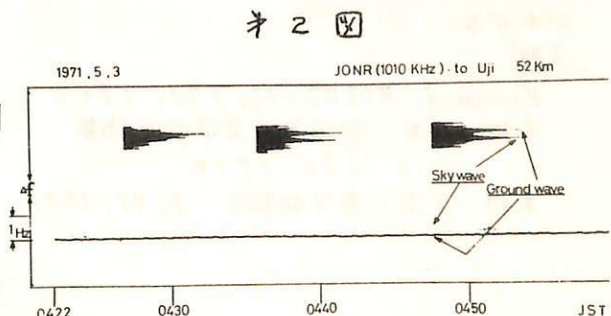
文献 (1) 例えば、筒井、小川 第46回電磁気学会講演予稿集

(2) 前田、木村「放送波を利用した空間の電離層観測法」信学会 伝播研究資料(1958年12月)

(3) 筒井、小川 第47回電磁気学会講演予稿集



オ1図



オ2図

VLF ドップラ法による NWC 信号ホイスラモードの入射角の観測

木村磐根、平石謙治、徳弘仁志、富本哲雄
京都大学工学部

1. 緒言 オーストラリアのVLF局NWC (22.3kHz) の信号をK-9M-29, 35の両ロケットで受信し、そのドップラシフトを測定したが、既報(木村、平石、1970, 1971)のように、ソナグラフを用いる解析法によれば、地球電離層間をwave guide modeで伝搬して下からロケットに達するモード(Aモードと名付ける)と送信点から直接ホイスラーモードで上からロケットに到達するモード(Bモードと名付ける)が明瞭に辨別されることが明らかとなった。この結果の内、“Aモード”からは電離層の電子密度が求められる(Kimura 1967)。“Bモード”からそのモードのwave normalの方向が求められる。本報告では後者について述べる。

2. Wave normal 方向の決定法 ロケットによって測定されるドップラシフト Δf は

$$\Delta f = \frac{f}{c} \mu (V_x \sin \rho \cos \beta + V_z \cos \rho) \quad (1)$$

で与えられる(Kimura 1967)。ここでロケットの軌道面をxz面内にとるとき、その飛翔速度のx, z成分を V_x, V_z , β は電波の入射方向を含む鉛直面とxz面とのなす角。 ρ は入射角である。屈折率 μ はアップルトンハートレー(A-H)の式によるが f_p, f_h, θ の関数である。一方このθは

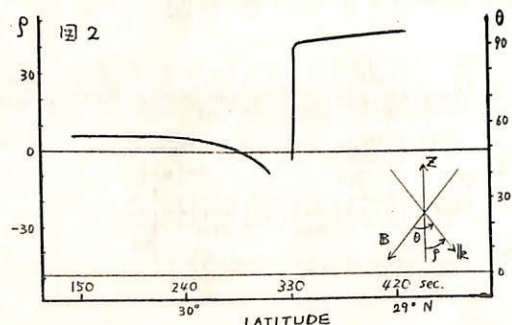
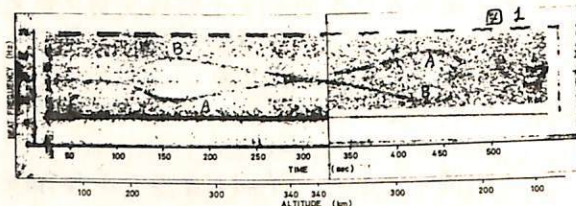
$$\cos \theta = \sin \rho \cos \delta \sin \psi + \cos \rho \cos \psi \quad (2)$$

により、 ρ, ψ (磁場のdip angleの余角)、 δ (wave normal を含む鉛直面と地磁気meridian planeとのなす角)と関係づけられている。前述の“Bモード”に対して(1)中 $\beta, \Delta f, f, c, V_x, V_z$ (2)中 $\delta = 0, \psi$ は既知であるから A-H 式を用いればこれらの式を同時に満足する入射角 ρ を求めることができる。

3. 実験結果 図1, 2, 3はK-9M-35(46.1.23 10:20JST)によって得られたドップラビート“A”と“B”を示すソナグラムおよび得られたBモードのwave normal方向を示す。K-9M-29(45.1.27. 19:20JST)による結果は他の報告(木村、平石 1971)に示してある。この両者をみると強い類似性があり、飛翔中大半の時間では“B”的 wave normalは垂直下方に向っており、最後のしばらくの時間(比較的低緯度)では wave normal が垂直下方よりかなり角に向いていくことがわかる。ray tracingにより調べた結果、この傾向は、定性的に説明できることがわかった。このことと、飛翔中“Bモード”的強度の変動が比較的小ないことから、NWC信号のホイスラモード伝搬にタクトがあまり寄与していないことがわかる。

文献

- Kimura, J. RISRT 21, 173, 1967
 木村、平石 49回電磁気学会予稿集
 136, 1970
 木村、平石 宇宙研報告 7, 95, 1971



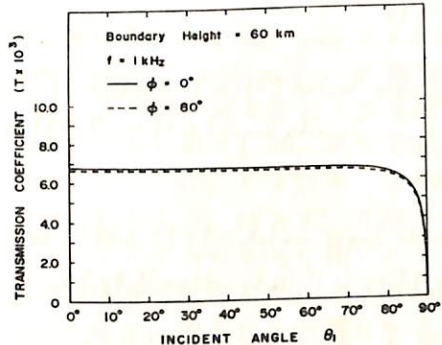
Whistler mode propagation in the collision
dominant lower ionosphere

荒木 喬・森 洋介
東北大理

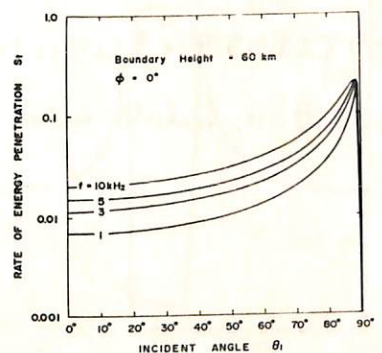
低緯度における whistler の観測から種々複雑な現象が多くの人によって報告され、これに対する解説もいくつ試みられているが、これまでの議論の多くは collision が無視できる範囲に限られていた。そこで、下部電離層、特に D 層の collision dominant plasma 中における whistler mode の伝播特性を調べるために、Maeda and Oya (1963), Budden(1965) の理論を拡張し、周波数が 1 kHz から 10 kHz の範囲で、理論計算を行なった。

電離層は horizontally stratified, anisotropic and absorptive medium として、先ず free space から電離層への入射を議論し、その波の電離における伝播を特に 60 km から 150 km に注目して計算した。

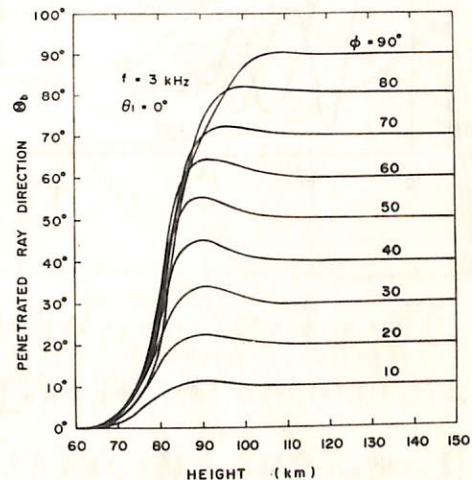
数値計算の結果、第一回に示す通り transmission coefficient T は magnetic dip angle 中には殆んど関係せず、入射角 80° 附近から急に小さくなっている。次に energy penetration の rate S_t と geometrical optics convergence factor α を導入して求めてみると、第二回に示す通り、入射角 89° 附近に peak が生じた、これは Maeda and Oya (1963) の結果と一致する (quasi Brewster angle)。第三回で示す通り、さらに特長的のこととしてわかつたことは、D 層下部の 60 km 附近では ray direction が入射角と無関係に垂直上向きであり、磁力線方向に沿わないということである。しかし高さが増すにつれて徐々に磁力線方向に曲げられ、 90 km 以上では ray direction は磁力線方向とほぼ一致することがわかつた。



第一回



第二回

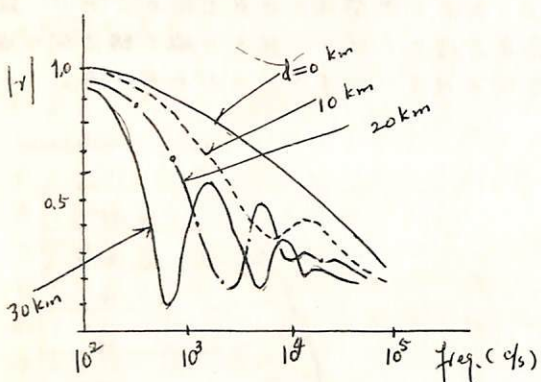


第三回

モデル電離層からのホイスト波反射係数

早川 正士, 大津一助
名古屋大学 空空研究所

今回報告は下部電離層(D, E層)の微細構造、VLF電波、特に下部電離層の反射に及ぼす影響を理論的計算したところ、下部電離層モデルと bilinear (double linear) model を用いた。このモデルは Barrington et al.(1963), Maeda(1969) が示した電子密度分布に現われる階段状構造 (step-wave structure) を理想化したもの。このモデルによれば垂直入射下部電離層の反射係数は零であるが、左側の図に示すように計算を行なった。左側と右側とでは、 $\beta_1 = 10^4$, $\beta_2 = 10^6 \text{ m}^{-4}$ の場合を示してある。 $d = 2$



β_1, β_2 は lower layer と upper layer の電子密度を示す。
 d は β_1 の厚さを表す。図より
現反射率 $|R| = 1$

- 1) Double layer Model ($d=0 \text{ km}$) の場合 $d=0 \text{ km}$ (single linear density layer) に比べ、反射率が減少する。
- 2) 又 Double layer model における反射率は周波数に対する振動する。

- 3) 他の β_1, β_2 の組合せに対する数値解をとる、振動成分は β_1, β_2 の組合せによって依存する。

上記 (1), (2), (3) は下部層における 電波干渉 (Wave interference effect) によるものである。
従つて例えば電離層が擾乱を受けた場合には、電離層の電子密度分布は著しく変化する
ことが期待される。 $n > 3$ 時、VLF, ELF 電波の反射強度が増加する、realistic model と
仮定しても、予測した結果を導く可能性がある。

VLF 波の電離層通過特性

鶴田 浩一郎
東大宇宙研

前回 VLF 波の電離層通過特性について述べましたが、前回の報告中 Brewster の角に関する部分は誤りがありましたので訂正させてもらいます。

誤りの内容は、簡単な Normalization 上のミスで、正しく Normalization を施しました。TM 波の透過係数の入射角変化曲線を、図 1 に示す電離密度分布につけて、図 2 に示してあります。図 2 から明らかのように、Brewster 角の存在を示すものは、S 及び 99 の曲線のみで、97 の曲線では Brewster の角は、はっきり出ません。従って、実際の電離層の場合には Brewster の角の存在は意味を持たないと考えられます。

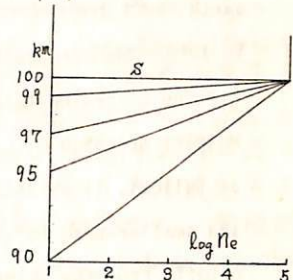


図 1

今回は計算結果が大部分揃って来たので次の項目について報告する予定です。

(1) Free Space から電離層への入射の場合

(a) Pitteway の結果との比較

計算方法のチェックの意味しかない。

(b) Daytime, Nighttime 電離層モデルにつけて、緯度変化、周波数変化

(2) 電離層から Free Space への入射の場合

(a) Daytime, Nighttime の電離層モデルにつけて、緯度変化、周波数変化。

図 3 に例として、夜間電離層モデルでの 3 kHz の反射率、透過率を示していますが、約 ± 8° の狭い入射角につけてのみ通過可能であり、それ以外の入射角については Evanescent となり、地上には伝播しない。また

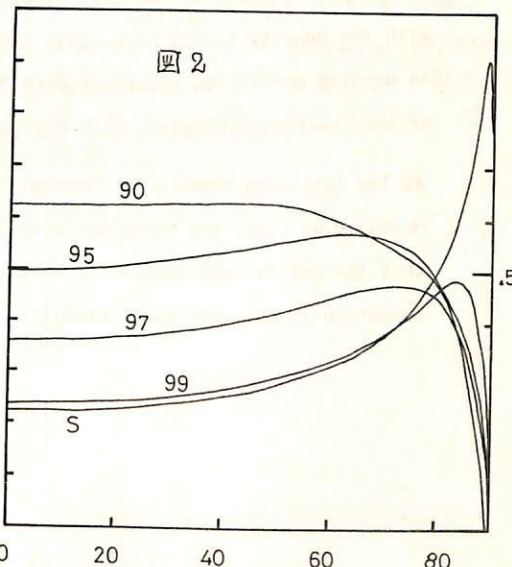
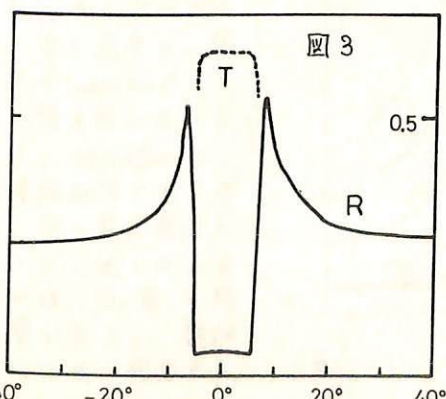


図 2

すべての角度にわたって collision による吸収が大きく、反射能率はあまり良くない。

(3) 水素イオニの効果

計算結果が間に合えば報告したい。



Solar cycle variation of exospheric electron density at low latitudes

早川正士, 大津仁助, 岩井章
名古屋大学 宇宙研究所

Electron density variations in the lower magnetosphere at a geocentric distance of ~ 1.48

earth radii are deduced from whistler dispersion data during one solar cycle from the year 1958 to 1968. The observation was made at Wakkanai Station till Nov.15, 1962 and then at Moshiri Station according to the IGY, IGC and IQSY program. The geomagnetic latitudes of Wakkanai and Moshiri are 35.3° N ($L=1.50$) and 34.0° N ($L=1.48$), respectively. The data used here are selected as follows, 1) whistlers of extreme dispersions are excluded, those values larger than $100 \sqrt{\text{sec}}$ and smaller than $20 \sqrt{\text{sec}}$. 2) we excluded whistlers with lower frequency cutoff known as tweek cutoff. From the solar cycle variation of whistler dispersion, it is found that the diminution in electron density in the mean exosphere is about 35% during low solar activity (1965) compared with the density during high solar activity. On the other hand, the F_2 shows the 75% reduction in density during low solar activity. So the less sensitivity to the long-term solar variation of the lower magnetosphere than the ionosphere is found. Also the annual variation of dispersion at low latitudes shows a semi-annual change, quite different from the results at high latitudes. Moreover, we study the solar cycle variation of occurrence rate, which leads to the conclusion that the collisional absorption is the dominant factor in whistler propagation, and the duct formation is only necessary condition for whistler reception on the ground.

Determination of Electron Density
by the Capacitance Probe.

江尻 金機, 渡辺 勇三
東京大学宇宙航空研究所

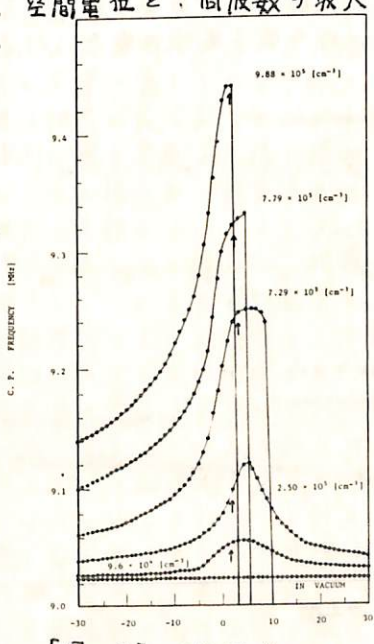
電離層プラズマの電子密度を測定する為、現在迄、種々の飛翔体搭載用プローブ法が開発されて来た。中でも、電子密度を高域ハイブリッド周波数(f_{UHR})により求めたGyro-plasma Probeは、測定誤差士1%の精度に達してゐる。ここで述べるCapacitance Probeは、同じく電子密度(N_e)の変化を、周波数の変動分として検出する事により、低電子密度($\sim 10^2/cm^3$)を測定し得るプローブ法とし、電離層下部、及び磁気圏プラズマの測定に適してゐる。原理は；プラズマ中に置かれた二枚の金属平板を tank 回路の両端に結び、Hartley型発振回路を構成、発振周波数を f_{UHR} 及び f_{coll} により高く設定する事により、金属平板は容量性を示す。電子密度(N_e)の変化でその容量が変化し、発振周波数が変わる。この発振周波数の変動分 Δf は、上記条件の基で、 $\ln \Delta f = \ln N_e + \text{constant}$ の関係に有り、 Δf を測定する事により、 N_e を求める事が出来る。

I. 電子密度に対する発振周波数の変化を図-1に示す。 Δf は N_e の増大と共に増してゐるが、ある N_e より急激に発振が止まつてゐる。これは、 $f < f_p$ で "plasma" inductive となり、probe conductance が大きくなる為、発振条件を満足しまくれる為である。即ち、tank回路の抵抗分が電子密度増大により小さくなり、Q値が低下した事に相当する。磁場による変化の実験結果を含めて、理論的記述は学会で行なう。

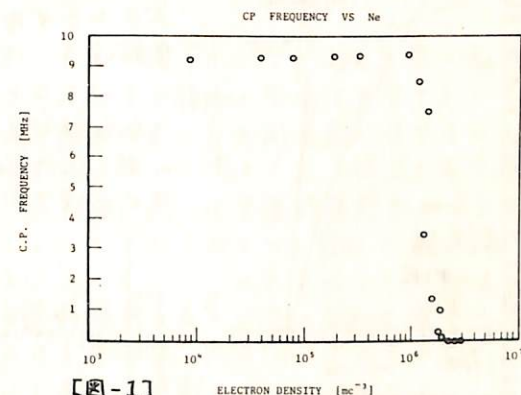
II. DC bias 電位による発振周波数の変化を、図-2に示す。これは、Sheathの変化を表してゐる。真空中では変化はなく、低電子密度では、ion-sheath 及び ele-sheath 領域共に、周波数は下つてゐる。しかし、空間電位と、周波数の最大比は一致してゐる。

電子密度が大きくなると、小さくなると、前述の如く、ある bias 電位以上で発振は急激に止まる。

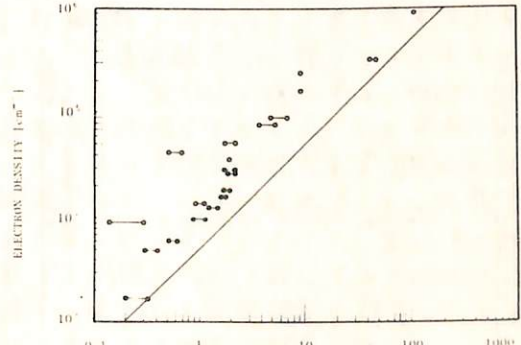
III. 最後に、Capacitance Probe法で求めた電子密度と、従来のLangmuir法との比較を図-3に示す。Solidlineが、理論曲線であるが、常に電子密度を小さく示してゐるのは、Sheathの影響である。詳細は学会で報告する。



[図-2] PROBE BIAS [V]



[図-1] CP FREQUENCY VS. N_e



[図-3] Δf : FREQUENCY DEVIATION [kHz]

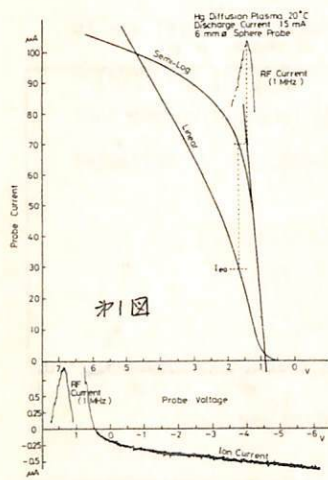
無衝突プラズマ中のプローブ測定における
プラズマ密度の決定法(Ⅲ)

土手 敏彦 (理化学研究所)

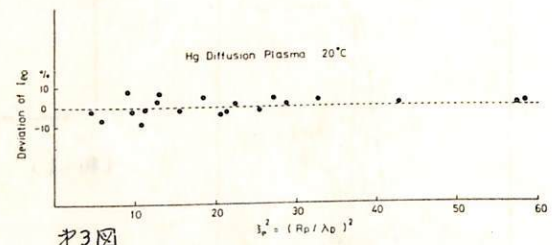
さきに Lam のモデルを改善した無衝突プラズマ中のプローブ理論において二三の発展を行なった。こゝではこの理論の実験的検証がより広い条件において行なわれるので報告する。オ1図は水銀拡散プラズマにおけるプローブ特性の一例である。トロン電流の特性から上記理論による方法を適用してトロン密度を算出し、それを用いてプローブの電子電流 I_{eo} の値を逆算して電子電流のセミロジックの外挿特性上にプロットし、その差と RF プローブ測定法を用いて得られる空間電位 V_s の差とを比較するのである。オ2図に向者の I_{eo} のずれがプローブ電圧の函数として示された。それは最大 10% をこえないことがわかる。これはトロンの電流電圧特性が理論に従うことを物語っている。これらの実験をプローブの半径 R_p 、放電電流 I_b (プラズマ密度) を種々に変えて行なった。オ3図は I_{eo} のずれを $\eta_{ps}^2 = (R_p/\lambda_D)^2$ (λ_D : Debye 長) に対して整理してプロットしたのである。又、一般的に V_s のずれは I_{eo} のずれよりも小さい。プローブの示すフローティングボテンシャルは、理論によると $\eta_{ps} = \{j\beta_e^2/(1+\beta)^{1/2}\}^{1/2} F(j/m_e)$, $j\beta_e^2/(1+\beta)^{1/2} = 2(M_e/m_e)^{1/2} e^{-\eta_{ps}/kT_p}$ で与えられる。一方 Langmuir の旧理論によるフローティングボテンシャルは $\eta_{ps} = \frac{1}{2} \{1 + \ln(M_t/2\pi m_e)\}$ で与えられる。オ4図は、これらの理論値が、XY レコーダーの感度を変えてプロットされた二つのプローブ特性の交差から得られるフローティングボテンシャルの測定値と共に η_{ps} の函数として示されている。

実験値は、ばらつきは大きいが本理論結果と比較的よく一致していることがわかる。これら多くの結果によって本理論の妥当性が実験的に十分に確かめられたといつてができる。オ1図の I_{eo} の比較からプラズマ密度を簡単に求め得る方法が示唆される。即ち電子電流の電圧に対するセミロジックプロット特性の外挿線と空間電位に相当する電流値を I_{eo} に等しいとすることができる。なおその差と実際のプローブ特性との差

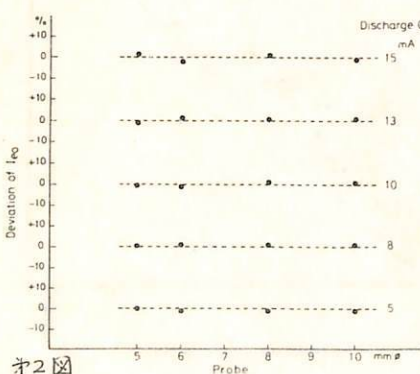
はプローブの擾乱の程度を示すものでこれについては別の機会に報告する。



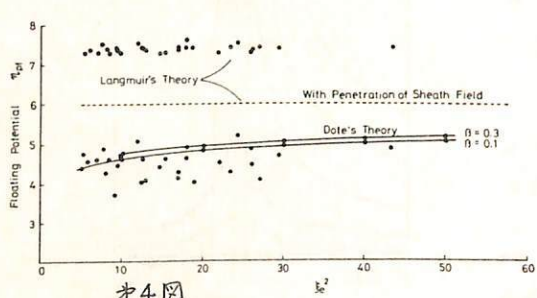
オ1図



オ3図



オ2図



(1) 土手: 日本物理学会分科会 IIANS (1969) (2) 土手: 日本物理学会年会 27 pF7 (1970) (3) 土手: 対宇宙研報告 1, 889 (1970)

プローブインピーダンスのシース共鳴について

麻生武彦
京都大学工学部 電離層研究施設

序

シャイロプラズマプローブなどのインピーダンスプローブでプラズマ中に浸された金属センサー（プローブ）の自己アドミタンスを測定するとアツバーハイブリッド共鳴及びモディファイドプラズマ共鳴、周波数で反共振を、又所謂シース（sheath）共鳴周波数で直列共振を呈するのが観測される。これらのうち前二者はすでに詳しく述べられ（Oya & Obayashi, 1967; Oya, 1968）この共鳴周波数から電子密度の精密測定が行なわれている。一方シース共鳴は、荷電粒子の熱運動によりプローブの周囲に形成されるイオンシースのインピーダンスが重要な役割を果たすことからその名があるが、これらについてはこれまで種々解析がなされており（たとえば Oya, 1965; Kostelnicek, 1968; Despain, 1965; Balmain, 1969）その定性的なプロセスは明らかにされたが、定量的な検討は余り行なわれていない。こゝでは Balmain により示唆された、より近似度の高いシースモデルを円筒プローブに適用して得られた解析結果について述べる。

シースの構造 プローブが周囲のプラズマの空間電位に対する負の浮動電位-V₀にある時のプローブ近傍の電子密度分布をしらべる。考へている周波数領域ではイオンの寄与は無視できることとして一様な分布を仮定し電子はボテンシャル-V₀のところで $N \exp(-eV_0/kT_e)$ (N は周囲の電子密度) に従うとしてボアソンの式を数値的に解くことにより円筒プローブのまわりのボテンシャル分布と電子密度分布を求める。

シースモデル 最も簡単なシースモデルはプローブと一緒にプラズマの間の真空のギャップとしてシースを考える階段モデルであり、シース共鳴はその領域の容量性リアクタンスがプラズマのレクタリックタンスと相殺し高周波電場の積分が零になる周波数で生じるとして説明されている。（Harp, 1963）こゝでその厚さをデバイ長の5倍とし、一様プラズマ領域に対しては Balmain の式を用いてシース共鳴周波数 f_{SHR} に対して定量的検討を加えると算出される電子温度が実際の値よりかなり低く、このようなモデルでは、 f_{SHR} の観測値からの電子密度の導出は誤差が大きくなることがわかる。そこでシースのモデルとしてシースとまわりのプラズマの間に電子密度の一様に増加する遷移領域を考え、それまでの領域の厚さを上で得られたシースの構造から適宜定めたモデルを採用し、円筒プローブのインピーダンスの周波数スペクトルを種々のパラメータについて求め又観測データと比較する。

計算結果 インピーダンスの計算は、円筒のまわりの領域を無限小の厚さの同軸環状領域にわけ、夫々のインピーダンスの総和とする。即ち個々の領域はその電子密度に応じた magneto-ionic な誘電率をもつて媒質として考える。その結果(1)一様プラズマ中のサインクロトロン共鳴はシースインピーダンスにより消えシース共鳴が現出する。(2)シース共鳴は共鳴が鈍く抵抗分の存在を示すがこれは遷移領域に起因するもので、その勾配が緩くなるほど共鳴の Q が低下することが示される。この事は平行平板に対する Balmain の同種の議論と一致するがその物理的なイメージは明確でない。(3) 観測データと比較すると、同一のプラズマパラメータに対して計算されたインピーダンススペクトルはその絶対値と同時に、問題となっているシース共鳴周波数も実測値によく一致しておりこのモデルの妥当性が示される。又このモデルを用いて、種々の電子シャイロ周波数に対するシース共鳴周波数とプラズマ周波数の関係を電子温度をパラメータとして計算した。

プラズマカップリングプローブの実験

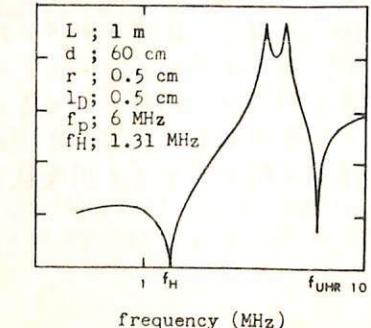
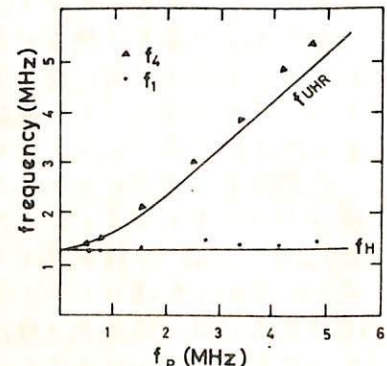
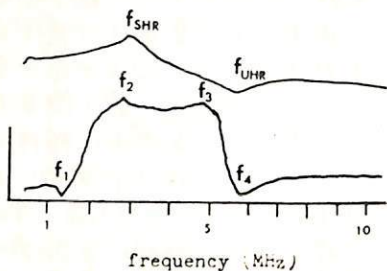
麻生武彦 横尾進義 大家 賢
京都大学工学部 電離層研究施設

序 プラズマカップリングプローブは、プラズマ中に伺いあつておかれたり一対のプローブ間の伝達特性を測定することによりセルフインピーダンスプローブで測定されるプローブ近傍の局所的な性質とともにアンテナにはさまれた一様プラズマの分散特性を明らかにしスプローブによる静電波の放射を調べることを目的として提唱された。(大家・麻生, 1968) このプローブシステムは、一方のプローブと $1 \sim 10\text{MHz}$ の周波数範囲で定電圧を駆動し、磁化プラズマ中に生じた近接電界をもう一方のプローブにドリップ高インピーダンスビックアップしその周波数スペクトルを得るものである。東大宇宙研のスペースチエンバーにて実験の結果下記のことことが明らかになつた。

- (1) 高部ハイドリッド共鳴およびシース共鳴が、ジャイロプラズマプローブにより測定されたセルフインピーダンスでの共鳴に対応してあらわれた。
- (2) 電子シサイロ共鳴があらわれた。これはセルフインピーダンス測定ではプローブのまわりに形成されるイオンシースのインピーダンスにより消えていたものである。
- (3) プローブプラズマ系全体の直列共振と考えられた半2のシース共鳴があらわれた。
- (4) スペクトルは強んじて冷たい"プラズマ中の近接場成分"で定まり、有限温度プラズマ中の近くの静電波成分寄手は無視しうるほど小さい。

実験 測定は2束の円筒プローブをチエバーラー管軸に平行に設置し、ヘルムホルツコイルにより軸方向に直流磁場を印加して行なった。図1にその代表的なスペクトルをジャイロプラズマプローブのデータと比較して示す。共鳴周波数 f_1 と f_4 を同定するため電子密度及び印加磁場を変化させてこれらの振舞をしゃべると、たとえば前者に対する図2の結果を得た。従つて f_1 はジャイロ共鳴に、又 f_4 は f_{UHR} に対応することがわかった。 $f > 23\text{MHz}$ 以上の f_4 と f_{UHR} の理論値とのズレは管内の電子密度非一様性によるところであつた。一方磁場の変化に対するモードが確認され、又 f_2 はジャイロプラズマプローブの f_{SHR} にはほぼ対応していることが証明された。次に二束のアンテナ間隔を変化させて波長、短い継波成分の寄手をしゃべたが、レベルの変化以外にはスペクトルには本質的な差異はみられず、静電場が卓越してパターンを定めることがわかつた。

計算 実験結果から基本的なスペクトルは冷たいプラズマの理論が十分であることを考慮し、プローブシステムを等価回路表不してパターンを計算した。ここでイオンシースは階段モデルを用、厚さを $4 \times$ デバイ長とした。種々のパラメータによる計算の結果、ジャイロ共鳴、セルフインピーダンスのシース共鳴、全系の直列共振、及びプラズマ媒質の反共振があつて高部ハイドリッド共鳴があらわれ、実験結果を十分説明することができた。



電離層測定用直読式プラズマ密度温度計の開発

河島信樹, 矢守章 (東大宇宙研)

本実験の目的は、電離層の密度 温度
測定においてデータ処理を簡便にするつ

ラズマ密度 温度計を開発することである。

これは、人工衛星の様に大量のデータが出て
来る実験においては本質的に重要なと考
えられる。今、floating double probe
特性を $I = f(V)$ とし、これに小さな交流電圧
 $V \sin \omega t$ を重畳してその三次高調波の振幅
をみつけると $I = f(V + V \sin \omega t)$ なり

$$I_{3\omega} = - \left(\frac{V^3}{24} f^{(3)}(V) + \frac{V^5}{3840} f^{(5)}(V) + \dots \right) \sin 3\omega t$$

とより理想的なダブルプローブの特性である

$$I = I_0 \tanh \left(\frac{eV}{2kT_e} \right) \quad I_0: \text{イオン飽和電流}$$

$$I_0 = \frac{enA_0}{2} \sqrt{\frac{kT_e}{M}} \quad \text{但し, } e: \text{電子の電荷}$$

n : プラズマ密度

A_0 : プローブ面積

M : イオン質量

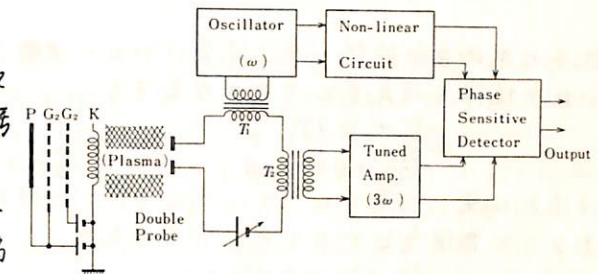
kT_e : 電子温度

を入れると、この特性から分る様に $V = V^*$

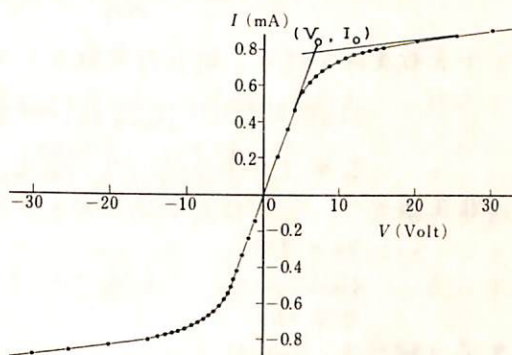
$1.30 \frac{kT_e}{e}$ の所で三次高調波の位相が反転する。

これから電子温度が求められる。また V^* の所での
直流電流 $I^* = f(V^*) = 0.58I_0$ よりイオン飽和電
流 I_0 が分る。今、 ω の周波数の交流を直流に重
畳すと、 3ω 成分の電流の位相を検出して位相
が 180° 変化する V^* の奥に直流電圧を自動的に
固定すれば、その時の電流電圧 I^* 及び V^* より密
度、温度が測定できる。この実験では、Takayama
et al (1963) が開発した Back-diffusion Type
のプラズマ源で作られた $n \approx 10^10 / \text{cm}^3$ 電子温度

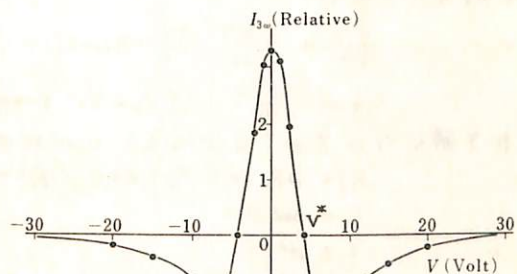
$3eV$ のプラズマが用いられた。プローブは 2 cm の正方形の平面プローブを用いた。オーネームには回路の
Block-Diagramを示した。オーネーム(a)は Double probe の V - I 特性を示し、それに対する三次高調波
の signal をオーネーム(b)に示した。用いた周波数は 2.5 kHz 振幅は $1.5 \text{ V}_{\text{rms}}$ である。三次高調波は
 $V = V^*$ の振幅が 0.1 となり、位相が反転する。上のデータに基づいて (V^*, I^*) に自動的に電圧を固定する実験
も行われた。ユーティリティの充電回路を位相検波の出力で制御する二つに分かれ、Double probe
における電圧を V^* に自動的に固定する二つに分かれ。



オ一図



オニ図 (a)



オニ図 (b)

流れのある弱電離プラズマ中のプローブ特性

平尾邦雄 田中高史
東京大学宇宙航空研究所

粒子の平均自由航路が短い場合はプローブ電流は拡散によって補集される。流れを考慮にいれて拡散を考えると次式が成立する。

$$\frac{Dn}{Dt} + D\nabla^2 n = 0 \quad T' = D\nabla n + n V_n \quad \frac{\partial n}{\partial t} + \operatorname{div} T' = 0$$

これは流れに乗った系でのフラックスで、 T' は静止系でのフラックスであるが、 $\operatorname{div} V_n = 0$ であることを使うとどちらも次式を与える

$$(V_n \cdot \nabla) n + D\nabla^2 n = 0$$

また電流は

$$I = e \int_{r=r_p} T'_r ds = e \int_{r=r_p} T_r ds = eD \int_{r=r_p} r n ds = 2\pi eD \int_0^\pi \left(\frac{\partial n}{\partial r} \right)_{r=r_p} \sin \theta d\theta$$

ここで複数変換を行い、新たな変数として $r = \frac{r}{r_p}$, $n = \frac{n}{n_0}$ を用いれば、

$$\frac{1}{r^2} \frac{\partial}{\partial r} (r^2 \frac{\partial n}{\partial r}) + \frac{1}{r^3} \sin \theta \frac{\partial}{\partial \theta} (\sin \theta \frac{\partial n}{\partial \theta}) + \frac{r_p}{D} (V_r \frac{\partial n}{\partial r} + V_\theta \frac{\partial n}{\partial \theta}) = 0, \quad \frac{\partial}{\partial \phi} = 0$$

$$I = I_0 \frac{4}{3} \frac{l}{r_p} \left(\frac{1}{2} \int_0^\pi \left(\frac{\partial n}{\partial r} \right)_{r=1} \sin \theta d\theta \right)$$

流れは非圧縮かつ、うずなしであるからポテンシャル函数によって表現できて

$$V_n = \nabla \phi$$

$$\operatorname{div} V_n = 0 \quad (V_r = 0 \quad r = r_p)$$

$$\nabla^2 \phi = 0$$

これを満す解はよく知られていて、

$$V_r = -\cos \theta (1 - \frac{1}{r^3}) \quad V_\theta = \sin \theta (1 + \frac{1}{2r^3})$$

すると解くべき式は、

$$\frac{\partial^2 n}{\partial r^2} + \frac{1}{r^2} \frac{\partial^2 n}{\partial \theta^2} + \left(\frac{2}{r} + A \cos \theta (1 - \frac{1}{r^3}) \right) \frac{\partial n}{\partial r} + \left(\frac{1}{r^2 \tan \theta} - A \frac{\sin \theta}{r} (1 + \frac{1}{2r^3}) \right) \frac{\partial n}{\partial \theta} = 0$$

$$A = \frac{3r_p V_0}{l \bar{v}} \quad (V_n = V_0 \quad r \rightarrow \infty) \quad n(1) = 0 \quad n(\infty) = 1$$

これを解くのに Relaxation method を用ひればよい。

$$BI = DR^{**2} / DT^{**2} / R^{**2}$$

$$C = \cos \theta$$

$$S = \sin \theta$$

$$PR = (2.0 / R + A * C * (1.0 - 1.0 / R^{**3})) * (D(I+1, J) - D(I-1, J)) / 2.0 / DR$$

$$PT = (C / S / R^{**2} - A * S / R * (1.0 + 0.5 / R^{**3})) * (D(I, J+1) - D(I, J-1)) / 2.0 / DT$$

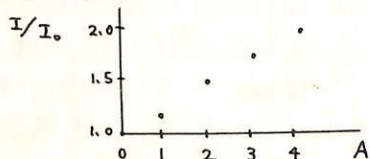
$$Q = (D(I+1, J) + D(I-1, J) - 2.0 * D(I, J) + BI * (D(I, J+1) + D(I, J-1) - 2.0 * D(I, J)) + DR^{**2} * (PR + PT))$$

$$D(I, J) = D(I, J) + (1.0 + Z) * Q / (2.0 + 2.0 * BI)$$

ここで Z は over Relaxation constant である。

計算の結果次の式が得られた。

$$I = I_0 \left(\frac{4}{3} \frac{l}{r_p} + 0.89 \frac{V_0}{\bar{v}} \right)$$



プラスマプローブによる電子音波の輻射

麻生武彦

京都大学工学部電磁場研究施設

序 電離層探測用の高周波インピーダンスプローブに於いては電気的に短いセンサーにより、通常の電磁波とともにある周波数領域では強いプローブ波が輻射されこれが magnetoionic 球理論によつて「冷たい」分散性媒質としてのプラスマの reaction に重畠し、プローブハイインピーダンスの抵抗値に寄与する事が知られている。(White, 1963 年) この問題の厳密解は困難であるが等方プローブでイオンシースを考慮しないといつては伝統的手法に dynamic 手法 (Chen, 1964; Hart 1964a, b; Fejer, 1964; Balmain, 1965 年) 或いはさうに進んで kinetic theory による (Kuehl, 1966, 1967; Schiff, 1970; Buckley, 1965 年) 解析が行なわれてゐる。これらは主に静電波の輻射による抵抗値を求めてゐるが、ここでは特にインピーダンスの共鳴の Q-value に注目し、Fejer 及び Balmain の手法に沿って検討を加え Q 値に対する解析的な表式を得、温度との関連をしらべると共にロケット実験 (Oya & Ohya, 1967) の実験結果の説明を試みる。

球プローブ Fejer は 2, 3 の球プローブからなるダイボルアンテナについて解析してプローブ周波数に於て電子音波が強く放射されることが見出された。この場合、2 球の相互インピーダンス効果を無視しなければ $\omega = \omega_p$ (ω_p : プラズマ周波数) のインピーダンス値は輻射抵抗値により有限となることが予測される。輻射は周波数とともに、デバイ波数即ち電子温度に依存するのでプローブ密度が既知の場合共鳴の鏡子は温度の measure となることが期待される。共鳴周波数近傍でのインピーダンスの位相変化は共鳴の鏡子を表わすが、Fejer の式を用いてその様子をしらべると図 1 のようになる。すなはちパラメーター $\delta = 10$ から $\delta = 1$ まで、温度の増加に従って Q の低下とともに輻射が増大して球半径 = $3\lambda_0$ (3 波長) の時最大となり、温度がそれ以上高くなると再び位相変化が遅くなることなどがわかる。

円筒プローブに対する共鳴 Q 値の評価 短い円筒プローブに対する有効温度プローブ中のダイボルインピーダンスは、 $|BL| \gg |BP|$ の近似のもとに次式で表わされる。
 $Z = \frac{1}{2} j_{1,0} K_0 [L \ln \frac{L}{\lambda_0} - 1 + (1 - K_0) \frac{1}{2} L J_0(BP) N_0(CP) + \frac{1}{2} J_0^2(BP)]$

(L: 長さ; P: 半径, $K_0 = 1 - X^{-1}$, $X = \omega^2 (U - X)/V_{th}^2$)
 この式を無視して $\omega = \omega_p$ とおくと近似条件がやぶれ上式は発散する。もとの式について計算を行なうと $\omega = \omega_p$ の規格化されたインピーダンス値 $|Z(\omega_p)/Z_v(\omega_p)|$ は最終的に

$$|Z_m/Z_v|_{\omega=\omega_p} = |1 - \frac{1}{2} (\frac{1}{3} L^2 + \frac{1}{2} P^2 + P^2 \ln \frac{L}{\lambda_0}) / (L \ln \frac{L}{\lambda_0} - 1) \delta \lambda_0^2|^{\frac{1}{2}} \propto (L/\lambda_0)^2 \quad (L/\lambda_0 \gg 1)$$

となり温度の増加により $\omega = \omega_p$ の絶対値が大きくなることわかる。

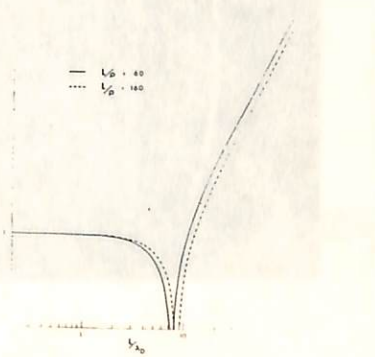
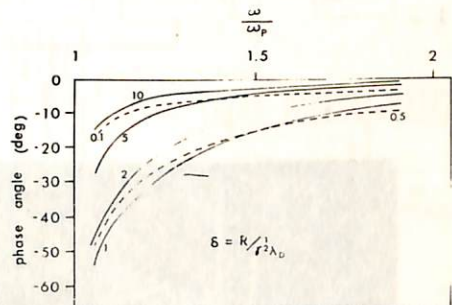
図 2 の計算結果から球プローブと同様議論

がなされることが示される。又通常の Q 値の定義に対して

の評価式は

$$Q = \left\{ 12 \left(1 - \frac{1}{\pi} \right) \delta \frac{1}{2} \lambda_0 \left[\left(\frac{\lambda_0}{L} \right)^2 + \left(\ln \frac{L}{\lambda_0} - 1 \right) - \frac{1}{8} \right] \right\}^{-2} \propto (L/\lambda_0)^2 \quad (L/\lambda_0 \gg 1)$$

となる。従って $|Z_m/Z_v|_{\omega=\omega_p}$ と Q と $L/\lambda_0 \gg 1$ (電離層プローブで通常成り立つ) 条件のもとで $(\frac{L}{\lambda_0})^2$ に比例するといふわかる。上式を用いて実験結果と比較する。



ミニQ型質量分析計 - II

山田弘善 佐川和一 伊藤富造 竜野信義
東大宇宙航空研究所 電波研究所

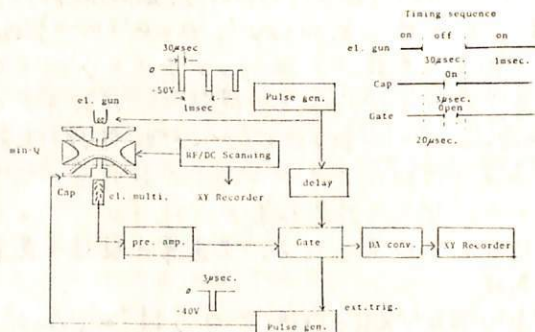
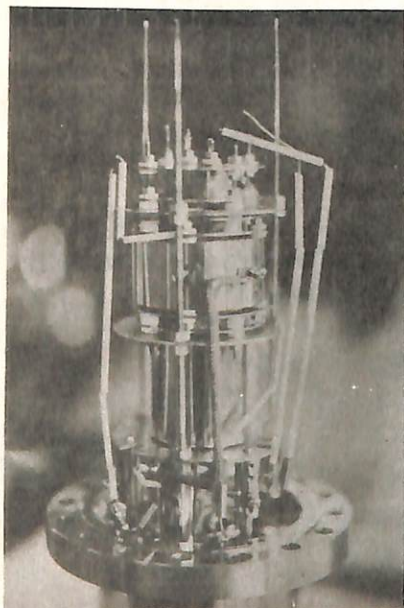
中性大気組成観測を目的としてミニQ型質量分析計を開発して至た。前回(第4回)はミニQの動作試験を兼ね、直流電圧を重畠しないで掃引し、スベクトラムを得た。しかし測定系が非常に簡単でより感度も高め、分解能の調整がさすゞ不利な点があった。

今回はDawson等の方法(Rev. Sci. Instr. 45 1444 (1964))に従いパルス処理を行った。これは電子銃をパルス変調し電子の休止期間の内一定の遅延時間後にゲートを開いて、蓄えられたイオンを引き下す可とあるものである。又電極上には直流電圧を重畠するU/Vにより分解能を変えたことができる。イオンの蓄積時間は任意に選べる長所がある反面回路系の複雑さがともなつた。しかしCapパルスの遅延時間は適当な値にとるとS/Nが良く、スベクトラムが得られるので荷電計数方式を採用すれば超高真空領域での動作も期待されたためそ次元への開発も考えている。

電極の一部はステンレス網でできかれていたが透過率がより電子銃付近は簡素化された。近づけ接続用の電極も網を用いて作成予定である。活性気体の測定には電極表面での再結合等を極力防ぐべきなければならない具体的化を考えている。

今回用いた電極は $R_0 = 1.2 \text{ cm}$ 高周波電圧 $f = 650 \text{ kHz}$ パルス繰り返し $f = 2 \text{ kHz}$ 質量数は44位子で掃引した。真密度は $1 \times 10^{-7} \text{ Torr} (\text{N}_2 \text{ rich})^{-2}$ 背圧はイオンポンプにより 10^{-9} Torr 程度を保つた。

下に内径10cmのフランジにとりつけた本体の写真及びパルス系の時間関係を示す。



電離層観測衛星搭載用イオニ販量測定器

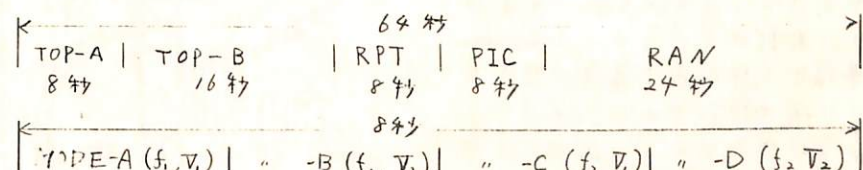
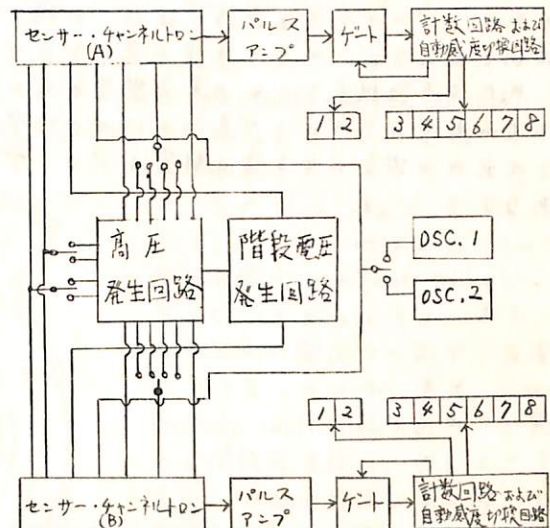
森野信義 水津式
(鹿波研) (〃)

我が国に於ける实用人工衛星方1号として、鹿波研に於ける、電離層観測衛星計画で、その後宇宙開発事業団にその製作が引きつづられて進められて来た。最近このエンジニアリングモデルが完成し、そのうち、イオニ販量分析器について、鹿波研に設置された。校正装置を除く。その性能の確認とプロトタイプの設計資料を得るための実験がおこなわれた。この実験の結果につれて主として紹介する。

電離層観測衛星は、円筒型の形状で、11kg中3kgはスタンダードスピニモードで約1000kmの軌道に70°の傾斜角で投入される予定である。イオニ販量測定器は29スピニ軸上衛星の両側に各1個搭載され、センサーは、5-3サイクル3ステージのベネット型販量分析器が用いられる。(方1図)

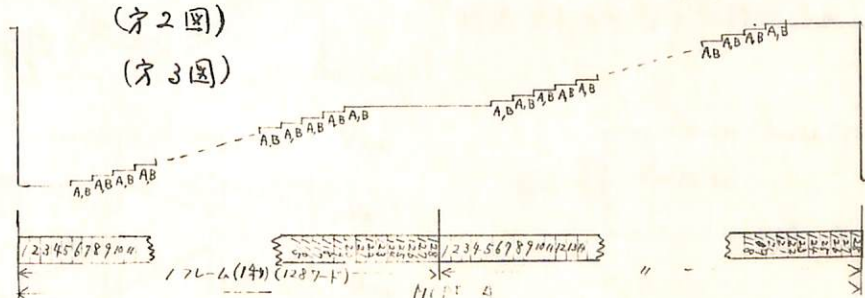
方1図に示す。測定は方2図に示すように1回2秒の測定を4種のモードにつけて下に示す。他の測定と組合せて64秒毎に8秒走りかえ可。テレメーターは1フレーム1秒、128ワードのPCMでイオニ加速度電圧は27-1度毎の階級波を用い、1ワード毎にA、B、2ケのセンサーを印加して測定する。その様子を方3図に示す。階級波の休止(27-1度では、フレームシングルフレームナニー、ハラスキー・ビニ・ゲーティ、姿勢データ、等が送られる。測定ワードは1フレームあり116ワードである。イオニ加速度は4チャンネルトロニハルス計数不正確度が用いられ、1ワード8ビット中2ビットをデータ表示、6ビットを後段表示とて階級表示と自動感度印換により、コマニドによる感度、分解能制御と合わせて、イオニ密度 $10^{-1} \sim 10^4$ /cc のダイナミックレンジが有効に測定できることが実験によつて明らかにされ得る。

この衛星はデータコーダーとデータレーティマーに付り、任意の軌道アングルデータを取得出す。



(方2図)

(方3図)



Mass-spectrometry of contamination Substance of Probe Surface

平尾 邦雄 小山 孝一郎 三留重夫
東京大学 宇宙航空研究所

以前にランゲミュア プローブの特性曲線が、プローブ表面の汚せんによつて、非常に影響をうけ、充分な注意を拂わなければ電子密度や電子温度を測定することができないことを指摘し、この様な影響により今迄の電子温度のロケット観測が悪い結果を示してゐることを報告した。

今回はプローブ汚せんの特質が何であるかをしらべるために、プローブ表面をイオンで衝撃し、その際立ちガスの分析を行つた。測定されたガスの種類は質量数でいえば、
2, 18, 28, 32, 36, 44 がその大部分をしめる。

このうち2 (H_2) , は真空油の分解物と考えられ、44 (CO_2) も他分同じ由来をもつものと思われる。又36 (C_3 or HCl) は真空槽の清掃に使用されるトリクロールエチレンの分解物と考えられる。28 (N_2) および32 (O_2) は空気の由来であるものであり、プローブマススペクトラムには N_2 が増大するが、一般に N_2 と O_2 の割合は大気組成と略同じである。のニリの18 (H_2O) はプローブの表面からの脱ガスと考えられる。

H_2O は不純性分子のため真空装置でも二水素よりの多くことはきゆめて困難であることがしらかれておりプローブ表面の汚せん特質としては最も可能性のあるものである。

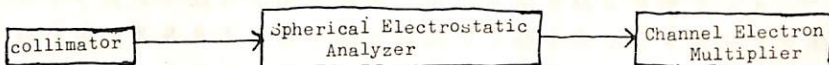
この水の一内壁二分子層の影響はプローブ曲線のヒステレシス現象を説明するのに充分である。

搭載用低エネルギー電子スペクトロメータ

向井利典 松村正三 平尾邦雄
(東京大学宇宙航空研究所)

電離層中の非熱的電子のエネルギー分布かよびfluxの測定はその重要性にもかかわらず、往々あまり行われてない。これは主としてその被測定電子のエネルギーが低い事に起因している技術的问题による。筆者らはこの点に因して基礎的な検討を行なう。このたびk-9M-36号機で、その観測を行なう予定である。今回は、搭載エレコスペクトロメータにて行なった計算と、prototypeによる実験の結果について報告する。

測定エネルギーは30 eV以下を対象とし、そのエネルギー分解能は約0.5 eV(実験室ではもっと分解能を上げ得るが、今回のロケット実験は最初なので、とにかく測定する事を目的とした)である。スペクトロメータ・センサー部の概略はFig. 1に示すよう



がら構成されていて、high μ -metal (not shown) で磁気遮蔽されている。このスペクトロメータの特徴は、測定エネルギーの範囲で、できる限り constant energy resolution, constant transmission (constant geometrical factor) になるように各電極の電圧を

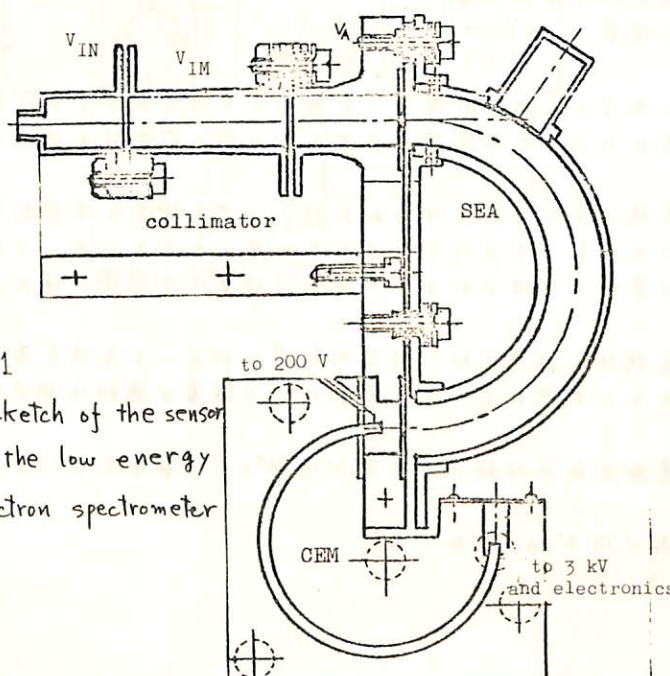
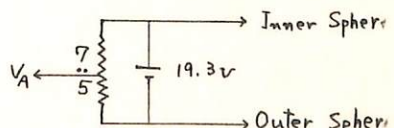
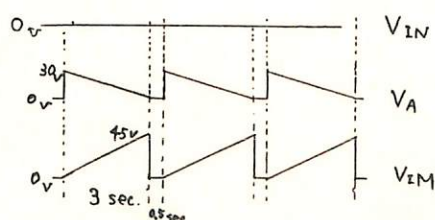


Fig. 1
A sketch of the sensor
of the low energy
electron spectrometer

sweepしようと/orする。この time chart を Fig. 2 に示す。なお、sweep電圧 V_{IM} および V_A の零点は space potential 1 になつてゐるようである。また、同心半球間の電圧は一定で、各電位は V_A と共に sweep する。channel electron multiplier の出力は計数されて階段波を作り、テレメータで送る。以上の方法によって、より正確な energy spectrum が得られると、考えられる。このスペクトロメータの特性について実験と計算とを比較した結果、2~3 eV 以上では割合上一致が見られた。これ以下のエネルギーでは、その data 解析の段階で、誤差が大きくなる可能性がある。

Fig. 2
time chart



MS-T1衛星の姿勢測定結果

加藤俊雄・青山巖・遠山光雄・高橋隆男
東海大学 工学部

地磁気センサと太陽センサを用いて科学衛星の姿勢測定方式の開発研究が進められてきしだが、今回打上げられたM-4S-2号機のMS-T1衛星においてこの姿勢測定及び姿勢データ処理が試みられた。こゝでは今回の姿勢データ処理にまとめて今後の問題点とMS-T1衛星の姿勢測定結果について報告する。

姿勢計算の方法は前の演会（第45回講演会）でも述べたので詳細は省略する。方法としてはまず衛星の位置と軌道要素などの情報から算出し、その時刻、その位置における太陽方向及び地球磁力線方向を計算する。地球磁場の計算は Spherical Harmonic Analyses で行い、Gaussian 係数は半変化を考慮した $n = m = 10$ (Cain, et al. 1965) を採用していい。そして衛星の軸方向及び軸と直角方向に搭載されたブラックスゲート型磁力計及び太陽センサによって衛星軸と地球磁力線とのなす角度及び衛星軸と太陽とのなす角度を検出して両者のコーンの交点を計算で求め方である。

今回の姿勢計算を通して今後更に改善しなければならない問題点は主として次にあげるものである。

- 1) データ処理の迅速化と簡素化
- 2) 磁気センサに及ぼす磁気的影響の対策
- 3) ソフトウェアの内容の改良
- 4) 姿勢計の改良

この中で特に磁気的影響に関する点は検出精度に直接効くものであり重要な問題点である。このほかに精度を高めるために水平線検出器などの別の姿勢計も併用する方が望ましい。

2月16日、M-4S-2号機によって打上げられたMS-T1衛星の姿勢測定は打上げ後約一周間の内に満了復信されたデータ及びデータレコーダーの再生によって得られたデータについて東大宇宙研の計算機で処理されたのがその主な結果はほゞ次の様なものである。

- 1) 磁気センサなどの温度特性、磁場近似、磁気的影響の補正による誤差等から生じるドリフトと思われるものを除けば、音叉運動などの顕著な運動は測定精度以下と考えられる。
- 2) その平均的姿勢は衛星軸方向が地軸の北方向から $98^\circ \pm 5^\circ$ 、春分点方向から東よりへ $82^\circ \pm 3^\circ$ である。
- 3) 姿勢の日変化は太陽角で約 $1^\circ/\text{日}$ であった。

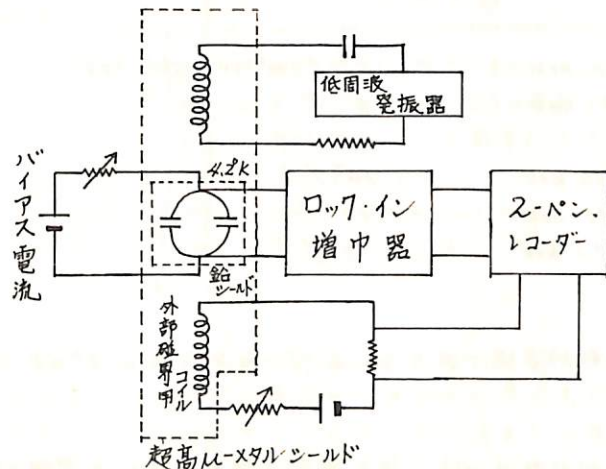
S Q U I D 磁力計の基礎実験(Ⅲ)

北村泰一・大道萬男

九大理学部

超伝導物性(ジョセフソン効果)を利用して、極弱磁場($10^{-8} G$)を測定することができるが、筆者等は今まで、感度 ± 1 、 $\pm 4 G$ の素子を製作した。実験は、外部雑音磁場のシールドなしで行われたので、これ以上感度をあげることは無意味であった。

今回、地球磁場を含む外部雑音磁場をシールドするために、二重の超高 μ -メタルの円筒を製作し、その中の磁場の絶対値を実測 $\pm 200 \mu G$ におさえ、更に、超伝導体(鉛)シールドを用いて、その中で、ワロスワイヤー素子、下図のブロック回路を用いて実験を行なった、その結果について報告する。



放射線帯下部における低エネルギー電子スペクトル

松本治弥
(神戸大工)

L-3H-5号機による 600 km ~ 2000 km の高度範囲での低エネルギー電子束 (0.3 ~ 20 keV) 観測の結果得られたデータから直接言えることは以下のような点である。

- (1) 高度 900 km 附近から電子束が増加しており、このエネルギー領域の電子に関しては放射線帯下部に入ったものと思われる。
- (2) 入射電子束は全高度範囲にわたってロケットのスピシンと同じ周波数で変調をうけている。
- (3) 電子束の値は

800 km	5 ~ 20 keV	$\sim 10^6 / \text{cm}^2 \text{ sec str keV}$
	< 1 keV	$\sim 10^7 / \text{ " } "$

1000 km	~ 20 keV	$\sim 10^6 / \text{ " }$
	1 ~ 15 keV	$\sim 10^7 / \text{ " }$
	0.3 ~ 0.5 keV	$\sim 10^8 / \text{ " }$

のオーダーである。

- (4) エネルギースペクトルの形は比較的平坦であり, power form にすると $E^{-\alpha} dE$ に近い

以上で問題点としてスピシン変調の説明が残されている。スピシン周期の半分の周期で変調していると trapped particles として説明がつくが同じ周期で変調をうけしかも flux が最大になるのは粒子入射口が東寄りに向かうときである。ロケットの姿勢が完全には確定しないので確かなことは言えないが streaming particles とも考え難い。そのほかエネルギー分析器を通らずに漏入して計数した粗的な電子の wake effect あるいは特定方向からの“光の”なども原因として考えられるがその可能性も薄い。したがつて再度の実験によりこれらを究明する必要があるが変調を受けた粒子束の最大値と最小値の比を取っても測定結果は一桁以上変わることはなく上記(3)の値は最大値をとったものであるが最小値でもオーダーはほとんど同じ結果となる。

本講演では観測結果より一応スペクトルを求めてそれについて論ずる。

和賀仙人鉱床の赤鉄鉱々石および鉱床周辺の
火成岩類の磁性

上野 宗共
(東北大・理・岩鉱)

岩石や鉱石の有する残留磁気あるいは帯磁率から鉱床の生成構造を解明する一連の実験を行つてゐるが、地球磁場の逆転期に関連した適用例として岩手県和賀仙人鉱床について報告する。尚、地球磁場の逆転期に関連したものとしては秋田県花輪鉱床・秋田県松峰鉱床について既に報告してある。

当鉱床の赤鉄鉱々石および鉱床周辺の火成岩類の残留磁気の測定結果（すべて交流消磁法）は下に示す通りである。

		火成岩類	鉱石
新 中 新 セ 紀	中	オ三紀花崗岩類 (鉱床の北西4km) N	赤鉄鉱々石 R
	新	石英安山岩 (鉱床の南東3km) N	
	セ	斜長流紋岩 (鉱床に近接) R	
	紀	輝石安山岩 (") N	
先 オ 三 紀		先オ三紀花崗岩類(") N	

当鉱床は石灰岩を伴う巻層中に胚胎し、熱水変質を受けたのがスカルン鉱物が存在することから、従来から“先オ三紀花崗岩類によて生成された「接触交代鉱床」”であるとされてきた。しかし、上記の測定結果から鉱床生成は地球磁場逆転期であり、鉱床生成に關する火成岩は地球磁場逆転期に冷却した斜長流紋岩であると言える。

また、斜長流紋岩は西黒沢階上部に対比されているから東富等(1970)の示した西黒沢期末期の逆転期とも符合し、鉱床生成は新オ三紀・中新世・西黒沢期末期であると結論される。

尚、鉱床の type も「接触交代鉱床」ではなく「熱水鉱床」とすべきである。

赤鉄鉱々石の一部には赤鉄鉱生成後の磁鐵鉱化が認められるが、これらの鉱石の成因的考察も行う。

アルカリ玄武岩類の磁性について

西田潤一 菊島貞雄

京大 理

アルカリ玄武岩のなかで、特に basic nodules をもつもの磁性ならびにその含石強磁性鉱物であるケタノマグネットイトについて報告する。これらのケタノマグネットイトの Curie 点は常温から 200°C であるが、一般に室温下において自発磁化の減少を示す (Neels P-type)。微温酸化に伴う P-type の変化を求めるため、液体窒素温度における自発磁化ならびに格子定数の変化を測定した。その結果、(1) 酸化とともに自発磁化は一旦減少し、その後増大する。 (2) 格子定数は単調に減少を続ける。しかし 350°C 、10時間の加熱までは酸化後 P-type の磁化には変化がない。このことから実験室内で Verhoogen の model のように $P \rightarrow N \rightarrow Q$ へと変化させることは極めて困難であると考えられる。

これらの測定中、低温で N-type の磁化を示す試料がわざか一つ発見された。 Whole rock の温度 - 磁化曲線を図 I に示す。この図から補償温度附近で磁化は 0 となるまいが、これは Shultz (1968) の結果においても同様である。彼はこれを試料の成分が一様でないことから由来するとして推定している。事実、我々が見出した N-type でも岩石試料の各部分によつて補償温度及び曲線の様相がかなり異なっている。また、室温で 7600 Oe の磁場を与えた後磁場を取り去った状態で -186°C まで冷却し、(註) その I - H 曲線を作ると図 II のようになる。図 II の測定過程から判断して -186°C では残留磁化の反転が推定される。また、同時に反転後の磁化は常温での I - H 関係とは全く異り、最大磁場 7600 Oe までで飽和しないことがわかる。T = T_c 时、N-type の岩石は極めて局部的で同一 hand specimen の他の部分では磁化は P-type を示す。この事実は N-type の反転現象を示す cation deficient spinel は自然界に極めて稀な存在であることを示唆していると言えられる。

註、磁気天秤の石英細工の内部では、種々の条件から試料は -196°C まで冷却しない。

図 1

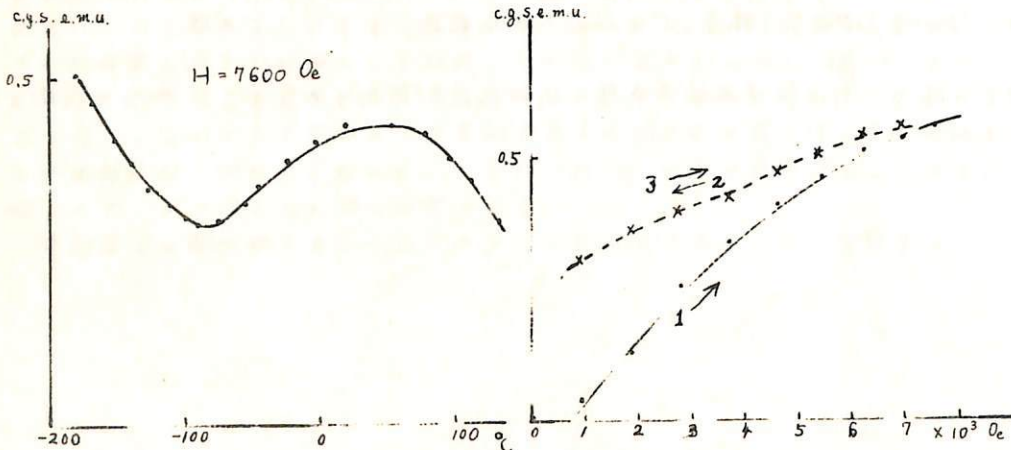
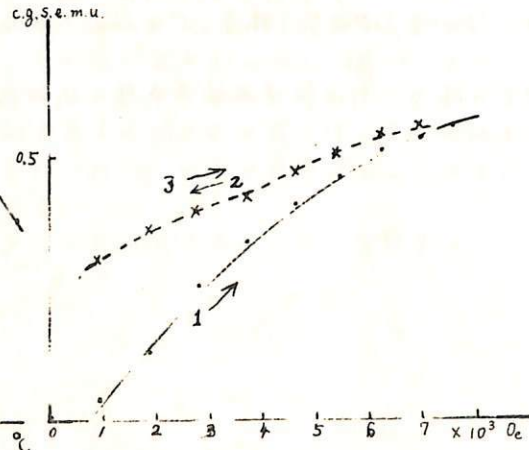


図 2



山口県萩吉谷火山灰およびテラ・ロッサの磁性

堂面春雄

山口大学教育学部

石を岩台地としてよくしらしている山口県萩吉谷の地域にも第四紀火山灰の堆積が散在してみられますが、特に台地上のドリーネ縁辺に堆積している火山灰についてとりあげた。このような火山灰に関する岩磁気学的ないし古地磁気学的研究は、カルスト地形発達史に、ある知見を与えるものとして興味が深い。

カルスト地形は、一般に、その地表面が風・水侵(蝕)によって、ドリーネ、ラビエ、ウバーレ、ボリエと発達するが、ドリーネ縁辺における火山灰の堆積が、ドリーネ形成のどのような時段であこむられたか? また、逆にドリーネの形成と火山灰の堆積の時間的前後関係を明らかにすることは、自然地理学・地形学の面より特に关心がもたらされるものである。

今回す、二ヶ所のこのようないずれかの火山灰堆積物の磁性について述べる。

また、この中の一ヶ所では、火山灰の下に、ララ・ロッサ Terra Rossa の整層的堆積がみられ、これについての磁性を報告する。

大阪層群火山灰層中の強磁性鉱物

前中一晃 横山卓雄⁽²⁾

(1) 花園大学 (2) 同志社大学

近畿地方の鮮新更新流(大阪層群 古見邑湖層群、東海層群)の研究において、火山灰層は重要な鍵層として、それとの混質を識別する事が最も重要な事である。従来、火山灰層の識別には、序外に岩けい層位関係によつて、色、粒度、鉱物組成がテクスの屈折率等の諸性質を利用して来たが、火山灰層中の強磁性鉱物を利用した手段として有効である事が、百瀬の信州ローム層中の P_1 -工を中心とした研究で認められる。卓君は前記の近畿の鮮新・更新流中の火山灰層から抽出した強磁性鉱物について、その磁気的性質を想磁丸分析、X線分析によって調べてゐるが、それについて現在迄に用ひられた点について報告する。

想磁丸分析の結果によれば、近畿の火山灰層中の強磁性鉱物は

- (i) 100°C近のキュリー温度一相を示すもの
- (ii) 100°C近のキュリー温度一相を示すもの
- (iii) 100°C及び500°Cの二相のキュリー温度を示すもの

の三つに大別される。X線解析によれば

- (i) の試料は、Cubic構造を示す。
- (ii) の試料は、Rhombobededral構造

(iii) の試料は、Cubic + Rhomboの構造であることが判明する。

現在、化学分析の資料がないので断言は出来ないが、Curie温度、及びX線解析から来る格子定数から判断すると、(i)は

(i)は、 Ti_{poor} の $Ti_{lanc-magnete}$ 。

(ii)は、 Ti_{rich} の $ilmeno-hematite$

(iii)は、 Ti_{poor} の $Ti_{lanc-magnete}$ + Ti_{rich} の $ilmeno-hematite$ であると推定され

る。同一の層準に属する火山灰から抽出された強磁性鉱物は、ほぼ同一の想磁丸曲線、X線解析のパターンを示し、これらの方法が対比の手段として有効である事を示してゐる。

大阪層群 古見邑湖層群の火山灰層については、

(i)に属する火山灰層体、アスキ・竜ヶ池・グレー・上村・サフナ・南丘・ハイオタイトセセ工・北脇火山灰等

(ii)に属する火山灰層体、深草・上桂・光明池・ヒンク・セセ工・駒井・小庄等 岩室相模火山灰層など。

(iii)に属する火山灰層体、今熊、ヒンク・イエロー・梅谷 錦掛B火山灰層などである。

ヒンク火山灰層については、明るく同一層準に属するにも拘らず、地図によつて、前記(iii)及び(ii)の二つのグループに分れる。これらについては新たに3ヶ所の露頭より、下位不規上位へと、肉眼的に出来ただけ layer を区分し、その区分に従つて試料の採取を行つ、その磁気的性質を調べてゐるので、その結果について併せて報告する。

日本海火山岩の K-Ar年代, Sr同位体比, K/Rb比

上野直子, 兼岡一郎, 小嶋 総, 座主繁男, 佐藤佳弘
(東洋大) (東京大学 理学部) (水路部)

日本海大和堆の玄武岩、大和堆・まつ海山・白山瀬の安山岩について、K-Ar年代、Sr同位体比、K/Rb比をもとめ、西拓洋堆の花崗閃緑岩については、Rb-Sr法による年代とSr同位体比をもとめた。Sr同位体比とAr, Rb, Sr定量は質量分析計を用い、K分析は炎光光度計を用いた。

K-Ar年代は $4 \times 10^6 \sim 20 \times 10^6$ 年の値を与える。この年代は太平洋のいくつかの海山について求められたK-Ar年代と同程度の値であり、海洋地域の玄武岩が若いといわれていることと一致している。Rb-Sr法による西拓洋堆花崗閃緑岩の whole rock - hornblende 年代は 227 m.y.となり、K-Ar法による whole rock 年代、220 m.y. (東北大・植田 1968), と一致した。

前記 K-Ar年代によって補正した玄武岩・安山岩のSr同位体比初期値は、0.704～0.707 の範囲になる。この値は太平洋海山の値が0.702～0.704であるに比べて高く、ほゞ日本の中生代花崗閃緑岩や流紋岩のSr同位体比に近い。この原因としては、海水による汚染やマグマ中への海底堆積物や地殻物質の混入、あるいは、日本海下と太平洋下のマントルのRb/Sr比の違いなどが考えられよう。西拓洋堆花崗閃緑岩のSr同位体比初期値も0.704となり、やはり、日本列島の中生代花崗閃緑岩類と同じである。

K/Rb比は300～400であり、太平洋地域の海山玄武岩や陸上玄武岩の値に差しく、リッジの上から得られるソレアイト玄武岩の値に比べて、かなり低い。

試料番号	YS 1-2	YS 7-1	HSA	MASA	MESA	NGS
場所 岩石名	大和堆 玄武岩	大和堆 安山岩	白山瀬 安山岩	まつ海山 安山岩	明洋 安山岩	西拓洋堆 花崗閃緑岩
K(%)	1.445	0.940	0.684	1.755	3.22	—
K-Ar年代 ($\times 10^6$ yr)	21.6 ± 0.5	19.3 ± 0.5	7.70 ± 0.81	4.16 ± 0.16	13.4 ± 0.4	Rb-Sr年代 227 m.y.
Rb^{87} ($\times 10^{-8}$ moles $/cm^3$)	14.8	7.34	5.62	17.30	27.81	19.85
Sr^{86} ($\times 10^{-7}$ moles $/cm^3$)	4.97	6.78	4.31	5.78	2.37	1.595
Rb^{87}/Sr^{86}	0.31	0.11	0.13	0.30	1.17	1.245
$(Sr^{87}/Sr^{86})_0$	0.7047 ± 0.0006	0.7067 ± 0.0018	0.7073 ± 0.0002	0.7037 ± 0.0003	0.7038 ± 0.0037	0.7082 ± 0.0003
Rb(ppm)	45.4	22.6	17.2	53.2	85.4	—
K/Rb	319	416	397	330	377	—

岩石の衝撃残留磁気及び衝撃消磁（序報）

永田 式

東京大学・理学部

パルス巾 $1/2 \text{ m sec}$ 程度の正方形パルスを以て岩石に打てる場合の残留磁化に対する影響を調べた。衝撃パルス S を与え、磁場を与え (H_T) 及び磁場を解除 (H_0) という 3 種の操作の順序には $(SH+H_0)$, $(H+SH_0)$ 及び $(H+H_0, S)$ の組合せがある。

- (1) $J_R(SH+H_0)$. 予備衝撃効果 予備衝撃 S を $H=0$ 空間にて岩石試料に与えた後に IRM, $J_R(SH+H_0)$ は、 S を与えない普通の IRM $J_R(H+H_0)$ より目立って大きくなる。この場合 $J_R(SH+H_0)/J_R(H+H_0)$ は S/H の函数として表現出来る。こゝに S は、衝撃の全運動量 $S = \int_T P(t) dt$ (単位 Bar. Sec) を以て表わす。 S/H が臨界値 $(S/H)_c$ より大きい場合には、
- $$J_R(SH+H_0)/J_R(H+H_0) \approx S/H, \quad (S/H) \geq (S/H)_c \quad (1)$$

式で近似出来る。

- (2) $J_R(H+SH_0)$. 衝撃残留磁気 H がある臨界値 $H_c(S)$ より小さい場合には一定の S の大きさに対しても、

$$J_R(H+SH_0) \approx H, \quad J_R(H+SH_0) \gg J_R(H+H_0) \quad (2)$$

で表わされる。こゝの場合 $\bar{S} \parallel \bar{H}$ の場合の J_R と $\bar{S} \perp \bar{H}$ の場合の J_R^\perp との間には、

$$J_R^\perp(H+SH_0) \approx 3/4 J_R(H+SH_0) \quad (3)$$

の関係が成立する。又、 H を一定に保つ場合、 S がある臨界値 $S_c(H)$ より大きい場合には近似的に $J_R(H+SH_0) \approx S$

が成立する。

- (3) $J_R(H+H_0, S)$. 衝撃消磁 IRM, $J_R(H+H_0)$ 及び $J_R(H+H_0, S)$ は S/H の函数として S/H の增加に従って、主に exponential 型の曲線に沿って減衰する。この場合 $J_R(H+H_0, S)$ に対して \bar{S} が平行の場合と \bar{S} が直角をなす場合より $20 \sim 30\%$ 効果が大きいが $\bar{S} \perp \bar{H}$ の場合に 3 百分の消磁効果がある事は注目されねばならぬ。

- (4) 衝撃磁化と静圧磁化との関係 近似的には $J_R(SH+H_0)$; $J_R(H+SH_0)$ および $J_R(H+H_0)$ はそれを静圧 P を加える場合の $J_R(P+H+H_0)$, $J_R(H+P+H_0)$ および $J_R(H+H_0+P)$ に對応する。衝撃の全運動量 S は、衝撃物の運動エネルギーから求められるが $S \approx P \Delta t$ とあき Δt を平均パルス巾とみなすと、それぞれの場合の衝撃効果と静圧効果の大きさとの対応から $\Delta t = (0.2 \sim 1.5) \text{ m sec}$ と求められ、直接測定した衝撃パルス Δt とほど一致する。したがって残留磁化獲得及び消磁のからくりは、永田-Carleton の静圧効果の理論が定量的にはあてはまる。

- (5) 衝撃作用の繰返し効果 衝撃効果と静圧効果との大きな差は、衝撃効果の方は 1 回の衝撃作用で平衡状態に達することなく、同一作用を何回も繰返すことにより、その增加と共に最終平衡値に漸近することである。この場合、たとえば $J_R(H+S_1 S_2 \cdots S_n H_0)$ に対する実験式は、 $n=\infty$ によって獲得される残留磁化を $I_0(H+SH_0)$, $n=1$ による残留磁化を $I_0(H+SH_0)$ とするとき

$$I(n) = I_0(H+SH_0) [1 - (1-K) \exp \{-\alpha(n-1)\}] \quad (5)$$

と表わされる。さて、磁気余効の場合の熱エネルギーを T の時間効果に、この場合の n 回の繰返し衝撃効果を対応させれば、現象の定性的な説明は出来ることがある。

グアム島とその周辺海域の岩石と堆積物 磁性

小林和男
東大海洋研究所

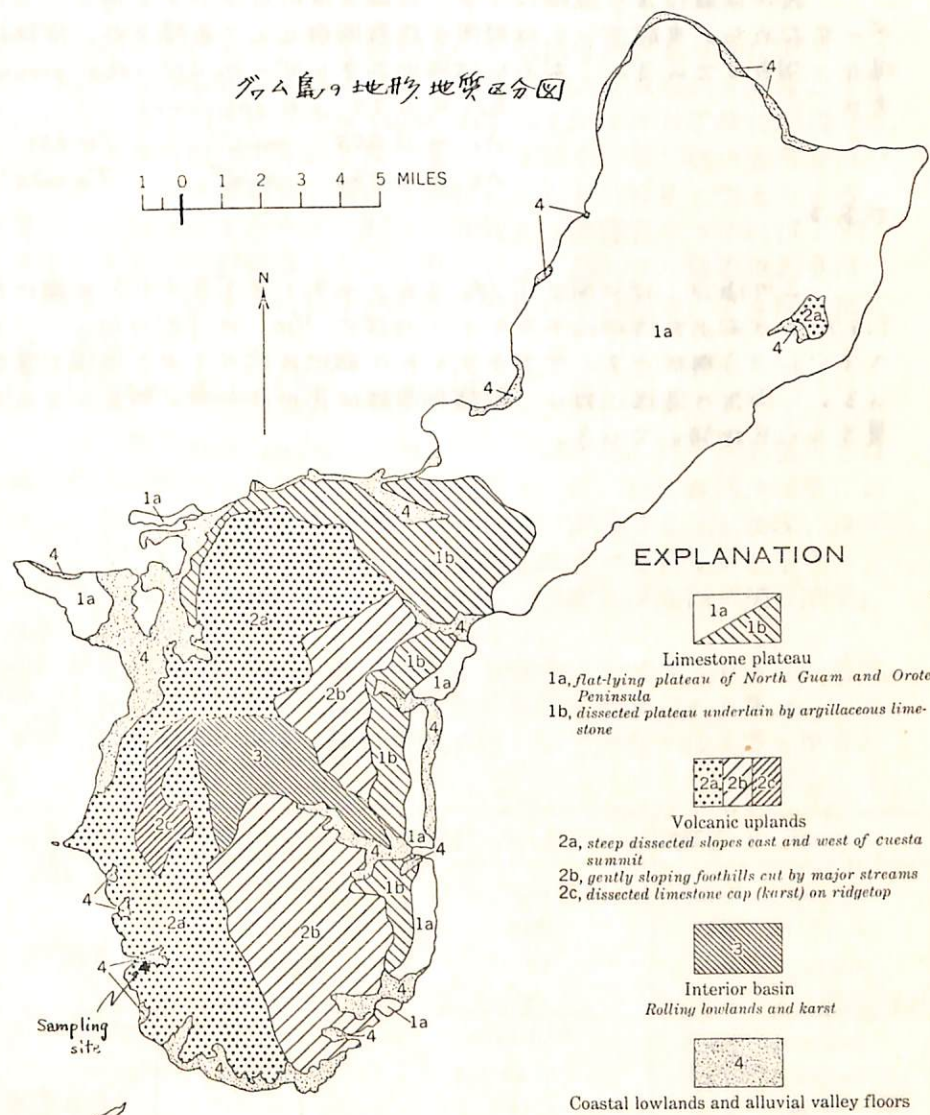
白鳳丸KHTI-1航海の途上、Guam島Apra港に寄港し、上陸する機会があつた。島の南西端の露頭から方向をつけ試料を採集し、予察的な古地磁気学的測定を行った。試料はUmatac Formationに属する玄武岩溶岩からされる。キュリ一点は570°C、300°C附近でや、非可逆性を示す。

一方、九州・パラオ海嶺の南端に当る海山からはマンガン・鉄酸化物をかぶったtuff質岩石がドレッジされた。

これら島や、海山の活動の際に噴出されたとみられる火山ガラス、軽石粒が、マリアナ海溝東側の海底堆積物中にも多量に存在する。

グアム島の地形地質区分図

それらの磁性についてまとめて述べる予定である。



Sampling site

チタノマグヘマイト分解過程の活性化エネルギー

一

小嶋 穂・小嶋 美都子
東大・理 東大・物性研

チタノマグヘタイト及びチタノマグヘマイトは、空気中で熱するとき、同じような熱磁化曲線を示す。このとき、 J_s 及び Θ は共に増大する。後者は大部分の海山玄武岩に特徴的と見られるもので、チタノマグヘマイトがマグヘタイト及びイルメナヘマタイト、その他に熱分解する過程であり、前者はチタノマグヘタイトが酸化し、マグヘタイト及びイルメナヘマタイトに変化する過程である。

我々は先後者の過程につき、熱磁化分析のデータを用い、この過程の活性化エネルギーを求めた。実験データは時間の指數関数として表現され、活性化エネルギーが単一の場合に相当している。求めた活性化エネルギー E_s 及び rate process の時間常数 λ_s は次式

$$E_s = 0.75 \text{ K cal/mol}$$

$$\lambda_s = 0.055 \text{ min}^{-1} \quad T = 357^\circ\text{C}$$

$$\lambda_s = 0.060 \text{ min}^{-1} \quad T = 455^\circ\text{C}$$

である。

この値は、ほゞ同じ T_f/Fe をもつチタノマグヘタイトの酸化過程につき Creer et al (1970) が求めた活性化エネルギーのほゞ $1/10$ にすぎない。このことは、チタノマグヘマイトの分解がチタノマグヘタイトの酸化に比べてより低温で重要なことを示している。両者の過程に対し、熱磁化曲線は見かけ上同じ形をしているが、その機構が全く異なることを物語っている。

アポロ月岩石の熱磁気曲線（強磁性、常磁性
超常磁性各成分について）

永田 武 河野 長
東大理学部

アポロ12号結晶岩 (No. 12053-47), 細砂 (No. 12070-102) 及びアポロ11号角砾岩 (No. 10048-55) の各試料について、 $15^{\circ}\text{C} \sim 830^{\circ}\text{C}$ の温度区間の熱磁気曲線 (J-T 曲線) を 5.53 Koe 及びそれ以下の磁場にて測定した。この際 磁気天秤内の真圧度は $1 \times 10^{-5}\text{ Torr}$ 前後に保たれた。これら等の試料は、さきに室温における磁気復元曲線、 $42^{\circ}\text{K} \sim 296^{\circ}\text{K}$ の低温度区間ににおける熱磁気曲線の性質が、それぞれ測定されたものである。

1) 結晶岩の磁性は強磁性成分, $\text{I}_F(\text{H})$ と 常磁性成分 (反強磁性成分を含む), $\chi(\text{H})$ の和でほとんど完全に表現出来る。すなわち

$$\text{I}(\text{H}, \text{T}) = m_F \text{I}_F(\text{H}, \text{T}) + m_p \chi(\text{T}) \text{H} = m_F \text{I}_F(\text{H}, \text{T}) + \frac{m_p \text{CH}}{\text{T}} \quad (1)$$

結晶岩の I-T 曲線は、加熱することによって約 10% の磁化増加が見られただが、この結果は真空中加熱によって Pyroxene の常磁性成分, Ilmenite の反強磁性成分が増加することに因ると解釈される。又、強磁性成分は Curie 温度約 700°C の自然鉄に起因する。
2) 細砂の強磁性成分はやはり自然鉄によるが、表に見られる如く、自然鉄の含有量は結晶岩に比べて著しく多い。これは隕石及び隕鉄の細粉が混入して結果と考えられる。結晶岩中の Ni 含有量の $15 \sim 20\text{ ppm}$ であるのに對し、細砂及び角砾岩中のそれは、約 200 ppm に達する事実からもこの解釈は正しいと思われる。細砂中の強磁性成分は、自然鉄の極微粒子 (半径 10^2 \AA 程度) の超常磁性と比較的大きい粒子による強磁性成分として分類出来る。すなわち

$$\text{I}(\text{H}, \text{T}) = m_F \text{I}_F(\text{H}, \text{T}) + m_{\text{LS}} \text{I}_{\text{S}} \text{L} \left(\frac{\mu \text{I}_{\text{S}} \text{H}}{\text{kT}} \right) + m_p \frac{\text{CH}}{\text{T}} \quad (2)$$

で近似出来る。ここに L は超常磁性 Langevin 函数である。 10^{-5} Torr 程度の真空中では、加熱により自然鉄極微粒子は酸化して FeO 等に変ると考えられ I-T 曲線は温度に対して顕著な非可逆性を示す。加熱による残留部分 (I_F) の I-T 曲線は Curie 曲線には近いが、消滅部分は $\mu \left(\frac{\mu \text{I}_{\text{S}} \text{H}}{\text{kT}} \right)$ 曲線で表わされ、超常磁性成分である事を示す。

3) 角砾岩の I-T 曲線の性質は細砂の場合には同じである。角砾岩は細砂が隕石衝突による衝撃によって固められた事を示す一つの証拠であろう。

測定結果のうちの主な磁気學素を下の表にまとめてある。月岩石の磁性は Pyroxene の常磁性, Ilmenite の反強磁性、自然鉄の強磁性及び超常磁性が主要な成分である事は、この結果と共に、低温及び室温における磁化曲線、岩石学的分析、化学分析の結果等を照合しても矛盾なく総説できる。

磁性	試料	結晶岩 No. 12053-47	細砂 No. 12070-102	角砾岩 No. 10048-55
飽和磁気 (I_S) 20°C		0.190	1.28	2.10 (emu/gm)
Curie 温度		765	755	$755 \text{ (}^{\circ}\text{C})$
自然鉄含有量 (重量比)		0.087	0.59	$0.96 \text{ (wt \% of total metallic Fe)}$
超常磁性成分 (%)		0	29	
常磁性帶磁率 (χ) 20°C		3.2×10^{-5}	2.5×10^{-5}	$3.7 \times 10^{-5} \text{ (emu/gm)}$
C		0.925×10^{-2}	0.725×10^{-2}	$1.07 \times 10^{-2} \text{ (emu/gm)}$
Fe^{2+} 含有量 (重量比)		14.3	11.3	16.6 (wt %)
Fe^{2+} 化学分析値		15.4	12.2	12.8 (wt %)

八丈島玄武岩の古地磁気

青東 不 大 磁 理

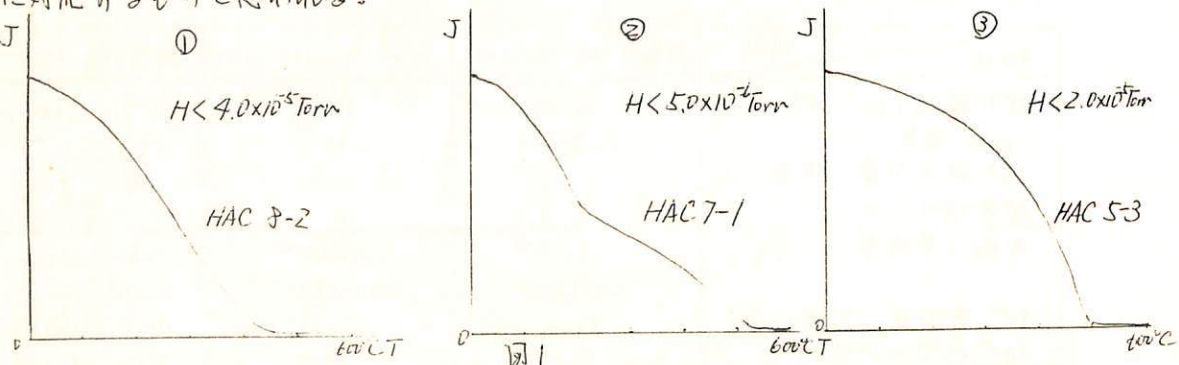
伊豆八丈島の9丁所の熔岩流より採集された岩石について、古地磁気および岩石中の強磁性鉱物のJ-Tの測定を行った。サンプリングした岩石の互いの層序関係は不明であるが、一般に東山（三原山）が西山（ハ丈富工）に比べ早期に活動したものと考えられる。兼岡は東山を形成する熔岩流の下の基盤岩（Iron-pigeonite andesite）についてK-Ar法による年代決定を行い、0.14 m.y.を得た。また一色はC⁴法によって東山の熔岩について約0.03 m.y.という結果を得ている。NRMは交流消磁に対してすべく安定であり、必ずもしNormal Polarityを示した。この結果と上記の年代とは矛盾しない。（表1）

表1

	I	D	T ₀
HAC 2	24.9°	-11.8°	
HAC 3	27.2	-12.0	476°C
HAC 4	45.1	3.8	497
HAC 5	57.2	24.5	494
HAC 6	38.5	-11.7	370
HAC 7	52.4	2.3	217, 535
HAC 8	36.9	-17.6	410
HAC 9	53.1	-14.4	488
HAC 10	40.8	-26.8	496
Total	43.0	-9.2	
Present (下富郷) 1955	44.4	6.5	

東山熔岩と西山熔岩との残留磁化方向に有意の差が認められることはできず、また個々の熔岩流の剩磁方向についてはバラつきが大きいが、同じ伊豆諸島中の大島について行式が過去2000年間の永久変化を求めることができるのは中でもバラつきの下を立とほとんど同じである。以上よりここでは得られたNRMは30万年より若い年代（兼岡）についての同島の磁場方向を表わしているものと結論される。全サンプルのNRMの平均方向がかなり東偏してゐるが、同島の回転運動を表わしていくものがどうかはこのDataのみからでは不明である。

J-T曲線については三つの型が認められるが多くは~490°CのCurie点をもつて特徴づけられていふ。しかし① T₀ < 350°Cを示す伊豆大島型のJ-T曲線をもつて、更に②それらの高溫軟化型の磁性鉱物を含むもの、③ Mtにかなり近い残余をもつものの（図1）があることにより①→②→③に移行する軟化が磁性鉱物の結晶過程において起つたと考えられる。全体としてみると③に近いものが一番多く、伊豆大島-富士山線上での稍東の熔岩に対応するものと思われる。



古地磁気法による地殻変動の予知について（そのⅠ）

川井直人
大阪大学 基礎工学部

古地磁気ベクトルを各地質年代の岩石中に求め、地球性を考慮すると、地殻変動の大きい環太平洋地域に生じたことがわかる。

研究の結果

① 大陸移動の結果、太平洋が狭ばまること。

② 太平洋底板が拡大し、アジア、南北アメリカ大陸の周辺部でマントルに降下流が生じる。

①と②の相対運動の結果、太平洋岸地域に造山帯ができ、海岸線が少くとも 12,000 Km 以上短縮したと結論せらるを得ない。

このような大変動を大きく把握して、将来の地殻運動の様相を推定することは可能である。

東海地方の CA 観測（Ⅱ）

加藤愛雄、輪之内正弘、早坂孝

東北工大

先に試作 I に高感度 flux-gate 磁力計を更に改良し、より高感度、低雑音の flux-gate 磁力計を試作し、長野、岐阜県下三東び追加観測を実施した。

これで東海、中部地方の太平洋側から日本海側までの profile における、地磁気振周期変化の様子がほぼ明らかには、だと思われる。

磁力計は特に検出器部分に注意が払われ、約 0.2 G/mm の感度を持ち、雑音は 0.1 G 以下であり、数分の周期の変化をも明瞭に記録することができる。

今回は、試作 I に磁力計の特徴と、東海、中部地方での観測結果について報告する。

鳥取砂丘における地電流観測について(Ⅱ)

安原通博・佐反則彦・鈴木亮・宮腰潤一郎
 (京教大) (京大教養) (京大理) (鳥大教養)

鳥取における地電流の特徴として電場の変化の大きいことと、周期によらず電場の変化の方向が一定(北北西—南南東)であることが見出された。前者については電場は大きくとも抵抗が大きいため電流は少ないと予想され、後者の原因としては砂丘の conductivity と海とのそれとの gap が考えられた。ともあれ砂丘の conductivity を知ることが是非必要と考えて

(i) Earth Resistivity method による砂丘の conductivity の測定を行った。

その結果深さ 30 m 程度までは $\alpha \approx 5 \times 10^{-5}$ emu ぐらいで、あまり良くなかった。この深さを越すあたりから急に良くなり、すぐ 1 柄ぐらいあがることがわかった。但、十分距離をとっては測定できなかったので、50 m 程度より深い所の様子はわからない。
 次に

(ii) Conductivity の gap のある時に電場がどのようにゆがめられるか調べてみた。

これは簡単には境界に垂直な方向からの電場の方向を媒質 1, 2 中でそれぞれ α_1 , α_2 とすると、電場と電流の境界条件より

$$\frac{\tan \alpha_1}{\tan \alpha_2} = \frac{\alpha_1}{\alpha_2}$$

となる。しかし 海と陸を仮に無限の平板としたときにもっと大きな scale ではどんな電気力線が描かれるかを調べてみた。

東北地方水汎周辺における地磁気短周期 変化の観測

東大電気・国土地理院・東北大物理学部地磁気研究観測グループ

水汎を中心とした東西線上に、太平洋岸から日本海岸まで、7ヶ所の地表にフックスゲイト型磁力計を設置し、1970年9月から11月までの3ヶ月間、地磁気および地電流短周期変化の同時連続観測を実施した。詳細な解説はこれまで進められたところであるが、今回は研究計画の狙いと、得られた結果の一部について報告する。

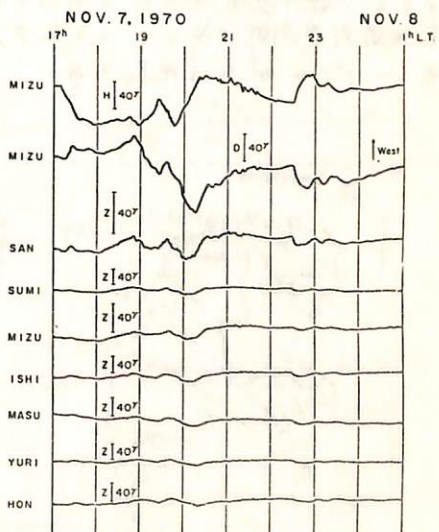
地磁気変化異常が起きるには、マントル内の温度の不均一分布が、ひとつの大さな原因であると考えられる。しかしながら、地磁気変化異常と地殻熱流量との対応が明確に実証した観測例は、いまだ少ないと云ふのが多くない。我が国においては、陸上の地殻熱流量の測定が行われて密に実施されており、東北地方では、日本海側の熱流量が高く、太平洋側が低い。高熱流量地域と低熱流量地域との間に、明瞭な境界があり、東北地方を南北に横断している。したがって、地下温度の地磁気変化におよぶ影響を検出するには、東北地方を東西に横断する海上での地磁気観測もおこなはねばならない。影響があるとすれば、①と②成分にみる水汎を予想される。しかしながら、東北地方の大半は、残虫、八戸市中にとくに「東北日本海岸」地域に属し、此の変化はやはりに強く支配されている。この影響から免れたために、 $\Delta Z/\Delta H \approx 0$ の水汎を含む東西線上での観測を実施した。

得られた結果の一例を下図に示す。HとDとは水汎観測所の記録である。Zの変化は太平洋岸から日本海岸へと並べてあるが、いずれもともとモードの変化に似ている。Dが西へ変化するとき、Zは下向き正方向に変化する。その大きさは、太平洋岸程大きく、日本海岸は中で減少する。しかし、傾向は途中で大きくなる。30分～2時間程度の周期による現象について、 $\Delta Z = A \cdot \Delta H + B \cdot \Delta D$ となる

係数A,Bを求め、バーキンソンベクトルの向きを調べた。結果は表に示す通りで、いずれも沿んだり東に向く、太平洋側ベクトルの大きさは大きい。

以上の大きさは、ほどなく検討が及んでいたことは、高熱流量地域と低熱流量地域の境界で、バーキンソンベクトルに著しい変化はないこと、およびZの変化のみではなくとも太平洋の存在が大きな影響を及ぼしているのがうなづける。地磁気変化に対する海の影響の再検討が重要な問題である。

	A	B	$\Delta Z = A \cdot \Delta H + B \cdot \Delta D$
三陸 (SAN)	0.05	0.61	S 85.3° E
佐田 (SUMI)	0.05	0.42	S 83.2° E
水汎 (MIZU)	0.11	0.28	S 68.4° E
石淵 (ISHI)	-0.05	0.38	N 82.5° E
増田 (MASU)	-0.06	0.19	N 72.5° E
東由利 (YURI)	-0.02	0.22	N 84.8° E
本荘 (HON)	-0.15	0.14	N 40.0° E



父島における磁気測量結果について

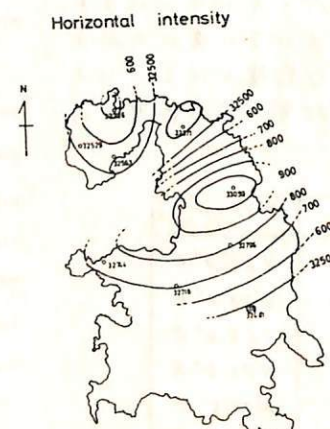
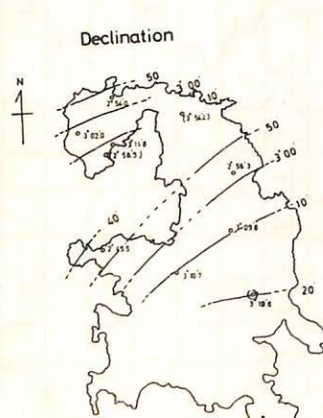
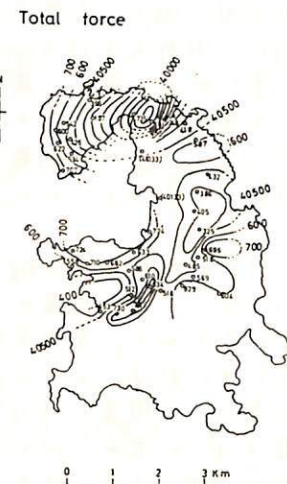
久保木 忠夫・大和田 真一・立川 徹
(地磁気観測所)

IASYの計画の一つとして地磁気観測所では、小笠原群島の父島において地磁気通常毎回観測を行なうことになった。これを機会に父島の島内で、IASYにより偏角、伏角を、携帯用 proton 磁力計により全磁力の測量を行つた。測点は三成分の場合、三ヶ月山・宮矢・測候所・奥村・夜明山・中史山・須崎・農事試験所の8点であり、三ヶ月山は毎週一回絶対観測を行つてはいるが、この1971年2月21日の日平均值に改正した。全磁力は三成分測点の外に30点を追加した。同じく改正して用いた。また国土地理院が行った西南山の測点も含めて参考とした。今後5月末に更に清瀬・小奏の2点を追加測量を予定である。島の南側は交通が不便で測定は不可能に近い。

測定結果は次の通りである。

1. 全磁力は奥村の高校を中心とした 39500° の頃の大さな異常がある。また農事試験所に小さな正の異常がある。
2. 全磁力測定のとき測定点付近でセンサーを移動したところ 10° で $10 \sim 20^{\circ}$ の傾度があった。
3. 道路や施設のある所は地下に鉄管等があり、測量点が制限され易い。
4. 地形と等磁力線は直接関係ない。
5. 水平分力は夜明山に正の異常がある。
6. 鉛直分力には奥村の高校を中心とする頃の異常がある。
7. 偏角の異常はない。

現在父島は開発が進んでおり、地形が人工的にかえりかけており、経年度化を始めた地點は極端に制限されてある。なお地磁気観測所でやつては三ヶ月山は現在気象庁のゾンデのレーダーのある地點である。



◎ 時南山

父島における短周期変化ベクトルについて

久保木 忠夫・大和田 真一
(地磁気観測所)

I A S T の計画の一つとして行なっている地磁気観測所の小笠原諸島の父島での地磁気巡回測定の記録を用いて父島での短周期変化ベクトルの特性を求めた。

測定点は父島の西北の三ヶ月山で測量社製 GIT 型 flux gate magnetometer を用いた。この測定器は温度係数が -0.5% あるため、戦時中使用した旧地下壕にセンサーを入れ、增幅器・記録計は温度変化の少ないコンクリート製の建物に入れた。センサーは温度の日変化は 0.05°C 以下、一月で $1\sim2^{\circ}\text{C}$ の変化となりないので極めて良好な記録が得られた。

測定点は東緯 $142^{\circ}10'45''$ 、北緯 $27^{\circ}05'35''$ 高さ 150m である。

観測資料は予元にとどいた 1970年12月から 1971年1月までの2ヶ月間で、この期間では磁気嵐 6 回あり割合多くの変化が得られた。

通常に用いられる方程式

$$\Delta Z = A \Delta H + B \Delta D$$

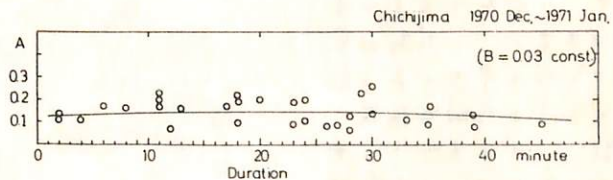
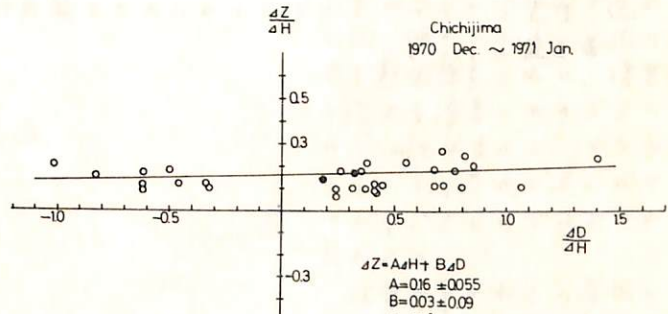
を用いて Duration 1~50 分のものについて、 $\frac{\Delta Z}{\Delta H}$, $\frac{\Delta D}{\Delta H}$ から A, B を求めた。

$$A = 0.16 \pm 0.05 \quad B = 0.03 \pm 0.09 \quad \theta = 11^{\circ}$$

この結果は日本における異常域の A が $0.8 \sim 0.5$ に比べてはるかに小さく $\frac{1}{2} \sim \frac{1}{3}$ である。また A, B を一定として BA の周期特性を求めても Duration に対して殆ど一定である。

SSC の立ち上り付近には、千里や鹿野山にみられるような特異性はない。たゞ渾形変化に対する水平分力の変化より早く鉛直分力の変化が減衰する。

左の電池を電源とする移動用 flux gate magnetometer で島内数点で鉛直分力の変化を記録中なりと同時につけても速報したい。



Easter Island における 地磁気日変化について

宮腰 潤一郎
鳥取大学 教養部

East Pacific Rise 上に位置す。Easter Island
 $(\varphi = S 27^\circ 10') (\lambda = W 109^\circ 26') (\Psi = -18^\circ 3') (Dip. Lat. = 21^\circ 0') (Mean. Lat. = 24^\circ 1')$

における地磁気変化に特徴がみられないか、他の観測所と比較して調べてみた。

East Pacific Rise はほぼ南北に長く続いているから、Iceland の場合の様に、もし Rise の下で Conductor が地表近くまでやっているなら、Rise の上では例えば偏角変化、鉛直成分変化にその影響があらわれることはないかと予想した。

今回は、日変化に着目して調べた。

すなはち、地磁気緯度がほぼ $-10^\circ \sim -20^\circ$ の観測所を選び、5、6、7、8月の地磁気静穏日（約20日間）の平均日変化を調和解析して Easter Island のそれと比較した。

観測期間の異なった記録を用いざるを得なかったこと、また緯度に対する Normalization ができないこともあります。各観測所間の違いが大きく、Easter Island の特徴と言えるものがあらわれているかどうかについての検討が不十分であるが、一応次の様な結果を得られた。

- (1) Easter Island における偏角変化の振幅は、世界的に見た場合、著しい特徴はないが、アメリカ、東太平洋帯のものの中では、半日周期項の振幅が最大になっている。
- (2) Easter Island における偏角日変化の位相は、他の観測所に比べて、最も進んでいる。

碰気異常が小さい海山

小林和男、友田好文、瀧川爾朗、北沢一宏
東大海洋研

大きな海山が独立して存在すれば、海面上ではそれに対応する顕著な碰気異常が見られるのが普通である。例えば、標高約2500mのよりも海山の上では、600mに及ぶ正と負の異常が南北に対をなしている。

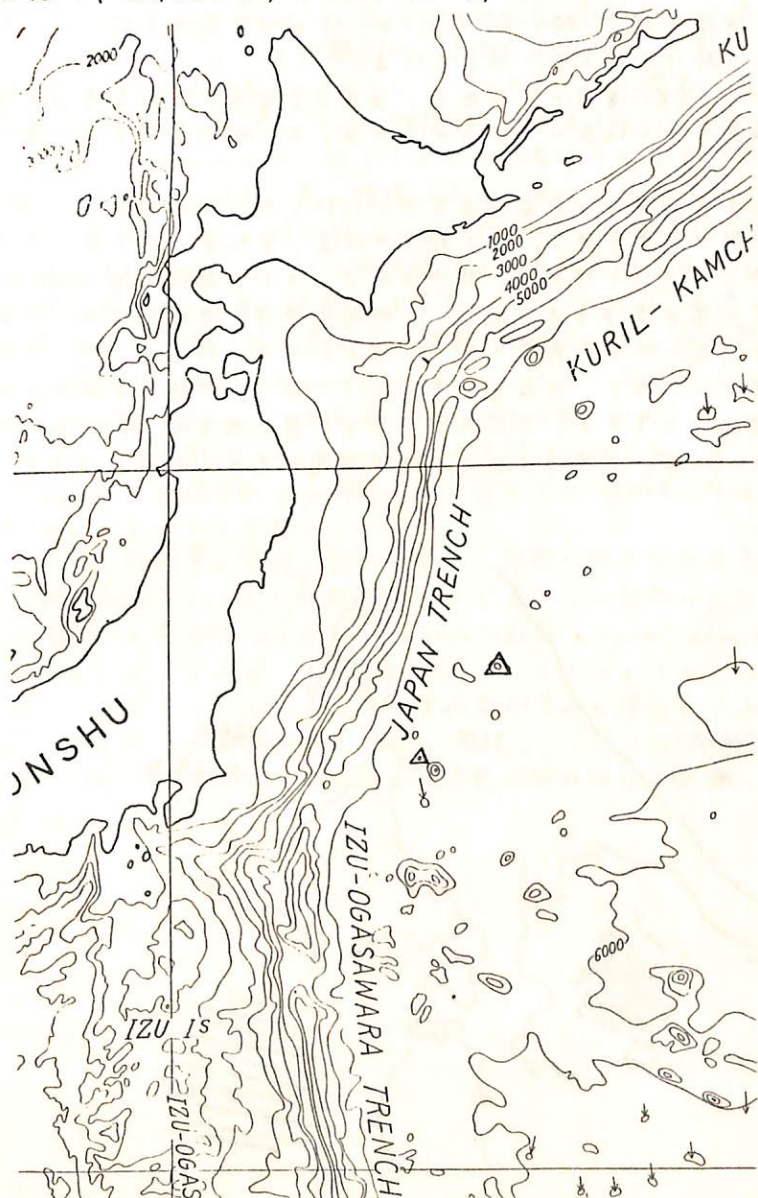
ところが、日本海溝の東側（太平洋側）に、このような碰気異常をもつた海山が存在することがわかつた。なぜそのように異常が小さいのかの原因を探ることは、ひいては海山や大洋底よりなじみと歴史を解明する鍵となると考えられており、数次にわたる白鳳丸、淡青丸の航海において、これら山の地形と碰気異常を詳しくしらべ、一方、ドレッジにより岩石試料を採取した。

その結果、南側の一つには2000m以下の大きさで、不明瞭ながらReverseと思われる碰気異常があらじいことがわかつたが、北側のもう一つ（仮にみずなぎ海山とよぶ）には、そのようなものもかられなかつた。

ドレッジによつては、みずなぎ海山から粗面安山岩か1個、他からはrhyodaciteの岩石が数個採集された。後者か西側から漂着しそうでありといふ証拠はないが、どちらも山を中心化が進んだマグマかうべきものではないかと思われる。

碰気異常が小さい原因としては次の二つ可能性がある。

1. 山体をつくる岩石が、たまたま半分は正しい半分は負に磁化しているため、干渉し合って見かけの小さい
2. 岩石が粘性の大さりマグセナでまなづめ、爆発的な噴出となり海水と反応してpalagoniteとなり、残留磁化を弱める。



日本海の地磁気異常

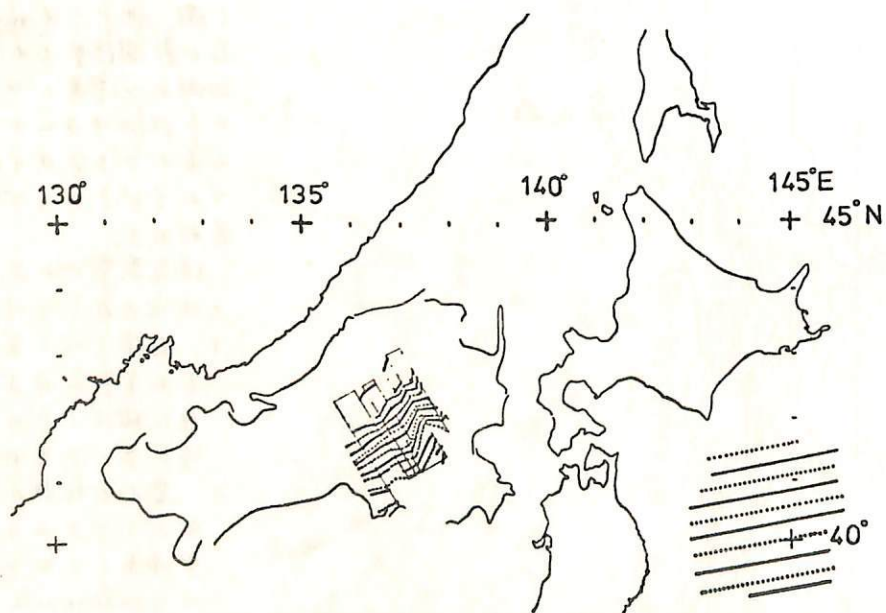
伊勢崎 修弘, 上田 誠也
東京大学地震研究所

1965年以来、日本海での海上地磁気測定は、主として舞鶴海洋気象台の清風丸を中心に行われた。清風丸の測線は、日本海全体をほぼ走っていたが、未だ不十分である。1970年5月と9~11月、清風丸の測線とは同一量の地磁気観測を、函館海洋気象台の高風丸、函館の漁船第83大栄丸によって行った。その結果日本海の測線密度は、10~15 mileになり、かなり詳しい議論ができるようになった。

全磁力について、1970年の等磁力線を引いた。その際、永年変化が問題であったが、日本海全体については、ほぼ一様で $-20 \sim -25 \text{ m/yr}$ が、この5年間の平均として得られた。この値は日本の陸上に於ける値とも一致している。

地磁気異常は、観測値からIGRFを引いて求めた。しかしIGRFの永年変化の項が小さい事と、日本海の地磁気を良く代表していない事もあり、地磁気異常は、負に偏った。

1970年5月の高風丸による観測は、日本海盆を中心に行なった。日本海盆は3600mの水深を持つ非常に平坦な地形が特徴である。この観測の結果、東北東~西南西に走る地磁気異常を見つけた。しかし、波長も短かく、振幅も小さいので、測線間隔10 mileをも、と短かくして、確かめる必要があるかもしれない。地磁気異常の走る向きは、日本海盆の軸と平行で、更に太平洋側の地磁気異常の走る向きともほぼ一致している。三陸沖の地磁気異常とは顕著に異なり、振幅も半分以下である。地磁気異常の原因を 2nd layer (海面下 6 ~ 8 km) とすると、2次元モデルで計算した 2nd layer の磁化の大きさは $0.002 \sim 0.003 \text{ emu/cc}$ で、太平洋及び他の海域のそれと半分の大きさ以下の大きさである。



地球磁場の impulsive 及変化について

水野 浩雄
國 土 地 球 院

柿岡の乞の年平均値は 1951 年と頂点として、1930 年代以来ほぼ一様に増大から減少に急転し、その後今日にいたる迄ほぼ一様に減少をつづけている。その様子は sinusoidal の変化よりも impulsive の変化と思われるものがある。Honolulu の乞も 1952 年に極大ともいえている。この方は 増大から減少へのうつりかわりは 年平均値でみる限り 柿岡の場合よりはめらかにカーブとなり、これが calm day の月平均値でみると 1952 年 7 月にするとビーコンとしている。

こうした impulsive の変化にはすでに Runcorn 以来注目されたところであるが、さらに興味深いことは上記観測所、急激な変化は 1950 年代 60 年代といつておこった極東からセベリア全体、そしておそらくは西太平洋を含む 広大な地域における isoporic chart の equal line の大変動の一部であるといふのである。1951 年にはヨーロッパからセベリアをへて 日本を含む地域の乞の年変化量は正であったが、1952 年に柿岡が負となつて以後、負の領域が次第に東から西へひろがつた。1960 年には サハリンスク・ウラジオストックと結び纏と、スレドニカシ・ヤクツク・イルツクと結び纏の中間に正と負の境界が移動した。その後負領域の拡大は急激に速度とはせぬ、1968 年には東経 60° 緯迄達した。1960 年-68 年の 8 年間に乞の isoporic chart の上で 正負領域を境する等の equal line は 優に數千 Km もの移動と云はれる。この間世界の他の地域の equal line の配置には基本的には大きな変化がないとみてよいので、極東からセベリアにかけての部分における secular change の大変動がおこることになる。

こうした変動が core origin だといふことは 3 通りないであろう。(それがって、core origin の磁場変化の pattern についてその equal line は年向 数百 Km ていどの大変動が起こりうることが判る)。

一等磁気測量の資料から一年毎に、柿岡に相対的な年変化量の pattern を之がまま、それの変動が急速なことと前半迄に示した。この因面から判るのは isoporic chart の undulation の変動であるが、isoporic chart の equal line が自身が 上昇するに急速な変動を示すことはそれほど undulation をそれほど多くして 急速な変動をすることは充分に考へられることは多い。一等磁気測量から得られた上記変動は 1950 年代に大きく、1960 年代に入つて変動が少々減っている。これは 1950 年代には極東の大変動の影響下にあり、1960 年代に入つてからは水年変化が相対的に安定期に入つたことを示していると思われる。

地磁気双極子能率の時間変化に伴なう
地球自転速度の変動

行 武 敏
東京大学地震研究所

昨年、同様の題目で、地磁気双極子能率が8000年の周期で変化した場合に期待される地球自転速度の変動について発表した。その際は、双極子磁場の変化によつて、地球核とマントルとの境界に沿うトロイダル磁場のみに着目して議論を進めた。現在と同じ強さの定常的双極子能率には、振幅がその半分の変化が重なるとして考慮されたが、変化磁場によつて核とマントルの回転速度に変化を生ずる。これはさらに定常磁場と相互作用を起し、マントルや核の回転に影響を与えたことになる。今回は、回転速度の変化に起因する電磁的結合力の変動をも考慮を入れて再検討を試みた。

地球のモデルとしては、前回同様 Bullard-Rochesterモデルを用いた。地球核は剛体の球と球殻とからなり、異なる回転速度が回転していきを考えると、双極子磁場が $e^{i\omega t}$ の形で時間変化する場合、マントル、外核および内核に対する運動方程式は次のようになる。

$$\begin{aligned} C_m \frac{d\omega_m}{dt} &= \frac{2}{5} b^3 r H_{S10}(b) \cdot \varphi h_{T20}(b) e^{i\omega t} \\ C_1 \frac{d\omega_1}{dt} &= -\frac{2}{5} b^3 r H_{S10}(b) \cdot \varphi h_{T20}(b) e^{i\omega t} + \frac{2}{5} c^3 \{ r H_{S10}(c) \cdot \varphi h_{T20}(c) e^{i\omega t} + \varphi H_{T20}(c) \cdot r h_{S10}(c) e^{i\omega t} \} \\ C_2 \frac{d\omega_2}{dt} &= -\frac{2}{5} c^3 \{ r H_{S10}(c) \cdot \varphi h_{T20}(c) e^{i\omega t} + \varphi H_{T20}(c) \cdot r h_{S10}(c) e^{i\omega t} \} \end{aligned}$$

ここで m は suffix, $1, 2$ はそれぞれマントル、外核、内核に関する量を示す。 b は核の半径、 c は内核の半径である。 $\varphi h_{T20}(b)$, $\varphi h_{T20}(c)$ は ω_m , ω_1 , ω_2 の函数である以上、 $\omega_m(t) = \omega_m(a) e^{i\omega t}$, $\omega_1(t) = \omega_1(a) e^{i\omega t}$, $\omega_2(t) = \omega_2(a) e^{i\omega t}$ とおこう。上式よりそれらの角速度を求める計算が可能となる。双極子磁場が周期8000年である。現在の強さの半分の振幅で変化する場合、マントルの角速度 (ω_m) として、 10^{-11} rad/sec の変動が期待される。位相を調べると双極子磁場が強くなるほど、回転速度は遅くなる。

以上のことをから、双極子磁場が周期的に変化する場合の地球自転速度変化の特徴を以下に示す。

- 1) 過去約2000年間、双極子能率は減少しつゝあるから、それに伴なつて地球自転速度は加速されつつある。
- 2) 双極子磁場が sinusoidal な変化をしていきをすれば、地質時代において、平均すれば電磁的偶力は3倍速は零となる。
- 3) 地球核とマントルとの間の角運動量が保存されるので、月の軌道には影響を与えない等が得られる。

一方地球自転の観測からは、過去約2000年後、潮汐減速を除くと地球自転は加速するが、その大きさは潮汐減速と同じ程度であると考えられること。また地質時代にまで遡ると自転速度の変動としては潮汐摩擦による減速の外に顕著であると推定される。上に得られた計算結果は、これらの観測事実をうまく説明できるように思われる。

ターナモ理論

並川 富一
阪市大理

前回までに ターナモ方程式の一般性質を論じ

$$\nabla \times (\nabla \times \mathbf{B}) = 0$$

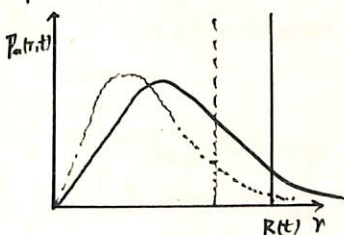
の条件下で curl free velocity field ではターナモ方程式が自己共轭内起り方程 (v: 速度, B: 磁場) Toroidal field は星の横吸収で維持出来ずと述べた。又 poloidal field は吸収で維持出来ずと述べた。星は小さく、場が大きくなると磁場の増加、吸収 = > 減少がある。よしと吸収は poloidal field を維持出来ない可能性があるかが問題となる。Kato, Nakagawa はバーカリ理論よりの Toroidal field は磁場が大きいと最大3万5千ガウス、磁場が進歩する間に吸収が増加すると容易に観測磁場が説明出来ると言った。ターナモ理論は最近10年内、著しい発展に力を貸す。

$$\frac{\partial \mathbf{B}}{\partial t} = \nabla \times (\mathbf{v} \times \mathbf{B}) - \gamma \nabla \times \nabla \times \mathbf{B}$$

$$\gamma = \frac{1}{4\pi\mu_0\alpha L}$$

B: 磁場, v: 速度, μ : 磁率, α : 電気伝導度, L: 系の大きさ

poloidal field



$$V(r,t) = \frac{\gamma \left(\frac{\partial T_n}{\partial r} - \frac{n(n+1)}{r^2} P_n \right) - \frac{\partial P_n}{\partial t}}{\frac{\partial P_n}{\partial r}}$$

$$\frac{\partial P_n}{\partial r} + \frac{n P_n}{R} = 0$$

Toroidal field

$$V(r,t) = -\frac{\dot{R}(t)}{k(t)r} r$$

$$\frac{\partial T_n}{\partial t} + V \frac{\partial T_n}{\partial r} + \frac{\partial V}{\partial r} T_n - \gamma \left(\frac{\partial^2 T_n}{\partial r^2} - \frac{n(n+1)}{r^2} T_n \right) = 0$$

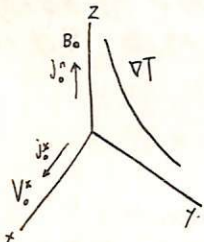
$$L = \frac{R(t)}{10} \quad \text{と} \quad V > \frac{1}{4\pi\mu_0\alpha L} \quad \text{と} \quad T_n(R,t) = 0 \quad T_n = A(t) \sqrt{k\mu_0} J_{n+1}(kR) \quad \text{磁場は増加} \quad V \sim 10^3 \text{cm/year}$$

2.2×10^{-8} 年で $\frac{3}{10} R(t)$ 吸収し $B_T \sim 2.5 \times 10^4$ ガウスとなり充分観測される磁場を説明出来る。

Core-Mantle 境界の異常拡散過程による
熱発生とその経年変化について

田中 稔
国土地理院

前回(1970年春), 電磁流体力学の cross current (or field) instability から得られる Marginal State を用い, 異常拡散係数を求めながら, 地球内部のエネルギー一輸送について論じた。その結果, コア-マントル境界付近では磁場の西方移動を例えば $1.75 \cdot 10^{-2} \text{ cm/sec}$, 温度勾配を $4 \cdot 10^{-6} \text{ K/cm}$ とすれば特性周波数 ν_o^{\perp} は $\nu_o^{\perp} \sim 7 \cdot 10^{-8} \text{ sec}^{-1}$ であり, これは Chandler 運動程度の時間的スケールをもつてなることからかである。又空間的スケールは重力異常として現わると仮定すれば凡て $2 \cdot 10^6 \text{ cm}$ が期待される波長を $5 \cdot 10^7 \text{ cm}^{-1}$ としよう。拡散係数 $D_e \sim 2.8 \cdot 10^5 \text{ cm}^2/\text{sec}$ を得る。熱発生率中には電子密度比 10^{-3} , 電子密度 $N \sim 10^{24}$, $\chi \sim 10^{-16}$, とすれば $q \sim \frac{N}{N_o} N^o D_e \frac{dT}{dr} \sim 1.2 \times 10^5 \text{ erg/cm}^2 \cdot \text{sec}$, 又この時粘性係数 η は空間的スケール比を $R^3 \sim (2 \cdot 10^6)^3$ とすれば $\eta \sim 10^{21} \cdot \text{c.g.s.}^{-1}$ を得る。エネルギー一束 $W \sim R^2 q \sim 1.12 \times 10^{18} \text{ erg/sec}$ となることからかである。



今回は、重力～圧力、コリオリ力等を無視して、最も簡単にしたモデル(左図)を用い、上記指定した時間的・空間的スケール内の値を使、て電磁流体力学の式を解き、数值計算してみる。報告する。

解いた式は次の如し

$$(1 - \frac{G_A^2 k_z^2}{\omega^2})(1 + i \frac{\chi k_z^2}{\omega^2} - \frac{\chi k_z^2 \nu_o^{\perp}}{\omega^2} + \frac{\chi k_z^2 \nu_o^{\parallel}}{\omega^2}) - i(1 + i \frac{\chi k_z^2}{\omega^2}) \frac{G_A^2 k_z^2}{\omega^2} (\nu_o^{\parallel} - \nu_o^{\perp}) = 0$$

$\omega \ll \chi k_z$, $G_A: T W \neq 0$ は二波, $k_z: Z$ 方向の波数, χ : 熱伝導率, 波の励起周波数は $\nu_o^{\parallel} = \frac{C E_o^{\parallel}}{B_0} \frac{d \ln T}{dr} \frac{k_x}{R_z}$, $\nu_o^{\perp} = \frac{C E_o^{\perp}}{B_0} \frac{d \ln T}{dr}$ である。

バルーン高度における OH 分子のスペクトル

牧野忠男、萩原雄介
立教大学 理学部

夜光赤外線、波長 $1\mu \sim 2\mu$ のスペクトルがバルーンによって高度 $10\text{km} \sim 28\text{km}$ で分解中 ($\Delta\lambda$) 約 250\AA で測定された。測定結果によれば、この波長域での発光の大部分を示す OH 分子の振動励起状態は $v \leq 9$ に付いて一様であると考えられる。

又、 O_2 による infra-red atmospheric band; 1.27μ もかなりの強度で観測された。以上の結果は Gush and Buijis [1] によるものと概略一致している。

夜光強度のこの波長域の値は $\approx 10^{-8}\text{W/cm}^2\text{.step}\mu$ とこれまでの測定でわかつており、この値をもとに回折格子を使用したモノクロメータに PbS を検出器として使用した観測装置をつくった。波長は水銀灯により、絶対強度は黒体輻射炉を用い、計算を併用して、観測器の校正を行つた。

測定は京都市、東京大学大気球実験所より 1970 年 9 月 5 日 22 時 53 分放球により行なわれ、下層水蒸気の吸收をさけて高度 $10\text{km} \sim 28\text{km}$ 間に得られたデータを解析した。

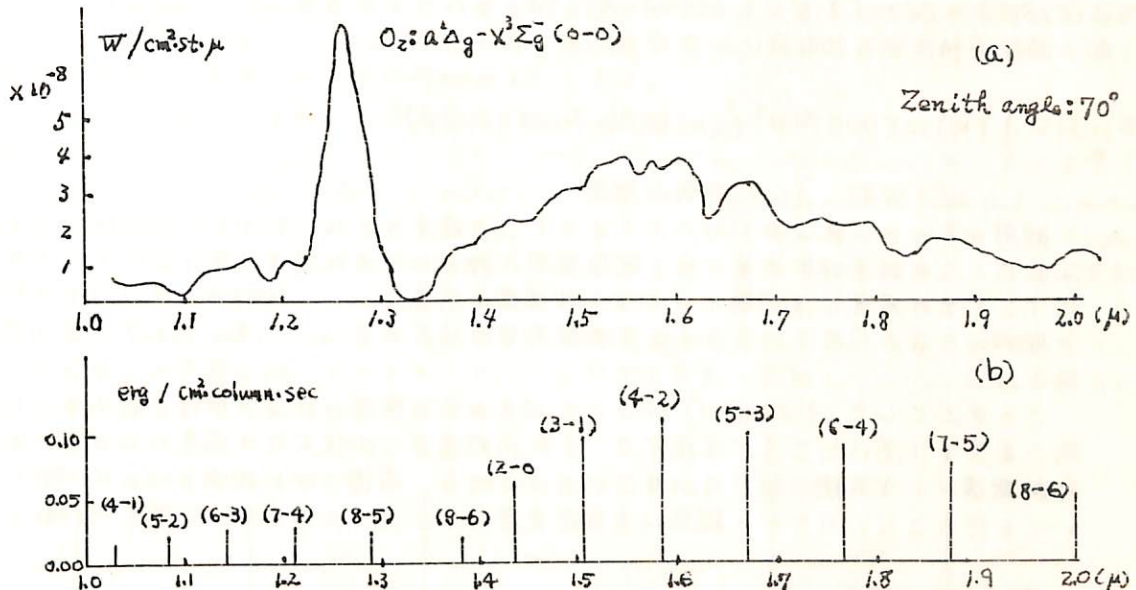


図 a は測定結果で、図 b は Chamberlain-Smith [2] による OH* が生成されたときには $v=9$ のあたりの単位に一様に生成され、これが cascade 的に落ちるとして得られた期待入力スペクトルである。計算には Heap-Hergberg [3] による OH* が生成されたときには $v=9$ にすべてあり、これが cascade 的に落ちるとしたものが求められ、測定結果には合わない。

Heap-Hergberg によれば (2-0) band は (9-6) の半分以下の強度になるが Chamberlain-Smith は図 b のように逆である。

[1] H.P. Gush and H.L. Buijis; Canad. J. Phys., 42, (1964), 1037

[2] J.W. Chamberlain and C.A. Smith; J. Geophys. Res., 64, (1959), 611

[3] H.S. Heap and G. Hergberg; Z. Physik, 133, (1952), 48

中緯度における上層大気中の OH分子の回転温度

鈴木勝久
東大理学部

上層大気中のOH分子の回転温度の観測については、すでにG.J.KVIFTE(1), N.N.SHEFOV(2)によってまとめられている。またJ.F.NOXON(3)による飛行機を使った観測があるが、観測地が主に中緯度以北に限られ中低緯度の観測は不足している。また回転温度の観測はOH分子の回転状態のエネルギー準位への分布が中性大気と熱平衡状態にあり、BOLTZMANN分布をしているとすれば中性大気の温度を推定することができ、ロケットで直接測定のできない中性大気の温度の情報を得ることができるものと期待される。

またOH分子の生成と励起の機構については、まだ不明の点があり、振動準位の違う遷移にともなう回転温度を求めるには生成励起機構の解明にも役立つ。

観測はエバート型のモノクロメータと光電子増倍管を組合せ、光子計数法によった。(4) 観測した波長域は、スペクトルの強度と光電子増倍管の感度の関係から9-3(6236Å—6420Å), 6-1(6465Å—6667Å)のバンドである。

回転遷移によるEMISSIONの強度は次の式で求められる。

$$I(K) = \text{CONST} \cdot \nu^4 i(K) \exp(-F(K)hc/kT)$$

ν : 波数, $i(K)$: 振動子強度

観測から、Kの異なるローブランチのラインの強度をあめ、 $I(1)$ と $I(K)$ の比からTを求めた。この結果昨年10月から、現在までに観測した回転温度はほぼ240K~300Kになる。この温度とほぼ等しい中性大気温度の高度は105~115kmで、現在ロケット観測から求められているOH分子の発光層の高度(80~95km)よりかなり高くなる。

この原因として(9-3),(6-1)バンドスペクトルの強度のピークが従来のロケット観測の高度より高いところに存在する、また回転温度と中性大気の温度がOH分子の生成励起機構により平衡状態にないなどがあげられる。今後、地上観測を他のバンドについても行うこと、ロケット観測による発光層のプロファイルの観測が必要と思われる。

REFERENCES

- (1) G.J.Kvifte, (1967) P.S.S. 15, 1515
- (2) N.N.Shefov, (1969) " 17, 797
- (3) J.F.Noxon, (1964) J.G.R. 69, 4087
- (4) 鈴木勝久, 小川利祐, 審松隆夫, 第47回講演会予稿集(1970)

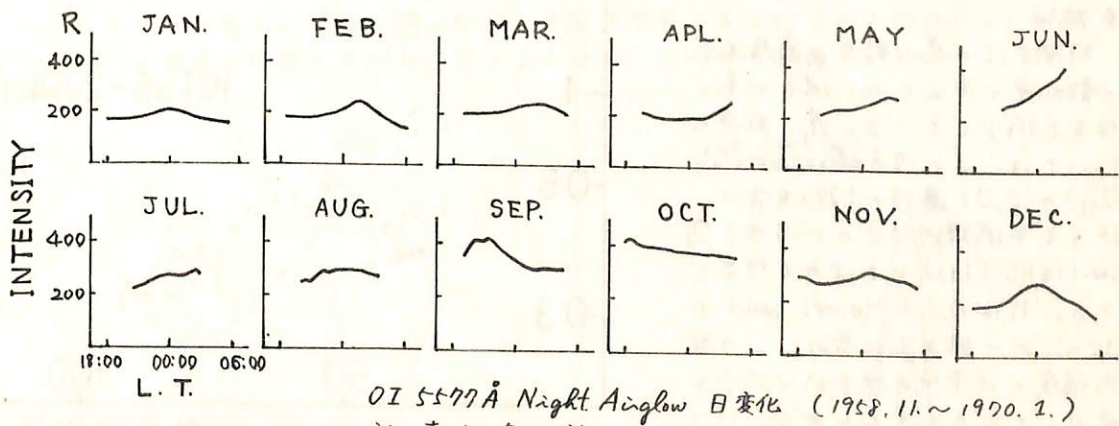
O I 5577 Å 大気光日変化の季節的特徴

高橋忠利
東北大、理

夜間大気光の中でも、O I 5577 Å は多くの Station で長期に亘り観測されて来た発光線であり、ロケットによる高度分布の測定も含め、その時間的、空間的な変動の様相についてもある程度明らかにされて来ている。一方この発光線の強度の変動についての理論的考察もその基本的には考え方が等松氏等によりまとめられており、その後も種々の観点から上層大気の Dynamical 性質と Airglow 強度の変動について検討が加えられている。しかし実際に観測される変動を種々カパラメータを考慮して説明するのはかなりむずかしいことである。

今回は主に遠刈田観測所での過去 11 年間のデータを用いてその時間的変動を中心とした特徴をまとめて見た。統計的に見ると変動のパターンには季節的な特徴がかなりはつきり現れている。しかし個々の場合を割約する程強くではなく、変動の種々な要因が複雑にからみ合って実さりの変動となつてしていることを示していると思われる。興味深いのは冬期にMidnight Maximum が見られ、Maximum 値がその日の平均値に対する比が 12 月に最も大きくなること、Maximum の現われる時間が 11 月から 3 月にかけて真夜中または夕側から朝側へ shift する傾向があることである。又 Day to Day の変化、空間的、時間的な変動の激しさ等も調べたがこれ等にも季節的特徴が読みとれる。

こうした Airglow の変動に上層大気の Dynamical process が与えていていることは疑いないが一口に Dynamical effect と云っても vertical motion, eddy diffusion 等による O 原子の vertical transport, atmospheric circulation, tidal wave, gravity wave, turbulent irregularity 等々、その成分は多岐にわたっている。これらのどういう組み合せが実際の Airglow 強度変化を説明し得るかは将来に残された課題であるが、季節的に特徴のある種々の変動典型がそれである種の Dynamical process によるとの期待はより多くなる。従って上層大気の Dynamical process 自体にも季節的な特徴があると云える。これらの問題についてはまだ多くの問題が残っているが、5577 Å 夜間大気光の変動についての解釈も結局はこじれた問題と平行に進めて行く必要がある。



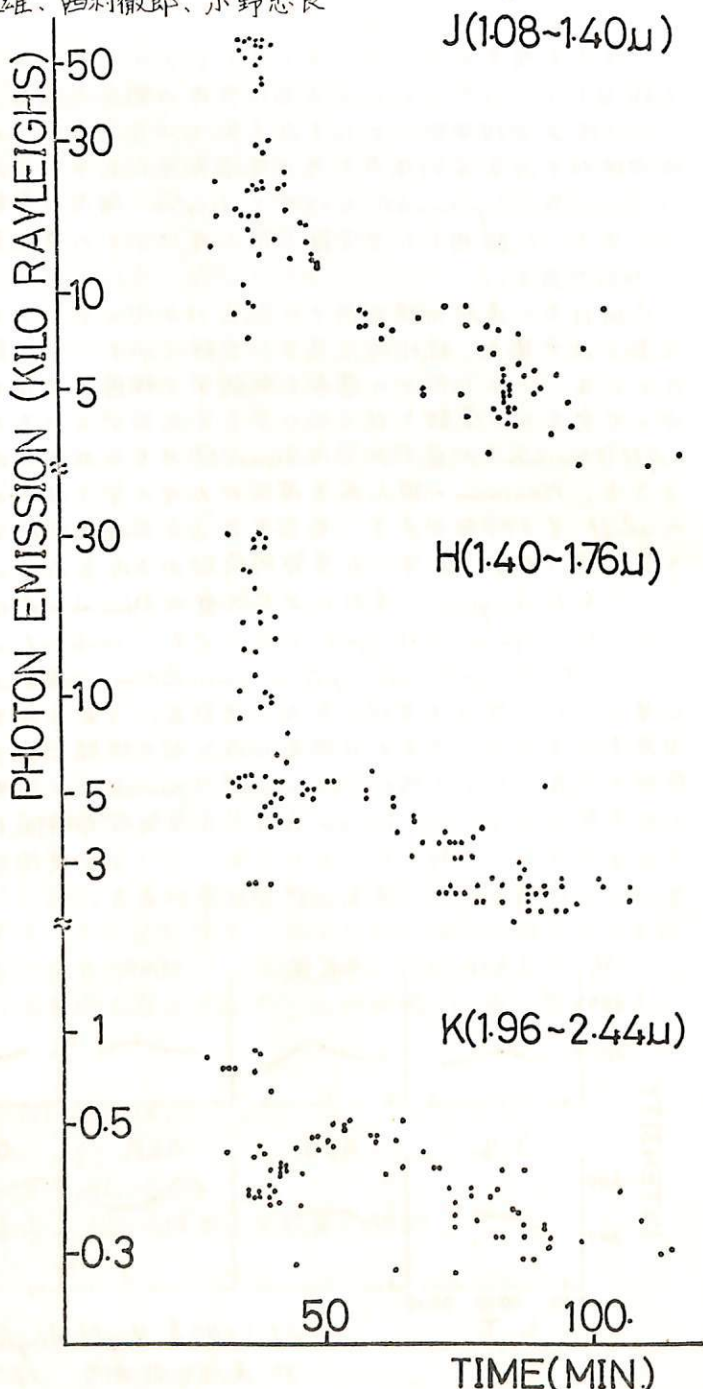
赤外夜光の観測(II)

早川幸男、伊藤浩式、松本敏雄、西村徹郎、小野忠良
名大理

観測ロケット K-10-4 号機に搭載した黄道光赤外線観測装置により観測された夜光発光層(同じ著者、日本地球電気磁気学会第48回講演)についての以後のデータ解析の結果を報告する。

解析の過程はロケットの各ステップ毎の発光強度が最高の時刻を読み、発光層の高度分布を仮定して計算した発光点時刻の変化と矛盾のなくなるよう、ロケットの姿勢(高度、飛翔角、スピンドル相、アリセッション相)の関係を決定した。この姿勢に基き、観測された発光層の発光位置を発光高度での日没後の経過時間として求めた強度変化を右図に示す。波長域により時間変化の様子がやや異なっているのが認められる。いずれも始めは時間変化の急な部分が見られるが、その後の減少の様子は J では半減期は約20分、K では約50~100分、H ではその中間くらいである。

時間変化の急な部分は高層大気の散乱光と考えられ、波長が長くなると減少している。遅い成分については、J の波長域は O_2 の ($^1A_g - ^3\Sigma_g$) の (0,0) 遷移の 1.27μ を含み、従って半減期約20分のいわゆる O_2 twilight flash とよばれる現象である。K は OH の Meinel band の $\Delta v=2$ の一部を主に含み、この発光強度の日没後の緩やかな減少を表わしていると考えられる。H は O_2 の (0,1) 遷移の 1.58μ と、OH の Meinel band の $\Delta v=2$ の一部を含み、中間的な様子を示している。 O_2 の発光高度は 60km 以下、OH の発光高度は 80km 程度となっている。



酸素赤線薄明光

奥田光直・三沢清敏
(弘前大・教育) (山形市)

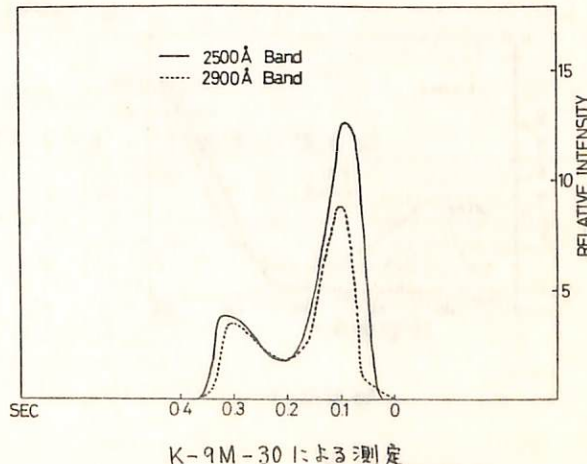
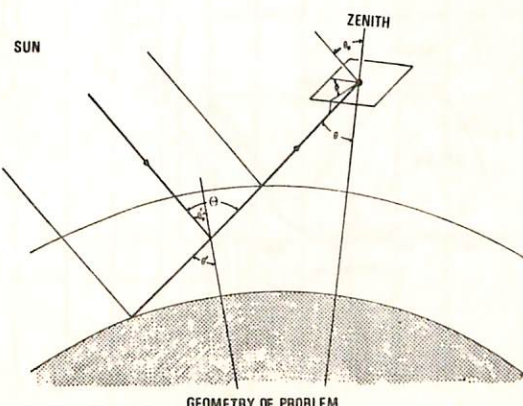
酸素赤線薄明光を解析した。薄明増光は太陽天頂角が約 105° のときに始まり、約 $12 \text{ Rayleigh}/\text{deg}$ の増光率を示した。これらの値は季節によって変化し、equinox は極小(太陽天頂角)及び極大(増光率)とも半年周期が卓越している。

又、冬期の薄明前増光現象が磁気逆転から飛来する光電子の効果として説明されるところから、薄明増光には local 光電子が寄与していることが考えられるので、その効果をたしかめたために、冬期の薄明前増光現象と夏期の薄明増光現象の比較を行ない、理論的考察を通して、効果の大きさをたしかめた。

中間紫外アルベドの観測

渡辺 隆・小川 利紘
東大理学部

太陽中間紫外領域の放射($2000 \sim 3000 \text{ \AA}$)は主に大気成分の Rayleigh 散乱及び大気中の微量成分であるオゾンの吸収(Hartley Band)をうける。このことから大気層の上部(数百 km)から地球側を見下した時に観測される中間紫外領域の散乱光がオゾン分布の情報を含んでいることがわかるが Green(1964)等により平面大気近似による散乱強度の計算が行なわれている。前回の学会では球面大気の場合の散乱光量を計算しえたオゾン分布との関係を調べたが、今回は今年1月に行なわれたロケット観測(K-9M-30)の結果と比較しオゾン分布の deduction について議論する。



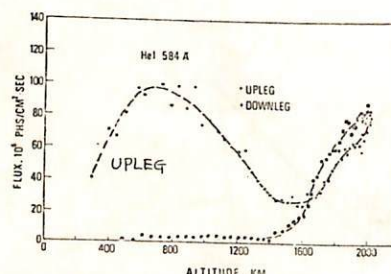
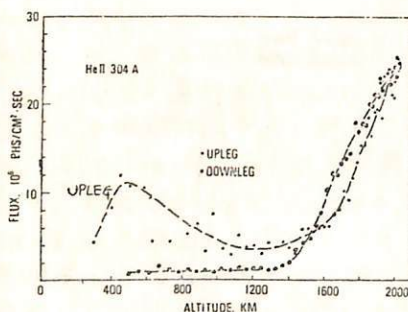
He 584Å, He⁺ 304Å グロー

— L-3H-5号機による観測 —

小川 利紘・等松 隆夫
(東大理・地物研)

L-3H-5号機に搭載した極紫外輻射測定器によって、高度 300 KM から 2,017 KM にわたり、極紫外グローの観測を行なった。検出器はアルミニウム、ビスマス、インジウムの三種の薄膜フィルタとフレキシブル・チャネルマレ470ライアを組合せたもので、アルミニウム・フィルタは He⁺ 304Å と He 584Å に、ビスマス・フィルタは He 584Å に、インジウム・フィルタは波長 700 ~ 1,000Å のバックグラウンド領域に感度を持っており、データ処理によって、He⁺ 304Å と He 584Å の強度を分離して定量することができた。この結果、次の点が明らかになった。

- (1) 上昇時の測定値は、304Å, 584Å とも、それぞれ 700 KM, 500 KM 附近にピークを持つ分布となる。ピーク強度は各々 約 10 RAYLEIGHS, 100 RAYLEIGHS である。これは太陽輻射を受けている折からの散乱とすれば説明できる。ただし、304Å は散乱光を直接に、584Å はこれがさらに多重散乱をしたものと測定している。
- (2) 下降時は 304Å, 584Å ともほぼ一定値で各々、約 1 RAYLEIGH, 2 RAYLEIGHS である。これは太陽輻射が散乱を受けて夜側にまわりこんだものと解釈してもよいが、高さ変化がほとんどないところから、むしろ惑星間空間・磁気圏からのグローと見做しうる。なおこの輻射は高度 150 ~ 200 KM で $0.2 \text{ 個}/\text{cm}^3 \text{ sec}$ の電子生成率を与える。
- (3) 高度約 1,400 KM 以上では放射線帶粒子を測定している。
- (4) 584Å の強度分布からスケール・ハイトは $350 \pm 60 \text{ KM}$ 。これから 温度は $1,100 \pm 200^\circ \text{K}$ となる。584Å ピークの現われる高度ではヘリウム密度は $(1.0 \pm 0.2) \times 10^6 \text{ cm}^{-3}$ (720 KM での値) となる。
- (5) 304Å の強度分布から ヘリウム・イオンのスケール・ハイトは $\frac{\text{高度}}{410 \pm 70 \text{ KM}}$ となる。電子温度とイオン温度の等しい場合の核散乱平衡を考えると、イオン温度は $1,100 \pm 200^\circ \text{K}$ となり、1500 KM 附近では ほぼ イオンと中性は等温といふことになる。



Qスイッチルビーレーザ・レーダによる上層大気の観測

増田悦久 皆越尚紀 五十嵐隆
(郵政省 電波研究所)

1. まえがき レーザ光のレーレー散乱およびミー散乱を利用して上層の大気密度およびエアゾル層を観測するために、Qスイッチルビーレーザによるモノスタティック方式レーダ装置を試作したので装置の概要と試験観測結果を報告する。

2. 装置と動作特性 装置の構成と動作特性を図1と表1に示す。Qスイッチルビーレーザの出力は尖頭値をあえてエネルギーを大きくするために、10ルス全巾(複数パルスから成っているので)は比較的長くしてある。送受信間距離約80cmのモノスタティック方式で、ルビーレーザからの螢光および近距離からの強い散乱光を遮光するために、送信部および受信部に繰返し2.5 msec、ゲート時間200μsecのシャッターが取付けである。受信部の表示には光電子計数方式を用いている。

3. 観測結果 図2に1971年2月8日～9日に観測した結果を示す。送信エネルギーは約3 Jouleで、計数時間は16.7 μsecで5kmごとに計数した。計数時間中の背景光の平均計数値は $\bar{N}_b = 0.0135$ であった。送信パルス178回の繰返し得られたデータを平均して粒子密度に比例した量[平均光電子パルス計数値 $\bar{N} \times (\text{高度} \text{ km})^2$]を高度に対して示している。図中の数字は光電子放出の統計的ゆらぎ(ボアソン分布)のサインを離音としたときのS/Nを示している。

4. あとがき 1) 25～50kmの範囲で、標準大気によく一致し、34kmおよび43km付近にエアゾル層らしきものが観測された。2) 60km付近まで、S/N=1以上の信頼性で大気密度が観測された。3) 大気中の往復伝搬透過率を60%と仮定すると、本装置の送受信光学系の透過率は約6%と見積られる。4) 本装置の性能および問題点について、講演の際に補足したい。

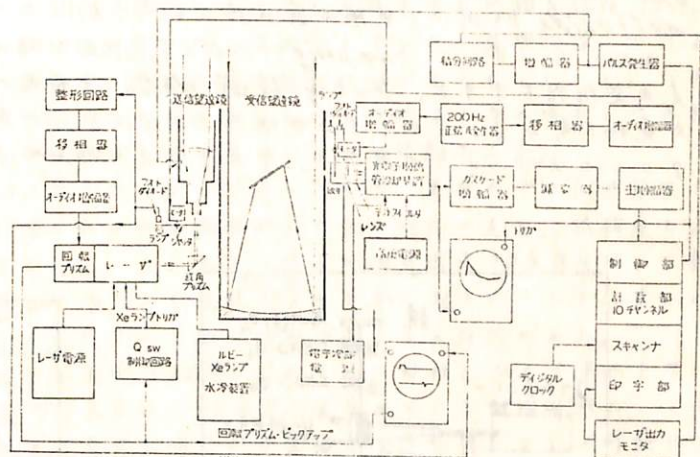
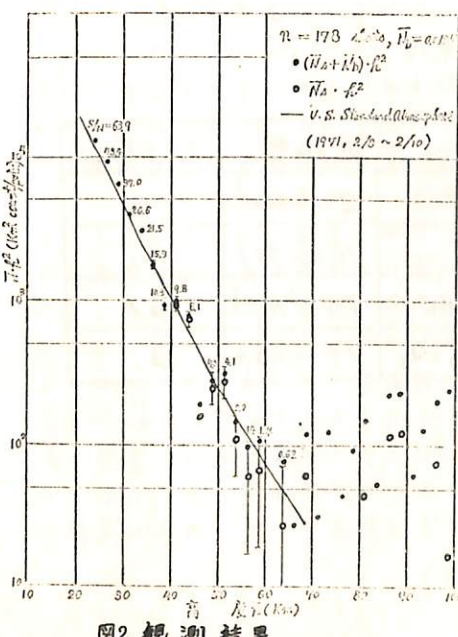


図1 レーザ・レーダ装置の構成図

レーザヘッド	ルビーピーク長	150mm×15mm φ	受信半径	スコート式有効口径 900mm
	波長	693 Å	干涉フィルタ	希臘膜 20 Å, 透過率 45%
	Qスイッチ	144.5MHz (2倍角を折角) 無電子増倍管		EMI-9356 QB S-20, 管子端子 3% 容量
	電極	1μsec 11V	電子管	電子管は 相対温度で 40°C 以上冷却
	電極間隔	1.15mm		負荷抵抗 500Ω, 50 pF
	電極面積	5mmrad 11V	電球	電球は 30 kHz～40 MHz, 暖調度 60 dB
ポンピング	400W放電管	FX-45 C-6 × 2		
	エネルギー	約 2k. Joule × 2		
	出力エネルギー	約 5 Joule MAX		
送信回路			ガリレオ式	
			口径	260mm
			鏡	8

↑ 受信部 ← 送信部

表1 動作特性

上層大気成分観測に用いる Dye Laser の特性(2)

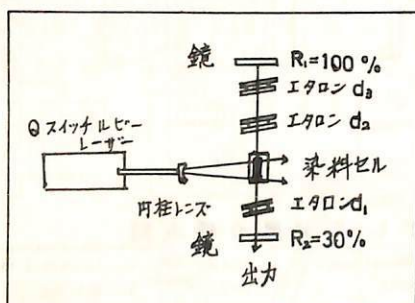
内野倫 松尾總 広野求和

九大理

波長 λ_1 は O_2 の A バンドによる吸収を受け、 λ_2 は受けないような二波長レーザーである。これは、 O_2 の A バンドによる吸収の様子で、基底状態が全角運動量 J によってボルツマン分布していることと、 J の値による遷移確率によってきまるてくる。 $J = 35 \sim 37$ ($7710 \sim 7718 \text{ Å}$) の吸収線の中心 (line 17 collision によってひろがっているとする) の optical thickness は、地表面上 5 km ぐらいいある (これを weak absorption とよぶことにする) のに対し、 $J = 4 \sim 5$ ($7627 \sim 7628 \text{ Å}$) の line のそれは 40 m ぐらいいある (strong absorption)。したがって特に地上 5 km 付近まで多く存在するエアロゾルの問題を考えるとさ、weak abs. では line の中央における吸収が、strong abs. では中央ではなくてすその方が、観測にきいてくることになる。この度 λ_1 は $O_2(h)$ の密度を求める式に影響してくれる。weak abs. の場合は、前の講演でのべたものとかわらないが、その実効的な吸収断面積 σ_{O_2} は、温度に対して敏感である ($\Delta\sigma_{O_2}/\sigma_{O_2} \sim 8 \times 10^{-4} T/T$)。逆にこのことに注目すれば、温度によってあまり変化しない strong abs. でまず O_2 の密度を知り、次に weak abs. によって測定したものと比較することによって大気密度を知ることができるだろう。しかし誤差の問題については検討が必要である。

いずれにしても、狭窄域で大出力の二波長レーザーをつくる必要があり、前回と同じく Dye としては、3,3'-Dimethyl-2,2'-Oxatricarbocyanine iodide (溶媒: Dimethyl sulfoxide) を用いて実験を進めたので、それについて報告する。

ルビーレーザーで pumping ($\sim 0.6 \text{ J}$, 10 ピーク $\sim 40 \text{ msec}$) しただけで $18, 200 \sim 300 \text{ Å}$ の発振幅を示すが、Fabry-Perot etalon を順次一枚づつ加えていくたとき、2~3 本が発振に寄与し、そのときの発振幅とエネルギーの関係は図のようであつた。なお d はエタノンのスペーサーの厚さで、それと $d_1 = 20 \mu\text{m}$, $d_2 = 150 \mu\text{m}$, $d_3 = 1 \text{ mm}$ である。



DYE LASER 装置

	発振幅	エネルギー (mJ)
—	200~300 Å	61
d_1	16.6~20 Å	47
$d_1 + d_2$	2.2~4.0 Å	26
$d_1 + d_2 + d_3$	1.9~2.3 Å	20

電離層における半年変化 II

米沢 利之
電波研究所

前回の報告においては E 層ピークの正午の電子密度に小さい半年変化成分が存在する二とを示し、その特性が F2 層ピークの電子密度の半年変化の場合とかなり異なる二とを述べた。たゞ十分時間がなくて、調べた観測所の数は 20 度程度であり、とくに高緯度地方の観測所は少なかった。今回は調べた観測所の数を増して、E 層の場合 32 個所、F2 層の場合約 40 個所のデータを解析し、とくに高緯度観測所をなべく多くする二とについた(たゞ F2 層の場合にはデータ不足のため、互に接近して位置した数個所の観測所を一まとめにして考察した場合もある)。結果は前回の報告と同じでとくに目新しい点はないが、たゞ高緯度地方の特性が前よりいくらかはつきりした。前と重複する点もあるが、得られた主な結果は次の通りである。

1. E 層の場合には半年変化の振幅は小さく、全観測所につき平均すれば年平均値の 3.6 % であるが、高緯度地方では振幅は増大し、例えは Kiruna では 9.3 % におよぶ。この百分比の値は太陽活動によりあまり変化しないようである。

2. E 層半年変化が極大を取るのは、全観測所につき平均すれば 3 月 (9 月) 21 ~ 22 日頃で、春秋分とほとんど一致する。この極大時期の太陽活動ならびに緯度特性は統計的誤差のためにはつきりしない。

3. F2 層の場合には半年変化の振幅は平均すれば正午でも真夜中でも年平均値の 20 % 程度で、E 層の場合よりもはるかに大きい。振幅は正午でも真夜中でも地磁気緯度 15 度辺りで最大になつていて、高緯度では低緯度に向つて減少している。年平均値との比をとっても類似の傾向が見られると、振幅とのものの場合程にはつきりしていない。それは振幅と年平均値の緯度に伴う変化が似ているためである。この比は正午の場合には太陽活動度にあまり依存しないが、真夜中の場合には多少はいくらか複雑である。

4. F2 層の半年変化は平均すれば正午では 4 月 (10 月) 18 日頃、真夜中では同月末頃に極大値を取つてゐる。しかし緯度が増すにつれて位相がおくれの傾向があり、低緯度と高緯度では又ヶ月も位相差がある場合もある。なお正午の場合は地磁気緯度 10 度程度以下の観測所だけは例外で、上述の傾向に反して極大が中低緯度下りも早く起つてゐる。また正午でも真夜中でも太陽活動度が高くなるにつれて極大時期が早くなる傾向がある。

5. 以上の解析結果から、E 層の半年変化は F2 層のそれと多くの特性をかなり異にしていることが知られる。前回の報告で述べたように、F2 層電子密度の半年変化の特性は、それは超高层中性大気温度までは密度の半年変化と何等かの密接な関連を持つてゐる可能性を暗示しているのであるが、E 層の場合には少なくとも見掛け上はそのような関連は暗示されない。従つてこれら二つの半年変化は全く別の機構により引き起こされてゐるものと考えたくなりであるが、現段階ではこれを結論するには早計であるかも知れない。たゞ G.E. Cook が主張するように、90 km の高さにおいても因数 1.25 にも及ぶ中性大角の半年周期の密度変化が存在するならば、それは E 層電子密度変化にいくらかの影響をおぼすのではないかと思われるるのであるが、この解析の結果ではそれが討する積極的な証拠は何も得られないがことを付記する。

電離層嵐の汎世界的な変化

大林辰蔵（宇宙航空研究所）

磁気嵐にともなう下層電子密度の変化に関する研究は、すでに古典的な問題として知られています。しかし、その理論的解釈はまだ不完全で、磁気圏との結合についても、よく理解されていない。電子密度の高緯度での減少、低緯度での増加に関する一般的傾向は、100 km レベルでの大気環流による組成変化として説明したが、今回は嵐時の進行にともなってそれがどのように発達するかを知るため、プラズマ圏での実測結果とも比較しながら f_0F2 変化の L-Tst 図の解析を行った。

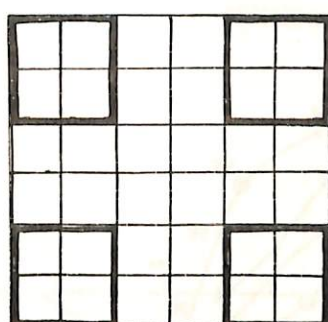
磁気嵐の進展による中・高緯度の電子密度の減少はプラズマ圏の全域におよんでいて、嵐効果は時間と共に低緯度帯に移動する。これは大気の加熱が組成変化とともにたらし、 $[N_2]$ 、 $[O_2]$ の増加にともなって電子消滅が促進される。低緯度における電子密度増加は磁気嵐の初相から主相にかけて起り、その原因は極光帯から吹き出す中性大気風系によるイオン・ドラグ効果および $[O]$ の下降流によるものと推察される。赤道地帯は電流ジェットが弱められることによる赤道異常が解消される効果である。

乗鞍における Small Air Shower の観測

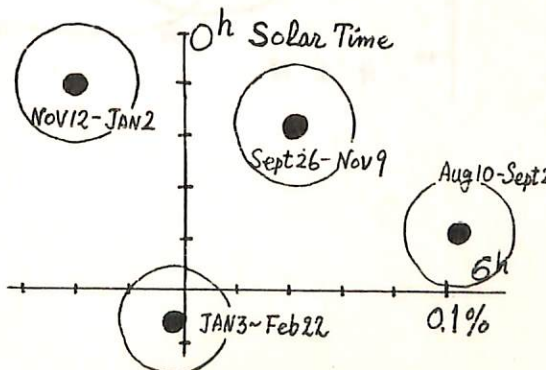
名大理 理研* 上野裕幸 藤本和彦 藤井善次郎* 長島一男
近藤一郎 横原光津子

高エネルギー宇宙線の恒星時変化については、 $10^{11} \sim 10^{12}$ eV領域で地下宇宙線从中間子の観測があり、 $>10^{13}$ eV領域では、Air Shower の観測がある。これらは大きなエネルギー領域に従事し、Heliomagnetosphere の構造、太陽系と星間空間との境界层、更に高いエネルギー領域では、星間空間の構造を研究する有力な一つの手段である。

空気中で発生する高エネルギー宇宙線シャワーの観測は、1950年代の前半に、数多く報告されているが、装置が小型なために、測定精度が不充分で、又装置の安定性にも疑問があり、宇宙線の恒星時変化を決定し、空間・構造を議論する迄には至らなかった。測定装置の性能に対する要請として、その Counting Rate が $>10^8 \text{ counts/year}$ であること、安定性は 1 年平均で $\sim 0.01\%$ の精度で測定出来ること、更に大気の変動の影響を除去するため、入射方向の異なる観測の時間変化の差を大気外方向に沿った変化に出来ることが求められる。この報告する Small Air shower の観測は、上記要請のすべてを満たしているわけではないが、 10^{13} eV領域での宇宙線の異常性について、何らかの Information を得ることが出来ると言え、乗鞍にある宇宙線从中間子計の一部を使用し、1970年8月から観測を始めたものである。



中间子計は Detector の大きさが $1 \text{ m}^2 \times 36$ で上、下 2 层あるが、図の如く、上層の四隅の大きさ 4 m^2 、4 個を使用し、これらのうち、何れか 3 個に同時に >1 particle が入射したという、非常に低い粒子密度の空気シャワーを計数している。 $(5 \times 10^4 \text{ counts/hour})$ この結果を累積数は $-0.7\%/\text{m}^2$ で従来の空気シャワーの値と一致している。



太陽時変化を、(1970年8月から 1971年2月まで) 4期間に分けて図に示した。これは観測結果をそのまま示したもので、冬期に積雪の影響、図によく観測誤差、上層気温の問題等、装置の不安定性等を考慮して、Data の選択を必要とするかい、反時計回りに回転しており、恒星時成分の存在を意味している。この検討は、少くとも 1 期間の DATA がえた段階で実行出来ると考えている。

地下 50 M.W.E における宇宙線の強度変化

～え瀬匡興^{**} 森 覚^{*} 安江新一^{*} 鹿坂修二^{*}
信大教養^{**} 信大理^{*}

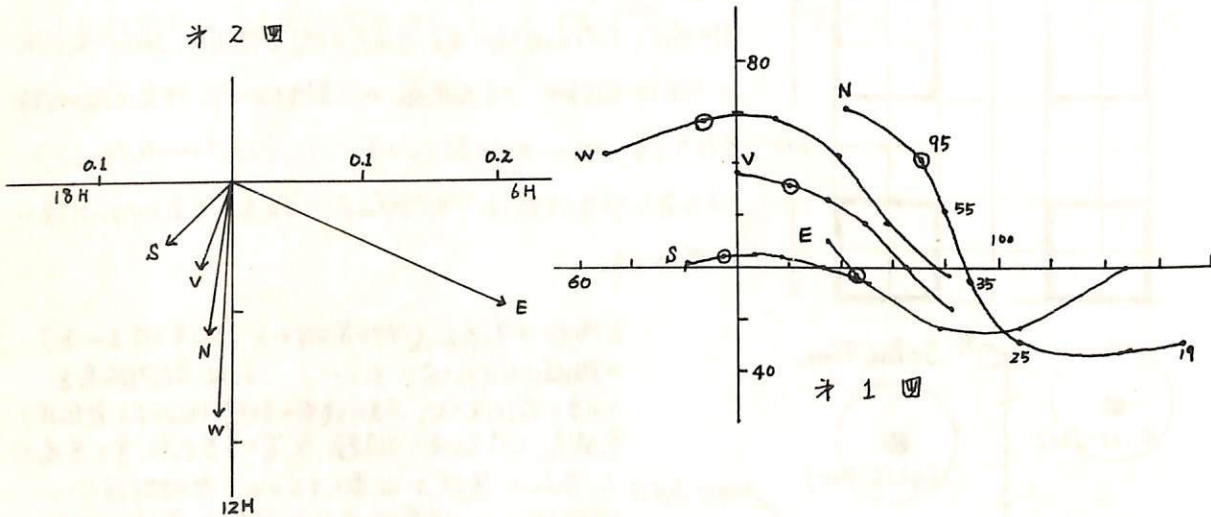
1970年6月より地下30M.W.Eにおいて、面積4m²のプラスチックシンチレーターを用いたMESON-TELESCOPEで宇宙線の強度変化を観測中(約3ヶ月間)であったが、落盤のためやむを得ずMESON-TELESCOPEを50M.W.Eの地盤に移転し、1970年11月より連続観測を再開した。又1971年4月より面積を6m²に拡張し現在観測中である。記録方法もTAPE PUNCHと写真記録を併用している。

第1図は天頂角40° 方位角30°(N方向よりE方向にとる)における各成分の軌道である。第2図は11月19日～3月31日までのうち100日のデータを用いた太陽時日変化の解析の結果である。各成分の位相は軌道より期待されるものと必ずしも一致しないが、これららの原因については検討中である。表1に4m²と6m²の特性を示す。その後の観測結果もあわせて報告する予定である。

表 1

COMPONENT	ZENITH ANGLE (°)	OBS. COUNTING RATE		STANDARD ERROR	
		4 m ²	6 m ²	(D-V) 5 hr	%
SINGLE	—	1.3	2.3	0.09	0.06
V	0	2.8	4.4	0.17	0.14
E	42	0.56	0.77	0.4	0.33
S	42	0.35	0.72	0.5	0.34
W	42	0.72	1.1	0.3	0.28
N	42	1.3	2.3	0.76	0.19

第2図

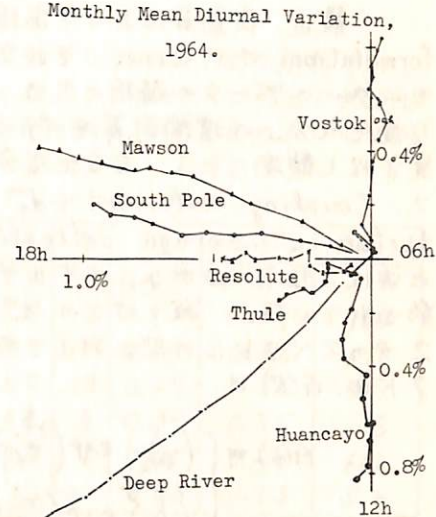


高緯度の宇宙線日変化

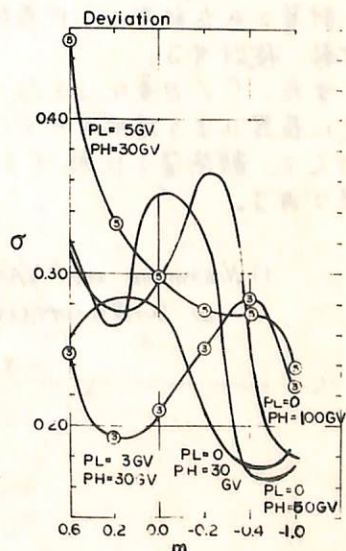
須田 友重
気象研究所

宇宙線の日変化は、比較的エネルギーの高い現象($\sim 20GV$)として知られてゐる。そのエネルギーースペクトルに下限をかくと云う考え方もある(例えば Dorman)。一方 McCracken の解析が示すように、低エネルギーの anisotropy も見られてゐる。理論的には、Jokipii や Parker 等によると、solar wind 中の turbulence を考慮した diffusion による modulation で、太陽との co-rotation がかなり強いエネルギー帯が成立つと予想されてゐる。

こゝでは、低エネルギーの日変化を取扱ふものとして、高緯度上級の解説を報告する。
1964 年の日変化の月平均を第一図に示す。こゝで Vostok, Mawson, South Pole (3A~12B) は、asymptotic direction が low energy ($\sim 5GV$) で、中緯度以下までのがてあり、Resolute, Thule との差は、 $\geq 5GV$ のものによると見えていい。而して低エネルギーの日変化は、Huancayo ($13.45GV$) と同程度、中緯度 Deep River ($1.02GV$) の約 1/2 位であるとみていい。第二図は、エネルギースペクトルを表したもので、観測値との差を示す。こゝで $PL(\text{下限}) = 0$, $PH(\text{上限}) = 50GV$, power $m = -0.4 \sim -1.0$ に観測値とのより一致がみられる。



第一図



第二図

宇宙線強度の日変化の解析

安江 駿一、森 覚、一元廟 匠興
信 大 理 信大都養

最近、長島等により宇宙線の3次元異方性によって生ずる日変化の一般的な formulation が行なわれ、それを基にした各種の解析が行なわれている。¹⁾ 我々は中性子モニターのデータの解析のため、長島の formulation に従い各観測所での期待された「日変化成分」の理論計算を行った。この formulation によれば、宇宙線の軸対称な異方性と観測された「日変化成分」 $D_m^m(t)$ ($n, m = 0, 1, 2, \dots$) とを結びつける量として、Coupling coefficient d_m^m と $\delta\psi_m^m$ が定義された。これは従来の attenuation factor と average deflection angle にそれぞれ対応するもので、地磁場における粒子の曲がり、エネルギースペクトル 等はこの Coupling coefficient に集約されている。我々はこの d_m^m と $\delta\psi_m^m$ の計算を、65の中性子モニターについて、2つのスペクトルの型に対して行った。計算に際し Power-exponential 型ではスペクトル $G(R)$ は

$$G(R) = \begin{cases} \left(\frac{R}{R_0}\right)^r \exp\left(\frac{\gamma R_0 - R}{R_0}\right) & \text{for } r > 0 \\ \left(\frac{R}{R_0}\right)^r \exp\left(\frac{R - R_0}{R_0}\right) & \text{for } r \leq 0 \end{cases}$$

と仮定され、 $r > 0$ に対しては極大値を与えた $R_m = \gamma R_0$ に、 $r \leq 0$ に対しては 10 GV に normalize されていく。

計算された結果から代表的な「日変化成分」 $D_1^1, D_2^1, D_3^1, D_2^2, D_3^2$ 及び D_3^3 の特徴を比較、検討する。

また、「1日変化」を起こす異方性として従来考えられていた 18 h 方向の異方性に、更に長島により提唱されていき「Pitch angle distribution」モデルに基づく異方性を加えて、観測値と比較する解析が現在進行中であり、その結果も合わせて報告する予定である。

1) NAGASHIMA and NAGASHIMA et al., THREE DIMENSIONAL COSMIC RAY ANISOTROPY IN INTERPLANETARY SPACE, PART I ~ IV (1971)

宇宙線 $\frac{1}{3}$ 日変化について (I)

石田喜雄*・菅野常吉*・斎藤俊子**
福島大・教育* 福島医大・物理

これまで、宇宙線の一日変化や半日変化について度々報告してきたが、この解析中に、
半日変化の方が半日変化より大きい場合があることを知った。そのため、これまで無視して
きた半日変化の存在の可能性を確かめることと、半日変化の持つ特性を求めるこ^ト研究して
きた。

I. 半日変化の存在について

Hermanus について、毎月の半日変化(\bar{R}_3)
の内、 $R_3 \geq 0.05\%$ の場合について、或る期間内
の平均値(\bar{R}_3)と、その標準偏差(S.D.)と位相
(T_{mn3})を示すと表1表のようになる。これだけ
で結論を出すことは無理であるが、少くとも、こ
の場合、1958年、1962年及び(1966年～1969年)の
期間については半日変化が存在するといふことがい
えようである。

Period	n	\bar{R}_3	S.D. of \bar{R}_3	$T_{mn3}(h)$
1957	6	0.48	0.50	2.3
1958	7	0.92	0.39	7.6
1959	10	0.29	0.38	6.8
1960	10	0.24	0.36	7.7
1961	8	0.34	0.35	1.6
1962	8	0.65	0.28	6.1
'66～'69	22	0.43	0.13	5.6

II. 半日変化の分布

1957年～1964年の期間のMawsonの毎月のHarmonic Dialをplotすると表1図のよう
になる。図よりわかるようにMawsonの場合には
大部分が(0^h～2^h), (4^h～6^h) 及び(2^h～4^h)に入っ
ている。同じような分布はAlma-Ata等にも
見られる。この他の性質も含めて、Nagashima
et al. の論文と比較検討した結果について述べ
る。

さうに、他の地点について解析した結果も
含めて報告する予定である。

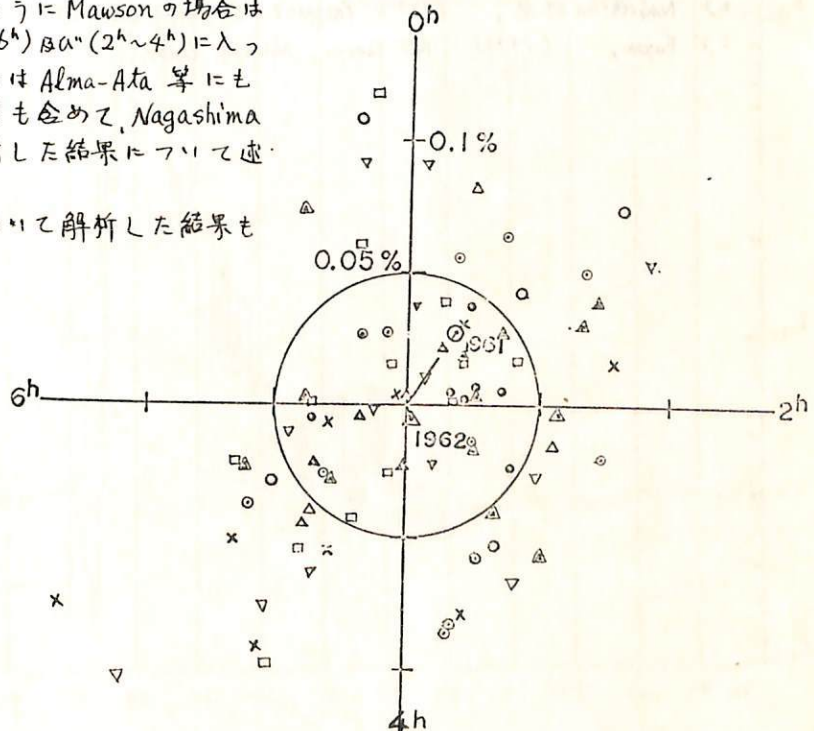


表1図

宇宙線強度の $\frac{1}{3}$ 日変化

森 覚 安江 新一
信 大 理

一三瀬 匠
信 大 敏義

我々は DEEP RIVER 中性子計のデータの解析から、少なくとも 1962-1969 年の間、宇宙線強度の $\frac{1}{3}$ 日変化が観測され、従つてその「源」が空間に定常的に存在するであろうことを示した¹⁾。これは既に長野等²⁾の指摘によるものであるが、我々は更に解析を進め、特に宇宙線強度、 $\frac{1}{3}$ 日変化が大気効果、地殻（岩石熱黒）によるもの³⁾以外か否かを示す。既に気压補正された宇宙線強度と気圧の位相の間に相関がある。又回帰係数が極めて小さく問題にならぬこと、一方月平均値では宇宙線 $\frac{1}{3}$ 日変化と気圧 $\frac{1}{3}$ 日変化の動きは全く関係がないことを両者、季節変化に見た。今後は古事記は更に細かく毎日の解析から、両者の関係を調べる。一方宇宙線 $\frac{1}{3}$ 日変化は、藤井³⁾により議論されたモデル（Loss-cone モデル）によれば、宇宙線平均変化と密接に関連している。理論的にも、宇宙は REFERENCE AXIS 例えば惑星空間磁場方向（9HR 及び 21HR 方向）をとり、太陽方向への Loss-cone を仮定したとき、その年日変化及び $\frac{1}{3}$ 日変化（これは Loss-cone の開角の半分 X_c によつて）、一致するを得た⁴⁾。Loss-cone モデルを見比べたつて、DEEP RIVER 及び CHACALTAYA のデータの、これまでの何れか説明のためかを示す。解析結果は現在の段階では、可成りまことにようである。

参考文献：

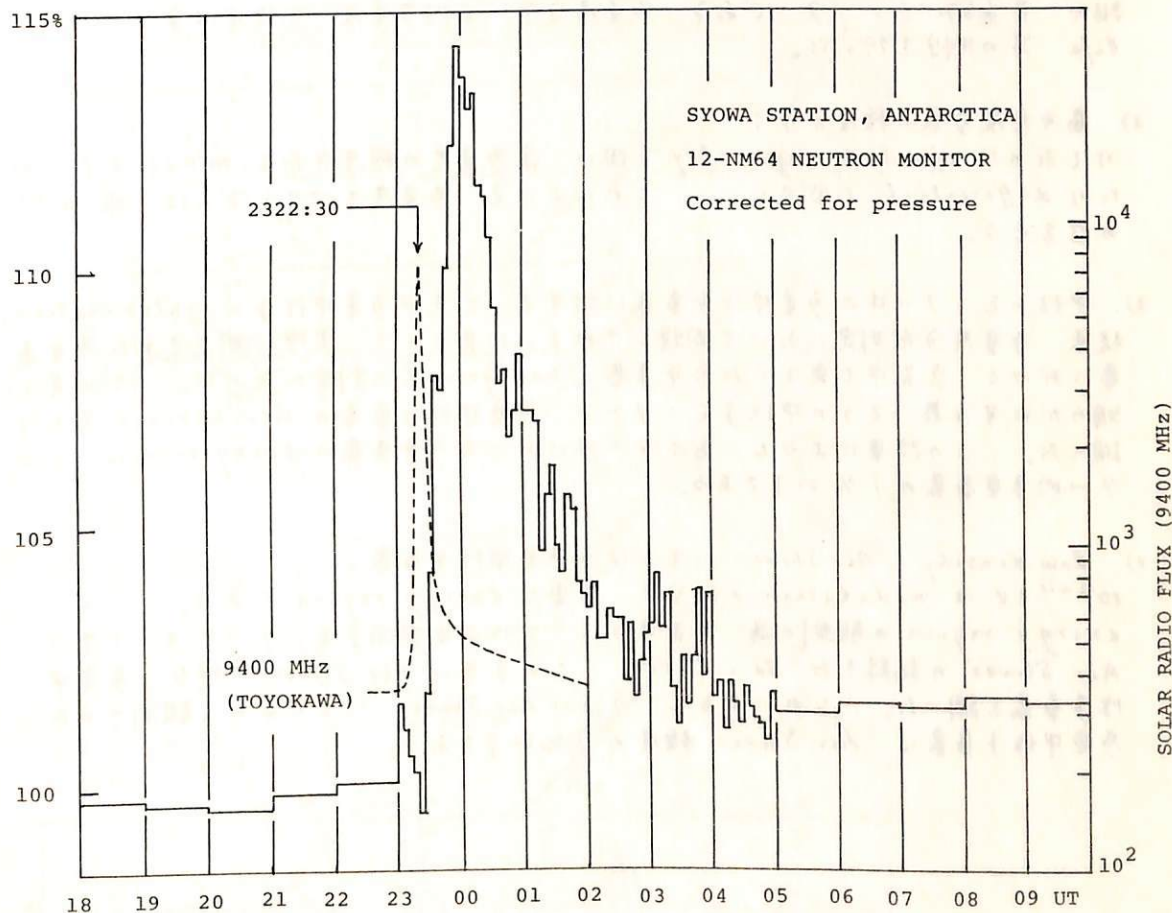
- 1) MORE ET AL., (1971) PREPRINT (SHINSHU UNIV.)
- 2) NAGASHIMA ET AL., (1971) PREPRINT (NAGOYA UNIV.)
- 3) Fujii, (1971) PhD THESIS, NAGOYA UNIV.

Multiple Neutron Analysis of the Energetic Solar Cosmic Ray
 Event of January 24-25, 1971

楠瀬昌彦 小玉正弘
 高知大文理 理化学研究所

現 solar cycle になつてから 5 回目の GV order 太陽宇宙線現象が、1971年 1月 24-25 日にかけて起つた。下図は南極昭和基地で、12-NM64 スーパー ニュートロンモニターによつて観測されたこの異常増加の様子を示す。maximum intensity は $49,460/5 \text{ min}^{-1}$ カウントで、約 14% の増加になる。ピークの時刻は同時に観測された太陽電波バーストのピーク時より約 30 分も遅れているので、この太陽宇宙線の地球への到達は impact 型ではなく diffusion 型であると思われる。

昭和基地のモニターは常に neutron multiplicity 毎の event 強度を記録しているので、本異常増加現象中の multiplicity スペクトルや mean multiplicity の時間変化を追跡することができる。これらから今回の太陽宇宙線の物理的性質について言及し、過去 4 例と比較検討する。



JANUARY 24

JANUARY 25, 1971

Experimental Investigation of Multiple Neutron Production

藤井善次郎 小玉正弘
理化学研究所

宇宙線連続観測用の中性子モニター内で発生する多重中性子事象の多重度 m が 入射粒子のエネルギーと相関関係にあるため、中性子モニターにおいて 多重度別に頻度分布を測定することにより 一次宇宙線をエネルギー別に観測することが出来る。この為既存の中性子モニターに 多重度測定用回路を附加して測定した多くの報告がなされている。しかし 積極的に多重度測定を意図した場合 定量的にどの程度有効であるのかといふ点については 未だ確定的にされていない。この点の解明の為、乗鞍山上において I.G.Y 型の中性子カウンター 22 本を用い 下記各種の実験をおこない 中性子モニターにおける多重中性子事象の基礎的特性を調べた。その結果について報告する。

1) モニターの Geometry ;

高い多重度事象に有効な中性子モニターの型を知る為、各種配置の中性子モニターを組み 基本的パラメーターである 多重度分布、平均多重度、二次中性子の mean life 等の測定を行った。

2) 高多重度事象の頻度分布；

i) で求めた effective geometry を用い 高多重度の頻度分布を $m=27$ までにわたり differential で測定した。これによると 多重度スペクトラムは 略 $m^{-3.45}$ の型をもつ。

3) 中性子モニター中の多重中性子事象に対する 大気中多重中性子の contamination;
従来 多重度分布測定において問題とされていた点として 実際に測定された多重事象における 大気中で発生した多重事象の background の割合があげられる。この点を明らかにする為、スコープの中性子モニターで 多重中性子事象の decoherence をとり調べた。この結果によると、モニター外における多重事象の background は モニター内多重事象の 1% 以下である。

4) Low density of Air Shower による多重中性子事象；

$10^{12} \sim 13$ eV は modulation の研究上 重要な energy region である。この energy region の観測の為、名古屋グルーブによる中性子モニターでは うすい Air Shower の記録をおこなっている。このうすい Air Shower に伴なう多重中性子事象を調べた。これによると うすい Air Shower による多重中性子事象は Air Shower 頻度の 1% 以下である。

Three-dimensional Cosmic ray anisotropy in interplanetary space

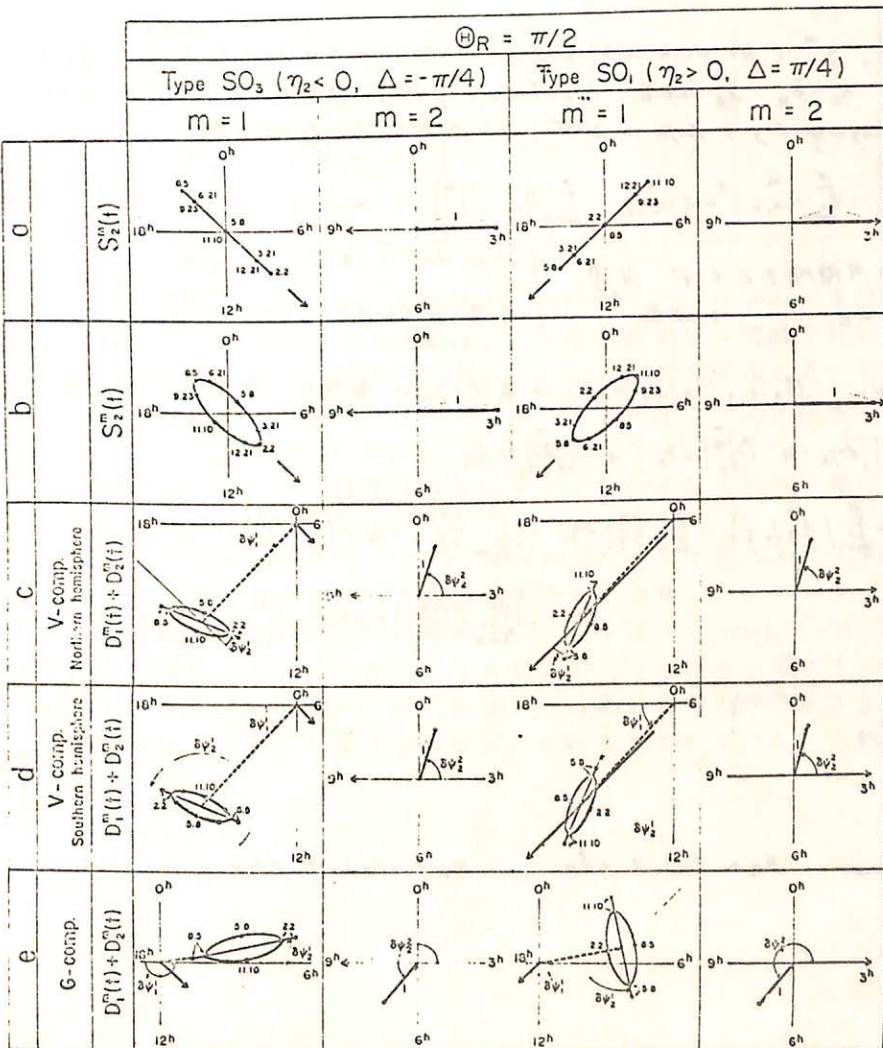
長島一男、藤本和彦*藤井善次郎、上野裕章、近藤一郎
名大理、*理研

惑星間空間における 宇宙線の three-dimensional anisotropy を決定する analytical method が研究され概説される。この analytical method によれば、solar semi-diurnal anisotropy の origin を決定するためには、solar semi-diurnal variation と同時に "special" diurnal variation を観測する必要がある。

これまでに solar semi-diurnal variation の origin に関して、大別して 2 つの仮説が提唱されている。

- 1). pitch angle distribution hypothesis
 - 2). density gradient hypothesis

この analytical method に基いて、衆多高精度中間子計の Data が解析され、solar semi-diurnal variation の起源が研究された。その結果、観測結果は図の Type S03 に相当し、これは強



Extensive Analysis of Three Dimensional Cosmic Ray Anisotropy in Interplanetary Space

長島一男
名大理

宇宙線3次元異方性の解説端に付いては Paper Part I-IV にて述べたが、以下は、一般的な場所について述べる。

$$\sum = \sum_{i=1}^I w_i^m \left\{ (A_{i,ob.}^m - \sum_{n=m}^N A_{n,i}^m)^2 + (B_{i,ob.}^m - \sum_{n=m}^N B_{n,i}^m)^2 \right\} = \text{Min.} \quad \text{for given } m \quad (1)$$

i: station, *ob.*: observed value *w^m*: weight

$$A_n^m = C_n^m X_n^m + S_n^m Y_n^m \quad C_n^m, S_n^m : \text{coupling coefficients} \quad (2)$$

$$Z_n^m = \gamma_n P_n^m(\theta_R) \cos m\alpha_R \quad \theta_R, \alpha_R : \text{Direction of reference axis} \quad (3)$$

(1) Γ により (2) や (3) の x_m^m , y_m^m (for given m) を決定. 別個に未知数 (x_2^1, y_2^1) と (x_2^2, y_2^2) より $\rightarrow \eta_2, \theta_R, \alpha_R$ を決定. (unknown 3 個, 解析式より求めたもの 4 個!!)
 Anisotropy σ^m Axis symmetry の値を決定. 以下の如き Analysis 3 項.

$$\sum = \sum_{i=1}^I \sum_{m=1}^M w_i^m \left\{ (A_{i,ob.}^m - \sum_{n=m}^N A_{n,i}^m)^2 + (B_{i,ob.}^m - \sum_{n=m}^N B_{n,i}^m)^2 \right\} = Min \quad (4)$$

$$x_m^m, y_m^m \text{ 在决定 } \eta_3 \text{ 中的像陪点与 } \eta_3^m. \text{ 直接} \leftrightarrow \\ \eta_1, \eta_2, \dots, \eta_m, \theta_R, \alpha_R \text{ 在决定.} \quad \left[\begin{array}{l} N=3, M=3 \Rightarrow 3 \times 10^6 \\ \eta_1, \eta_2, \eta_3, \theta_R, \alpha_R \\ (5 \times 4) \end{array} \right] \leftrightarrow \left[\begin{array}{ll} x_1^m & y_1^m \\ x_2^m & y_2^m \\ x_3^m & y_3^m \\ x_4^m & y_4^m \\ x_5^m & y_5^m \end{array} \right] \quad \left(12 \times 4 \right)$$

$A_n^m B_n^m$ 在 $(\eta_1)_0, (\eta_2)_0, \dots, (\eta_N)_0, (\theta_R)_0, (\alpha_R)_0$ 真是 Taylor 展开式。且由第一微分值上式。

$$A_n^m = (A_n^m)_o + \left. \frac{\partial A_n^m}{\partial \gamma_n} \right|_o d\gamma_n + \left. \frac{\partial A_n^m}{\partial \theta_R} \right|_o d\theta_R + \left. \frac{\partial A_n^m}{\partial \alpha_R} \right|_o d\alpha_R \quad (5)$$

$$\sum = \sum_{i=1}^I \sum_{m=1}^M \omega_i^m \left\{ \left[\left\{ A_{i,m}^m - \sum_{n=m}^N (A_n^m)_{0,i} \right\} - \sum_{n=m}^N \frac{\partial A_n^m}{\partial \eta_m} d\eta_m - \left(\sum_{R=m}^N \frac{\partial A_R^m}{\partial \theta_R} \right) d\theta_R - \left(\sum_{R=m}^N \frac{\partial A_R^m}{\partial \alpha_R} \right) d\alpha_R \right. \right. \\ \left. \left. - \left(\sum_{R=m}^N \frac{\partial A_R^m}{\partial (\Delta \theta_R)} \right) d(\Delta \theta_R) - \left(\sum_{R=m}^N \frac{\partial A_R^m}{\partial (\Delta \alpha_R)} \right) d(\Delta \alpha_R) \right] \right\}$$

$$+ \left[\left\{ B_{\lambda \mu \nu}^m - \right. \right] = 0 \quad (6)$$

$$\gamma_R = (\gamma_R)_0 + d\gamma_R \quad , \quad \theta_R = (\theta_R)_0 + d\theta_R \quad , \quad \alpha_R = (\alpha_R)_0 + d\alpha_R$$

Solar active region と宇宙線異方性について

和田 雅美, 奥谷 晶子
理化学研究所

World-wide は NM-64 data の逐日解析により得られた 1/2 および 1/3 日変化の例には、どれも Importance 2 ~ 3 の solar flare が対応していた（前回報告）。この事実に基づき、"Quarterly Bulletin on Solar Activity" の list より、Importance 2 以上の solar flare を発生した active region (Ca-plage) を拾い出した。1966 年から 1969 年までの年毎の数と、これら active region が可視半球を通過する間に発生した flare の数は次に示す Table の如くである。

	1966	1967	1968	1969
Ca-plage	31	60	22	35
flare	Imp. ≥ 1 532	1007	605	742
	Imp. 2 62	108	46	58
	Imp. 3 3	12	4	5

適当な criterion を定めて、特に active な plage を Table より選出し、宇宙線の強度変化、1 日変化、1/2 日変化、1/3 日変化等との関係を統計的に調べた。

太陽緯度が 25° 前後より高い region に異常現象があつても宇宙線の強度変化 (Forbush Decrease) は起らぬいようなので、両者の関連を調べるに当たり各 plage の緯度を考慮に入れた。active region の平均緯度は 1966 年には 22° 位で、 25° 以上のものもいくつかあるが、平均緯度は年毎に下って 1969 年には 14° 位になり、 25° 以上のものはほとんどない。

選んだ各 plage の C.M.P. を epoch として重ね合せて平均を計算した。その結果 flare は plage の C.M.P. の前後に平均して分布しているので、flare によるものは重複しにくい。plage の C.M.P. の前後各 13 日間 (1 solar rotation) の宇宙線変化が得られた。傾向として、1 日、1/2 日および 1/3 日変化の振巾は、C.M.P. の前 (太陽面の東側) では平均より低く、後 (西側) では高い。宇宙線強度変化は逆に前で平均より高く、後で低いことなどが挙げられるが、これらを含めて得られた結果について報告する。

惑星間空間における二方向宇宙線非等方性の 存在

北村正臣

気象研究所

宇宙線日変化現象に対するモデルとして、我々はこれまで bidirectional anisotropy model について検討し宇宙線太陽日変化の諸特徴、例えば中間子成分と中性子成分の位相の差、地上と山上の違いや、日変化の複複効果等を説明し、又、宇宙線日変化の年変化の可能性についても指摘してきた。この様な bidirectional anisotropy model は我々が観測によつて知り得た宇宙線日変化現象の諸特徴を説明するのに都合がよいことが分った。

ところで二方向非等方性の中、 $2\theta(L.T.)$ 方向の成分は Heliosphere 内に拡散によつて浸入してきた銀河宇宙線が、Heliosphere の Archimedian Spiral 磁場に沿つて形成された非等方性と言えられるが、 $8\theta(L.T.)$ 方向の成分の存在の機構は必ずしも明確ではないが、たゞ。本論文では、この成分は Heliosphere 内の宇宙線粒子が太陽風によつて momentum transfer を受け、それによつて形成されることが指摘する。

今、 $j_s(E)$ なるエネルギー・スペクトルとも、たる宇宙線粒子が太陽風による momentum transfer によつて ΔE 受けエネルギーが増加した場合、それによつて起る宇宙線強度の増加 $\Delta j(E)$ の割合を計算すると

$$\frac{\Delta j(E)}{j_s(E)} = j_s(E - \Delta E) + L(E - \Delta E) \cdot \Delta E - j_s(E) \quad \dots \dots \dots (1)$$

となる。こゝで $j_s = k_s E^{-\alpha_s}$ とし、 $L(E - \Delta E) \approx \frac{2}{E}$ 、 $\frac{\Delta E}{E} \approx \frac{V_p}{C}$ (V_p は太陽風速度で、 C は光速) であることを考慮し、 $\alpha_s = 2.5$ 、 $V_p = 2 \times 10^{10} \text{ cm/sec}$ とすれば $\Delta j_s(E)/j_s(E) \approx 0.27\%$ となり、これまた解析より求めた値と一致する。

従つて

$$\Delta j(E, \Psi) = k j_s(E) (E_0/E)^m \cos(\Psi - \phi) \quad \dots \dots \dots (2)$$

が表現され、 $m=0$ とすれば、 $k \approx 0.27\%$ である。

(2)式は正に我々がこれまで示してきた 8θ 方向の非等方性であり、かつ k の値は複複効果から求めた値 ($k=0.2 \sim 0.3\%$) と一致する。

即ち、これまで bidirectional anisotropy model で考へた 8θ 方向の非等方性は、太陽風によつて momentum transfer を受けた宇宙線粒子が Archimedian Spiral 磁場に沿つて運動することによつて形成されたものと考へることが出来る。